



BioCoherence Manuale

Version 2025-03-20

Tabella dei contenuti generale

INTRODUZIONE

| | |
|---|---|
| 1. Una breve storia di BioCoherence | 3 |
| 2. Costruire ponti | 5 |

3. UTILIZZANDO BIOCOHERENCE

| | |
|--|----|
| 3.1. Panoramica dei moduli | 14 |
| <i>Un elenco dettagliato dei contenuti può essere trovato all'inizio di questo capitolo.</i> | |
| 3.2. Manuale dettagliato per ciascun modulo | 36 |
| <i>Un elenco dettagliato dei contenuti può essere trovato all'inizio di questo capitolo.</i> | |

4. ADDENDI

| | |
|--------------------------------------|-----|
| 4.1. Domande frequenti..... | 81 |
| 4.2. Studi e letteratura medica..... | 89 |
| 4.3. Bibliografia | 101 |

Una breve storia di BioCoherence

È l'estate del 2024 e la prima versione pubblica di BioCoherence è pronta per essere lanciata. Come siamo arrivati qui, con questo software nato nella mia testa, caratterizzato ad oggi da oltre 1400 biomarcatori proprietari, 40 schermate, analisi dello scan di un elettrocardiogramma e test con biofeedback in tempo reale, così come un modulo di riequilibrio?

Guardiamo indietro a due percorsi convergenti.

Il nostro primo contatto con dispositivi di valutazione e trattamento energetico risale al 2011. Christine ed io eravamo sposati e avevamo 3 figli. Quell'anno, la nostra seconda figlia Isis, ancora intollerante al glutine allora, stava per iniziare la scuola secondaria. Mentre vivevamo ancora a Sournia, un piccolo villaggio nei Pirenei (nel sud della Francia), stavamo cercando una soluzione affinché potesse pranzare a scuola. Ti risparmio i dettagli, ma quando ci siamo arrivati dallo specialista, ci ha detto che l'unica soluzione era una colonscopia. E che non poteva comunque curarla. Così abbiamo iniziato a cercare un'altra soluzione. Un amico ci ha indicati la direzione di un tipo strano che lavorava in un piccolo villaggio, e questo tipo strano ha fatto un controllo completo e riarmonizzazione in un unico incontro; non solo aveva identificato tutti i problemi in mezz'ora, ma lei è stata curata un mese dopo.

Christine ed io ci siamo guardati e ci siamo resi conto che c'era qualcosa di sbagliato nella medicina. Perché l'ospedale non era stato in grado di offrirci questa soluzione? Perché era apparentemente così riservata? Ma soprattutto, cos'era questo cosa?

Alla fine del 2011, abbiamo creato un'organizzazione non profit con questo praticante per cercare di studiare e validare queste pratiche, poi un centro di cura, poi un secondo. Infine siamo entrati in contatto con il produttore di questo dispositivo per distribuirlo in Francia, alla fine del 2012. Abbiamo incontrato altri, e alla fine siamo riusciti a stabilire una solida distribuzione, una rete di praticanti, e una scuola.

Ma per me, uno scienziato, ingegnere, designer di software, musicista, autore e soprattutto creatore compulsivo, non potevo fermarmi a un ruolo commerciale o amministrativo. Avevo già creato diverse aziende, per le quali avevo sempre programmato l'intero sistema informatico. Infatti, ho iniziato a creare software quando avevo circa 10 anni, e ho venduto il mio primo intorno ai 15. Ho poi studiato scienze e sono andato alla scuola di ingegneria del suono, prima di creare un'agenzia web con Christine nel 1996, e poi diverse start-up. Tornando ai dispositivi di cura che distribuiamo, come designer, ero desideroso di contribuire a questo impegno innovativo nella progettazione di questi sistemi di controllo e cura, che ho sperimentato molto e comprendo bene.

Questo primo percorso, quindi, è la scienza, l'IT e il business, e le loro applicazioni alla sanità.

Ma questo non è l'unico percorso che ha portato a BioCoherence oggi.

L'altro percorso è la meditazione.

Quando avevo 11 o 12 anni, avevo una passione per la magia — o meglio, per il congiurare. Potevo passare tutta la giornata nei negozi di magia parigini, incontrando tutti i clienti (professionisti del show business). — Ricorda, ho anche creato, realizzato e venduto un trucco a un negozio, stimo di 13 anni ... — E lì ho incontrato Pierre, un professionista della magia che lavorava in tutto il mondo. Siamo diventati grandi amici. E Pierre aveva fatto "uscita dal corpo", o "viaggio astrale", fin da quando era un bambino, cosa che mi affascinava. Non ne avevo mai sentito parlare. Mi ha dato alcuni libri sull'argomento e ne parlava come di qualcosa di completamente naturale per lui, ma ci siamo persi di vista dopo un po'.

Since then, it seemed natural to me that a much larger world existed beyond the veil of appearances. But how, in Paris, in a hyper-materialistic age, in a family that knew nothing about it, could I delve into this question?

Col passare degli anni, è rimasto un tema privilegiato e affascinante di discussione, una fonte di curiosità, ma nient'altro. Abbiamo provato la meditazione da adolescenti e poi da adulti, senza molto successo. Poi la vita ha iniziato a prendere forma nel qui e ora, con tutte le sue richieste.

Torniamo al 2011, un anno pivotal, una convergenza di percorsi. Quando Isis ha iniziato la sua recupero, siamo stati rimandati a un medico di famiglia a Perpignan. Lui vede le cose diversamente. Certo, andiamo. Parlo con lui di qualsiasi cosa, e il tema della meditazione riemerge; gli dico che ho provato ad uscire dal mio corpo senza molto successo. Lui risponde che conosce una tecnica basata su suoni con frequenze diverse nelle orecchie, senza sapere molto di più su questo. Ma il suono mi parlava... e ho cercato e scoperto i binaural beats. E da allora, i progressi, così tediosi fino ad allora, sono accelerati notevolmente. Dopo pochi mesi, l'universo si stava espandendo, sia verso l'interno che verso l'esterno. Da quell'anno pivotal, tutto si è riorganizzato intorno a noi.

Ho iniziato una serie di interviste per un progetto cinematografico, *In Reality*¹. Ho incontrato e filmato circa quaranta persone affascinanti. Alla fine ho creato una casa editrice francese per tradurre i loro libri, e ho pubblicato circa venti opere fino ad oggi.

Christine, da parte sua e con grande sorpresa, è diventata chiaroveggente. È una bella storia. Oh, e lo è anche mia figlia. Come un buon scienziato, sto comunque facendo alcuni protocolli di validazione. Tutto sembra molto reale, ok, ammettiamolo. Quell'anno, dopo 7 anni di vita familiare quasi autarchica in montagna (eravamo partiti da Parigi nel 2004 per costruire la casa che Christine

aveva progettato noi stessi), Disneyland è arrivata in forze. E il mondo si allarga notevolmente. La casa si riempie di esseri, ognuno più fantastico dell'ultimo. Pazzesco, ma aneddoto dopo aneddoto, diventa impossibile non credere in questa nuova realtà.

Questi sono i due percorsi che si intrecciano; da un lato, la valutazione energetica e i dispositivi e software di guarigione, con le loro favolose possibilità ma anche varie limitazioni e frustrazioni; dall'altro, la meditazione, lo sviluppo personale interiore, l'allargamento dei confini del mondo e l'immensa potenza di prendere il potere su se stessi e la consapevolezza della propria responsabilità.

Quindi, nel 2017, ho operato una prima alleanza dei due, e ho avviato un progetto di app per la meditazione, pensato come una piattaforma per i creatori; troppo complicato, mai finito. Nel 2018, ho creato un'app per generare battiti binaurali e altri suoni da accompagnare alle meditazioni; troppo complicato, mai finito. Inizio a vedere un modello ricorrente. Questa non è la mia prima applicazione troppo complicata, mai finita. OK, riscriviamo tutto e semplifichiamo: Ah, vittoria! Nel 2021, presenteremo la nostra scuola con la sua prima app, meno complicata e - evviva! - finita: 33, meditazioni guidate, basate sui primi 2 libri di Christine.

Un dettaglio rimane: voglio offrire di più. Voglio avere un sistema di misurazione affidabile per scegliere e, perché no, adattare le meditazioni. Un dettaglio, come ho detto, che alla fine mi ha preso 3 anni. Nel 2022, posso presentare il nostro Masterclass annuale con un primo strumento basato sulla misurazione di un elettrocardiogramma. Nel 2023, dopo più di un anno di lavoro, l'interfaccia è stata adornata con numerose visualizzazioni e sono state create nuove schermate. Altri 6 mesi di ricerca e arriviamo, ad aprile 2024, con un software che brama interazioni...

Per arrivare a questa prima versione, ho selezionato drasticamente (e dolorosamente, come puoi immaginare) le idee da implementare. Ma, nei quasi 40 anni in cui ho creato, ho finalmente realizzato che non ha senso creare per il semplice gusto di creare; devi creare per condividere. E per farlo, ho dovuto spendere molto più tempo di quanto avrei pensato per rendere questo software facile da comprendere. Sono riuscito a farlo, anche se sono ancora frustrato da tutto ciò che non esiste ancora. Puoi contare su di me per continuare a incorporare e condividere idee e strumenti, e mi assicurerò che siano sempre belli, facili e intuitivi per te.

Médéric Degoy, designer del software BioCoherence.

Costruire ponti

BioCoherence è stato progettato intorno a una serie di concetti chiave. È importante avere un'idea generale di questi concetti, perché guidano la logica sottostante.

Il nostro compito è quello di costruire ponti tra domini che spesso non sono collegati tra loro. Questi includono: la cibernetica; la teoria dei sistemi; l'energia, l'entropia e la negentropia; l'emergenza; l'euristica; la sincronicità; l'ergodicità; la teoria delle risorse; la teoria delle cascate; l'embriogenesi; la teoria della prologia; il principio della risonanza; il principio della coerenza; le onde di scala; i cristalli temporali; il rapporto corpo-mente; il rapporto materia-energia-informazione-significazione; l'entropia fisica e l'entropia dell'informazione; l'inconscio e gli archetipi.

Se non diversamente specificato, le citazioni sono tratte da Wikipedia.

Cibernetica

"La scienza generale della regolazione e della comunicazione nei sistemi naturali e artificiali"

"La cibernetica è lo studio dei meccanismi di informazione nei sistemi complessi. I contorni di questo corpo di ricerca ruotano intorno al concetto chiave di feedback, o *meccanismo teleologico*. Il loro obiettivo era quello di fornire una visione unificata dei campi nascenti (tra il 1942 e il 1953) del controllo automatico, dell'elettronica e della teoria matematica dell'informazione, come "un'intera teoria del controllo e della comunicazione, sia nell'animale che nella macchina".

Formalizzata da Norbert Wiener, la cibernetica è all'origine, tra l'altro, delle terapie sistemiche della scuola di Palo Alto e delle teorie biologiche dell'auto-organizzazione"

Note interessanti:

- "Nel 1894, Ludwig Boltzmann fece il collegamento tra l'entropia e l'informazione, notando che l'entropia è legata all'informazione alla quale non abbiamo accesso"
- "Anche la fisiologia gli ha fornito molti elementi. Ad esempio, il principio dell'omeostasi, evidenziato da Claude Bernard"
- "La cibernetica è anche una continuazione della fenomenologia, nella misura in cui ausculta i fenomeni per coglierne l'autonomia e la particolarità, in particolare attraverso la forma, per poi passare a un altro tipo di analisi: la modellazione, la meccanica%u2026"
- "Il feedback è messo in evidenza da questo approccio, in quanto è essenziale per progettare una logica di autoregolazione. Emergono così i loop di feedback, meccanismi circolari che evidenziano i sistemi"
- il termine 'emergere' sarà presto utilizzato per designare non solo nuove forme, ma anche nuove proprietà e processi che appaiono durante la riorganizzazione spontanea di un sistema. Questo tipo di fenomeno a volte comporta, più che una riorganizzazione del sistema, un'organizzazione a un grado superiore di complessità"
- "Nella cibernetica di secondo ordine, l'osservatore include se stesso nel sistema osservato"

La cibernetica è alla base dell'ecologia, della psicoanalisi, della scienza dell'informazione, della sistemica, della scienza cognitiva, dell'intelligenza artificiale, di internet%u2026

Applicazione nella BioCoerenza

Nell'insieme del software a tutti i livelli, da quello più profondo (l'esistenza stessa del computer; il sistema operativo; e Internet) a quello più superficiale (la logica sistemica, l'analisi di livello 1, 2 e 3 e l'emergere di nuove proprietà, il collegamento di tutti gli elementi, i calcoli dei collegamenti e delle risonanze).

Il principio del feedback è al centro del software, in particolare nelle misurazioni di biofeedback.

È interessante notare che la cibernetica si concentra sulle restrizioni e sui vincoli di un sistema. Questo dà un'indicazione delle scelte possibili. Ma il principio di equifinalità stabilisce che è possibile raggiungere un obiettivo attraverso molti percorsi diversi.

Teoria dei sistemi

"La teoria dei sistemi è un modo di definire, studiare o spiegare qualsiasi tipo di fenomeno, che consiste soprattutto nel considerare questo fenomeno come un sistema: un insieme complesso di interazioni, spesso tra sottosistemi, tutti all'interno di un sistema più

grande. Si differenzia dagli approcci tradizionali, che si concentrano sulla scomposizione di un sistema in parti, senza considerare il funzionamento e l'attività dell'insieme, cioè il sistema complessivo stesso.

Il pensiero sistemico privilegia un approccio globale, macroscopico, olistico o sintetico; osserva e studia un sistema da diverse prospettive e a diversi livelli di organizzazione; e, soprattutto, prende in considerazione le varie interazioni esistenti tra le parti del sistema.

Emersa gradualmente a metà del XX secolo, la sistemica è stata costruita in opposizione alla tradizione analitica cartesiana e ad altre forme di riduzionismo, che tendevano a dividere il tutto in parti indipendenti e mostravano i loro limiti nella comprensione della realtà"

Note interessanti:

- "Il concetto essenziale qui è senza dubbio quello di regolazione, definito attraverso la nozione di ciclo di feedback" "L'interazione (o interrelazione) si riferisce all'idea di causalità non lineare. Questo concetto è essenziale per comprendere la coevoluzione e la simbiosi in biologia. Una forma particolare di interazione è la retroazione (o feedback), il cui studio è centrale nel lavoro della cibernetica"
- "Totalità. Se un sistema è innanzitutto un insieme di elementi, non può essere ridotto a questo. Come dice il proverbio, il tutto è più della somma delle sue parti"
- "L'organizzazione è il concetto centrale per capire cos'è un sistema. L'organizzazione è la disposizione di un insieme secondo la divisione dei suoi elementi in livelli gerarchici. A seconda del suo grado di organizzazione, una totalità non avrà le stesse proprietà. Arriviamo così all'idea che **le proprietà di una totalità dipendono meno dalla natura e dal numero di elementi che contiene, che dalle relazioni che si stabiliscono tra loro**: un sistema aperto è un sistema che, attraverso gli scambi di materia, energia e informazioni, manifesta la capacità di auto-organizzarsi"
- In quanto sistemi aperti, gli esseri viventi sono in grado di creare cicli di negatività (cioè di diminuire l'entropia, creando un ordine superiore).
- Per quanto riguarda il "sistema dinamico", la prima idea che caratterizza questo campo è che, dietro il disordine apparente, si nasconde un ordine più complesso dell'ordine visibile. La seconda idea è che questo ordine sorge attraverso l'auto-organizzazione e l'emergere di nuove caratteristiche e proprietà che prima erano assenti"

Applicazione nella BioCoerenza

- l'evidenziazione di legami tra elementi che sono altrettanto, se non più, importanti della valutazione degli elementi stessi.

Emergenza

"L'emersione è un concetto filosofico che può essere approssimativamente riassunto dall'adagio: "Il tutto è più della somma delle sue parti". Si oppone al riduzionismo e alle dottrine dualistiche (dualismo o vitalismo).

Una proprietà può essere qualificata come 'emergente' se 'segue' da proprietà più fondamentali, pur rimanendo 'nuova' o 'irriducibile' ad esse. Così, John Stuart Mill nota che le proprietà dell'acqua non sono riducibili a quelle dell'idrogeno o dell'ossigeno"

Punti interessanti:

- "A volte parliamo di 'emersione sincrona' nel contesto delle relazioni tra i livelli micro e macro di un sistema. In questo caso, l'emergenza implica un'irriducibilità concettuale: le proprietà e le leggi emergenti sono caratteristiche sistemiche di sistemi complessi governati da leggi che non sono riducibili a quelle che qualificano le relazioni tra i componenti su scala ridotta"

Applicazione in BioCoerenza

- la logica dell'emergenza: l'analisi viene effettuata in diverse fasi, ognuna delle quali rivela proprietà di livello superiore che non esistono al livello inferiore. Nella fase finale, si trovano le risorse.

L'energia

"L'energia è un concetto correlato a quelli di azione, forza e durata: l'attuazione di un'azione richiede il mantenimento di una certa forza per un periodo di tempo sufficiente, per superare l'inerzia e la resistenza che si oppongono a questo cambiamento"

Applicazione nella biocoerenza

L'energia di un biomarcatore viene misurata in modi diversi a seconda del tipo di biomarcatore; collocata in una scala minima/massima specifica per ogni biomarcatore, diventa l'asse verticale del fiore.

Entropia

Si tratta di un concetto chiaro e complesso allo stesso tempo, ma soprattutto di un termine che spiega cose molto diverse nei vari campi.

- Per i fisici, l'entropia è agitazione, disordine.
- Per la teoria dell'informazione, l'entropia è una misura della possibile quantità grezza di diversi tipi di informazione.
- Per l'informatica, è approssimativamente la gamma di informazioni possibili, la dimensione dello spazio.

Possiamo riassumere il concetto di entropia come proporzionale al disordine di un sistema; il suo opposto, la negentropia, è quindi proporzionale al grado di ordine di un sistema.

Applicazione nella biocoerenza

Misuriamo la variazione a diversi livelli di biomarcatori per dedurre un fattore di agitazione, che costituirà l'asse orizzontale del fiore.

Teoria delle risorse

Sviluppata da Christine Degoy, la teoria delle risorse postula che, in ogni sistema vivente, ci sono parti perfettamente realizzate che nutrono altre parti. In una logica di sistema, queste sono parti risorsa, collegate attivamente ad altri sottosistemi che ne hanno bisogno.

Christine ha identificato le risorse a tutti i livelli: organico, psicologico, energetico e non fisico (cioè costituito da materia che interagisce con il sistema complessivo, ma non è soggetto alle stesse leggi fisiche della materia normale).

Applicazione nella BioCoerenza

Come elemento emergente di più alto livello, l'identificazione delle risorse ci permette di costruire un piano coerente per le priorità da affrontare, utilizzandole per ottimizzare il sistema complessivo.

Teoria a cascata

Seguendo le orme del principio di Paul Schmidt di ricercare le cause originali delle malattie, e successivamente sviluppata da Philippe Matza, la teoria a cascata fa parte di una logica sistemica. Postula che un organo o un sistema sofferente sia parte di una catena di causalità e interrelazioni energetiche, e che questa catena debba essere ripercorsa per una terapia efficace.

Applicazione in BioCoerenza

Identificando i collegamenti e i sistemi coerenti, la BioCoerenza ci permette di ricostruire catene causali complete e di agire alla fonte dei disturbi. Ma stiamo estendendo il concetto di catene causali a catene multiple e al fatto che un sistema i cui elementi sono in coerenza avrà bisogno di un intervento simultaneo a tutti i livelli per riequilibrare in modo sostenibile i suoi elementi.

Embriogenesi

"Durante la formazione dell'embrione, le cellule si organizzano in strati cellulari distinti: lo strato esterno è chiamato ectoderma, mentre lo strato interno è chiamato endoderma. Lo strato intermedio forma un tessuto chiamato mesoderma. Nei mammiferi, ogni strato ha un destino diverso: l'endoderma produce il tratto digestivo e le ghiandole associate (pancreas); il mesoderma produce i muscoli, lo scheletro e i vasi sanguigni;

l'ectoderma produce l'epidermide e il sistema nervoso"

Applicazione nella biocoerenza

Postuliamo che questi elementi rimangano legati nell'organismo adulto da particolari risonanze, e prendiamo in considerazione 8 corpora sviluppati da Christine Degoy, che sono composti da elementi legati dalla loro origine embrionale. Queste relazioni vengono poi integrate in un'interpretazione dei risultati.

La teoria della prologia

Estratto da *Prologie, riscoprire il significato della vita*, di Christine Degoy:

"Si tratta di un approccio unificato alla cura e alla realizzazione. Di natura integrativa e trasversale, può essere descritto come sistemico, orientato alla risonanza di tutti i componenti della persona, come tante risorse disponibili messe in sinergia"

La Prologia offre un cambio di paradigma completo, integrando il corpo come una potente leva per la realizzazione, anche in mezzo alla malattia. I suoi principi forti si basano sul progetto di vita combinato con l'approccio della teoria dei sistemi, illustrato dalla seguente tesi: **"Ogni essere umano è un sistema con un progetto, e tutto ciò che lo costituisce è progettato per raggiungere questo obiettivo"**

La prologia ci permette di mappare il corpo umano in termini di supporto al progetto personale e di scoprire un'organizzazione temporale di intervalli successivi nella crescita della maturità e della padronanza della propria vita.

La mappatura sulla base dell'embriologia, combinata con i tre pilastri della natura umana - volontà, amore e saggezza - dà origine a una nuova comprensione della malattia. Infatti, la decodifica prologica vede la malattia come una trasformazione del sistema, non come un fallimento. Quando il sistema materia-energia-informazione di un essere umano ha bisogno di miglioramenti per continuare a progredire, sfrutta ogni opportunità evolutiva per modificare e sviluppare abilità e comportamenti, bisogni e desideri, nonché visioni della vita e del mondo circostante.

Ogni organo svolge un ruolo nella realizzazione del progetto di vita dell'individuo e si aggiorna con vari gradi di discrezione, a seconda dell'entità della trasformazione necessaria per evolvere.

Gli obiettivi di un approccio prologico sono il ripristino dell'equilibrio, dell'energia e del comfort, nel rispetto del proprio progetto di vita, al fine di raggiungere la realizzazione olistica.

Applicazione in BioCoerenza

Il software consente una valutazione completa e l'identificazione delle problematiche e delle trasformazioni in corso in risonanza con il progetto di vita. Si tratta di una lettura positiva basata sullo scopo e sul rilascio di energia, in contrapposizione alla decodifica biologica, che si basa su conflitti e ostacoli.

Il principio della risonanza

"La risonanza è un fenomeno per cui alcuni sistemi fisici (elettrici, meccanici, ecc.) sono sensibili a determinate frequenze. Un sistema risonante può accumulare energia, se viene applicata in forma periodica e vicino a una frequenza nota come "frequenza di risonanza""

Applicazione in Biocoerenza

Durante le meditazioni audio, i suoni o le sequenze di suoni emessi a particolari frequenze energizzeranno particolari strutture organiche o mentali.

Il principio della coerenza

"La coerenza in fisica è l'insieme delle proprietà di correlazione di un sistema di onde. Possiamo parlare di coerenza tra 2 onde, tra i valori della stessa onda in due istanti diversi (coerenza temporale) o tra i valori della stessa onda in due luoghi diversi (coerenza spaziale). Esempi di fasci coerenti: luce laser"

Battiti binaurali

"Un battito binaurale è un suono apparente percepito nel cervello come risultato di uno stimolo fisico specifico. Questo effetto è stato scoperto nel 1839 da Heinrich Wilhelm Dove.

Il cervello produce un fenomeno percepito come impulsi di volume sonoro a bassa frequenza, quando due suoni di frequenza leggermente diversa vengono presentati in modo indipendente a ciascuna delle orecchie del soggetto. Se la differenza tra le due frequenze è di 4 hertz, il soggetto sentirà 4 battiti al secondo"

Applicazione in Biocoerenza

Durante le meditazioni audio, vengono integrati battiti binaurali specifici in base alle priorità da affrontare. Questi allenano il cervello su particolari frequenze nelle gamme alfa, beta, gamma o teta.

Onde di scala

Marc Henry¹ spiega che "esiste una quinta dimensione di scala, indipendente dalle tre dimensioni spaziali e dalla dimensione temporale. Questa nuova dimensione permette di determinare la scala in cui opera il fenomeno spazio-temporale osservato o misurato. Ma, se esiste una nuova dimensione, ci sono necessariamente delle onde che possono propagarsi in essa. Queste sono, ovviamente, le nostre onde di scala. Il loro ruolo è quello di garantire la coerenza tra le diverse scale di descrizione e manifestazione dello stesso oggetto fisico. Queste onde di scala non compaiono nei trattati accademici di fisica quantistica o relativistica. Tuttavia, ci sono molto familiari. Dobbiamo solo accettare la domanda su come un individuo sia in grado di riconoscere le diverse parti che lo compongono. Grazie alle onde di scala, lo stesso individuo può percepire la sua unità, indipendentemente dalla scala che utilizza per descriversi".

Le onde di scala sono state teorizzate da Joël Sternheimer, che le ha messe in pratica con Proteodies.

Cristalli temporali

"Un cristallo temporale è una struttura periodica nel tempo e nello spazio. L'idea di tale struttura è stata proposta da Frank Wilczek nel 2012. Secondo lui, è possibile concepire una struttura composta da un gruppo di particelle che si muovono e tornano periodicamente al loro stato originale, che formerebbe un "cristallo temporale". L'espressione è stata coniata a partire da ciò che si osserva in un cristallo 'classico', la cui struttura atomica mostra un modello ripetuto in diverse direzioni nello spazio. In un cristallo temporale, invece, il modello si ripete periodicamente nel tempo, come un oscillatore. Solo un'eccitazione periodica esterna può far apparire un cristallo temporale, che **assorbe energia**. "

Applicazione nella biocoerenza

Una volta identificati i legami tra gli elementi, si possono individuare i modelli ricorrenti. L'idea è che questi schemi (che possono essere successioni di pensieri, movimenti, dolori, disfunzioni varie%u2026) formino strutture che assorbono costantemente energia dal sistema generale per perpetuare il loro movimento. Gli algoritmi del software possono trovare punti nodali specifici per interrompere la ripetizione.

Il rapporto mente-corpo

"La nozione di occorrenza è stata introdotta nel campo della filosofia della mente negli anni '60 da Donald Davidson, al fine di conciliare le idee apparentemente contraddittorie di dipendenza sistematica e irriducibilità della mente e del corpo. Quando una proprietà di tipo B (ad esempio, mentale) sorge su una proprietà di tipo A (ad esempio, fisica), qualsiasi cambiamento di tipo B è equivalente a un cambiamento di tipo A. Quindi, quando c'è un'occorrenza, non può esserci una differenza di un tipo senza una differenza di un altro tipo a un altro livello di descrizione. Esiste quindi una relazione di covariazione tra questi due livelli"

"Secondo Simon Blackburn, la concezione fisica contemporanea della natura manca di proprietà qualitative come il colore, il dolore e tutto ciò che costituisce l'aspetto qualitativo della nostra esperienza del mondo"

"Alcuni filosofi panpsichisti, come Galen Strawson, sostengono da questa prospettiva che tutti gli oggetti fisici sono in realtà proprietà mentali analoghe alle proprietà dell'esperienza vissuta"

1. <https://marchenry.org/2014/09/15/ondes-dechelle/>

Il rapporto materia-energia-informazione-significato; entropia fisica, energetica, informativa e significato

Per tornare all'"aspetto qualitativo della nostra esperienza del mondo", diamo uno sguardo alla materia:

- la materia è composta sia da onde che da particelle. Può essere descritta come materiale (particelle) o energetica (onde). In realtà, stiamo parlando di onde stazionarie autonome che creano il proprio campo magnetico, come una corda di chitarra ripiegata su se stessa. In questo modo, creano %u2026
- energia, che viene immagazzinata o fatta circolare. Può essere scambiata, ma non è di per sé né negativa né positiva: rappresenta semplicemente uno scambio di energia potenziale in una direzione o nell'altra. Tuttavia, trasporta %u2026
- 'informazione, che è codificata su 'energia o materia, e rappresenta i simboli del...
- significato, che in definitiva è l'unica cosa che conta per noi come esseri di coscienza.

Questo rimette in prospettiva la nozione di 'entropia'. A livello di materia, l'entropia è agitazione, o energia potenziale. A livello di informazione, l'entropia è la quantità possibile di informazioni trasmesse sul mezzo (energia o materia). Ma al livello ultimo di significato, l'entropia è la quantità di informazioni significative che possono essere effettivamente trasmesse.

Per esempio: immaginiamo un pulsante che innesca una bomba nucleare. A livello di informazione, un singolo bit di informazione è sufficiente per innescare la bomba. A livello di materia ed energia, l'effetto è gigantesco ma localizzato. E in termini di significato, dipende dall'obiettivo: una città (effetto enorme nello spazio e nel tempo), o un tunnel di prova (effetto limitato al risultato dell'esperimento)? In questo modo, le quantità di entropia possono essere radicalmente diverse a questi diversi livelli, per la stessa azione.

Sincronicità

"A volte pensiamo che l'universo ci stia inviando dei segnali quando si verificano coincidenze apparentemente incredibili. Ma per Jung si tratta di sincronicità, che potremmo definire come la simultaneità di eventi diversi legati da un significato che non è quello del caso. In altre parole, questa scienza singolare può essere riassunta come la coincidenza temporale di una serie di eventi (due o più) che, pur essendo collegati, non sono causalmente connessi. Tuttavia, esiste un legame di contenuto

"Secondo Jung, quando parliamo di sincronicità, ci riferiamo all'unione di eventi interni ed esterni. Così, l'individuo che sperimenta questi eventi trova un significato nella loro unificazione. Jung ha definito la sincronicità o l'evento come una ricerca di modelli riconoscibili"

Applicazione nella BioCoerenza

Il riconoscimento dei modelli è parte integrante del nostro modo di comprendere il mondo. Le sincronicità sono intese come l'emergere di un significato attraverso il confronto di eventi non correlati a priori. È questa connessione attraverso il senso, attraverso il significato, che fa emergere il significato delle informazioni. Questa relazione emergente è evidenziata dal calcolo dei collegamenti tra i biomarcatori. All'estremo, i sistemi coerenti indicano l'equivalente delle sincronicità, ossia l'emergere di un significato di livello superiore.

Semantica generale

"La semantica generale propone una forma non aristotelica di pensiero per tutti, inizialmente sviluppata da Alfred Korzybski.

La semantica generale cerca di estendere il quadro della semantica classica (lo studio del significato dei termini del vocabolario e dei cambiamenti che può subire). L'obiettivo di Korzybski era di concettualizzare una logica che corrispondesse anche al livello di evoluzione scientifica del suo tempo, permettendoci di risolvere i problemi umani in modo più efficace rispetto alle logiche precedenti di Aristotele e Cartesio, e della fisica aristotelica e newtoniana. Queste logiche, concettualizzate dall'Antichità al XVII secolo, Korzybski non le considerava più efficaci per descrivere e affrontare i problemi specifici delle scoperte del suo secolo. Korzybski le applicò alla psichiatria, Henri Laborit alla biologia (teoria dell'inibizione dell'azione) e all'aggressologia (studio delle reazioni degli organismi viventi in condizioni di aggressione).

In Scienza e sanità mentale, Korzybski spiega che vede una corrispondenza tra questa logica non aristotelica e due rivoluzioni scientifiche del XX secolo, la fisica quantistica e la teoria della relatività¹. Sottolinea che la prima capovolge le categorie abituali della ragione, mentre la seconda introduce una fisica "non newtoniana" e una geometria "non euclidea"². Come quest'ultima, il

"no" di non aristotelico non deve essere inteso come una negazione, ma come una generalizzazione e un superamento della logica aristotelica, pur includendo quest'ultima, e la parola "generale" intesa nello stesso senso della relatività generale³. Per analogia con la fisica quantistica, Korzybski afferma che l'osservatore è parte integrante della rappresentazione della realtà e che questo deve essere preso in considerazione nella semantica generale".

Applicazione nella biocoerenza

Tutto è significato. Questo è l'ultimo livello di astrazione della catena materia-energia-informazione-significato. Questo è ciò che gli algoritmi sviluppati per la BioCoerenza cercano di evidenziare.

Euristica

"L'euristica è "l'arte di inventare, di fare scoperte" risolvendo problemi basati su conoscenze incomplete. Questo tipo di analisi porta a soluzioni accettabili in un tempo limitato. Queste possono discostarsi dalla soluzione ottimale. Per Daniel Kahneman, è una procedura che aiuta a trovare risposte adeguate, anche se spesso imperfette, a domande difficili"

Applicazione nella biocoerenza

L'euristica è la "disciplina della ricerca di regole". Anche in questo caso, si tratta di riconoscere i modelli, ed evidenziare i collegamenti ci permette di guardare all'organizzazione generale piuttosto che allo stato particolare di un elemento del sistema.

Ergodicità

"L'ergodicità esiste se diverse analisi statistiche diverse e separate sullo stesso argomento producono un risultato sufficientemente comparabile. La teoria ha subito numerosi sviluppi in stretta connessione con la teoria dei sistemi dinamici e la teoria del caos".

Applicazione nella biocoerenza

Il riconoscimento dei modelli è parte integrante dell'analisi, potenziato dai recenti progressi nell'apprendimento profondo e nelle reti neurali.

Irriducibilità computazionale

"L'irriducibilità computazionale è una delle idee principali proposte da Stephen Wolfram nel suo libro *A New Kind of Science* (2002).

Molti sistemi fisici sono così complessi che non possono essere misurati in modo efficiente. Anche i programmi più semplici presentano un'ampia varietà di comportamenti. Di conseguenza, nessun modello può prevedere, utilizzando solo le condizioni iniziali, cosa accadrà esattamente in un determinato sistema fisico prima di effettuare un esperimento. A causa di questo problema di irriducibilità nel linguaggio formale dell'informatica, Wolfram chiama questa incapacità di "abbreviare" un sistema (o "programma"), o di descrivere il suo comportamento in modo semplice, "irriducibilità computazionale". Questa idea dimostra che ci sono casi in cui le previsioni della teoria sono effettivamente impossibili. Wolfram afferma che molti fenomeni sono normalmente irriducibili dal punto di vista computazionale.

L'irriducibilità computazionale spiega le limitazioni osservate della scienza tradizionale esistente. Nei casi di irriducibilità computazionale, si può ricorrere solo all'osservazione e all'esperimento"

Applicazione nella biocoerenza

Questo concetto spiega, ad esempio, perché la vita si svolge come si svolge. Diciamo che viviamo in una simulazione, come se fossimo personaggi di un videogioco: perché dovremmo preoccuparci di tutte le esperienze che facciamo? Perché non saltare direttamente alla conclusione? Perché, secondo questo principio, è impossibile saltare alla conclusione: siamo obbligati a passare attraverso tutte le fasi dell'evento per conoscere il suo epilogo. Bisogna "giocare il gioco", perché nessuno può dire come finirà senza averlo giocato nella sua interezza.

A mio avviso, questo spiega la maggior parte delle domande complesse sollevate dal misticismo e dalle questioni esistenziali. Diciamo che la metempsicosi (reincarnazione) è vera. Allora perché il Karma? Semplicemente perché è importante calcolare tutte le opzioni possibili e il miglior sistema per calcolare queste opzioni è quello che è consapevole delle alternative. Da questo punto

di vista, il Karma non è uno strumento di vendetta, ma di conoscenza trasversale delle possibili conseguenze, impossibili da prevedere, di un determinato evento. La vita ci presenta poi situazioni simili, ma da un punto di vista diverso, e sta a noi attraversare consapevolmente le fasi e osservare i risultati. In questa visione, non esiste il destino o un evento inevitabile; l'unica realtà è quella delle decisioni che prendiamo di fronte agli eventi che ci vengono presentati, ma l'esito è impossibile da prevedere finché non abbiamo preso le nostre decisioni. In realtà, la nostra vita è interamente nelle nostre mani.

L'inconscio, l'inconscio collettivo e gli archetipi

"L'archetipo è un concetto di psicologia analitica sviluppato dallo psichiatra svizzero Carl Gustav Jung (1875-1961), che lo definisce come la tendenza umana a utilizzare la stessa "forma di rappresentazione data a priori" contenente un tema universale che struttura la psiche, comune a tutte le culture ma rappresentato in varie forme simboliche.

Per la psicologia junghiana, l'archetipo è un processo psichico fondante delle culture umane, in quanto esprime i modelli elementari di comportamento e di rappresentazione che sono emersi dall'esperienza umana nel corso della storia, in combinazione con un altro concetto junghiano, quello dell'inconscio collettivo"

A proposito di inconscio, ecco un elenco di invenzioni e scoperte che gli autori sostengono di aver avuto una mattina, dopo un sogno:

- Cartesio affermò che tre sogni distinti che fece il 10 novembre 1619 gli rivelarono le basi di una nuova filosofia, il metodo scientifico. OK, quindi il metodo scientifico stesso deriva da un sogno.
- E. Howe si dice che abbia sognato l'ago della moderna macchina da cucire con punto annodato.
- Lo scienziato F.A. Kekulé scoprì la struttura chimica apparentemente impossibile del benzene (C₆H₆) quando sognò un gruppo di serpenti che ingoiavano la coda.
- Niels Bohr ricevette il Premio Nobel per la Fisica nel 1922 per la sua scoperta della struttura dell'atomo. Ricorda che gli elettroni che ruotano intorno al nucleo, come il sistema solare, gli apparvero in sogno.
- Il chimico russo Dmitri Mendeleev era esausto dopo tre giorni di tentativi di classificare i 56 elementi, quando decise di dormire. "Nel mio sogno ho visto una tabella in cui tutti gli elementi si posizionavano come dovevano. Quando mi sono svegliato, l'ho subito scritta su un foglio di carta", ha scritto Mendeleev nel suo diario. "Solo in un punto si è rivelata necessaria una correzione"
- Il matematico indiano Srinivasa Ramanujan, noto per i suoi contributi sostanziali alla teoria dei numeri, all'analisi e ad altre aree della matematica pura, sosteneva che la dea indù Namagiri Thayar gli dava intuizioni matematiche nei suoi sogni: "Improvvisamente, una mano iniziò a scrivere sullo schermo. Divenni molto attento. Questa mano scrisse una serie di integrali ellittici. Mi sono rimasti impressi nella mente. Non appena mi sono svegliato, le ho annotate
- Un campo di mucche ha ispirato la teoria della relatività di Albert Einstein. Nel suo sogno, Einstein disse a un contadino che le mucche erano circondate da un recinto elettrico, ma il contadino vide qualcosa di diverso. Einstein si svegliò con la consapevolezza che lo stesso evento poteva variare da prospettive diverse, e la teoria della relatività iniziò a prendere forma.
- Se Charles Darwin è sotto i riflettori quando si tratta della teoria dell'evoluzione, lo scienziato Alfred Russel Wallace non è da meno. Durante una spedizione di otto anni in quella che oggi è l'Indonesia, Wallace raccolse e studiò migliaia di esemplari di animali. Nel 1855, Wallace concluse che gli esseri viventi si evolvono, ma non capì come fino al 1858, quando un sogno di febbre gli fece la rivelazione: gli animali si evolvono adattandosi al loro ambiente.
- Prima del lavoro di Otto Loewi, la domanda era se la neurotrasmissione fosse essenzialmente chimica o elettrica. La notte prima della domenica di Pasqua, Loewi aveva sognato la configurazione sperimentale perfetta: due camere contenenti cuori pulsanti - una con i nervi intatti, l'altra senza. Queste camere sarebbero state riempite con una soluzione e collegate da un tubo. Lo sperimentatore stimola elettricamente il primo cuore, facendolo battere più lentamente. Se la neurotrasmissione è essenzialmente elettrica, non c'è motivo per cui il secondo cuore rallenti. Tuttavia, se la neurotrasmissione è chimica, le sostanze chimiche potrebbero teoricamente fluttuare nel tubo e rallentare anche il secondo cuore nell'altra camera. Loewi prende nota di questa idea, ma non riesce a decifrare la propria scrittura quando si sveglia al mattino. La notte successiva, il sogno gli ritorna in mente. In collaborazione con Henry Dale, Loewi utilizzò questo dispositivo sperimentale per dimostrare la neurotrasmissione chimica e vinse il Premio Nobel nel 1936.
- James Watson, che insieme a Francis Crick ha scoperto la struttura a doppia elica del DNA - i mattoni della vita - pare abbia sognato una scala a chiocciola, che gli ha dato l'idea di come potesse essere costruito il DNA. Secondo altre fonti, sognò due serpenti intrecciati, le cui teste si trovavano alle estremità opposte.
- Ci sono innumerevoli canzoni, libri, videogiochi e film le cui idee sono diventate chiare all'autore una mattina.

La mente razionale (la cui razionalità deriva, non dimentichiamolo, da un sogno) può trarre diverse conclusioni da questo:

1. I sogni permettono all'inventore di sintetizzare i suoi pensieri in modo diverso dalla mente. Conclusione: esiste un processo di pensiero diverso dentro di noi, che si nutre di tutto ciò che abbiamo già dentro di noi e che si esprime negli archetipi. L'inconscio è in grado di portarci informazioni interessanti.
2. I sogni sono una porta d'accesso a una dimensione diversa della conoscenza. Conclusione: i sogni sono un linguaggio che ci porta informazioni finora inaccessibili, forse da altre realtà o da altri esseri coscienti.

Queste due possibilità non si escludono a vicenda. Ma, sia che il sogno sia una porta verso il nostro io interiore o una porta verso un'altra realtà, in entrambi i casi spicca una conclusione: il linguaggio dei sogni, l'archetipo dell'inconscio, è una valida fonte di informazioni e di evoluzione per i nostri problemi coscienti.

La nostra esperienza personale, dopo oltre 10 anni di meditazione, è che la meditazione permette all'inconscio di comunicare meglio con il conscio. La meditazione allena la mente cosciente ad ascoltare meglio la "vocina" che altrimenti si esprime solo nella profondità dei sogni. Abbiamo visto il potere di dare più spazio all'inconscio. Questi due aspetti lavorano insieme per una migliore risoluzione dei problemi, poiché hanno accesso a campi di conoscenza molto diversi.

L'altra mia conclusione personale è che la comunicazione interna deve essere allenata come un muscolo. Le prime visioni di Christine erano molto sfocate e insicure, ma dopo anni di allenamento, ha sviluppato un nuovo "senso" che è tangibile come i soliti 5 sensi. Qualunque sia la spiegazione dell'origine di queste informazioni, è stato dimostrato mille volte che sono reali come quelle degli altri sensi. Ma, senza allenamento, è molto difficile separare l'illusione dalla realtà. Dopo tutto, ci vogliono anni per padroneggiare e fidarsi dei nostri 5 sensi fisici; questi 5 sensi traducono semplicemente gli stimoli che riflettono una realtà dal mondo esterno, in uno schema nei nostri neuroni. Quello che abbiamo capito è che ci sono anche sensi "sottili" che traducono realtà esterne concrete e che devono essere allenati.

Applicazione in BioCoerenza

Le meditazioni guidate fanno appello a diversi archetipi per mettere in azione l'inconscio e il conscio nella risoluzione dei problemi e nello sviluppo interiore di sé.

Vera coerenza cardiaca

Dan Winter definisce la vera coerenza cardiaca con la comparsa di una cascata di picchi nella parte "armonia" dell'analisi (cioè una FFT di 2° ordine). Una FFT o trasformazione di Fourier viene utilizzata per estrarre le frequenze da un segnale. Una FFT di 2° ordine estrae le frequenze musicalmente armoniose. Questa operazione matematica ci permette di rilevare che una netta maggioranza delle frequenze presenti in un elettrocardiogramma sono armoniche tra loro; lui la chiama "vera coerenza cardiaca".

Questo picco nella parte "armonia" può essere trovato a diverse frequenze, e sono state identificate le bande di frequenza di questo picco che corrispondono alle emozioni fondamentali al momento della registrazione.

Frattalità, compressione e coniugazione di fase

"Un numero infinito di stati è massimamente compresso quando il rapporto tra le frequenze è una potenza del rapporto aureo" [\(gsjournal²\)](https://www.gsjournal.net)

La compressione è definita qui come la massima aggiunta di frequenze (che hanno quindi fasi costruttive - coniugate - tra loro), ottenuta se le frequenze sono multipli del numero d'or tra loro.

La frattalità si riferisce al fatto che strutture simili possono essere trovate a scale diverse.

Misurazioni Elfie

Dan Winter, ancora una volta, ha teorizzato un'equazione fondamentale di "implosione" dell'energia ottimale; questa equazione predice molte delle frequenze di risonanza trovate nell'universo. Ho chiamato la quantità corrispondente 'Elfie' in omaggio, da un lato, agli Elfi (e in particolare all'architettura elfica) e, dall'altro, all'equazione stessa: $n \text{ Elfie} = L_p \times \phi^{in}$, cioè la lunghezza di Planck (la più piccola lunghezza misurabile nell'universo) moltiplicata n volte per il rapporto aureo.

In questo modo, la scala Elfie non è solo proporzionale al numero di Elfie, ma include anche valori dati per Elfie interi. Questi valori interi includono molte quantità note, come la lunghezza, il tempo e la frequenza. Per maggiori informazioni, consulti [Elfie.link](https://elfie.link).³

2. <https://www.gsjournal.net/Science-Journals/Research-Papers-Quantum-Theory/Particle-Physics/Download/4543>

3. <https://elfie.link>

3.1.

Panoramica dei moduli

- BioCoherence **Scan** è un modulo di analisi completo da un elettrocardiogramma grezzo a diverse dozzine di mappe, grafici e modi espliciti per calcolare e interpretare i biomarcatori.
- BioCoherence **Test** è un modo aperto per valutare elenco di elementi dalla evoluzione in tempo reale del polso (biofeedback).
- BioCoherence **Balance** permette di identificare risorse e scelta delle priorità, e creare report PDF e meditazioni personalizzate basate su questo.

Contenido

| | | |
|-----------|--|-----------|
| 1. | Scansione: biomarcatori e analisi tecnica | 17 |
| 1.1. | Modulo grafico del tempo | 17 |
| 1.2. | Modulo biomarker | 17 |
| 2. | Scansione: mappe degli organi | 19 |
| 2.1. | Cause notevoli: energia | 19 |
| 2.2. | Cause notevoli: entropia | 20 |
| 2.3. | Sistemi notevoli: coerenza | 20 |
| 2.4. | Cervello | 20 |
| 2.5. | Sistema cardiovascolare | 21 |
| 2.6. | sistema digestivo | 21 |
| 2.7. | Membrane | 21 |
| 2.8. | Vertebre | 22 |
| 2.9. | Sistema nervoso | 22 |
| 2.10. | Denti | 22 |
| 2.11. | Sistema locomotore | 23 |
| 2.12. | Sistema respiratorio | 23 |
| 2.13. | Genitali femminili | 23 |
| 2.14. | Genitali maschili | 24 |
| 3. | Scansione: meridiani TCM, punti e ricette..... | 25 |
| 3.1. | Meridiano della vescica con link | 25 |
| 3.2. | Meridiani per energia, con problemi comuni correlati | 25 |
| 3.3. | Punti TCM | 26 |
| 3.4. | Ricette TCM, per coerenza | 26 |
| 4. | Scans: I moduli di energia | 27 |
| 4.1. | Ayurveda: Dosha e sub-dosha | 27 |
| 4.2. | Grafici di energia: chakras, piani, orologio e slancio | 27 |
| 4.3. | Grafici dell'energia: il micro mondo | 27 |
| 5. | Scansione: il modulo Mente | 29 |
| 5.1. | Il modulo ombra | 29 |
| 5.2. | Ombra: drive | 29 |
| 5.3. | Il modulo Spirito | 30 |
| 6. | I moduli di Equilibrio | 31 |
| 6.1. | Risorse | 31 |
| 6.2. | Priorità | 31 |
| 6.3. | Relazione PDF | 32 |
| 6.4. | Bilanciamento: la meditazione personalizzata | 32 |
| 7. | I moduli dei test | 33 |
| 7.1. | Una lista di test dopo una valutazione dal vivo | 33 |
| 7.2. | Una lista di test | 33 |
| 7.3. | Elenco test | 33 |
| 7.4. | test: valutazione dal vivo del biofeedback | 34 |
| 7.5. | test: modifica | 34 |
| 8. | I moduli di comprensione | 35 |

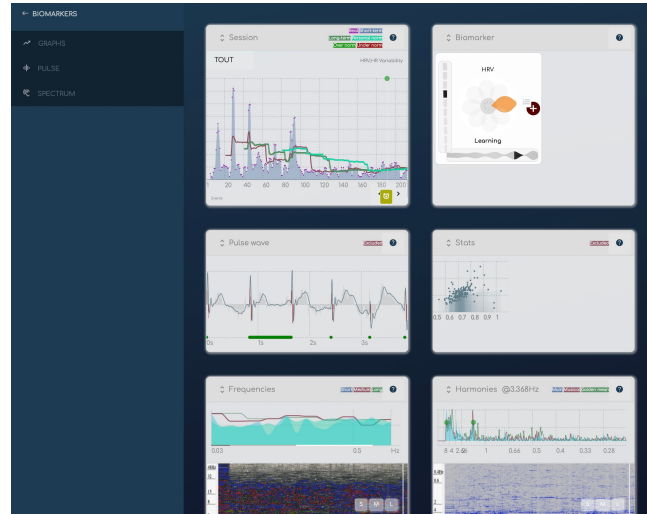
1. Scansione: biomarcatori e analisi tecnica

Lavorare sul polso ECG, sui biomarcatori e sullo spettro.

BioCoherence costruisce i suoi biomarcatori esclusivamente attraverso operazioni matematiche sui pulsazioni ECG registrate raw.

- In questo modulo, puoi accedere alla registrazione raw, disabilitare i battiti se ci sono stati errori di misurazione (l'app disabilita automaticamente i battiti basandosi su un algoritmo automatico di rilevamento della qualità) e lavorare su eventi temporali.
- Puoi anche vedere le informazioni di 1a, 2a e 3a ordine sui biomarcatori, e navigare tra di essi per categoria (ci sono più di 1400 biomarcatori...).

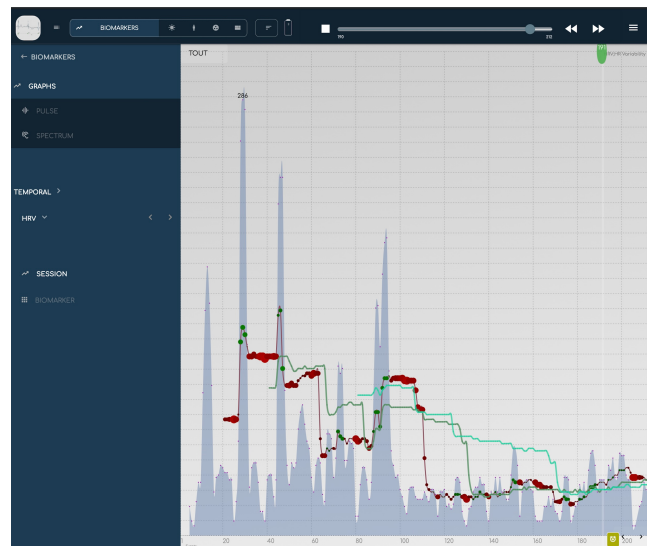
1.1. Modulo grafico del tempo



Guarda come un biomarker evolve nel tempo e nelle sessioni.

BioCoherence funziona con i biomarcatori in un modo molto dinamico, valutando la loro evoluzione su diversi intervalli di tempo e confrontandoli attraverso gli intervalli di tempo.

- In questo grafico, ogni biomarcatori è mostrato a livello di battito, rispetto alle medie mobile a breve, medio e lungo termine.
- È possibile muoversi all'interno della registrazione con lo scorrimento in alto (premere il pulsante Play per visualizzarlo; premere il pulsante Stop per confrontare tra le sessioni). E anche possibile cliccare nel grafico per spostare il marcatore corrente.
- È possibile cambiare la scala di zoom con il selettore dell'intervallo in alto a sinistra.
- È possibile lavorare con eventi su questo modulo: gli eventi sono visualizzati in basso nel grafico. Per creare o modificare un evento, cliccare sul pulsante in basso del grafico.

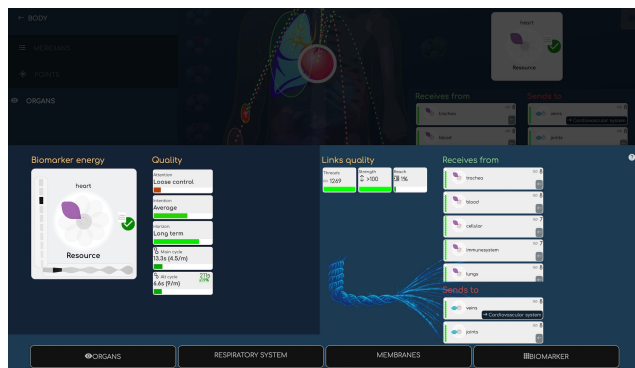


1.2. Modulo biomarker

Un approfondimento sulle ampie informazioni di un biomarker.

Ogni biomarker è a un clic dal pannello Biomarker, che mostra in modo compatto e conveniente tutto ciò che c'è da sapere sulla sua dinamica.

- Le informazioni principali sono il biomarker **fiore**, che permette di valutare immediatamente la sua principale qualità. Il Fiore è un composito della sua energia principale e della sua entropia principale (o agitazione). Ci sono 9 petali diversi, e ognuno è accompagnato da una parola semplice per comprendere la sua principale qualità.
- Le qualità dinamiche sono visualizzate nella seconda colonna. **Attenzione, intenzione e orizzonte** sono informazioni sulla sua dinamica a lungo termine.
- Il ciclo principale e il ciclo alt sono anche mostrati in questa colonna. Questo è la principale respirazione del biomarker. Il ciclo è visualizzato in durata (secondi) e periodo (al minuto). Se il ciclo corrisponde a un integer valore Elfie¹, che indica una risonanza con una buona implosione energetica, il collegamento alla tabella Elfie è evidenziato.
- Il pannello dei **link** mostra relazioni con altri biomarker (qui, altri organi). La qualità dei link è un composito delle principali corde (i filamenti sono una conta di tutti i link, la forza sulla loro solidità, e il Reach indica quanti biomarker nella famiglia sono collegati con questo qui). Riceve da, e invia a, elenca gli altri biomarker. Un clic su di esso apre la loro pagina informativa.
- In fondo, i pulsanti Maps e Graph permettono un accesso diretto alle pagine rilevanti.



1. <https://elfie.link>

2. Scansione: mappe degli organi

Decine di mappe del corpo esclusive e bellamente disegnate sono state progettate per BioCoherence in modo che la navigazione e i link diventino facili da vedere e comprendere.

Con quasi 500 biomarcatori dedicati ai sistemi organici, organi o parti di organi, abbiamo ritenuto di dover mappare tutto per dare senso ad esso.

- Una dozzina di mappe magnificamente realizzate per una visione generale o zoomate su Denti, Vertebre, Nervi, Cervello...
- Una delle caratteristiche fondamentali di BioCoherence è l'informazione di terzo ordine **Link tra biomarcatori**. Ogni mappa mette magnificamente in evidenza i collegamenti tra gli organi sulla mappa, oppure collegamenti con un click ad organi su altre mappe.
- I collegamenti visivi e le due colonne permettono di valutare immediatamente le relazioni energetiche con altri organi (riceve da, o invia a)
- Il selettore sulla sinistra elencherà tutti gli organi su questa mappa, insieme alla loro valutazione biomarker.



Aprire il modulo

Facendo clic su "Corpo" poi su "organi", il modulo si apre con una panoramica generale del corpo, inclusi una selezione dei biomarcatori più importanti: organi principali, ormoni principali, parti principali del sistema locomotore, sangue, cellule.

Se fai clic su un organo, o lo selezioni dalla lista del menu, esso è circondato da un'aura bianca, e i principali collegamenti con gli altri organi su questo schermo vengono visualizzati (sono cerchiati in rosso se ricevono energia dall'organo selezionato, e in verde se inviano energia ad esso).

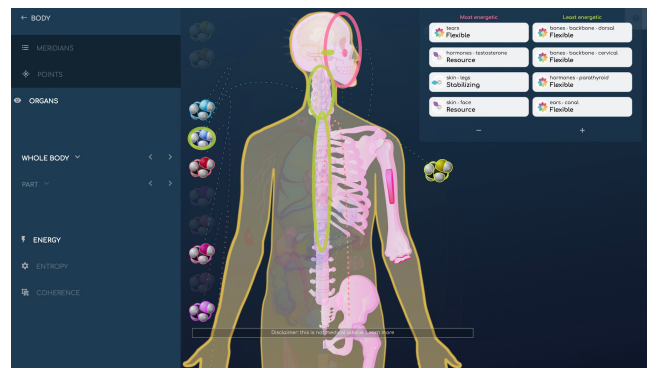
Se esistono collegamenti con organi che sono dettagliati su altre mappe del corpo, essi vengono identificati dal nome di quella mappa su uno sfondo nero; cliccando su di esso si aprirà quella mappa dettagliata.

2.1. Cause notevoli: energia

Evidenzia immediatamente le parti più e meno energetiche

Ogni mappa corpo ha un sottomenù Energia, Entropia e Coerenza, sotto il menù mappa e il menù parti.

- Il modulo **Energia** mostra gli elementi meno e più energetici di questa mappa, insieme ai loro link di relazione. Puoi cambiare il numero di elementi cliccando sui pulsanti + e - sotto la lista, e clicca su qualsiasi biomarker per visualizzare le sue informazioni.



2.2. Cause notevoli: entropia

Evidenzia immediatamente le parti più agitate e le più statiche

Ogni mappa del corpo ha un sottomenu Energia, Entropia e Coerenza, sotto il menu mappa e il menu parti.

- Il modulo **Entropia** mostra gli elementi più agitati e più statici di questa mappa, insieme ai loro collegamenti relazionali. Puoi cambiare il numero di elementi cliccando sui pulsanti e - sotto l'elenco, e cliccare su qualsiasi biomarker per visualizzare le sue informazioni.

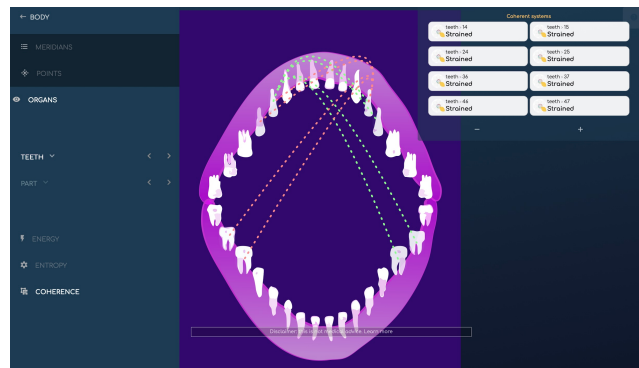


2.3. Sistemi notevoli: coerenza

Evidenzia immediatamente i sistemi che risuonano insieme di più.

Ogni mappa del corpo ha un sottomenu Energia, Entropia e Coerenza, sotto il menu della mappa e il menu delle parti.

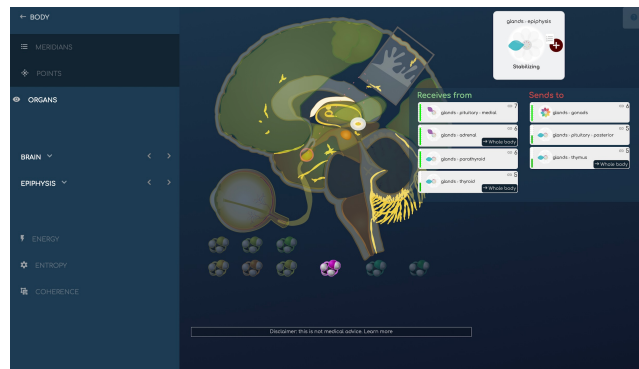
- Il modulo **Coerenza** visualizza i sistemi che sono più in fase tra loro, che risuonano insieme, insieme ai loro legami relazionali. Puoi cliccare su qualsiasi biomarker per visualizzarne le informazioni.



2.4. Cervello

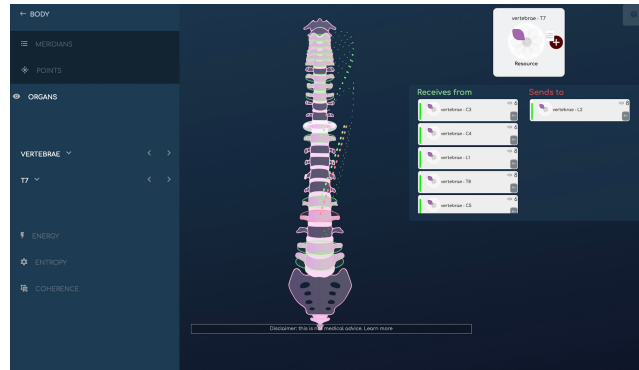
I collegamenti tra i componenti del cervello, e gli ormoni ad essi collegati, sono evidenziati grafica qui; è anche possibile visualizzare i più notevoli da un punto di vista energetico, i più o meno agitati, e quelli in coerenza

Abbiamo anche aggiunto gli occhi e i loro componenti a questa mappa.



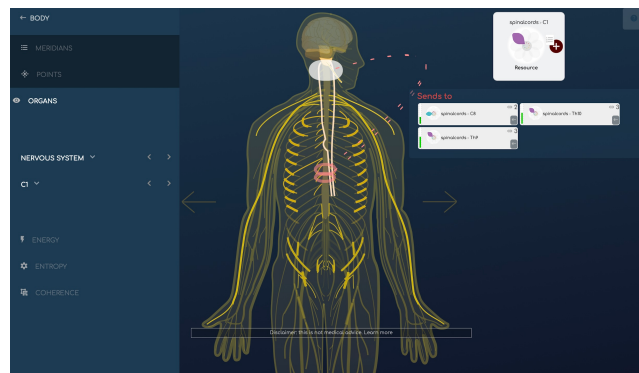
2.8. Vertebre

I collegamenti tra le vertebre sono evidenziati graficamente qui; è anche possibile visualizzare quelli che sono più notevoli da un punto di vista energetico, quelli che sono più o meno agitati, e quelli che sono coerenti.



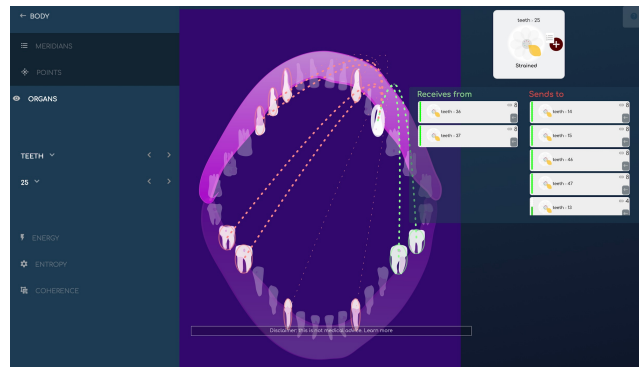
2.9. Sistema nervoso

I collegamenti tra gli elementi del sistema nervoso sono evidenziati grafica qui; è anche possibile visualizzare i più notevoli da un punto di vista energetico, i più o meno agitati, e quelli in coerenza. Il sistema nervoso include il cervello e i dettagli del cervello, i nervi e i dettagli di alcuni nervi, e i nervi collegati al midollo spinale.



2.10. Denti

I collegamenti tra denti e gengive sono evidenziati grafica qui; è anche possibile visualizzare i denti più energeticamente significativi, quelli più o meno agitati, e quelli in coerenza.



2.11. Sistema locomotore

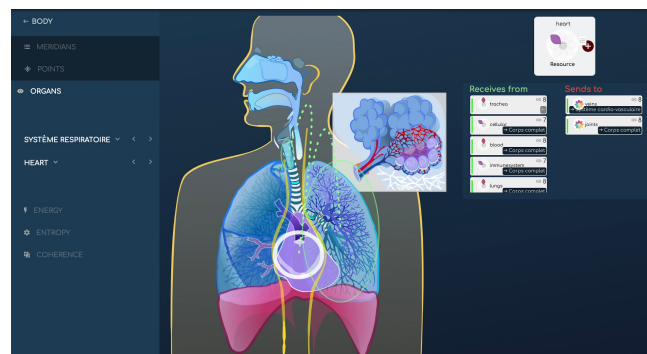
I collegamenti tra gli elementi del sistema muscolo-scheletrico (ossa, muscoli, ma anche ormoni e alcuni organi) sono evidenziati graficamente qui; è anche possibile visualizzare i più notevoli da un punto di vista energetico, i più o meno agitati, e quelli in coerenza

Le selezioni fatte su ciascuna tavola anatomica sono progettate per esaltare le relazioni pertinenti tra gli elementi. Su questo schermo, oltre alle parti della colonna vertebrale, midollo osseo, scheletro, cartilagine, muscoli, fascia e metabolismo del calcio, abbiamo aggiunto ormoni e organi interessanti come paratiroide, hdh o noradrenalina, capelli, pelle e denti.



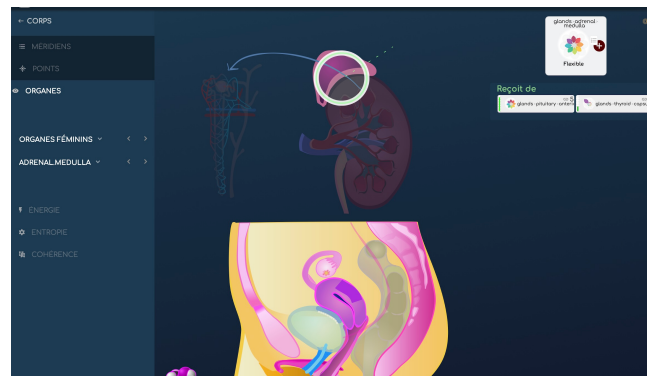
2.12. Sistema respiratorio

I collegamenti tra gli elementi del sistema respiratorio sono evidenziati graficamente qui; è anche possibile visualizzare i più notevoli da un punto di vista energetico, i più o meno agitati, e quelli in coerenza. In questo schermo, troviamo anche i seni frontali, i canali uditivi, e il cuore.



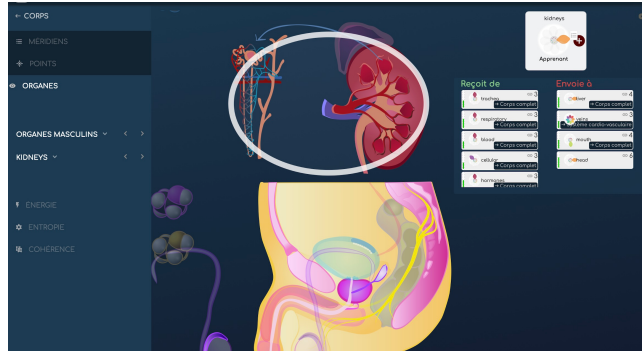
2.13. Genitali femminili

I collegamenti tra gli elementi della genitalità femminile e gli organi correlati (reni, vescica, sacro, ghiandole surrenali, e ormoni correlati come la pregnenolone...) sono evidenziati graficamente qui; è anche possibile visualizzare i più notevoli da un punto di vista energetico, quelli più o meno agitati, e quelli in coerenza.



2.14. Genitali maschili

I collegamenti tra gli elementi della genitalità maschile e gli organi correlati (rene, vescica, sacro, ghiandole surrenali, e ormoni correlati come testosterone, dhea, hgh...) sono evidenziati graficamente qui; è anche possibile mostrare i più notevoli da un punto di vista energetico, i più o meno agitati, e quelli in coerenza



3. Scansione: meridiani TCM, punti e ricette

Meridiani, punti di agopuntura, ricette TCM

Maestri della valutazione energetica da 5000 anni, la Medicina Tradizionale Cinese è ampiamente utilizzata e drasticamente estesa in BioCoherence.

- **Meridiani** sono visualizzati in 12 o 20 parti. I principali canali energetici del corpo, il grafico mostra i loro collegamenti e la mappa, i loro percorsi.
- **Punti di agopuntura** sono animati dinamicamente sulla mappa. Più di 350 punti sono calcolati dal nostro algoritmo esclusivo.
- **Ricette** sono modi tradizionali per affrontare problemi energetici, nel modo TCM. Abbiamo drasticamente esteso questo principio per calcolare l'energia, l'entropia e la coerenza di centinaia di ricette per valutare la loro utilità nella valutazione attuale, indicando così il loro possibile bisogno - una forma di valutazione che potrebbe aiutare a diagnosticare problemi.



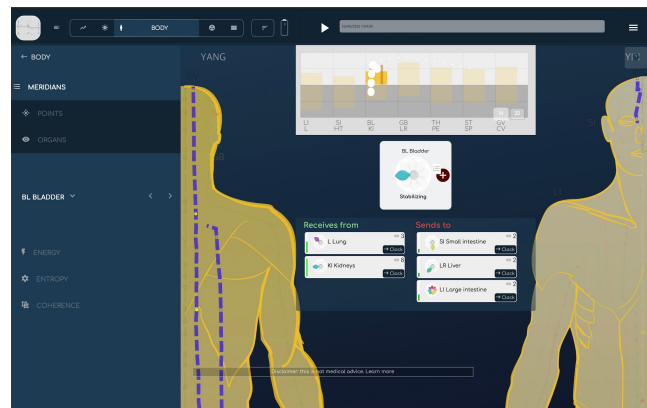
3.1. Meridiano della vescica con link

Clicca su un meridiano per ottenere informazioni.

Quando clicchi su un meridiano, il grafico mostrerà le sue relazioni con altri meridiani, il biomarker mostrerà la sua principale qualità, e i collegamenti con altri meridiani (riceve da, o invia a) saranno visualizzati.

- Puoi navigare tra i meridiani con il menu sulla sinistra, e mostrare tutti i meridiani con il loro biomarker nel menu a discesa.

3.2. Meridiani per energia, con problemi comuni correlati



Identifica i migliori e i peggiori energetici, in un clic

Il **menu energia** mostra direttamente i meridiani più energetici e meno energetici, che possono aiutare a identificare problemi.

- Facendo clic su un meridiano, appaiono conclusioni aggiuntive, che sono relative allo stato energetico attuale del meridiano, e alle possibili condizioni quando associate allo stato di altri meridiani, secondo la conoscenza TCM.

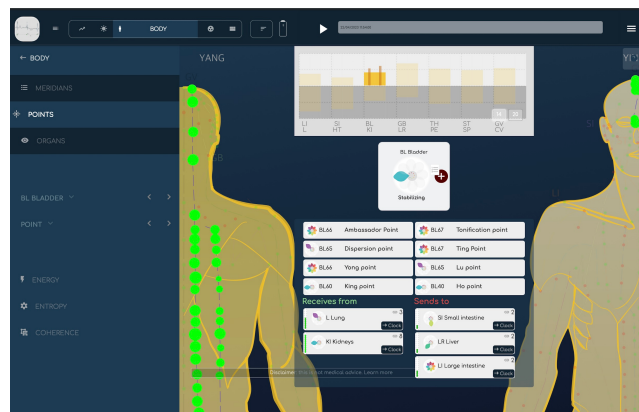


3.3. Punti TCM

Più di 350 punti vengono calcolati

Il **modulo Punti** mostra i punti di agopuntura TCM.

- Fai clic su un meridiano per mostrare tutti i punti in questo meridiano, insieme alle informazioni tradizionali sui punti importanti del meridiano.
- Fai clic su un punto per vedere il suo biomarker.

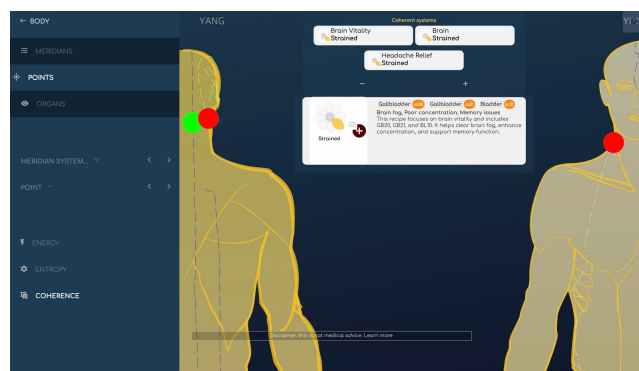


3.4. Ricette TCM, per coerenza

La coerenza è un modo per vedere ricette che sono completamente in fase.

Abbiamo decodificato le ricette di agopuntura per trasformarle in uno strumento di valutazione.

- Facendo clic su **Coerenza**, le ricette i cui punti sono completamente in fase insieme (questo significa, che i loro punti risuonano insieme e si muovono insieme come un unico punto) vengono visualizzate. Fai clic su una ricetta per vedere i punti sulla mappa e ottenere indicazioni. Quando aggiunta alle priorità, la ricetta verrà utilizzata nella parte Bilanciamento per aiutare a riequilibrare i suoi effetti.



4. Scans: I moduli di energia

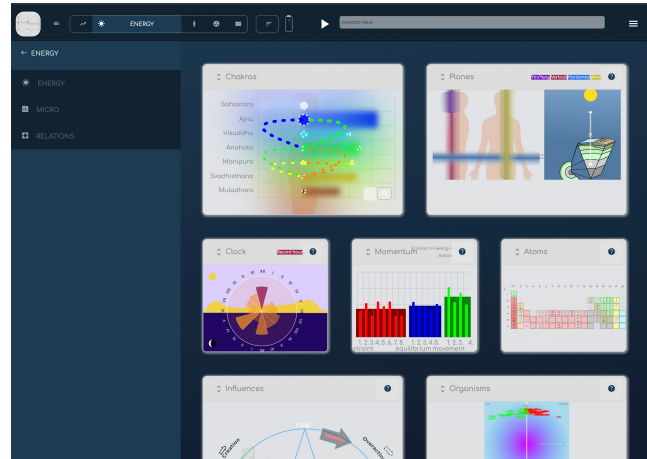
Tutto ciò di cui hai bisogno per valutare a livello energetico

Questi grafici consentono di vedere informazioni come i chakra, l'orologio, i piani, il momento, gli atomi, le influenze e gli organismi.

4.1. Ayurveda: Dosha e sub-dosha

La valutazione ayurvedica dell'energia del corpo.

I praticanti ayurvedici sanno come lavorare con la costituzione energetica del corpo. Le tre principali costituzioni sono Vata, Pitta e Kapha, ognuna con 5 sub-dosha. In un'analisi di BioCoherence, puoi vedere ogni dosha e sub-dosha muoversi quando sposti il cursore del tempo, perché tutti questi sistemi sono dinamici. Il modo in cui si muovono fa parte della nostra valutazione.

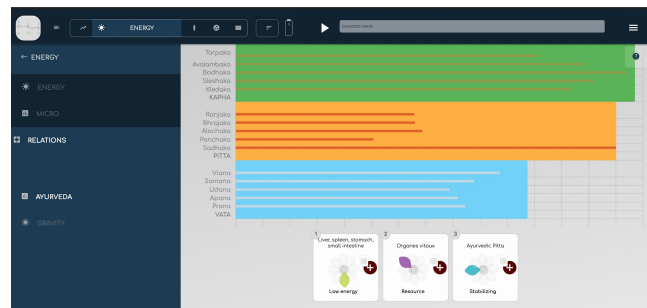


4.2. Grafici di energia: chakras, piani, orologio e slancio

I principali motori energetici del corpo

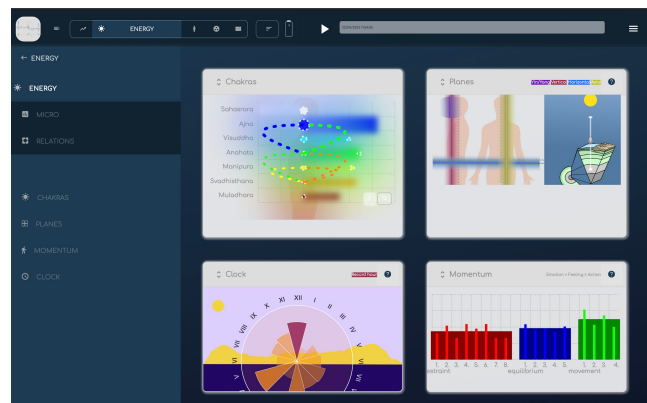
Questi 4 grafici permettono una propria valutazione energetica delle principali funzioni del corpo.

- **Chakra** può mostrare i 7 o 12 chakra, la loro aura globale, e le relazioni tra di essi.
- **Piani** sottolinea i principali equilibri energetici del corpo: i piani orizzontali, verticali e assi sono mostrati, insieme al collegamento al campo profondo della terra e al campo celeste.
- **Orologio** mostra la relazione tra i meridiani e le loro principali ore di funzionamento, insieme al tempo di registrazione, per valutare la giusta allineamento temporale.
- **Momento** è un grafico che abbiamo creato per mostrare le 3 principali inerzie e i loro componenti: quelli che ristagnano, quelli che equilibrano e quelli che aiutano al movimento.



4.3. Grafici dell'energia: il micro mondo

Molto piccolo, ma molto utile



Questi 3 grafici mostrano i micro elementi che possono influenzare il sistema globale.

- **Atomi** mostrano la tabella periodica e le risonanze tra gli elementi.
- **Influenze** è la stella dei 5 elementi TCM, con le loro rispettive influenze costruttive o distruttive calcolate e evidenziate attraverso frecce.
- **Organismi** è la valutazione di 200 organismi esterni (virus, batteri, funghi e parassiti) e i loro rispettivi collegamenti.

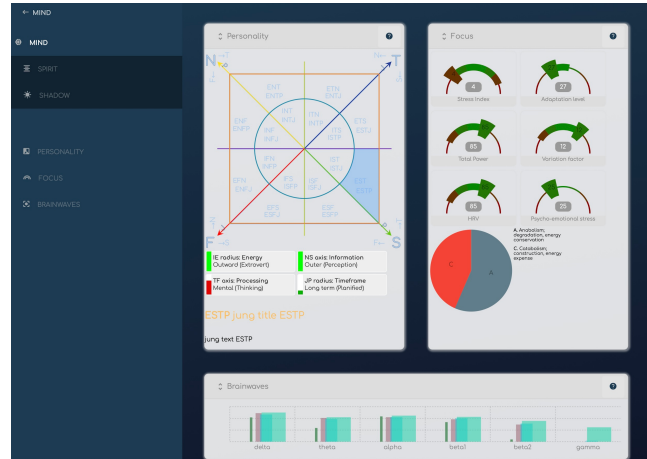


5. Scansione: il modulo Mente

La mente, lo spirito e l'ombra sono il focus di questo modulo.

Con più di 300 biomarker dedicati a ciò che accade nei nostri pensieri, il modulo Mind si propone di organizzare in modo conveniente le loro letture.

- **Mente** affronta la personalità, la concentrazione e le onde cerebrali.
- **Personalità** ricostruisce il tipo di personalità Jung (successivamente popolarizzato come Myers Briggs o MBTI). Per questo schermo abbiamo creato una visualizzazione logica unica e nuova basata su 4 assi che abbiamo scoperto nella valutazione della personalità.
- **Concentrazione** raggruppa indicatori accademici tradizionali dell'HRV così come un visualizzatore di equilibrio costruttivo/distruttivo.
- **Onde cerebrali?** Sì, il nostro sensore può leggere fino a 64Hz l'elettricità di tutto il corpo, non solo quella del cuore. Abbiamo progettato un algoritmo per estrarre le informazioni specifiche delle onde cerebrali per ottenere un senso degli stati di focus più attivi della mente.



5.1. Il modulo ombra

Emozioni, ferite e impulsi

L'ombra, o il subconscio, è una parte integrante del nostro comportamento.

- **Le emozioni** vengono estratte dai principali ritmi dell'ECG.
- **Le ferite** sono collegate alle influenze della medicina tradizionale cinese. Le 5 ferite (o 8 ferite come erano state progettate originariamente) hanno un uso popolare da 30 anni. In BioCoherence, ampliamo il loro significato aggiungendo le rispettive relazioni costruttive o distruttive.
- **Le spinte** rappresentano un modo completamente nuovo di organizzare le emozioni in un modo significativo.

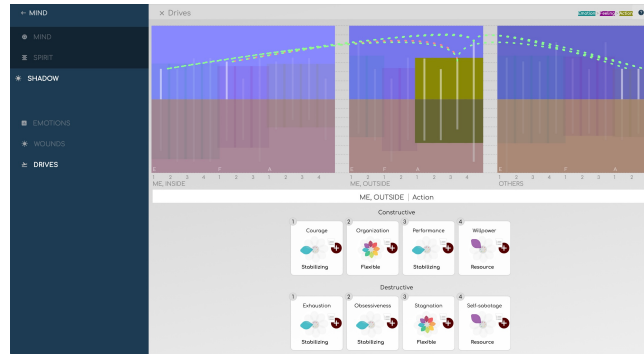


5.2. Ombra: drive

Un nuovo modo per organizzare le emozioni.

Drives è un modo completamente nuovo di organizzare le emozioni in un modo significativo in 28 gruppi di opposti, ordinati in modo chiaro in 3 gruppi principali (ME Dentro, ME Fuori e ALTRO), ognuno composto da 3 sottogruppi (Emozione, Sentimento, Azione).

- **ME Dentro** si occupa delle emozioni che riguardano il mio funzionamento interno.
- **ME Fuori** si occupa di quelle emozioni che relazionano il mio funzionamento interno con ciò che accade intorno a me.
- **ALTRO** si occupa delle emozioni che riguardano le altre persone intorno a me.
- **Emozione** è la radice della loro origine.
- **Sentimento** è come io le interpreto.
- **Azione** è ciò che faccio con loro.



Utilizzando tecniche di meditazione come la mente osservante, si può meglio comprendere l'articolazione e le implicazioni delle emozioni che sorgono. La risonanza che collega le emozioni, che si mostra quando si clicca sul grafico, può anche aiutare a comprendere cosa sta succedendo.

5.3. Il modulo Spirito

Musica e allineamento della scala

Lo spirito è quella parte di noi che trascende lo spazio e il tempo.

- **Musica** è una lettura delle frequenze principali nell'ECG coppia con molta teoria musicale. La scala e gli accordi principali vengono calcolati su un breve termine (una misura), medio termine (2 misure), lungo termine (3 misure) e molto lungo termine (4 misure). Questi vengono poi utilizzati quando si costruisce la meditazione personalizzata, per portarti musicalmente da dove sei, a dove potresti andare.
- **Allineamento** è basato sull'equazione di Dan Winter e Valori interi Elfie².
- in Allineamento, **Coerenza focalizzata** è, come dice Dan, la "Vera Coerenza Cardiaca": calcola la quantità di focalizzazione attraverso il cepstrum (2° ordine FFT) o, in termini semplici, calcola quanto le frequenze globali trovate nell'ECG siano **musicalmente** in sintonia e in fase insieme.
- in Allineamento, **Coerenza Cardiaca Reale** calcola la stessa cosa ma per le frequenze che sono multipli del rapporto d'oro tra loro.
- in Allineamento, **Implosione incorporata %** mostra la parte delle frequenze che sono vicine ai valori interi Elfie, indicando così la quantità di energia che è attualmente incorporata nel miglior ciclo di implosione energetica.



2. <https://elfie.link>

6. I moduli di Equilibrio

Priorità, risorse, report e meditazioni guidate.

L'equilibrio è una raccolta di strumenti per aiutarti a raggiungere la massima qualità.

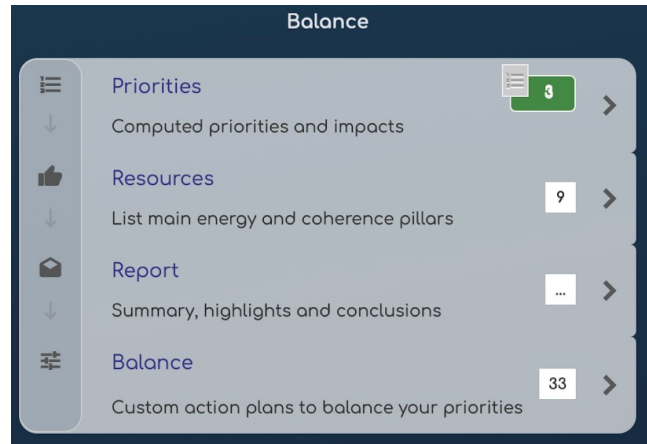
- **Priorità** è ciò che richiede attenzione ora.
- **Risorse** è ciò su cui puoi fare affidamento in modo affidabile.
- **Report** è un documento PDF per tutte le parti importanti dell'analisi.
- **Balance** è la generazione di meditazioni guidate, frequenze, battiti binaurali e ri-valutazioni, tutti ottimizzati in tempo reale tramite biofeedback.

6.1. Risorse

Il potere delle risorse: sono già tuoi e sono già disponibili per aiutare

Le risorse sono i principali pilastri, i principali motori energetici per questa registrazione. Il modulo Bilanciamento è principalmente costruito su risorse per scegliere frequenze rilevanti, battiti binaurali e voci di guida audio per accumulare energia prima di iniziare a lavorare sulle priorità.

- Le risorse sono identificate automaticamente ma possono essere cambiate se necessario. Per cambiare una risorsa, clicca su di essa e scegli un'altra delle risorse più importanti per questa categoria.

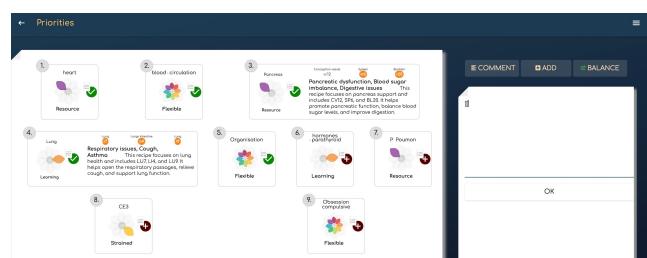
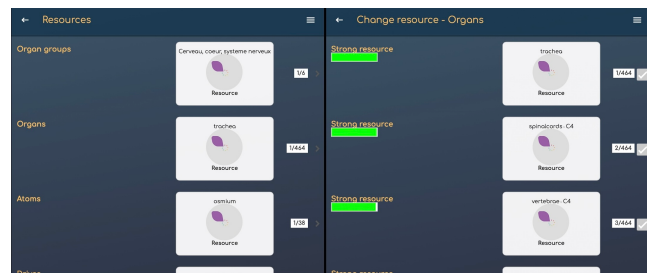


6.2. Priorità

Cosa ha bisogno di attenzione.

Le priorità sono biomarcatori che necessitano di attenzione. Vengono calcolate automaticamente dopo una registrazione, ma è completamente nelle mani dell'utente aggiungere o rimuovere priorità.

- Le priorità possono essere aggiunte o rimosse da qualsiasi fiore biomarcatori, in qualsiasi pagina, o nel modulo Priorità. Basta cliccare sul pulsante !
- Sotto le priorità, il pulsante **Commento** consente all'utente di aggiungere qualsiasi testo.



- Il pulsante **Aggiungi** visualizza un elenco di ulteriori priorità pertinenti da scegliere, se necessario, da Organi, meridiani di agopuntura, punti meridiani, Ricette TCM, Chakra, Motori, Slancio...

6.3. Relazione PDF

esportazione 1-clic di tutte le informazioni importanti come PDF

Il report PDF può essere stampato, salvato o inviato con 1 clic. Contiene:

- Informazioni sul cliente
- Informazioni sulla registrazione
- Annotazioni
- Parti e sessioni
- Risorse e priorità
- Meridiani principali (energia, entropia, coerenza)
- Organi principali (energia, entropia, coerenza)
- Principali ricette MTC (energia, entropia, coerenza)

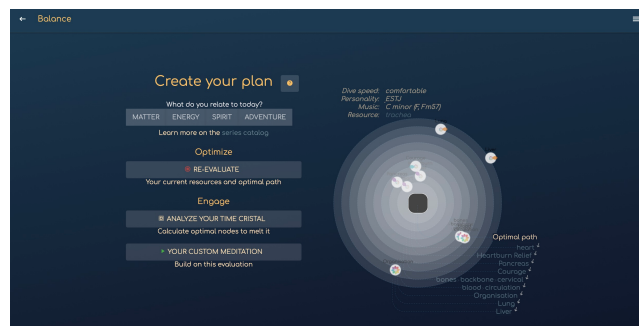
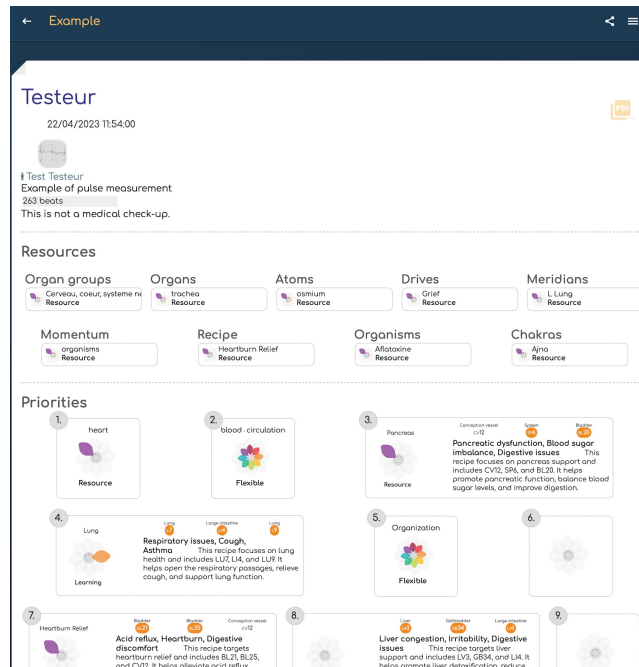
Può essere personalizzato dal Pro.

6.4. Bilanciamento: la meditazione personalizzata

Ora è il momento di agire.

L'equilibrio è un intero modulo per creare meditazioni personalizzate.

- L'utente può scegliere uno stile con cui si identifica, che selezionerà carte da diverse serie di meditazioni guidate.
- Si consiglia di ri-valutare ogni giorno, prima di una nuova meditazione: tutti i biomarker evolveranno e la meditazione verrà ricomputata di conseguenza.
- I principali parametri (velocità di immersione, personalità, musica, risorse) vengono calcolati dalle caratteristiche principali dei biomarker calcolati. La musica è generata dalla melodia e degli accordi correnti dell'utente, verso lo stato desiderato, in una progressione armonica.
- Le priorità vengono visualizzate come pianeti che orbitano attorno all'utente, sempre più lontani perché è così che la meditazione si avvicinerà a loro, sempre più in profondità nello spazio.
- Uno strumento aggiuntivo è il **melter del Cristallo del tempo** che verrà calcolato attorno ai valori interi di tempo-Elfie e ricorderà all'utente nei momenti opportuni le decisioni e il lavoro in corso. Pensalo come micro-meditazioni, 5 a 30 secondi per se stessi in particolari nodi temporali. L'obiettivo è dissolvere il Cristallo del tempo delle abitudini e riprogrammare l'intero sistema in 21 giorni.

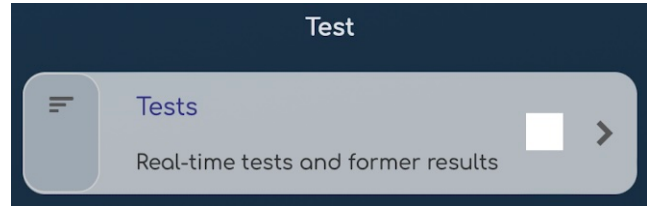


7. I moduli dei test

Utilizzando il biofeedback per ottenere una valutazione in tempo reale di qualsiasi informazione

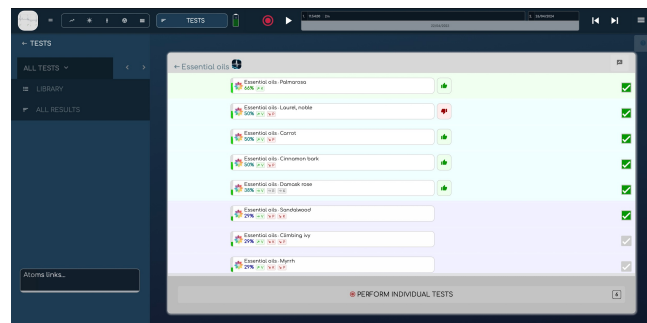
Test sono un modo unico per valutare qualsiasi tipo di informazione.

- Utilizzando il biofeedback in tempo reale, i test sono valutazioni individuali di compatibilità.
- Test sono composti da liste di elementi. Ogni elemento può essere pre-calcolato da una scansione, e testato in diretta rispetto alla reazione del corpo alle sue informazioni.



7.1. Una lista di test dopo una valutazione dal vivo

Dopo la valutazione dal vivo, puoi vedere le 2 informazioni visualizzate nella lista: la pre-valutazione automatica (se presente), basata sulle esigenze del biomarker e l'effetto dichiarato di ciascun elemento della lista; e la risposta biofeedback, un pollice su o giù, basata sulla risposta somatica dell'organismo durante il test.

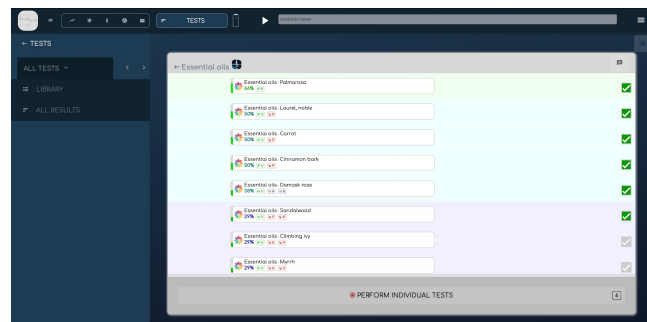


7.2. Una lista di test

Un test è composto da un elenco di elementi da valutare e ordinare.

7.3. Elenco test

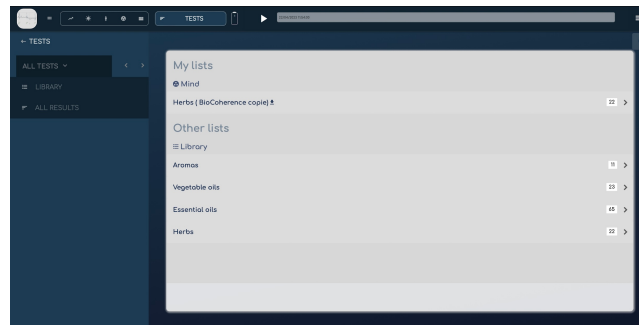
Ricerca, modifica, condivisione e scelta dei test



Tests è una piattaforma aperta dove i creatori possono creare e condividere le loro liste. Puoi cercare per parole chiave, creatore o tipo di test, duplicare test esistenti per creare il tuo, e visualizzare tutti i risultati testati per il rapporto corrente in un clic.

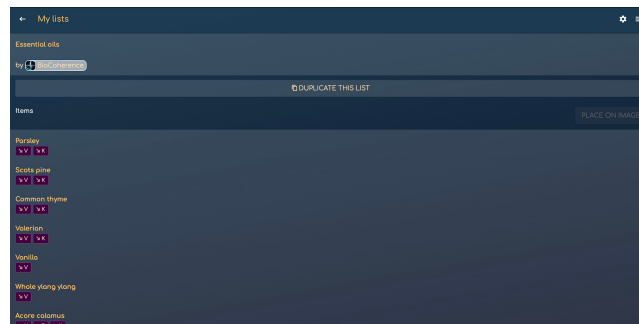
7.4. test: valutazione dal vivo del biofeedback

Quando lanciando un test, le informazioni vengono inviate all'utente e la risposta somatica viene valutata.



7.5. test: modifica

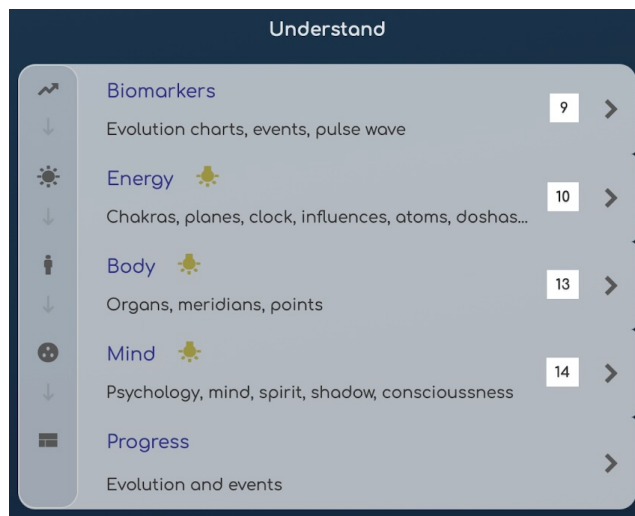
Qualsiasi pro può creare test per se stesso o da condividere in seguito. Per ogni elemento nella lista dei test, si può specificare l'azione sui biomarcatori per una valutazione automatica, oppure aggiungere qualsiasi tipo di informazione per una valutazione del biofeedback.



8. I moduli di comprensione

I risultati della scansione sono visualizzati sotto questo modulo.

Controlla i diversi capitoli di Scansione per ottenere ulteriori dettagli.



3.2.

Guida dettagliata

Questo manuale tratta tutti gli aspetti dell'applicazione, e ogni capitolo è illustrato con screenshot e video per aiutarti a capire come utilizzarlo al meglio.

Per accedere ai video e al forum per capitolo, vai su biocoherence.net/tutorials

Contenido

| | | |
|------------|---|-----------|
| 9. | Introduzione | 39 |
| 9.1. | Panoramica dell'interfaccia del software | 39 |
| 9.2. | Apri un rapporto | 40 |
| 9.3. | Registrazione con Sensore | 41 |
| 9.4. | Gestione clienti | 42 |
| 9.5. | Rapporto multi-parte | 43 |
| 10. | Comprendere: Biomarcatori | 44 |
| 10.1. | Biomarcatori in dettaglio | 44 |
| 10.2. | Modifica e verifica dell'onda pulsata (registrazione grezza) | 46 |
| 10.3. | Monitoraggio delle variazioni dei biomarcatori nel corso delle sessioni | 46 |
| 10.4. | Analisi della Frequenza e Armonica | 46 |
| 10.5. | La catena causale | 47 |
| 10.6. | Prevalenza | 50 |
| 10.7. | Poligrafo | 50 |
| 11. | Comprendere: Energia | 51 |
| 11.1. | Atomi | 51 |
| 11.2. | Valutazione Energetica Ayurvedica | 51 |
| 11.3. | Visualizzazione dei Chakra | 52 |
| 11.4. | Influenze | 53 |
| 11.5. | Momento | 53 |
| 12. | Comprendere: Corpo | 55 |
| 12.1. | meridiani TCM | 55 |
| 12.2. | mappe degli organi | 56 |
| 12.3. | Punti di agopuntura | 57 |
| 13. | Comprendere: Mente | 59 |
| 13.1. | Allineamento | 59 |
| 13.2. | Onde cerebrali | 59 |
| 13.3. | Guide | 60 |
| 13.4. | Emozioni | 62 |
| 13.5. | Focus | 62 |
| 13.6. | Musica | 63 |
| 13.7. | I tipi di personalità 2016 | 64 |
| 13.8. | Le 5 ferite | 65 |
| 14. | Test | 67 |
| 14.1. | Elenco test | 67 |
| 15. | AI in BioCoherence | 70 |
| 15.1. | AI Assistenti | 70 |
| 16. | Equilibrio | 73 |
| 16.1. | Priorità | 73 |
| 16.2. | Risorse | 74 |
| 16.3. | rapporto PDF | 75 |
| 16.4. | Equilibrio: Meditazioni, suoni e strumenti | 76 |
| 16.5. | Potenziamento Armonico | 79 |

9. Introduzione

Presentazione generale di questa guida

In questa introduzione, esamineremo come aprire un report esistente, importare un ECG da Health, o creare un nuovo report registrando con Sensor. Esamineremo anche i concetti iniziali dell'applicazione.

9.1. Panoramica dell'interfaccia del software

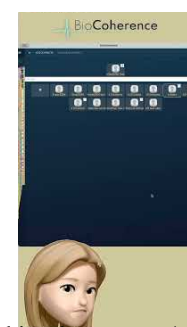
Interfaccia su computer, tablet o smartphone; forum, accesso al manuale contestuale e richieste di aiuto contestuale.

Quando apri un report dopo la registrazione, ci sono diversi elementi dell'interfaccia per aiutarti a navigare e analizzare i dati in modo efficiente.

In alto dell'interfaccia, troverai un menu che fornisce accesso alle diverse parti del report. Una barra di navigazione ti permette di muoverti all'interno della registrazione. Il menu principale è diviso in diverse sezioni. Per tornare al riepilogo, clicca semplicemente sul pulsante fornito.

Le sezioni principali includono :

- **Analisi dello scan:** Questa sezione mostra vari schermi, come corpo, energia, analisi tecnica dei biomarcatori, analisi mentale, e progressioni attraverso le registrazioni.
- **Test:** Attualmente, questa sezione ha solo un ingresso, ma saranno aggiunte ulteriori opzioni. Include test di lista, test di frequenza e test live.
- **Connessioni dei sensori:** Cliccando sull'icona della batteria, puoi iniziare una connessione Bluetooth ai sensori e iniziare una registrazione direttamente.



biocoherence.net/n82.92

Navigare nella registrazione può avvenire in alto dello schermo su un computer o in basso su un telefono, a seconda della dimensione dello schermo. Puoi navigare tra sezioni come prima della sessione, dopo la sessione, e vedere tutte le azioni eseguite per un cliente specifico. L'interfaccia permette anche navigazione battito per battito per un'analisi dettagliata in tempo reale.

Il salvataggio del report include informazioni sul cliente, titolo del report, e la possibilità di salvare il report nel cloud. Questo permette l'accesso da più dispositivi e assicura i dati lontano dal computer locale. Puoi anche cambiare il cliente se una registrazione è stata iniziata sul profilo sbagliato.

Il menu generale in alto dell'interfaccia offre diverse opzioni:

- Torna alla pagina principale
- Modifica liste dei test
- Gestione dei contatti
- Modifica dettagli di contatto e account
- Modifica abbonamento
- Aggiorna dati dell'applicazione
- Utilizza il calcolatore Elfie

Le ultime notizie e un'opzione di richiesta di aiuto sono accessibili da tutte le pagine. In caso di un problema tecnico, puoi inserire "Opinioni e suggerimenti", fare una domanda, o inviare una richiesta di supporto con uno screenshot.

Richieste di aiuto, forum e manuali online

L'applicazione offre anche aiuto contestuale e video integrati per ogni voce. Ogniqualvolta vedi il simbolo del punto interrogativo (?), si aprirà un breve testo di aiuto. Questo testo può darti accesso a un video e alla pagina del manuale direttamente. Ti darà anche accesso a un forum collaborativo. Se non hai un problema specifico ma vuoi fare un commento in questo momento, o se hai bisogno di chiarimenti tra praticanti, puoi aprire questo forum collaborativo cliccando sui punti interrogativi. Puoi quindi fare domande o rispondere alle domande di altri utenti là.

Utilizzare la funzione "Notifiche e Suggerimenti" per richiedere aiuto

La funzione "Notifiche & Suggerimenti" è accessibile da qualsiasi pagina della tua interfaccia e ti permette di richiedere aiuto in caso di un problema tecnico. Ecco come utilizzarla in modo efficace:

1. Apri il menu nell'angolo in alto a destra e accedi al menu "Notifiche e suggerimenti".
2. Typa la tua domanda o descrivi il tuo problema nella casella di testo fornita.
3. Il sistema cerca nella banca dati una risposta alla tua domanda.
4. Se viene trovata una risposta, sarà visualizzata direttamente sullo schermo.
5. Se non viene trovata nessuna risposta, puoi inviare una richiesta di supporto.

Per inviare una richiesta di supporto, hai due opzioni:

- **Fai uno screenshot:** Questo ti aiuta a comprendere meglio cosa sta succedendo sullo schermo. Una volta che hai fatto lo screenshot, puoi utilizzare gli strumenti in alto per annotare l'immagine. Ad esempio, puoi cerchiare l'area di problema e aggiungere una nuvoletta esplicativa.
- **Scrivi un ticket:** Puoi anche semplicemente scrivere una descrizione del tuo problema senza fare uno screenshot.

Una volta che hai annotato lo screenshot o scritto la tua descrizione :

- Clicca su "Valida".
- Aggiungi un breve testo se necessario per chiarire la tua ricerca iniziale.
- Spedisci il messaggio.

La tua richiesta verrà quindi convertita in un ticket con tutte le informazioni necessarie affinché il team di supporto possa aiutarti nel miglior modo possibile. Usa sempre il menu "Notifiche e suggerimenti" quando hai domande specifiche o problemi da risolvere.

Segui le tue richieste

Ancora nel menu "Notifiche e suggerimenti", un terzo pulsante "Monitora i tuoi ticket" apre tutte le tue richieste correnti, permettendoti di aggiungere informazioni o visualizzare le nostre risposte.

Torna alla pagina principale

Quando torni alla pagina principale, l'ultimo report aperto viene visualizzato per accesso rapido. L'interfaccia include sezioni importanti per l'analisi dello scan, test live, conclusione dello scan, e la possibilità di condividere risultati.

L'interfaccia è progettata per offrire navigazione fluida e strumenti completi per analizzare e condividere le registrazioni.

9.2. Apri un rapporto

Scopri l'app

Introduzione

Benvenuto in questo capitolo dedicato all'applicazione BioCoherence, disponibile su smartphone e computer. Questa applicazione ti permette di monitorare e analizzare vari biomarker per un migliore equilibrio mente-corpo.

Pagina principale

Quando apri l'applicazione, ti trovi nella pagina principale. Hai due scelte: iniziare una nuova misurazione o aprire un rapporto campione. Ti raccomandiamo di iniziare aprendo il rapporto campione per familiarizzare con l'interfaccia. Questa pagina principale presenta anche un menu che fornisce una varietà di informazioni, che descriveremo in dettaglio nelle sezioni seguenti.



biocoherence.net/n82.2

Rapporto esempio

Una volta aperto il rapporto esempio, noterai che il calcolo inizia immediatamente. Questo ti porta al menu principale, che è diviso nelle seguenti sezioni:

- Bilanciamento: Priorità, Risorse
- Rapporti: Rapporto PDF, Meditazioni Guidate
- Analisi dettagliata: Biomarker, Energia, Corpo, Mente, Progressione

Applicazione per computer

Navigazione

Se stai utilizzando uno smartphone o un computer, un area di navigazione è disponibile nella parte superiore o inferiore dello schermo. Questo ti permette di spostarti da una sezione all'altra, in particolare per confrontare le registrazioni pre- e post-allenamento, o per monitorare il progresso giornaliero nel corso di un determinato periodo. Per tornare indietro o avanti nella registrazione, basta premere "play" e navigare attraverso la registrazione.

Analisi del biomarker

Quando selezioni la sezione "Biomarker", puoi esaminare dati come l'onda del polso. Questa analisi può variare in base al tipo di biomarker e al tempo di registrazione. Su computer, sono disponibili schede aggiuntive come "Test" e "Progressione", che offrono una vista dettagliata dell'evoluzione dei biomarker nel corso delle sessioni.

Conclusione

Qui è stata fornita una panoramica generale dell'applicazione BioCoherence. Per una comprensione approfondita di ogni schermata e funzione, ti invitiamo a consultare i video complementari.

9.3. Registrazione con Sensore

Diversi metodi sono disponibili per effettuare una registrazione ECG pulita con BioCoherence. Puoi iniziare dalla pagina principale iniziando una nuova registrazione e cliccando su "registra". Un'altra opzione è iniziare dalla pagina "progresso" o cliccando sull'icona della batteria in alto nello schermo. Queste azioni collegheranno automaticamente l'applicazione al sensore Bluetooth e inizieranno la registrazione.

Durante la registrazione, viene visualizzata un'animazione per illustrare i risultati attesi. Tuttavia, questa animazione non viene aggiornata in tempo reale con le misurazioni. I dati saranno calcolati al termine della registrazione. L'animazione ti aiuta a trascorrere il tempo necessario per ottenere una buona registrazione, idealmente per almeno due minuti.

Tre cursori in alto nello schermo, etichettati "energia", "attività" e "collegamento", si riempiono progressivamente. Questi cursori devono essere completamente riempiti per assicurarsi che le informazioni raccolte siano sufficienti per calcolare tutte le variabili necessarie. Una volta che questi cursori raggiungono 100%, la registrazione è considerata sufficiente.

Per garantire la qualità della registrazione, posiziona un pollice su ogni sensore. Se il segnale non è di buona qualità, usa gel per elettrodi o inumidisci leggermente le dita. La qualità del segnale viene valutata automaticamente. Ad esempio, se rimuovi un dito, la registrazione si ferma immediatamente. Se rimetti il tuo dito, la riconnessione richiede circa un secondo, ma potrebbe essere necessario ri-calibrare.

Se non applichi una pressione sufficiente, ti muovi o fai movimenti improvvisi, lo schermo cambia in uno sfondo rosso, indicando che i dati non vengono presi in considerazione. Il dispositivo aspetterà la ri-calibrazione, indicato dal ritorno dei punti verdi e dall'assenza dello sfondo rosso, prima di riprendere la registrazione di dati di buona qualità.

Una volta che i cursori sono 100% pieni, clicca su "Ferma". L'applicazione calcolerà quindi tutti i dati, e potrai consultare i vari capitoli principali della registrazione dello scan.



biocoherence.net/n82.13

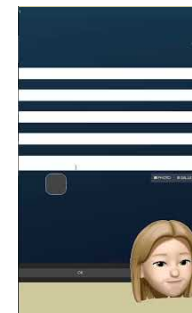
9.4. Gestione clienti

Panoramica

BioCoherence Pro ti permette di collegarti con un numero illimitato di clienti, ciascuno dei quali può essere collegato via la propria applicazione. Questo capitolo ti guiderà attraverso i passaggi necessari per gestire e condividere informazioni con i tuoi clienti.

Selezione cliente

In tutte le pagine dove devi selezionare un cliente, un pulsante "Seleziona" è disponibile nell'angolo in alto a destra per effettuare questa selezione. Per trovare un cliente, basta digitare il suo nome nel campo di ricerca. Il sistema visualizzerà i clienti corrispondenti e il numero di record disponibili per ciascuno.



biocoherence.net/n82.15

Gestione dei record

Una volta selezionato un cliente, vedrai i record disponibili per quel cliente. I record possono essere identificati da diversi pittogrammi:

- Un pittogramma indica che il record è memorizzato sul computer locale.
- Un altro pittogramma indica che la registrazione è nel cloud.
- Un terzo pittogramma indica che il cliente ha accesso a questa registrazione.

Condivisione dei report

Quando apri un report, puoi scegliere se desideri condividere l'accesso con il cliente. Nella pagina principale, un pulsante ti permette di modificare le informazioni del cliente, come genere, email e una foto. Queste informazioni sono cruciali per visualizzazioni specifiche degli organi sessuali e dei chakra.

Invio delle inviti

Per inviare un invito a un cliente, inserisci il loro indirizzo email e clicca su "Invia email". Puoi anche condividere il link d'invito o il testo via SMS, WhatsApp o qualsiasi altra applicazione disponibile sul tuo dispositivo. Il messaggio può essere inviato in inglese o francese, cambiando la lingua con il selettore della bandiera.

Utilizzando queste funzioni, puoi gestire e condividere facilmente informazioni con i tuoi clienti su BioCoherence Pro, garantendo comunicazioni efficienti e sicure.

Gestione utenti e clienti in BioCoherence, in dettaglio

L'app BioCoherence offre funzioni complete per la gestione di utenti e clienti, permettendo agli utenti di gestire i loro profili e quelli dei loro clienti. Questa sezione dettaglia le funzionalità disponibili per gestire utenti e clienti all'interno dell'app, inclusa la creazione di nuovi contatti, il cambio tra utenti, e la gestione dei dati degli utenti.

Visualizzazione Utente Corrente

- **Visualizzazione Utente:** L'utente corrente è visualizzato in alto nella schermata principale dell'interfaccia dell'app. Questo può essere tu (l'utente principale) o qualsiasi cliente o contatto.
- **Funzione Privacy:** Gli utenti possono sfocare tutti i nomi e le immagini cliccando sull'icona di sfocatura, garantendo la privacy quando altri potrebbero stare visualizzando lo schermo.

Analisi Utente

- **Visualizza Analisi:** Cliccando su "Apri Analisi" o "Vedi Tutte le Analisi" verranno visualizzate solo le analisi collegate all'utente corrente.
- **Switching Utenti:** Per cambiare utente, clicca sull'icona con due frecce per accedere alla directory degli utenti. L'utente principale è sempre elencato in alto in questa lista.

Directory Utenti

- **Accesso alla Directory Utenti:** Clicca sull'icona con due frecce per aprire la directory degli utenti.
- **Selezione Utenti:** Utilizza l'icona di ricerca (lente d'ingrandimento) nella parte inferiore della pagina per filtrare gli utenti inserendo parole chiave.
- **Creazione Nuovi Contatti:** Accedi alla lista dei contatti tramite il menu e clicca su "Crea Nuovo Contatto" per aggiungere un nuovo utente. Specifica il genere per una visualizzazione accurata sullo schermo. Aggiungi la loro email se vuoi invitarli o condividere un report, o dar loro accesso al report nella loro app.

Gestione Contatti

- **Modifica Contatti:** Modifica i dettagli del contatto corrente, inclusi nome, email e genere. La selezione del genere influenza la visualizzazione sullo schermo, particolarmente per le analisi specifiche di genere.
- **Integrazione Email:** Aggiungere un email permette l'invio diretto di report PDF e crea un account sul server per l'utente.
- **Informazioni Aggiuntive:** I campi opzionali includono data di nascita, peso e note personali. La data di nascita non Ã¨ attualmente utilizzata nei calcoli, ma sarÃ¨ utilizzata per future funzionalitÃ come il confronto dell'etÃ biologica.

Gestione File Utente

- **Salvataggio File:** Le analisi vengono salvate nei file degli utenti. Assicurati che le analisi siano salvate sotto l'utente corretto per evitare confusioni. Puoi cambiare l'utente in questa fase se c'era un errore, come iniziare un record sotto un utente diverso.
- **Upload nel Cloud:** Le analisi possono essere caricate nel cloud per la condivisione. Questo Ã¨ necessario per condividere l'accesso con i clienti.

Condivisione e Inviti Utenti

- **Invitare Utenti:** Invia inviti agli utenti via email o testo, consentendo loro di accedere ai loro report e utilizzare l'app.
- **Condivisione Report:** Condividi report PDF con i clienti. I report possono essere personalizzati selezionando quali sezioni includere.

CompatibilitÃ Dispositivo e Aggiornamenti

- **CompatibilitÃ Dispositivo:** L'app Ã¨ compatibile con diverse piattaforme, con aggiornamenti regolarmente rilasciati per migliorare la funzionalitÃ .
- **Aggiornamento dell'App:** Gli utenti dovrebbero controllare regolarmente la presenza di aggiornamenti per assicurarsi di%

9.5. Rapporto multi-parte

Per esaminare i dettagli di un report, inizia aprendo il report in questione. Clicca sul suo nome per aprirlo, che mostrerÃ i vari elementi che contiene. Nella parte superiore dello schermo su un computer, o nella parte inferiore su un telefono, sono visualizzate le varie sezioni del report. Per definizione, l'intero record Ã¨ visibile, ma puoi scegliere di visualizzare solo la prima o la seconda sezione, ad esempio.

Dettagli della sezione possono essere accessibili tramite la scheda "Progressione", anch'essa situata nel centro dell'interfaccia della pagina principale. Questa scheda mostra l'evoluzione dei vari variabili nel corso delle registrazioni. Ad esempio, puoi vedere registrazioni distanti 5 minuti l'una dall'altra, 4 minuti 30, o registrazioni di diverse lunghezze, come 40 secondi e 20 secondi.

Ã¨ anche possibile aggiungere commenti a queste registrazioni. Questa funzione rende possibile documentare l'inizio e la fine delle sessioni, o annotare azioni specifiche per osservare l'evoluzione dei marcatori nel corso di una sessione.

I vari record sono direttamente accessibili, permettendoti di confrontare lo stato dei biomarcatori, sezione per sezione, e osservare cambiamenti nel momento, nei chakra, ecc. Queste funzioni offrono una visualizzazione dettagliata, comparativa delle diverse sezioni del report.



biocoherence.net/n82.6

10. Comprendere: Biomarcatori

Analisi tecnica della onda pulsata

Queste schermate consentono l'analisi tecnica della onda del polso, come l'estrazione di frequenze e armonie, la modifica della registrazione, l'analisi diretta dell'onda, grafico dell'evoluzione dei biomarker...

10.1. Biomarcatori in dettaglio

Introduzione

In questo capitolo, esploreremo i dettagli dei biomarcatori in un'interfaccia utente. Prendiamo l'esempio dei chakra per illustrare come funzionano e come le informazioni rilevanti vengono visualizzate.

Accesso ai Chakra

Quando si accede a una pagina dedicata ai chakra, vengono visualizzati i vari chakra. Cliccando su un chakra specifico, i biomarcatori associati appaiono nella parte destra dello schermo.



biocoherence.net/n82.8

Energia e Agitazione

Il primo elemento chiave è l'energia, una risorsa valutata in base al livello di energia e agitazione. Sul lato sinistro dello schermo, l'energia è visualizzata, mentre in basso, l'agitazione è visualizzata. Entrambi gli aspetti sono rappresentati da 9 petali differenti, che descrivono lo stato di energia e agitazione:

- Qui, alta energia e bassa agitazione indicano una risorsa.

Informazioni aggiuntive

Anche altre informazioni vengono visualizzate:

- Livello di attenzione
- Livello di intenzione
- Orizzonte temporale (breve, medio o lungo termine)
- Principale ciclo dell'elemento

Evoluzione e Media

È possibile seguire l'evoluzione dei biomarcatori nel corso di una sessione, divisa in quattro parti. Ad esempio, è possibile osservare una variazione nell'energia, con fasi di ascesa e discesa, che consentono di valutare la media complessiva.

Priorità

Ciascuna pagina del biomarker offre oltre 1,400 biomarcatori differenti. Un pulsante consente di aggiungere automaticamente un biomarker alle priorità. Cliccando su "aggiungi alle priorità", questo elemento viene contrassegnato per ulteriori trattamenti, come meditazioni o frequenze di riarmonizzazione. Il processo di aggiunta e rimozione è a un semplice clic di distanza.

Qualità del Collegamento

Li collegamenti tra elementi della stessa famiglia (ad esempio chakra) sono individuati:

- Numero di fibre (collegamenti)
- Punti di risonanza
- Percentuale di diffusione (ad esempio il 33% dei chakra collegati)

Pulsanti di Accesso Diretto

Due pulsanti facilitano la navigazione:

- Accesso diretto al chakra
- Accesso diretto alla pagina di analisi del biomarker a schermo intero

Help e Informazioni

Un punto interrogativo è disponibile su ogni pagina, fornendo informazioni aggiuntive sui petali e sui significati delle diverse risonanze e regolazioni.

In breve, questo interfaccia consente una gestione dettagliata, personalizzata dei biomarcatori, facilitando l'analisi e l'ottimizzazione dei chakra e di altri elementi correlati.

Informazioni sull'energia e l'agitazione del biomarker

Energia

La scala verticale a sinistra mostra l'energia media del biomarker. Un valore basso (in basso) indica un biomarker a bassa energia. Un valore alto (in alto) indica un biomarker ad alta energia. Per alcuni biomarcatori (ad esempio punti di agopuntura, emozioni...) l'energia può essere negativa o positiva, indicando un impatto sull'equilibrio complessivo. In questo caso, l'energia bassa è individuata nel centro della scala.

Agitazione

La scala orizzontale in basso mostra l'agitazione media del biomarker. Un valore basso (a sinistra) indica un biomarker per lo più statico. Un valore alto indica un biomarker per lo più agitato.

Petali del biomarker

Gli 8 petali (più il fiore aperto, tutti 8 petali in equilibrio) indicano la principale zona di energia/agitazione del biomarker.

Statico

Bassa energia, bassa agitazione. Questa è l'attività più bassa possibile per un biomarker. Di solito è associata a condizioni croniche, di lungo termine.

Bassa energia

Bassa energia, agitazione normale. Questo biomarker ha un'attività bassa, ma funzionale.

Stressato

Bassa energia, alta agitazione. Questo è un segnale di stress.

Stabilizzante

Normale energia, bassa agitazione. Questo biomarker è un pilastro stabile.

Flessibile

Normale energia, agitazione normale. Il fiore aperto indica uno stato funzionale ottimale.

Learning

Normale energia, alta agitazione. Questo indica un processo di apprendimento, di solito in reazione a qualche informazione esterna.

Risorsa

Alta energia, bassa agitazione. Questa è una caratteristica delle principali risorse.

Adattamento

Alta energia, agitazione normale. Questo indica un processo di adattamento, di solito in reazione a qualche stimolo esterno.

Destabilizzante

Alta energia, alta agitazione. Questo indica una situazione acuta, difficile da risolvere.

Informazioni sulla

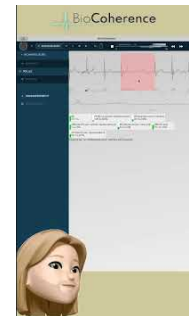
10.2. Modifica e verifica dell'onda pulsata (registrazione grezza)

In questa sezione, esamineremo come modificare l'onda del polso in caso di problemi di registrazione, e come verificare l'onda grezza. Per iniziare, vai alla sezione "biomarker" e seleziona "onda del polso". Potrai quindi vedere la forma dell'onda di ogni battito, punto per punto. Questa visualizzazione battito per battito è utile per confrontare e osservare l'evoluzione di ogni onda.

Oltre alla media dell'onda, cui siamo abituati a vedere, è importante notare che la vera forma dell'onda è spesso molto più instabile attorno a questa media. Se si verifica un problema durante la registrazione, ad esempio, se parte dell'onda non viene rilevata, il software disattiva automaticamente questa sezione. Tuttavia, puoi riattivare questa sezione se decidi che deve essere presa in considerazione.

Per farlo, basta cliccare sulla sezione corrispondente. Puoi anche attivare o disattivare singoli battiti con un singolo clic. I battiti disattivati non saranno più presi in considerazione nel calcolo dei fiori o nel grafico.

Infine, troverai un insieme di statistiche tecniche sotto l'onda del polso, come l'intervallo RR, l'intervallo PR, gli intervalli QRS e così via. Questi dati possono fornire informazioni preziose per ulteriori analisi.



biocoherence.net/n82.9

10.3. Monitoraggio delle variazioni dei biomarcatori nel corso delle sessioni

Per analizzare l'evoluzione di un biomarker nel tempo, inizia accedendo alla scheda "Biomarker" e apri "Sessione", poi "Dinamiche". Vedrai l'evoluzione completa del biomarker nel tempo.

In modalità di riproduzione, puoi spostare il cursore punto per punto per osservare diverse parti dell'evoluzione. In basso alla schermata, i segni indicano le separazioni tra ogni parte della sessione. Puoi regolare lo zoom per un'analisi più precisa, e navigare tra le diverse parti della sessione, sia che sia seconda, terza, ecc.

Puoi aggiungere eventi facendo clic dove desideri. Ad esempio, se esegui un'azione notevole, puoi contrassegnare questo evento. Una volta aggiunto, l'evento è visibile come un marchio in basso alla schermata, e facendo clic su di esso, puoi riaccederci. Puoi anche spostare l'evento modificandolo, poi confermando la nuova posizione.

Analizzare la relazione tra il molto breve termine e il medio termine è cruciale. Avolte, la curva del molto breve termine è sopra o sotto la curva del medio termine. Quando la curva è sotto, viene contrassegnata in rosso, e quando è sopra, viene contrassegnata in verde. Queste indicazioni forniscono informazioni importanti per valutare le tendenze istantanee durante il test.

Infine, una sintesi delle informazioni è disponibile sotto forma di un "fiore" che indica i livelli di energia e agitazione. Questo sommario può anche essere analizzato parte per parte per osservare l'evoluzione nelle diverse sezioni.



biocoherence.net/n82.16

10.4. Analisi della Frequenza e Armonica

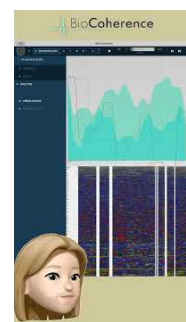
Grazie a un'operazione matematica chiamata FFT, l'onda viene trasformata in frequenze, poi queste frequenze vengono analizzate per trovare i loro armonici.

In questo capitolo, esamineremo le frequenze e le armonie calcolate dalla forma d'onda. Rimaniamo nello spazio dei biomarker, cioè nella lista tecnica.

Per iniziare, apri le frequenze. Vedrai un display tra 0 e 60 Hz. In alto di questo display, troverai le frequenze più basse, cioè le frequenze molto basse sotto 0.03 Hz, le frequenze basse, e le frequenze alte intorno a 0.4 Hz. Questi intervalli di frequenza contengono generalmente informazioni molto interessanti.

Guardiamo prima l'intervallo 0-3 Hz, ma è anche possibile trovare informazioni sugli altri bande di frequenza.

Successivamente, passa alla sezione Armonica. Questa sezione esegue un calcolo sulle frequenze per determinare quali sono le più forti. Le informazioni ottenute qui sono anche rilevanti per i vari biomarker. Questa analisi tecnica ti permette di scansionare la registrazione e identificare le frequenze predominanti. È difficile distinguere informazioni rilevanti a occhio nudo su questi display, ma è una delle basi di ciò che l'applicazione usa per calcolare i biomarker...



biocoherence.net/n82.7

FFT (Trasformata di Fourier Veloce) è un algoritmo che calcola la trasformata di Fourier in modo rapido ed efficiente. È ampiamente utilizzato nell'elaborazione di segnali, nell'analisi spettrale e nella compressione dei dati. La trasformata di Fourier è uno strumento matematico che decompone una funzione o un segnale in una somma di sinusoidi di diverse frequenze. Trasforma un segnale dal dominio del tempo al dominio delle frequenze.

10.5. La catena causale

La funzione Causal Chain in BioCoherence fornisce un modo completo per analizzare le interconnessioni tra diversi biomarcatori, consentendo agli utenti di identificare le cause principali degli sbilanciamenti e determinare gli interventi più efficaci. A differenza dei metodi precedenti che mostravano solo relazioni all'interno della stessa categoria (ad esempio, organi collegati ad altri organi), la Causal Chain espande questa analisi per includere tutte le categorie di biomarcatori, come meridiani, chakra, atomi, patogeni, e altro. Questa funzione consente agli utenti di:

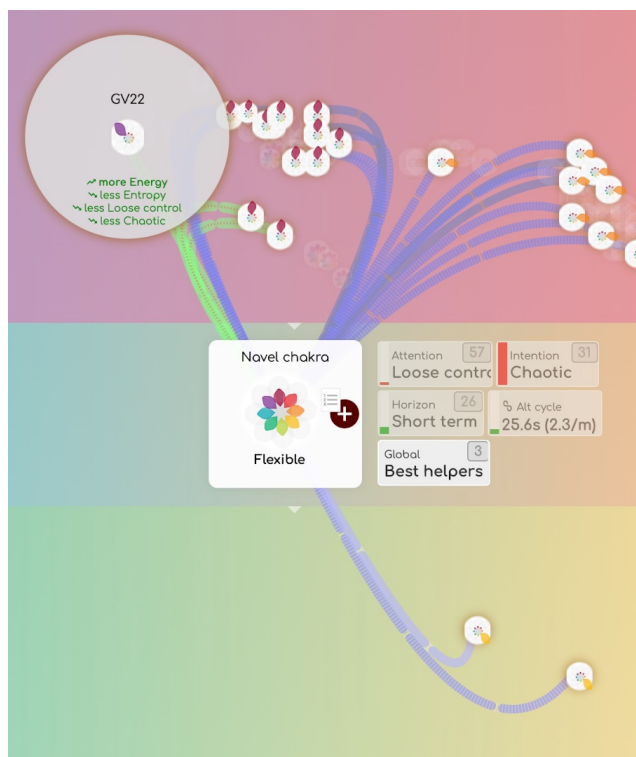
- Identificare le cause sottostanti degli sbilanciamenti.
- Determinare quali biomarcatori sono in risonanza tra loro.
- Individuare i migliori aiutanti per ripristinare l'equilibrio.
- Creare un elenco prioritario personalizzato per la armonizzazione.

Accesso alla Causal Chain

Per accedere alla Causal Chain:

1. Apri un'analisi e naviga verso la sezione Biomarcatori.
2. Seleziona un biomarker di interesse (ad esempio, un organo, un meridiano o un drive).
3. Fai clic sul sottomenu Causal Chain, sotto il menu Relazioni.

Questo aprirà una nuova interfaccia che mostra tutti i biomarcatori che sono in risonanza con il biomarker selezionato.



Comprendere l'interfaccia Causal Chain

L'interfaccia Causal Chain presenta una mappa di rete di biomarcatori interconnessi. Gli elementi chiave includono:

1. Biomarker Centrale

- Il biomarker che hai selezionato è posizionato al centro della mappa.
- Tutti gli altri biomarcatori che risuonano con esso sono visualizzati attorno ad esso.
- Puoi fare clic su qualsiasi biomarker attorno per posizionarlo al centro e ricomputare attorno ad esso.

2. Biomarcatori in Risonanza

- Solo i biomarcatori che sono attualmente in risonanza con il biomarker centrale vengono mostrati.
- Questi sono categorizzati in diverse gruppi, come organi, meridiani, chakra, atomi, patogeni, e altro. I gruppi sono visualizzati nella parte inferiore dello schermo. Fai clic su un nome di gruppo per mostrare i biomarcatori correlati. Ogni gruppo può mostrare uno o due numeri:
 - sempre, il numero di biomarcatori correlati in questo gruppo
 - solo se ce ne sono, in un cerchio bianco: il numero di grandi collegamenti (migliori aiutanti) in questo gruppo.

3. Forza della Relazione

Ogni connessione tra i biomarcatori è codificata per colore:

- Large link (bianco, verde o blu): Migliori aiutanti, con la più forte risonanza e più capaci di aiutare (migliori miglioramenti in energia, agitazione e qualità)
- Verde: Influenza positiva verso il biomarker centrale (ad esempio, aumentando l'energia, riducendo l'entropia).
- Blu: Il biomarker centrale invia energia verso esso.
- Collegamenti fini indicano relazioni specifiche correlate a attenzione, intenzione e orizzonte. La legenda in alto mostra la loro significazione.

4. Mappatura di Energia e Entropia

- I biomarcatori sono posizionati su una mappa grafica basata su livelli di Energia (basso a alto) e Agitazione (entropia) (basso a alto), nello stesso modo in cui i petali sono organizzati sul fiore.
- Questo permette agli utenti di valutare visivamente quali biomarcatori stanno contribuendo alla stabilità o agli sbilanciamenti.

5. Filtraggio e Migliori Aiutanti

Gli utenti possono filtrare i biomarcatori visualizzati in base a qualità specifiche:

- Incrementa l'attenzione
- Incrementa l'intenzione
- Incrementa l'orizzonte
- Allinea con i cicli principali
- Migliori aiutanti (biomarcatori che forniscono l'influenza più benefica)

6. Navigazione e Storia

- Fare clic su qualsiasi biomarker centerà esso nell'analisi, consentendo agli utenti di esplorare la propria catena causale.
- Un pannello di storia traccia il percorso di esplorazione, consentendo agli utenti di tornare ai biomarcatori precedenti.
- Gli utenti possono navigare di nuovo verso il biomarker originale o esplorare più a fondo nei biomarcatori correlati.

Guida dettagliata: utilizzare la Causal Chain per l'analisi

Passo 1: Identificare la Causa Principale

- Inizia con un biomarker che appaia nella lista Priorità.
- Apri la Causal Chain per vedere quali biomarcatori stanno influenzando esso.

Passo 2: Trova i Migliori Aiutanti

- Utilizza il filtro Migliori Aiutanti per identificare i biomarcatori che possono influenzare positivamente il biomarker centrale.
- Cerca collegamenti verdi, poiché questi indicano le relazioni benefiche più forti verso esso.
- Collegamenti blu possono indicare altri elementi aiutati da questo biomarker e che prendono energia da esso, rivelando così collegamenti causali che possono spiegare gli stati correnti.

Passo 3: Costruisci un Elenco Prioritario Personalizzato

- Fai clic su un biomarker e aggiungilo alla lista Priorità.
- Continua a esplorare biomarcatori correlati e adicionarne di rilevanti alla lista.
- Questo assicura che il processo di armonizzazione affronti non solo il sintomo ma anche le cause sottostanti.

Passo 4: Applica i Risultati

- Utilizza la funzione Harmonic Boost per riprodurre le frequenze selezionate.
- Se applicabile, integra punti TCM, organi, meridiani o atomi nel processo di armonizzazione.
- Migliora l'Harmonic Boost aggiungendo i protocollo selezionati sopra ognuno dei biomarcatori.
- Monitora i progressi su più sessioni per tenere traccia dei miglioramenti.

Caso Uso Esempio

Scenario: Affrontare l'Imbalance Polmonare

1. Seleziona il Polmone dalla lista Priorità.
2. Apri la Causal Chain per vedere i biomarcatori correlati.
3. Identifica i migliori aiutanti: ad esempio, Organi: Stomaco, Fegato - Meridiani: Rene, Vescica - Atomi: Tantalio, Osmio - Drive: Mancanza di fiducia, Ipersensibilità
4. Aggiungi i biomarcatori più rilevanti alla

10.6. Prevalenza

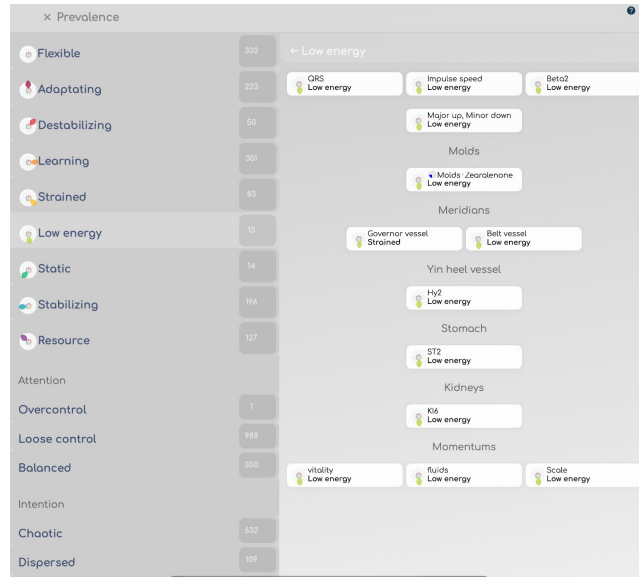
Questo schermo consente di vedere a colpo d'occhio tutti i biomarcatori in uno stato specifico:

- per stato del petalo (flessibile, adattabile, bassa energia, risorsa...)
- per qualità (attenzione, intenzione, orizzonte)

La pagina principale mostra il numero di biomarcatori in ciascuno stato; fai clic su di esso per elencare i biomarcatori correlati.

Puoi filtrare le categorie di biomarcatori con il selettore nel menu. Ad esempio, puoi mostrare solo le prevalenze degli organi, o i punti in un meridiano specifico, o le spinte (emozioni).

La prevalenza può essere utile per ottenere una panoramica rapida a colpo d'occhio, e per vedere la progressione attraverso diverse ri-valutazioni in un record.



10.7. Poligrafo

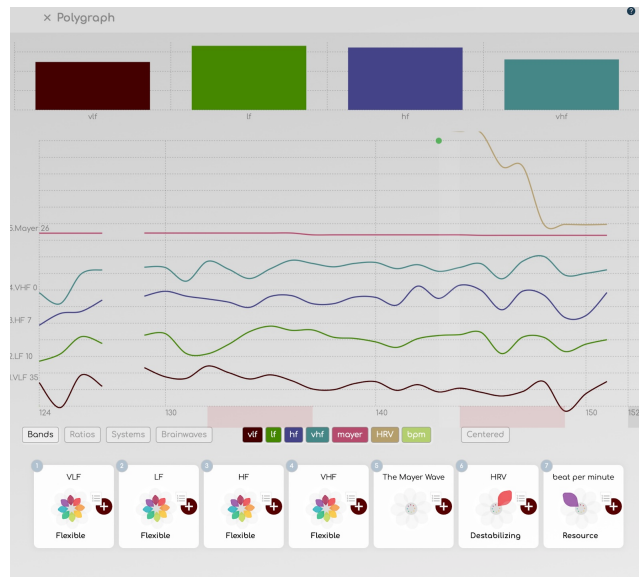
Questo schermo usa principalmente biomarcatori accademici.

Fornisce un modo comodo per vedere a colpo d'occhio ad es. le proporzioni VHF, HF, LF e VLF, e un grafico lineare di fino a 7 curve importanti.

Questo può essere utilizzato in tempo reale durante la registrazione, poiché tutti gli schermi (basta cambiare schermo durante una registrazione). Tutti questi marker provengono dalla ricerca accademica sugli ECG. Puoi visualizzare fino a 7 bande a tua scelta, in parallelo o centrate sulla stessa linea.

- In **Bande** modalità, le 7 linee sono: Bpm, HRV, onde di Mayer, VHF, HF, LF e VLF.
- In **Rapporti** modalità, le 7 linee sono: SDNN (Potenza totale), SI (Indice di Stress), IC (Indice di Centralizzazione), LF/HF (Potenza, interazione vago-simpatico), LF/VLF (Rilassamento), VLF/HF (Stress) e VLF HF (Attività globale).
- In **Sistemi** modalità: CNS, Ortho, Symp, Para, IRSA, Immunità, HRV.
- In **Onde cerebrali**: Delta, Theta, Alpha, Beta, Beta1, Beta2, Gamma.

Clicca su una categoria sotto il grafico per mostrare questi elementi; clicca sugli elementi colorati nelle leggende per mostrarli o nasconderli. Clicca su Centrato per mostrare tutti sulla stessa linea di base. Clicca sul fiore sotto il grafico per accedere ai dettagli completi del biomarker.



Se fai ricerche con questo grafico, potrebbe essere la base per nuove intuizioni o nuovi biomarcatori. In aggiunta, ricorda che puoi analizzare qualsiasi biomarker nella sua linea temporale e con eventi sullo schermo dinamica del biomarker.

11. Comprendere: Energia

Le schermate energetiche presentano grafica sul orologio biologico, i chakra, gli impulsi, gli atomi, le influenze, l'ayurveda, i micro-organismi...

11.1. Atomi

Tavola Periodica degli Elementi

Nella pagina Atom, puoi accedere alla tabella periodica degli elementi per ottenere informazioni sui diversi atomi. Cliccando su un atomo in questa tabella, puoi vedere i legami che può avere con altri atomi, cioè le risonanze comuni. Queste informazioni sono visibili anche in fondo allo schermo, ma visualizzarle direttamente sulla tabella è più intuitivo.

Attualmente, l'applicazione fornisce una valutazione generale delle risonanze per ogni atomo. Una versione futura potrebbe abilitare la ricostruzione delle risonanze per intere molecole, basata sui legami tra diversi atomi. Questa funzione potrebbe essere particolarmente utile nell'ambito di un controllo che stai effettuando, per vedere eccessi o deficienze in alcuni elementi, o per vedere, grazie a registrazioni multi-parte che possono essere confrontate, se un elemento sta stabilizzando dopo l'applicazione di un prodotto o terapia.



biocoherence.net/n82.114

11.2. Valutazione Energetica Ayurvedica

Dosha e sub-dosha

La Ayurveda è un sistema tradizionale di medicina distinto dalla medicina tradizionale cinese, anche se presenta alcune somiglianze, in particolare l'equivalente dei 12 meridiani nella forma di 15 sub-dosha. Questi sub-dosha sono raggruppati in tre principali influenze: Kapha, Pitta e Vata.

Le 3 Dosha secondo l'Ayurveda

1. Vata

- **Descrizione:** Associato con l'aria e l'etere, Vata governa il movimento nel corpo, inclusi circolazione del sangue, respirazione e impulsi nervosi.

2. Pitta

- **Descrizione:** Composto da fuoco e acqua, Pitta controlla la digestione, il metabolismo e la produzione di energia.

3. Kapha

- **Descrizione:** Composto da terra e acqua, Kapha è responsabile per la struttura del corpo, la stabilità e la lubrificazione delle articolazioni.



biocoherence.net/n82.98

I 15 Sub-Dosha

Sub-dosha di Vata

1. **Prana Vata**
 - **Funzione:** Controlla la respirazione e la mente.
2. **Udana Vata**
 - **Funzione:** Controlla il linguaggio e l'espressione.
3. **Samana Vata**
 - **Funzione:** Regola la digestione e l'assimilazione del cibo.
4. **Vyana Vata**
 - **Funzione:** Supervisiona la circolazione e il movimento dei fluidi corpo.
5. **Apana Vata**
 - **Funzione:** Regola l'eliminazione dei sottoprodotti.

Sub-dosha di Pitta

6. **Pachaka Pitta**
 - **Funzione:** Controlla la digestione del cibo nello stomaco e nell'intestino.
7. **Ranjaka Pitta**
 - **Funzione:** Responsabile per la formazione del sangue.
8. **Sadhaka Pitta**
 - **Funzione:** Influenza le emozioni e le funzioni mentali.
9. **Alochaka Pitta**
 - **Funzione:** Influenza la visione e la percezione visiva.
10. **Bhrajaka Pitta**
 - **Funzione:** Regola la salute della pelle.

Sub-dosha di Kapha

11. **Kledaka Kapha**
 - **Funzione:** Lubrifica e protegge le pareti dello stomaco.
12. **Avalambaka Kapha**
 - **Funzione:** Supporta il cuore e i polmoni.
13. **Bodhaka Kapha**
 - **Funzione:** Regola le funzioni bocca e saliva.
14. **Tarpaka Kapha**
 - **Funzione:** Lubrifica il cervello e il sistema nervoso.
15. **Shleshaka Kapha**
 - **Funzione:** Lubrifica le articolazioni.

11.3. Visualizzazione dei Chakra

In questo capitolo, esploreremo la scheda Energia, iniziando con la sezione Chakra. Questa sezione ti permette di visualizzare e interagire con le informazioni sui chakra in dettaglio.

Per iniziare, puoi scegliere di visualizzare i chakra facendo clic sul pulsante dedicato. Puoi visualizzare sia 7 che 12 chakra facendo clic sul piccolo pulsante "12" in fondo alla schermata.

Una volta che i chakra sono visualizzati, puoi selezionare un chakra specifico facendo clic su di esso. Questa azione ti dà accesso a tutte le informazioni relative a quel chakra, inclusi i collegamenti energetici e i punti di agopuntura associati. I punti di agopuntura indicano i punti di entrata e uscita del chakra, e appaiono sullo schermo in dimensioni variabili a seconda del loro livello energetico.

In aggiunta, l'aura del chakra è anch'essa visualizzata, e la sua presentazione varia a seconda dell'energia generale del chakra selezionato. In questo modo, puoi ottenere una rappresentazione visiva accurata dello stato energetico di ogni chakra.



biocoherence.net/n82.14

11.4. Influenze

15 elementi : Legno, Fuoco, Terra, Metallo, Acqua

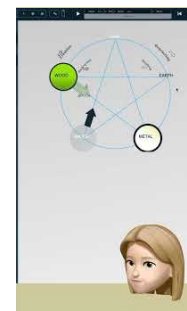
Un altro importante concetto energetico è quello delle influenze. Questo schermo, chiamato "influenze", visualizza le relazioni tra i cinque elementi, come valutato dalla Medicina Tradizionale Cinese (MTC). Queste relazioni possono essere di creazione, distruzione, insulto o surriscaldamento.

Ad esempio, il legno può influenzare il metallo esercitando pressione su di esso, mentre l'acqua può appesantire il fuoco. D'altra parte, il legno aiuta a creare fuoco. Queste relazioni sono dedotte secondo le regole della MTC e la valutazione dei meridiani.

1. **Legno:** associato al fegato e alla cistifellea.
2. **Fuoco:** associato al cuore e all'intestino tenue.
3. **Erba:** associato alla milza e allo stomaco.
4. **Metallo:** associato ai polmoni e all'intestino crasso.
5. **Acqua:** associato ai reni e alla vescica.

Le principali relazioni tra questi elementi sono :

- **ciclo di generazione (Sheng):** Legno > Fuoco > Terra > Metallo > Acqua > Legno.
- **ciclo di controllo (Ke):** Legno > Terra > Acqua > Fuoco > Metallo > Legno.



biocoherence.net/n82.116

11.5. Momento

vincoli, equilibri e movimenti

Nel questa sezione, esamineremo il momento nel contesto della gestione dell'energia. Per accedere a questa funzione, vai al menu "Energia" e clicca su "Movimenti". Qui scoprirai circa una ventina di momenti disponibili, classificati in tre categorie principali: vincoli, equilibri e movimenti.

Il principio del momento

I nostri corpi sono costantemente in movimento; il movimento è vita. Ma siamo composti da una miriade di elementi, alcuni dei quali fanno parte di noi, alcuni dei quali sono vincoli esterni, e alcuni dei quali vogliono andare contro l'interesse generale. Abbiamo separato gli impulsi in 3 categorie: quelli che ci rallentano, quelli che ci bilanciano e quelli che ci spingono.

1. Vincoli

I vincoli sono elementi che mettono i freni al movimento. Questi includono :

- Stress geopatico (clicca su qualsiasi elemento nel grafico per ulteriori informazioni).
- Radiazioni geopatiche.
- Acqua geopatica: vene d'acqua, fessure, ecc. che inducano correnti elettriche sotterranee.
- Energia dannosa.
- Metalli pesanti.
- Patogeni.
- Miasmi.
- Tossine.



biocoherence.net/n82.97

2. **Equilibrio**

La sezione equilibrio copre gli aspetti che aiutano a mantenere la stabilità. Include :

- Equilibrio emotivo.
- Equilibrio energetico.
- Qualità del sonno.
- Terreno (equilibrio generale del corpo).
- Equilibrio verticale.

3. **Movimenti**

Movimento comprende i fattori che ti danno dinamismo. Gli elementi principali sono :

- Corpi.
- Vitalità.
- Pressione sanguigna.
- Fluidi.

Puoi anche osservare il movimento generale e confrontarlo secondo le diverse fasi e sezioni della tua registrazione.

Un punto interessante da notare è la relazione tra questi elementi. Ad esempio, qui, i corpi sono collegati all'equilibrio emotivo, e la pressione sanguigna riceve e invio informazioni in diverse località, che possono fornire informazioni preziose sulla qualità complessiva dell'analisi

Combinando queste informazioni, puoi comprendere meglio e gestire i diversi aspetti della tua energia e dinamismo.

12. Comprendere: Corpo

Utilizzando Metodi di Navigazione e Valutazione negli Schermi del Corpo

I screen del corpo includono 3 principali tipi di analisi: meridiani TCM, punti di agopuntura con relative ricette TCM, e organi.

12.1. meridiani TCM

14 o 20 meridiani, collegamenti e sintomi correlati

La sezione "Corpo" dell'applicazione offre tre principali schede di informazioni: meridiani, punti di agopuntura e organi. Questo capitolo si concentrerà sulla navigazione e valutazione dei meridiani.

1. Visualizzazione dei meridiani:

- In modalità 20 meridiani, i meridiani straordinari vengono visualizzati in aggiunta ai meridiani standard.
- In modalità 14 meridiani, vengono visualizzati i 12 principali, in aggiunta ai due vasi: governatore e concepimento.

2. Navigazione e visualizzazione:

- Puoi cliccare in alto nella schermata per visualizzare il percorso di un meridiano e le sue principali caratteristiche.
- Cliccando sull'icona del fiore, verrà visualizzata ulteriore informazione.
- Clicca per navigare tra i meridiani, visualizzando i collegamenti tra loro.
- L'evoluzione dei meridiani può essere seguita durante le diverse parti della sessione.
- Usa il menu sulla sinistra o in alto per navigare sul tuo telefono.

3. Valutazione dei meridiani:

- Cliccando sull'elenco dei meridiani viene visualizzata la loro valutazione.
- Il sottomenù offre tre criteri: energia, entropia e coerenza.
- La logica di questi criteri si applica a tutte le pagine Core.

4. Criteri di valutazione:

- **Energia**
 - Visualizzazione in due colonne: i meridiani più energetici e quelli meno energetici.
 - Possibilità di visualizzare più o meno meridiani per clic.
 - Informazioni aggiuntive basate sullo stato energetico attuale e sui sintomi della Medicina Tradizionale Cinese (MTC).
 - Cross-reference informazioni con altri meridiani per dettagli più precisi.
- **Entropia**
 - Visualizza i meridiani più agitati e statici.
 - Fornisci sintomi possibili associati con ciascuna condizione.
- **Coerenza**
 - Visualizza i meridiani che risuonano insieme.
 - I meridiani in coerenza formano un sistema che risuona allo stesso ritmo.

5. Utilizzo delle informazioni:

- La logica energia-entropia-coerenza è utilizzata per classificare i principali elementi di una valutazione.
- Estesi elementi aiutano a comprendere il funzionamento della persona in valutazione.

Seguendo queste istruzioni, sarai in grado di navigare l'applicazione in modo efficace e utilizzare i criteri di valutazione per ottenere informazioni dettagliate sui meridiani, il loro stato energetico, entropia e coerenza.



biocoherence.net/n82.96

Informazioni sui meridiani nella MTC:

Nella Medicina Tradizionale Cinese (MTC), i meridiani sono canali energetici attraverso cui fluisce il Qi (energia vitale). Ci sono 12 meridiani principali, e 8 meridiani straordinari, inclusi 2 meridiani regolatori. Questi sono descritti qui di seguito:

12 Meridiani principali :

1. **Lunghi (LU):** Regola la respirazione e il sistema immunitario.
2. **Colon grande (LI):** Elimina i rifiuti solidi e regola le funzioni intestinali.
3. **Stomaco (ST):** Digesta il cibo e assorbe i nutrienti.
4. **Spleen/Pancreas (SP):** Trasformazione e trasporto dei nutrienti, supporto energetico.
5. **Cuore (HT):** Governa il sangue e i vasi sanguigni, controlla la mente.
6. **Intestino tenue (SI):** Separazione delle sostanze pure e impure, assorbimento dei nutrienti.
7. **Vescica (BL):** Elimina i rifiuti liquidi, regola i fluidi corporei.
8. **Ren (KI):** Conserva l'essenza vitale, regola l'acqua, controlla ossa e orecchie.
9. **Mastro del Cuore (PC):** Protegge il cuore, regola le emozioni e la circolazione sanguigna.
10. **Triple Warmer (TE o SJ):** Regola i tre riscaldatori (superiore, medio e inferiore), controllando la circolazione di energia e liquidi.
11. **Bile (GB):** Conserva ed espelle la bile, aiuta il processo decisionale.
12. **Livello (LV):** Conserva sangue, regola il flusso del Qi, supporta i tendini e i muscoli.

8 Meridiani straordinari :

1. **Vaso del concepimento (Ren Mai):** Regola i meridiani Yin, controlla la riproduzione.
2. **Vaso governante (Du Mai):** Regola i meridiani Yang, controlla il sistema nervoso centrale.
3. **Vaso penetra (Chong Mai):** Regola il sangue e l'energia principale dei meridiani.
4. **Vaso cintura (Dai Mai):** Circonda i meridiani verticali, regola gli organi sessuali e l'addome.
5. **Vaso del giunzione Yin (Yin Qiao Mai):** Regola l'equilibrio Yin-Yang, controlla il sonno e la veglia.
6. **Vaso del giunzione Yang (Yang Qiao Mai):** Regola l'equilibrio Yin-Yang, influenza i movimenti degli arti.
7. **Vaso del collegamento Yin (Yin Wei Mai)**

12.2. mappe degli organi

Più di 10 grafici dettagliati degli organi e collegamenti

In questa sezione, esploreremo la funzionalità degli organi nella nostra applicazione di valutazione del corpo. Quando accedi alla categoria degli organi, ti verrà prima presentata una visualizzazione del corpo intero. Puoi entrare nella valutazione generale cliccando su un organo specifico per vedere la sua relazione con altri parti del corpo. Ad esempio, gli organi evidenziati sono quelli di interesse. Cliccando sul cuore, vedrai le sue connessioni con vari organi, e queste relazioni sono anch'esse visibili sulla mappa.

Puoi navigare facilmente cliccando su sistemi specifici come il sistema respiratorio per vedere le sue connessioni, inclusi con neurotrasmettitori, la lingua, la bocca e vari tessuti. Cliccando sulla bocca si zoom sul sistema digestivo, modificando la mappa per mostrare le relazioni tra la bocca e altri aspetti del sistema digestivo.

Puoi anche selezionare diverse mappe, come la mappa del cervello. Questa mappa ti mostrerà le differenti parti del cervello, con una valutazione completa in forma di elenco. Se desideri localizzare una parte particolare, la mappa te la mostrerà. Ad esempio, se clicchi sull'epifisi, vedrai la sua posizione e le ghiandole da cui riceve e invio segnali. Ogni elemento, come serotonina o prolattina, può essere esplorato per vedere le sue connessioni o mancanza di connessioni con altri ormoni.

La sezione degli organi offre anche opzioni per visualizzare energia, entropia e coerenza, che variano in base allo schermo utilizzato. Sullo schermo del corpo intero, questi parametri vengono visualizzati per gli elementi considerati più rilevanti,



biocoherence.net/n82.95

indicando le loro risorse energetiche o il livello di agitazione. Ad esempio, esaminando denti o vertebre, puoi identificare quali sono i più energetici o agitati, offrendo informazioni valide per un controllo completo.

Infine, come promemoria, ogniqualvolta identifichi un elemento rilevante, puoi aggiungerlo alla lista di priorità cliccando sull'icona dedicata. Questo consente di includerli nella selezione di bilanciamento per successive armonizzazioni.

12.3. Punti di agopuntura

Valuta oltre 350 punti di agopuntura e la rilevanza di centinaia di ricette TCM

Esplorazione dei punti e meridiani

Quando esplori il corpo nel software, hai accesso a meridiani, punti e organi. Cliccando su un meridiano specifico, il display cambia per mostrare i dettagli dei punti su ogni meridiano, anziché sui meridiani nel loro insieme. Questa funzione consente una valutazione precisa di ogni punto.

Selezione e informazioni sui punti

Puoi cliccare su ogni punto per ottenere informazioni dettagliate su quel particolare punto. È anche possibile selezionare un meridiano e visualizzare lo stato di ognuno dei suoi punti. Cambiando meridiani, puoi visualizzare i diversi punti e le loro posizioni su una mappa, cosa particolarmente utile per una navigazione efficiente.



biocoherence.net/n82.94

Navigazione e tracciamento dei meridiani

Puoi navigare tra i meridiani cliccando sul titolo del meridiano nel selettore nella parte superiore dello schermo. Puoi anche visualizzare l'evoluzione dei punti nel corso delle sessioni. Questa funzione è inestimabile per tracciare l'evoluzione di punti specifici nel tempo.

Informazioni specifiche sui meridiani

Quando selezioni un meridiano, accedi a diverse informazioni rispetto a quelle disponibili nella scheda del meridiano. Qui troverai otto punti principali, come il punto ambasciatore, dispersione, gushing e fiume, che sono essenziali nella Medicina Cinese Tradizionale (MCT). Sono disponibili anche informazioni sull'approvvigionamento energetico del meridiano e sulle connessioni.

Visualizzazione dei punti sulla mappa

Cliccando su un punto, viene visualizzata la sua posizione precisa sulla mappa. Il menu a sinistra offre opzioni come energia, entropia e coerenza. Selezionando energia, il display mostra i punti più energetici e meno energetici in viola e giallo, rispettivamente.

Logica delle ricette MCT

L'applicazione utilizza una logica di ricetta MCT, che combina diversi punti per correggere un sintomo. Ad esempio, se alcuni punti risonano insieme e sono troppo deboli o troppo forti, questo può indicare uno squilibrio. Le ricette MCT, sviluppate nel corso di migliaia di anni, vengono applicate per trattare sintomi specifici come il reflusso acido. In quest'applicazione, abbiamo applicato una logica invertita. Abbiamo presunto che se alcuni punti risuonassero insieme e avessero livelli energetici troppo bassi o troppo alti, questo potrebbe fornirci informazioni preziose. Ad esempio, punti altamente energetici o punti con energia molto bassa, o punti che sono troppo agitati o troppo statici, potrebbero segnalare uno squilibrio nel sistema coerente normalmente utilizzato per trattare condizioni come il reflusso acido o la piroisi. Prendi il caso in cui tre punti specifici su un individuo siano molto statici. Questo potrebbe indicare che la ricetta o il trattamento associato a questi punti è necessario per quella persona. Questo approccio può fornirti ulteriori idee per la diagnosi.

Applicazione delle ricette

Le ricette possono essere applicate tramite agopuntura o utilizzando frequenze sonore o elettriche durante la fase di bilanciamento. I sistemi coerenti, in cui i punti risuonano insieme, sono particolarmente rilevanti per una diagnosi accurata. La sincronizzazione dei punti suggerisce una maggiore rilevanza dei trattamenti MCT per la persona analizzata.

Conclusione

Qui si è dettagliato l'utilizzo dei punti e dei meridiani nel software MCT, spiegando come navigare, selezionare e interpretare le informazioni per una diagnosi accurata e un trattamento efficace.

13. Comprendere: Mente

Mente, spirito e ombra

Queste schermate sono dedicate alle parti mentali, spirituali e inconscie dell'analisi. Includono personalità, armonia musicale, emozioni, allineamento, ferite e motori.

13.1. Allineamento

Allineamento e Coerenza nella Gestione delle Onde Elfie

Allineamento è un componente essenziale della mente, soprattutto quando si tratta di onde Elfie. L'allineamento si manifesta in diverse scale di queste onde, e comprendere queste può essere facilitato dall'uso di strumenti di visualizzazione. Ad esempio, la coerenza cardiaca può essere rappresentata visivamente, offrendo una prospettiva sullo stato energetico di un individuo.

Nell'interfaccia, tre sliders nella parte inferiore consentono di visualizzare i parametri, mentre nella parte superiore, viene visualizzata una rappresentazione della spirale di implosione. La scala delle onde Elfie, come illustrato da valori 205, 206, e 214, indica il livello attuale della scala. Per informazioni dettagliate su un valore specifico, come 214 Elfie, basta cliccare per dettagli sulle sue caratteristiche e implicazioni.

La visualizzazione della spirale ti consente di seguire il percorso dell'energia attraverso diverse scale. Muovendoti verso il basso nella spirale e osservando i valori a ogni livello, è possibile comprendere come l'energia si evolve nel tempo. Questo è particolarmente rilevante in registrazioni estese, dove l'evoluzione a diverse scale può essere studiate.

Un aspetto cruciale di questa analisi è la coerenza mirata, in particolare la coerenza cardiaca, che misura l'estensione alla quale l'energia di un individuo è sincronizzata con i valori elfie. Questi valori sono considerati i più compatibili per la trasmissione di energia su tutte le scale. I cursori svolgono un ruolo importante nell'aggiustare questi parametri per raggiungere una coerenza ottimale.

In conclusione, l'allineamento e la coerenza nella gestione delle onde Elfie sono concetti complessi ma fondamentali per comprendere l'energia a diverse scale. Gli strumenti di visualizzazione e i cursori offrono un'assistenza inestimabile nella navigazione e ottimizzazione di questi parametri, contribuendo a una migliore gestione e trasmissione dell'energia.

Ulteriori info su <https://elfie.link> o nel menu "Elfie" nel software.



biocoherence.net/n82.103

13.2. Onde cerebrali

Analisi dell'attività generale delle onde cerebrali

In questa sezione, esamineremo l'ultima scheda dell'interfaccia "Mentale", che riguarda le onde cerebrali. Questa funzione è ancora in fase sperimentale. È audace dire che possiamo leggere le onde cerebrali in un ECG, quindi ti permette di esaminare gli spettri di analisi nell'ECG corrispondenti alle varie onde cerebrali e osservare la loro evoluzione nel tempo. Dopotutto, il nostro dispositivo misura l'attività elettrica dell'intero corpo, ma le onde cerebrali sono su un livello potente inferiore di 100 volte rispetto all'ECG, quindi è ancora un algoritmo sperimentale.

L'interfaccia per le onde cerebrali è dinamica. Quando sei in modalità riproduzione, noterai una visualizzazione multibanda. La logica dietro questa visualizzazione è che più ampia è la banda, più lungo è il periodo di tempo che rappresenta. Al contrario, una banda più sottile indica un periodo di tempo più breve.

Ecco una spiegazione delle diverse bande:

- La banda più corta corrisponde a misurazioni molto a breve termine, misurate a livello del battito o di alcuni battiti.
- Man mano che le bande si allargano, rappresentano periodi di tempo sempre più lunghi.

È importante notare che gli elementi a breve termine si muovono molto rapidamente, mentre gli elementi a lungo termine mostrano variazioni più lente.

Quando clicchi su una banda, viene visualizzata una valutazione nella parte inferiore dello schermo con una rappresentazione del fiore che conosci. Puoi utilizzare questa valutazione per aggiungere elementi direttamente alla tua lista di priorità, rendendo più facile tenere traccia e analizzare le tue onde cerebrali.



biocoherence.net/n82.105

Per scoprire di più

Le onde cerebrali sono divise in diverse categorie, ciascuna associata a diversi stati mentali e livelli di allerta:

1. **Onde Delta (0.5-4 Hz):** Associate al sonno profondo e alla rigenerazione.
2. **Onde Theta (4-8 Hz):** Associate alla profonda relaxation, meditazione e fase di sonno leggero.
3. **Onde Alpha (8-12 Hz):** Correlate a uno stato di calma e relaxation e meditazione da sveglia.
4. **Onde Beta (12-30 Hz):** Collegate alla concentrazione, vigilanza e attività cognitiva.
5. **Onde Gamma (30-100 Hz):** Associate ai processi cognitivi elevati, come l'apprendimento e la memoria.

13.3. Guide

51 emozioni, sentimenti e azioni faccia a faccia, in 3 gruppi principali e 3 sotto-gruppi per ciascuno.

Comprendere i motori della mente e la mente inconscia

L'ultimo elemento della mente e la parte inconscia dello scan riguarda i motori. I motori sono composti da circa sessanta emozioni, che possono essere costruttive o distruttive. Queste emozioni sono classificate in tre categorie: il io interiore, il io esteriore e gli altri.

1. Categorie di Emozioni :

- **Io interiore:** Include tutte le emozioni relative al nostro mondo interiore.
- **Io esteriore:** Include tutte le emozioni relative al nostro mondo esterno.
- **Gli altri:** Include tutte le emozioni relative alle nostre interazioni con gli altri.

2. Struttura delle Emozioni:

- Ogni categoria di emozioni è divisa in tre sottocategorie: emozione, sentimento e azione.
- **Emozione:** La base di tutte le realizzazioni, genera quindi un sentimento.
- **Sentimento:** Deriva dall'emozione e porta all'azione.
- **Azione:** Risultato finale del processo emozione-sentimento.



biocoherence.net/n82.104

3. Organizzazione orizzontale:

- Le emozioni sono anche classificate orizzontalmente: in alto ci sono emozioni costruttive e in basso, quelle distruttive.
- Ad esempio, la depressione è opposta al lasciar andare, l'ansia per la salute allo stato meditativo, il cuore spezzato al piacere, e l'auto-sabotaggio alla soddisfazione.

4. Interconnessioni:

- Le emozioni possono essere interconnesse in diversi posti. Ad esempio, la calma è opposta all'ossessione compulsiva, la riflessione è opposta alla rudezza, e così via.
- Queste interconnessioni forniscono informazioni cruciali per la meditazione e l'auto-comprensione.

5. Customizzazione:

- È possibile selezionare emozioni specifiche su cui lavorare. Ad esempio, se l'organizzazione è in uno stato di bassa energia, puoi decidere di rafforzarla.
- Puoi aggiungere elementi specifici, come la decisione ad alta energia, alla tua lista di lavoro personale.

In breve, comprendere e organizzare questi driver emozionali permette una migliore gestione delle nostre emozioni e azioni, facilitando uno sviluppo personale più bilanciato e consapevole.

Per saperne di più

Le emozioni e i sentimenti sono risposte interne a stimoli esterni e interni.

- Il io interiore comprende la consapevolezza di sé, i pensieri e i sentimenti personali.
- Il io esteriore riguarda l'immagine che proiettiamo agli altri e i comportamenti che mostriamo nella società.
- Il l'altro io riguarda il modo in cui reagiamo a tutto ciò che il mondo esterno ci presenta.

Le interazioni con gli altri influenzano queste due dimensioni attraverso scambi emozionali e feedback sociale. Emozioni come gioia, tristezza, rabbia e paura modellano le nostre esperienze e azioni, in cambio influenzando la nostra percezione di noi stessi e degli altri. Una migliore comprensione di queste dinamiche può migliorare l'intelligenza emotiva e le relazioni interpersonali.

Qui c'è una descrizione dettagliata di ciascuna emozione:

1. **Agilità:** La capacità di adattarsi rapidamente ed efficacemente al cambiamento.
2. **Ansia per la salute:** Preoccupazione eccessiva per la propria salute o quella degli altri.
3. **Benevolenza:** Atteggiamento di gentilezza e compassione verso gli altri.
4. **Cuore spezzato:** Profondo sentimento di tristezza e dolore emozionale dopo una perdita o delusione.
5. **Calma:** Uno stato di tranquillità e serenità interiore.
6. **Carisma:** Capacità di attrarre, incantare e influenzare gli altri.
7. **Concentrazione:** Capacità di mantenere l'attenzione su un compito o obiettivo specifico.
8. **Confidenza:** Un sentimento di sicurezza e certezza nelle proprie abilità o in quelle degli altri.
9. **Considerazione:** Cura e rispetto per i sentimenti e i bisogni degli altri.
10. **Coraggio:** Capacità di affrontare la paura, il dolore, il pericolo o l'incertezza.
11. **Decisione:** Capacità di prendere decisioni con determinazione e risolutezza.
12. **Depressione:** Uno stato prolungato di tristezza, disperazione e perdita di interesse per la vita.
13. **Potere di volontà:** Determinazione di perseguire obiettivi nonostante gli ostacoli.
14. **Euforia:** Sentimento intenso di felicità e eccitazione.
15. **Elocuzione:** Capacità di esprimersi in maniera chiara ed efficace.
16. **Instabilità emotiva:** Eccessiva e imprevedibile variabilità delle emozioni.
17. **Empatia:** Capacità di comprendere e condividere i sentimenti degli altri.
18. **Mood erratico:** Cambiamenti frequenti e imprevedibili d'umore.
19. **Esaurimento:** Sentimento di estrema fatica, sia fisica che emotiva.
20. **Grief:** Intenso dolore emozionale, di solito dovuto alla perdita.
21. **Onestà:** Qualità di essere franco e sincero.
22. **Spiritualità**

13.4. Emozioni

tristezza, sicurezza, amore, verità, pace, benessere e soddisfazione

Il capitolo sull' inconscio è diviso in tre aree principali: emozioni, ferite e motori. Inizieremo con le emozioni.

In questa pagina, puoi valutare sette emozioni principali: tristezza, sicurezza, amore, verità, pace, benessere e soddisfazione. Puoi anche monitorare la loro evoluzione. Cliccando sulle barre, puoi visualizzare il biomarker nella sua forma floreale, mostrando le sue dinamiche interne e i legami tra queste emozioni. Anche qui, il grafico rappresenta la valutazione a diversi orizzonti, con le barre più larghe che sono quelle per il lungo termine, e le barre più sottili che sono quelle per il breve termine.

Questa analisi è tecnicamente molto diversa, e basata su dati diversi, rispetto a quelli trovati in Drives. È quindi interessante confrontarli.

1. **Tristezza:** Una sensazione di angoscia o malinconia causata da perdita, fallimento o delusione. Spesso si manifesta con il pianto, mancanza di energia e ritiro.
2. **Sicurezza:** Una sensazione di protezione e assenza di pericolo. Genera fiducia e serenità, permettendoci di sentirci al sicuro da minacce fisiche o emotive.
3. **Amore:** Profonda emozione di affetto e attaccamento verso una persona, un animale o un attività. Si traduce in gesti teneri, pensieri positivi e desiderio di vicinanza.
4. **Verità:** Una sensazione di sincerità e autenticità. La verità porta chiarezza e trasparenza nelle relazioni e nelle situazioni, evitando confusione e inganno.
5. **Pace:** Uno stato di tranquillità e armonia interiore. La pace si manifesta nell'assenza di conflitto, stress e ansia, promuovendo il rilassamento e il benessere generale.
6. **Benessere:** Una sensazione generale di salute, comfort e soddisfazione fisica e mentale. Comprende aspetti come salute, equilibrio emozionale e realizzazione personale.
7. **Soddisfazione:** Emozione di contenuto e piacere derivante dal soddisfacimento di desideri, bisogni o obiettivi. Porta un senso di realizzazione e successo.



biocoherence.net/n82.115

13.5. Focus

Indice di stress, HRV...

Nel questo settore, esploreremo lo schermo Focus, che fornisce una ricchezza di informazioni cruciali per l'analisi avanzata dell'elettrocardiogramma. Queste informazioni sono generalmente utilizzate in contesti accademici e di ricerca, e includono vari marker scientifici.

1. **Indice di Stress:** Questo indice è stato sviluppato dal ricercatore russo Bevski. Misura i livelli di stress del corpo utilizzando parametri specifici.
2. **Livello di Adattamento:** Un altro indice sviluppato in Russia, valuta la capacità del corpo di adattarsi a diversi stimoli e condizioni.
3. **Potenza Totale, Fattore di Variazione e Variabilità Cardiaca:** Questi marker sono ben noti nel campo della cardiologia e vengono utilizzati per misurare vari aspetti della funzione cardiaca e della risposta allo stress.
4. **Stress Psycho-Emozionale:** Questo indicatore valuta l'impatto emotivo e psicologico sul sistema cardiaco.



biocoherence.net/n82.100

I dati forniti dallo schermo Focus possono essere visualizzati come cursori per una visualizzazione rapida. In alternativa, possono essere presentati sotto forma di note, fiori e qualità, permettendo un'analisi più dettagliata.

Lo schermo Focus include anche informazioni sulla qualità dell'attenzione, dell'intenzione e dei controlli orizzontali. Questi indicatori forniscono informazioni aggiuntive sullo stato mentale ed emotivo dell'utente.

Un aspetto interessante di questo schermo è la relazione tra costruzione (catabolismo) e distruzione (anabolismo). Il catabolismo rappresenta la spesa energetica, mentre l'anabolismo corrisponde alla conservazione dell'energia. Questo rapporto è dinamico e può variare durante la registrazione, riflettendo la respirazione generale dei sistemi viventi. Si prega di tenere presente che siamo un essere sistemico e la distruzione è parte del movimento generale di compressione-espansione, distruzione-ricostruzione, separazione-riunificazione, complessificazione-semplificazione. Un organismo complesso e sano dovrebbe essere costantemente in oscillazione tra questi stati.

È cruciale osservare queste variazioni dinamiche, poiché indicano l'evoluzione del rapporto tra costruzione e distruzione. L'aggiunta di questo fattore evolutivo fornisce una migliore comprensione della respirazione dei sistemi biologici.

Finalmente, lo schermo Focus presenta due fiori, che rappresentano l'anabolismo e il catabolismo, per fornire informazioni visive su questi processi. Questi dati possono essere analizzati sezione per sezione o sull'intera registrazione, fornendo una panoramica completa dello stato fisiologico e psicologico dell'utente.

13.6. Musica

Analisi Musicale e Allineamento

In questa sezione, esamineremo la seconda parte del concetto di mente, che include la mente, lo spirito e l'inconscio. Ci concentreremo principalmente sulla mente, e in particolare sugli elementi della musica e dell'allineamento.

Musica nelle registrazioni

Quando analizziamo la mente, iniziamo identificando gli elementi musicali presenti nella registrazione. L'obiettivo è trovare corrispondenze musicali pertinenti. Hai due opzioni: visualizzare tutti gli elementi musicali o riprodurli per osservare la loro evoluzione nel tempo.

Barre sottili rappresentano elementi a breve termine, mentre barre più larghe indicano elementi a lungo termine. Un'altra metrica interessante è il livello generale di armonia musicale nella registrazione. Dopo circa un centinaio di battiti, possiamo iniziare a identificare accordi musicali specifici a breve, medio, lungo e molto lungo termine.



biocoherence.net/n82.102

Allineamento e adeguamento musicale

Allineamento musicale comporta l'adeguamento delle scale e dei tipi di accordo per soddisfare gli obiettivi della meditazione. Ad esempio, se gli accordi presenti sono accordi minori 7 e vogliamo passare a accordi maggiori, questa transizione sarà effettuata gradualmente durante la meditazione. In modo simile, se stiamo cercando una certa frequenza che non è presente, costruiremo musica che evolva verso quella frequenza target.

L'idea è quella di portare i partecipanti nel loro stato musicale attuale e guidarli verso uno stato più profondo di meditazione utilizzando le melodie presenti nei loro corpi. Questo approccio facilita l'ingresso nella meditazione parlando direttamente il linguaggio musicale dei partecipanti.

In breve, l'analisi musicale e l'allineamento consentono la personalizzazione della meditazione guidata, rendendo l'esperienza più accessibile ed efficace per ciascun individuo.

13.7. I tipi di personalità 2016

I tipi di Jung, noti anche come MBTI o Myers-Briggs, in una mappa completamente nuova

Valutazione della Personalità secondo i Tipi di Jung

In questa sezione, esploreremo la scheda "Spirito" per ottenere una panoramica generale della personalità secondo i tipi di Jung. La personalità viene analizzata attraverso quattro assi principali.

Assi della Personalità

1. **NS (Sensazione/Intuizione):** Questo asse determina come una persona elabora le informazioni.
2. **FT (Pensiero/Sentimento):** Questo asse valuta il modo in cui una persona elabora le informazioni, concentrandosi sulla mente o il pensiero.
3. **IE (Introversione/Estroversione):** Questo asse misura l'energia, indicando se una persona è rivolta verso l'esterno (estroversione).
4. **JP (Giudizio/Percezione):** Questo asse riguarda lo spazio temporale, e indica se una persona è orientata a breve termine (spontaneità).

Ogni asse è diviso in segmenti, permettendo una valutazione dettagliata. Ad esempio, sull'asse IE, una persona può essere valutata come estroversa o introversa.

Tipi di Jung e Valutazione

I tipi di Jung, come ENTP, ENTJ, ESTJ, ESTP, ecc., vengono determinati secondo la posizione su questi quattro assi. Ad esempio, una valutazione potrebbe rivelare un tipo dominante ESTJ.

Dinamiche del Tipo di Personalità

Contrariamente a una valutazione statica del questionario, questo metodo ci permette di osservare la risposta inconscia e dinamica di una persona. Mentre navighiamo tra gli assi, possiamo vedere che le valutazioni si muovono, indicando che i tipi di personalità sono dinamici. Questo significa che l'individuo può oscillare tra diversi tipi adiacenti a seconda della situazione.

Questo approccio non statico ai tipi di Jung apre prospettive interessanti sulla comprensione dei comportamenti e delle personalità.

Tipi di personalità in dettaglio

I tipi di personalità di Jung si basano su quattro funzioni psicologiche principali: pensiero, sentimento, sensazione e intuizione, combinati con le attitudini di estroversione e introversione. Questo porta a otto tipi di personalità:

1. **Pensiero estroverso:** Logico, oggettivo, orientato ai fatti.
2. **Pensiero introverso:** Riflessivo, analitico, indipendente.
3. **Sentimento estroverso:** Sociabile, caloroso, orientato ai valori sociali.
4. **Sentimento introverso:** Riservato, profondo, guidato da propri valori.
5. **Intuizione estroversa:** Pratico, realistico, orientato al concreto.
6. **Intuizione introversa:** Artistico, sensibile, orientato all'esperienza soggettiva.
7. **Intuizione estroversa:** Innovativo, opportunistico, orientato al futuro.
8. **Intuizione introversa:** Visionario, introspectivo, guidato dall'intuizione.

Qui's una breve descrizione dei 16 tipi di personalità del Myers-Briggs Type Indicator (MBTI):

1. **ISTJ (Ispettore)** - Affidabile, organizzato, realistico e pratico.
2. **ISFJ (Protettore)** - Dedito, premuroso, leale e dettagliato.
3. **INFJ (Consigliere)** - Idealista, empatico, percettivo e ispiratore.



biocoherence.net/n82.101

4. INTJ (Architetto) - Strategico, indipendente, analitico e determinato.
5. ISTP (Artigiano) - Pratico, osservatore, adattabile e logico.
6. ISFP (Artista) - Sensibile, riservato, spontaneo e armonioso.
7. INFP (Idealista) - Creativo, appassionato, altruista e introspectivo.
8. INTP (Logico) - Innovativo, curioso, oggettivo e indipendente.
9. ESTP (Imprenditore) - Energico, diretto, pragmatico e sociabile.
10. ESFP (Interprete) - Entusiasta, spontaneo, caloroso, e intrattenitore.
11. ENFP (Ispiratore) - Immaginario, sociabile, energetico e visionario.
12. ENTP (Innovatore) - Ingegnoso, energetico, ingegnoso e intellettuale.
13. ESTJ (Supervisore) - Organizzatore, pratico, realistico e deciso.
14. ESFJ (Console) - Amichevole, coscienzioso, cooperativo e sociabile.
15. ENFJ (Insegnante) - Carismatico, altruista, empatico e motivante.
16. ENTJ (Comandante) - Visionario, assertivo, strategico e efficiente.

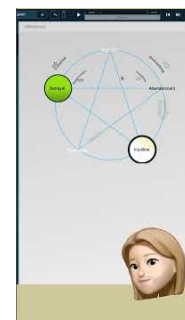
Qui ci sono brevi descrizioni che offrono una panoramica generale di ciascun tipo di personalità MBTI.

13.8. Le 5 ferite

Abbandono, rifiuto, umiliazione, tradimento, ingiustizia

L'inconscio umano è largamente influenzato da ferite psichiche. Tra queste, ci sono cinque ferite principali: rifiuto, abbandono, tradimento, umiliazione e ingiustizia. Queste cinque ferite derivano da un modello iniziale di otto ferite. Si interagiscono in un modo simile ai cinque elementi della medicina tradizionale cinese, creando una rete complessa di influenze reciproche.

Comprendere quali ferite sono attualmente attive dentro di noi può offrire informazioni preziose. Osservando come il rifiuto, il tradimento o l'ingiustizia si nutrano l'uno dell'altro, possiamo acquisire una visione dinamica del nostro stato psichico. Questa comprensione può essere una chiave per una maggiore autoconoscenza e auto-miglioramento.



biocoherence.net/n82.113

Origine delle cinque ferite

John Pierrakos, psicoterapeuta e co-fondatore dell'Istituto per l'Analisi Bioenergetica nel 1956, riprese il lavoro di Wilhelm Reich sulle ferite esistenziali (o ferite narcisistiche) e definì otto: abbandono, rifiuto, umiliazione, tradimento, ingiustizia, intrusione, impotenza, insicurezza.

Lise Bourbeau ha poi adattato e semplificato la teoria in cinque ferite emotive che ci impediscono di essere noi stessi. Secondo lei, queste ferite sono alla radice di molti problemi emotivi e comportamenti disfunzionali. Originiamo nell'infanzia, spesso tra la nascita e l'età di sette anni, ma continuano a influenzare le nostre vite da adulti se rimangono non guarite.

1. **La ferita del rifiuto:** Questa ferita si forma di solito molto presto, a volte anche prima della nascita, ed è spesso collegata a una sensazione di non essere desiderati. Le persone con questa ferita si sentono indegne d'amore e evitano situazioni in cui potrebbero essere rifiutate. Hanno difficoltà ad afferrare se stessi e a prendere il loro posto.
2. **Ferita d'abbandono:** Questa si manifesta quando un bambino si sente abbandonato o non supportato da chi gli sta vicino. Le persone colpite da questa ferita hanno una forte paura della solitudine, e cercano costantemente l'attenzione e l'approvazione degli altri. Possono diventare emotivamente dipendenti.
3. **La ferita d'umiliazione:** Questa si sviluppa quando un bambino si sente sminuito o criticato da genitori o persone care per il suo comportamento o le sue azioni. Gli individui con questa ferita tendono a sentirsi vergognosi e mancano di dignità. Possono anche umiliarsi per prevenire che altri lo facciano.
4. **La ferita del tradimento:** Questa ferita si verifica quando un bambino si sente tradito da qualcuno di cui si fidava, spesso un genitore che non mantiene le promesse. Le persone con questa ferita hanno difficoltà a fidarsi degli altri e cercano di controllare ogni cosa. Possono diventare gelose o possessive.

- 5. Ferita d'ingiustizia:** Questa si forma quando un bambino si sente trattato in modo ingiusto, spesso da genitori eccessivamente autoritari o critici. Le persone colpite da questa ferita cercano la perfezione, e possono diventare rigide e intolleranti. Hanno spesso difficoltà a esprimere le loro emozioni.

Lise Bourbeau spiega che queste ferite influenzano il nostro comportamento e il modo in cui percepiamo il mondo. Per guarire, è essenziale riconoscere queste ferite, comprendere la loro origine e lavorare per superarle.

14. Test

Questo modulo è dedicato al test di biofeedback in tempo reale e alla valutazione delle liste di test da registrazioni esistenti.

Il modulo Test ti permette di eseguire qualsiasi tipo di test dal vivo, il cui risultato viene valutato in base alla variazione istantanea di alcuni biomarcatori; e di pre-evaluare qualunque lista di test in base ai valori di alcuni biomarcatori nello Scan corrente

Lista pre-evaluazione

È possibile creare nuove liste o utilizzare liste esistenti create da altri utenti. Quando apri una lista, tutti i suoi elementi saranno prioritizzati in relazione al rapporto attualmente aperto. Puoi quindi spuntare quelli che desideri testare dal vivo

Testing dal vivo

Una volta selezionati gli elementi, il test dal vivo ti permette di mostrarli al cliente e misurare la risposta di biofeedback del suo sistema utilizzando il Sensore. Il risultato è classificato in 3 risposte possibili: rafforza il sistema; indebolisce il sistema; o neutro

Esiste anche un'opzione di test aperto infinito, che ti permette di testare qualsiasi approccio terapeutico direttamente sul cliente o su te stesso, e misurare il risultato dal vivo utilizzando il biofeedback.

14.1. Elenco test

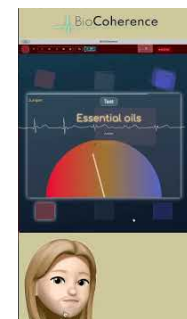
Testing con liste in BioCoherence

Gestire e modificare liste nella tua applicazione

Quando lavori con liste, hai la funzionalità di ricerca per parole chiave a portata di mano. Sebbene il numero di liste sia attualmente limitato, è progettato per espandersi fino a centinaia o anche migliaia di liste. Questo ti permetterà di modificare e gestire i tuoi test.

Modalità di modifica del test

1. **Accesso alla modalità di modifica:** Se sei su un test che appartiene a te, compare una piccola matita accanto al test. Clicca su di essa per entrare in modalità di modifica.
2. **Modifica degli elementi:** Una volta in modalità di modifica, puoi cliccare su ciascun elemento per modificare il testo e le azioni associate. Ad esempio, puoi definire azioni su categorie come Ayurveda, organi, Vata, Vita, ecc.
3. **Definizione delle azioni:** Clicca su categorie come VPK per specificare effetti, come aumentare o diminuire alcuni elementi (ad esempio, amminoacidi, vescica, sangue, cervello, occhi).



biocoherence.net/n82.112

Evaluazione automatica

Strumenti aggiuntivi

1. **aggiungi e importa:** Puoi aggiungere nuovi strumenti o importare una lista incollando elementi riga per riga.
2. **Elimina lista:** È disponibile un'opzione per eliminare una lista completamente.
3. **Mappa logica 2D:** Presto sarai in grado di posizionare elementi su un'immagine bidimensionale, facilitando la visualizzazione e l'organizzazione dei test.

Proprietà generali della lista

In alto dell'interfaccia, puoi modificare le proprietà generali:

- **Categoria della lista**
- **Visibilità (pubblica o privata)**
- **Accesso (gratuito o a pagamento)**

Le liste a pagamento possono essere rese pubbliche in modo che altri utenti possano accedervi dietro pagamento, sia una sola volta che tramite un abbonamento mensile. Questo ti permette di condividere le tue conoscenze e di essere pagato per questo.

Gestione delle liste non proprie

Se stai lavorando su una lista che non possiedi, puoi duplicarla. La duplicazione ti permette di creare una copia modificabile dove puoi cambiare il titolo, la descrizione e le azioni.

Accesso alle liste

Dal menu generale, accessibile sul lato destro dello schermo, puoi navigare su "Le mie liste" per modificare le tue liste esistenti o crearne di nuove. Questa funzionalità è disponibile da qualsiasi schermo, incluso quello principale.

Seguendo queste istruzioni, sarai in grado di gestire le tue liste e test in modo efficace, sfruttando le varie opzioni di modifica e organizzazione offerte dalla applicazione.

Introduzione al testing basato su liste

La verifica basata su liste in BioCoherence è un sistema completamente aperto, che permette agli utenti di selezionare liste esistenti, creare nuove liste, o duplicare liste esistenti da condividere con altri utenti.

Che cos'è una lista?

Una lista di test è una collezione di voci, ad esempio, erbe aromatiche o oli essenziali. Quando una lista viene aperta in un report con un record disponibile, ogni voce viene valutata e prioritizzata. Le percentuali indicano la compatibilità delle voci con il record, che va da 0% a 100%.

Codici colore

- **Verde:** Molto rilevante, alta compatibilità (ad esempio, 85%)
- **Altri colori:** Diverse gradazioni di compatibilità (ad esempio, 40% per una serie intermedia)
- **Viola:** Bassa compatibilità (20-30%)
- **Grigio:** Compatibilità neutra o quasi zero (circa 0%)
- **Rosso:** Incompatibilità o risposta negativa

Test live

Dopo una pre-valutazione, la seconda parte consiste in un test live. Ecco i passaggi da seguire:

1. **Seleziona elementi:** Seleziona gli elementi da testare singolarmente.
2. **Collegati al Sensore:** Collega il sensore per la calibrazione.
3. **Esegui test:** I test vengono eseguiti uno alla volta, inviando informazioni visive, audio o altre informazioni alla persona sottoposta a test.
4. **Osservazione:** La persona deve vedere o sentire le informazioni sottoposte a test per una valutazione accurata.
5. **Valutazione:** Il sistema classifica le risposte del corpo in base alle informazioni presentate.

Visualizzazione dei risultati

Alla fine del test, i risultati vengono ripresentati e classificati come segue:

- **Test riuscito:** Buona risposta del corpo
- **Test medio:** Risposta mista
- **Test inconcludente:** Risposta negativa o incoerente

Importanza delle informazioni presentate

È cruciale presentare quante più informazioni possibili sugli elementi testati (ad esempio, foto, dettagli dei sistemi sui quali agiscono gli oli essenziali) per ottenere una risposta intuitiva e misurabile dal corpo tramite il sistema di biofeedback.

Integrazione dei risultati nel report

I risultati del test appaiono nel report, mostrando solo elementi con buone o medie risposte, escludendo quelli che sono stati rifiutati. Il report include :

- **Percentuale di compatibilità: Calcolo basato sullo scansione iniziale**

15. AI in BioCoherence

BioCoherence utilizza le ultime tecnologie di Intelligenza Artificiale (IA) all'avanguardia per facilitare la comprensione, l'uso e l'analisi in modo senza soluzione di continuità e completamente integrato.

- Gli Assistenti IA sono in grado di spiegare, analizzare, testare e agire sulle priorità. Più di 30 assistenti specializzati possono ricevere valori di biomarker e aprire una chat semplice con l'utente o il Pro.
- Per i Pro, la creazione di elementi di lista è accelerata grazie all'assistenza nella scrittura di parti di meditazione, identificazione automatica di azioni, ricerche sugli ingredienti del prodotto....
- BioCoherence integra migliaia di algoritmi esclusivi collegati al BioFeedback e ai biomarker, alcuni dei quali sono stati ottenuti con l'assistenza del deep learning e dell'intelligenza artificiale.

15.1. AI Assistenti

One dei sviluppi più entusiasmanti in BioCoherence è l'introduzione di AI Helpers. Questi assistenti guidati dall'AI sono progettati per aiutare gli utenti a navigare nell'immenso quantitativo di informazioni all'interno dell'app, rendendo più facile comprendere e utilizzare i dati dei loro scansioni di biofeedback.

Gli AI Helpers in BioCoherence sono progettati per migliorare l'esperienza dell'utente fornendo indicazioni personalizzate, spiegazioni e creazione di programmi basati sui dati degli utenti. Questi moduli AI riducono la curva di apprendimento per i nuovi utenti e offrono ai professionisti un modo per semplificare le interazioni con i clienti. Gli AI Helpers possono operare in due modalità distinte a seconda del contesto del loro uso:

1. **Senza una Registrazione:** Gli utenti possono chattare con l'AI per creare un programma di base in base alle loro esigenze. Dalla Homepage: Gli utenti possono interagire con l'AI per indicazioni generali senza collegarsi a biomarcatori specifici.
2. **Con una Registrazione Aperta:** Gli AI Helpers analizzano i biomarcatori dell'utente e forniscono insight o raccomandazioni basate sui dati registrati.



Caratteristiche Chiave

Gli AI Helpers funzionano come una clinica virtuale, con assistenti specializzati che agiscono come infermieri e personale di supporto sia per utenti generali che per professionisti del settore. Questi assistenti AI possono:

- Leggere e interpretare i biomarcatori delle tue scansioni e delle scansioni dei tuoi clienti.
- Mostrare biomarcatori specifici e interpretarne i valori.
- Riprodurre potenziamenti armonici per aiutare a bilanciare la tua energia.
- Modificare le tue priorità in base ai tuoi dati di salute e alla discussione.
- Inserire elementi nella tua lista di potenziamenti armonici per una guarigione personalizzata.
- Richiedere e analizzare nuovi test in tempo reale.
- Fornire spiegazioni e consigli per vari biomarcatori e risultati di test.
- Ridirezionare i clienti verso consultazioni professionali quando necessario.

Questo significa che gli utenti possono interagire con l'AI per ottenere insight più profondi sulla loro salute, porre domande sui loro risultati e anche ricevere raccomandazioni per insight attuabili, meditazione, rimedi erboristici e altro:

- **Assistenza Personalizzata:** Ogni AI Helper è specializzato in un dominio specifico, come naturopatia, Medicina Tradizionale Cinese (TCM), oli essenziali o meditazione. Attualmente ci sono più di 25 AI Helpers. Ricevono un sottogruppo curato di biomarcatori rilevanti per la loro competenza, prompt specifici, conoscenze e formazione specifiche, liste e elementi di lista specifici, informazioni aggiuntive specifiche e abilità specifiche.

- **Creazione di Programmi di Base:** Gli utenti possono creare programmi personalizzati discutendo le loro esigenze con l'AI. Questi programmi vengono salvati nella sezione "Programmi di Base" e possono essere lanciati immediatamente.
- **Supporto Lingua:** Gli AI Helpers supportano più lingue, permettendo agli utenti di interagire nella loro lingua madre. Il sistema è progettato per gestire efficacemente richieste multilingue.
- **Accesso Personalizzabile:** I professionisti possono controllare quali AI Helpers sono disponibili per i loro clienti e quali dati possono accedere. Questo garantisce che l'AI operi all'interno dei limiti stabiliti dal professionista.

L'AI è progettata per riconoscere le sue limitazioni, garantendo che gli utenti siano incoraggiati a cercare consigli professionali quando necessario.

AI Helpers per Professionisti

Per i professionisti, gli AI Helpers funzionano come assistenti intelligenti che possono:

- Aiutare a spiegare biomarcatori complessi ai clienti.
- Suggestire test aggiuntivi in base ai dati del cliente.
- Raccomandare tecniche di meditazione o rimedi erboristici.
- Alleviare il processo di spiegazione fornendo AI Helpers selezionati al cliente con abilità di spiegare ma non modificare le decisioni del Pro.

Quando un Pro lavora sul record di un cliente, l'AI Helper riceve i dati del cliente e agisce come assistente del Pro.

Accesso agli AI Helpers

Gli AI Helpers possono essere acceduti da:

- **La Homepage:** Per indicazioni generali o creazione di Programmi di Base.
- **Una Registrazione Aperta:** Per analizzare e spiegare biomarcatori specifici, per fornire dettagliati insight sull'analisi.

Utilizzi degli AI Helpers

Creazione di un Programma di Base:

- Naviga nella sezione AI Helpers dalla homepage.
- Seleziona un AI Helper (ad esempio, Sleep Coach, Meditation Guide).
- Interagisci in una conversazione per descrivere le tue esigenze (ad esempio, "Mi sento stressato e ho bisogno di aiuto per rilassarmi").
- L'AI genererà un programma di base personalizzato e lo salverà nella tua sezione "Programmi di Base".

Spiegazione dei Biomarcatori:

- Apri una registrazione e naviga nella sezione AI Helpers, sotto "Conclusioni".
- Seleziona un AI Helper rilevante per i biomarcatori che desideri esplorare (ad esempio, TCM Practitioner per i meridiani).
- L'AI fornirà spiegazioni dettagliate e raccomandazioni basate sui tuoi biomarcatori calcolati nella registrazione.

Esempio: Tisana o Miscela di Oli Essenziali. Usa l'AI Helper Herbalist o Essential Oil Expert. L'AI analizzerà i biomarcatori rilevanti e suggerirà una miscela di tisana personalizzata o una ricetta di olio essenziale.

Limitazioni degli AI Helpers

- Gli AI Helpers non possono modificare registrazioni o risultati dell'analisi. Sono progettati per spiegare e fornire indicazioni basate sui dati esistenti.
- Il set iniziale di biomarcatori forniti a ciascun AI Helper è limitato al loro dominio di competenza. Tuttavia, l'AI può richiedere biomarcatori aggiuntivi durante la conversazione se necessario.

Funzionalità Avanzate

Riepilogo e Integrazione del Rapporto:

- Alla fine di una conversazione, l'AI Helper genera un riepilogo della discussione.
- I professionisti possono scegliere di includere questo riepilogo nel report PDF del cliente per riferimenti futuri.

Feedback e Valutazioni:

- dopo ogni interazione, gli utenti possono valutare l'utilità e il successo dell'AI Helper nella risoluzione della loro richiesta. Questo feedback aiuta a migliorare le prestazioni dell'AI.

Customizable AI Access for%

16. Equilibrio

Risorse e priorità; reporting, generazione di meditazione e frequenze.

Questi schermi consentono l'auto-identificazione e la modifica di risorse e priorità, la generazione di un report PDF, e la creazione di strumenti di riequilibrio come meditazioni guidate, frequenze specifiche...

16.1. Priorità

Definire gli elementi chiave da affrontare dopo l'analisi

La sezione di bilanciamento tratta le azioni da intraprendere una volta completata l'analisi e chiariti gli obiettivi, o quando il dispositivo è fidato per determinare i requisiti automaticamente.

Priorità

Definizione e Scopo: Le priorità sono gli elementi identificati dall'app come necessitanti attenzione o intervento. Questi sono i settori in cui la salute dell'utente può essere compromessa e richiedono supporto dai risorse identificate (vedi il capitolo successivo sulle risorse).

Processo di Selezione: L'app seleziona automaticamente le priorità in base a un algoritmo che valuta vari biomarker. Gli utenti possono esplorare ulteriori potenziali priorità all'interno di ogni categoria e aggiungerle se necessario, sia cliccando su "esplora" per ottenere una preselezione di biomarker interessanti, sia sfogliando tutte le schermate e scegliendo priorità interessanti.

Categorie: Simile alle risorse, le priorità sono categoricamente suddivise in vari gruppi, inclusi organi, emozioni, e punti energetici. Gli utenti possono esplorare queste categorie per identificare ulteriori aree di focus.

Customizzazione: Gli utenti possono aggiungere o rimuovere le priorità dalla lista, permettendo un approccio personalizzato al loro percorso di salute. Si raccomanda di mantenere il numero di priorità gestibile (15-20) per mantenere focalizzazione ed efficacia.



biocoherence.net/n82.107

Ricalcola per ottimizzare il sistema.

Per riavviare i calcoli di priorità e risorse, clicca sull'icona appropriata nell'angolo in alto a destra della schermata principale. Inizia identificando le risorse, che permetteranno al sistema di riidentificare automaticamente tutte le risorse necessarie. Successivamente, identifica le priorità cliccando sull'opzione corrispondente, che aggiungerà automaticamente le priorità identificate dal sistema. Puoi anche cliccare su "aggiungi" e "riidentifica automaticamente le priorità" nella schermata Priorità; questo aggiungerà solo nuove priorità alla tua selezione attuale, senza rimuoverle.

L'analisi delle onde è un passaggio cruciale nell'evoluzione logica. Puoi ricalcolare biomarker, link, priorità e identificare risorse in base alle tue esigenze. Se incontri problemi nell'accedere a un rapporto completo, puoi sempre ricalcolarlo.

Visualizza e modifica le priorità

Nella sezione priorità, il sistema visualizza tutto ciò che è stato identificato come rilevante. Puoi modificare queste priorità cancellandole o aggiungendo nuove priorità. Per aggiungere una priorità, clicca su "Aggiungi" e seleziona gli elementi di interesse dalle varie categorie offerte, come organi, punti di meridiani o ricette TCM (Medicina Tradizionale Cinese).

Puoi anche ripulire la lista delle priorità cancellando quelli non più necessari. La modifica delle priorità utilizza la stessa interfaccia su tutte le pagine del sistema, ma qui raggruppa tutte le priorità che hai definito.

Infine, puoi aggiungere commenti alle priorità. Questi commenti saranno integrati nel rapporto finale, fornendo ulteriore contesto per ogni priorità identificata.

Puoi aggiungere o rimuovere elementi di priorità da qualsiasi pagina, cliccando sull'icona alla destra del fiore rilevante. Se questa icona è verde, il biomarker è presente nelle priorità; se è rossa, non lo è.

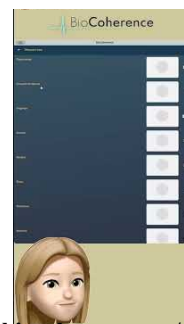
16.2. Risorse

I pilastri su cui armonizzare solidamente

Prima di esplorare le risorse, Christine Degoy condividerà alcuni approfondimenti sulla sua ricerca, poiché questo è un focus chiave:

"Abbiamo sviluppato una cultura--una nuova mentalità--sull'impegno con sistemi problematici. Dieci anni di lavoro terapeutico e ricerca con i clienti mi hanno inizialmente rivelato una coerenza all'interno di ogni essere. Questa risonanza naturale è cruciale in quanto aiuta ad esplorare l'intero spettro di problematiche. È il modo più facile per stabilire profonde connessioni interne, promuovendo una contagione positiva che potenzia la coerenza nel sistema. Questo approccio dà potere agli individui per guarire e crescere internamente, rispettando l'ordine naturale del loro corpo. Chiamiamo questo il 'modo delle risorse,' una porta aperta verso le possibilità.

Risorse sono le parti più coerenti e potenti del nostro essere, simili a un superpotere che abbiamo sviluppato nel corso delle nostre vite. Il concetto di risorse di vita sarà eventualmente parte del nostro modulo delle missioni di vita. Anche un singolo organo, meridiano, punto di agopuntura, chakra, emozione, ecc. può essere una risorsa potente, contribuendo a una contagione felice che allinea la nostra vita e il nostro corpo. " -- Christine Degoy



biocoherence.net/n82.108

Dopo aver esaminato le priorità - gli elementi cruciali che devono essere affrontati per una persona in un dato momento - passeremo alle risorse. Le risorse, rappresentate da un piccolo iconcina del biglietto con una stella, sono gli elementi "stella" del corpo. Sono quelli che straripano di energia, sono estremamente stabili e su cui il corpo può fare affidamento per distribuire energia alle priorità durante il processo di guarigione.

Nell'app, abbiamo sviluppato un algoritmo sofisticato per calcolare un punteggio di risorsa per ogni biomarker. Questo punteggio identifica gli elementi più energetici e stabili, evidenziando le priorità per il miglioramento. Prende in considerazione vari fattori, come la stabilità di un elemento, energia, e connettività, portando alla pagina delle risorse che vedi ora.

Una comprensione dettagliata delle risorse e delle priorità all'interno dell'app BioCoherence offre agli utenti un chiaro percorso per sfruttare i loro poteri inherent e affrontare aree di bisogno per migliorare la salute e il benessere.

Risorse vengono identificate automaticamente dopo una registrazione, grazie a un algoritmo sviluppato per tenere in considerazione tutti gli elementi disponibili. Tuttavia, è possibile modificare queste risorse manualmente se necessario. Ad esempio, quando si accede alla sezione degli organi, se i neurotrasmettitori vengono identificati come risorsa principale, è possibile cliccarci sopra per vedere una scelta di altre forti risorse.

Le risorse disponibili di questa famiglia vengono quindi classificate in ordine inverso di importanza, dal più forte al più debole. Se preferisci lavorare con una risorsa diversa, ad esempio la lingua invece dei neurotrasmettitori, o la trachea, o i nuclei cellulari dei neuroni, clicca semplicemente sulla risorsa desiderata per selezionarla. Per comprendere meglio che corrisponde a ciascuna risorsa, puoi cliccare sull'icona del fiore per vedere le connessioni e fare una scelta più informata.

Queste risorse saranno quindi utilizzate nelle varie fasi della riarmonizzazione.

Una breve presentazione delle Risorse

Il nostro approccio introduce un cambiamento di paradigma per affrontare sistemi problematici. Scoperto inizialmente attraverso pratiche terapeutiche, questo metodo sottolinea la coerenza all'interno di un individuo. Questa risonanza naturale tra terapia

e coerenza personale serve da fondamento per affrontare problematiche piú ampie. L'approccio promuove la connettività interna, portando a una 'contagione felice' che potenzia la guarigione personale e l'empowerment senza protocolli esterni. Questa metodologia, denominata 'il modo delle risorse,' rispetta sistemi complessi e promuove la sinergia.

Risorse sono identificate come gli aspetti piú coerenti e potenti del corpo, simili a superpoteri inherent. Per ulteriormente espandere la comprensione del proprio percorso personale, gli aggiornamenti futuri includeranno missioni di vita, che sono un'estensione della ricerca di Christine.

Un particolare organo, ad esempio, potrebbe essere una risorsa significativa, potenzialmente diffondendo potere e coerenza in tutto il corpo. L'applicazione utilizza un algoritmo avanzato per calcolare un punteggio di risorsa per ogni biomarker, identificando risorse ottimali e prioritá. L'algoritmo valuta energia, stabilitá, e connettivitá, considerando la forza o la debolezza di queste connessioni, portando a una pagina delle risorse completa.

Risorse e Prioritá in BioCoherence

Panoramica

L'app BioCoherence fornisce un'analisi completa dello stato fisiologico ed energetico dell'utente attraverso una scansione dettagliata. Al termine della scansione iniziale, agli utenti vengono presentati due componenti critici: Risorse e Prioritá. Questi elementi sono essenziali per interpretare i risultati della scansione e guidare l'utente verso una salute ottimale e benessere.

Risorse

Definizione e Scopo: Le risorse nell'app BioCoherence si riferiscono agli elementi piú coerenti, stabili, e energeticamente potenti all'interno del corpo dell'utente. Questi elementi sono identificati come le forze inherent o "superpoteri" dell'utente che possono essere sfruttati per supportare la guarigione e l'equilibrio.

Calcolo: L'app utilizza un algoritmo sofisticato per determinare il punteggio di risorsa per ogni biomarker. Questo punteggio considera fattori come i livelli di energia, stabilitá, e connettivitá con altri elementi. Gli elementi con il punteggio piú

16.3. rapporto PDF

Genera, esporta PDF, stampa e condividi i risultati

Capitolo: Generazione e gestione dei rapporti con Balance

La terza caratteristica chiave di Balance è la generazione di rapporti. Questa funzione ti permette di creare un file PDF contenente tutte le informazioni conservate durante l'uso dell'applicazione.

Contenuti del rapporto PDF

Il rapporto PDF generato include:

- Sezioni del progetto e durata
- Commenti scritti
- Risorse identificate
- Priorità definite
- Organi piú energetici o meno energetici
- Organi piú o meno agitati
- Organi in coerenza
- Meridiani



biocoherence.net/n82.109

- Ricette di Medicina Tradizionale Cinese (TCM)
- ecc.

Personalizzazione del rapporto

Puoi aggiungere o rimuovere sezioni dal rapporto. Per farlo, accedi ai tipi di sezione e usa gli strumenti disponibili per personalizzare il rapporto in base alle tue esigenze.

Condivisione e salvataggio del rapporto

Il rapporto PDF può essere condiviso direttamente tramite diversi canali:

- **Condivisione diretta:** Usa la casella di condivisione per inviare il rapporto tramite WhatsApp, SMS o messenger.
- **Salvataggio:** Clicca su "File PDF" per salvare il rapporto. Su un computer, puoi salvarlo direttamente sul tuo disco rigido. Su un telefono o tablet (iPad), verrà salvato nei tuoi file.
- **Stampa:** Clicca su "Stampa" per stampare il rapporto. Su un computer, questo aprirà la finestra di dialogo per la stampa. Su un telefono, l'opzione di stampa apparirà se è disponibile una stampante compatibile sulla tua rete.

Il rapporto PDF mantiene tutte le informazioni inserite, inclusi eventuali commenti aggiunti nelle varie sezioni. Questa funzione assicura che tutti i dati importanti siano centralizzati e facilmente accessibili per futuro uso.

16.4. Equilibrio: Meditazioni, suoni e strumenti

meditazioni guidate, generazione di frequenze, e dissoluzione dei cristalli temporali. In questa fase, questo modulo è in preparazione e sarà sviluppato nei prossimi mesi.

Equilibrio con Meditazioni Guidate Personalizzate

La sezione "Equilibrio" è una parte cruciale del nostro metodo, dedicata alla creazione di meditazioni guidate o file audio che integrano le frequenze richieste per ogni individuo. Il principio si basa su un approccio progressivo, paragonabile alla sbucciatura di una cipolla: i problemi più vicini a noi sono quelli più facili da affrontare, mentre quelli più lontani richiedono un trattamento più approfondito. Questo processo viene eseguito passo dopo passo, seguendo un percorso ideale definito per affrontare i vari elementi di priorità in un ordine specifico.



biocoherence.net/n82.110

Parametri della meditazione

1. **Velocità della meditazione:** A seconda dei parametri rilevati durante la registrazione, viene determinata la velocità con cui una persona entra in meditazione.
2. **Tipo di personalità:** Questo fattore influenza la costruzione della meditazione.
3. **Musica:** Accordi e una scala generale vengono identificati per iniziare al livello della persona.

Selezione risorse

Risorse sono progettate per attingere agli elementi più potenti in ogni categoria. Risorse rilevanti vengono richiamate ogni giorno per affrontare le priorità del giorno.

Selezione delle priorità

Per ogni tipo di priorità selezionata, viene inclusa una serie di meditazioni. Queste serie includono diversi tipi di meditazione guidata adattate a diversi profili. L'applicazione determina quindi le meditazioni guidate più appropriate da cui iniziare, seguite da una seconda parte basata su frequenze o voci generate secondo le priorità da affrontare e le risorse da utilizzare.

Registrazione e follow-up

Una volta che una guida personalizzata è stata progettata, può essere salvata sull'account dell'utente. Se realizzata da un Pro, gli utenti possono quindi installare l'applicazione Biocoherence, inserire il loro indirizzo email e accedere alla loro meditazione personalizzata. È anche possibile ri-valutare regolarmente prima di ogni sessione di meditazione tramite l'app. La ri-valutazione ti invita a registrare il sensore e lo collega per una nuova valutazione.

Monitoraggio dei progressi

Il progresso è visualizzato sotto forma di curve corrispondenti a ciascuna priorità, rendendo possibile visualizzare il progresso e i punti ancora da affrontare. Altri metodi di monitoraggio sono disponibili, come questionari iniziali e di follow-up.

Piano e durata

Una volta che il piano è stato redatto e la meditazione personalizzata creata, è disponibile sul profilo dell'utente. L'utente può essere invitato a installare l'applicazione via email per lanciare direttamente la meditazione guidata. Una sessione completa di equilibrio è programmata per durare tre settimane.

Una guida dettagliata: Utilizzare il Harmonic Boost e la Guida Personale in BioCoherence

L'Harmonic Boost e la Guida Personale sono due funzionalità chiave nell'app BioCoherence che consentono agli utenti di interagire con i loro programmi di frequenza personalizzati. Questi strumenti aiutano gli utenti a integrarsi frequenze bioattive nella loro routine quotidiana, supportando il loro equilibrio energetico e fisiologico. Quest'area fornisce una guida dettagliata su come utilizzare queste funzionalità in modo efficace, inclusi i migliori approcci per diverse situazioni.

1. Harmonic Boost

Che cos'è l'Harmonic Boost?

L'Harmonic Boost è uno strumento basato sulla frequenza che riproduce tutte le priorità selezionate simultaneamente. È progettato per fornire un'armonizzazione energetica completa, olistica in un breve periodo.

Come utilizzare l'Harmonic Boost

- **Accesso all'Harmonic Boost:**
 - Apri l'app BioCoherence.
 - Naviga verso la tua registrazione attiva (si trova al centro della tua Home Screen), oppure scegli una registrazione dalla tua lista.
 - Clicca su Harmonic Boost per iniziare a riprodurre le frequenze.
- **Riproduzione dell'Harmonic Boost:**
 - L'Harmonic Boost riproduce tutte le priorità selezionate tutte insieme. Puoi anche filtrare per energia, corpo e mente; programmi con alta priorità; programmi con protocollo; ecc. Filtra i programmi se desideri solo un aumento energetico, ad esempio, o se sei in umore di affrontare i tuoi problemi più profondi filtrando solo i programmi con protocollo.
 - Può essere riprodotto in background mentre si svolgono attività quotidiane. Il volume può essere molto basso.
 - È raccomandato utilizzare cuffie o altoparlanti esterni per una migliore risonanza. Puoi anche utilizzare cuffie in-ear nella tua tasca che forniranno un piccolo campo elettromagnetico al tuo corpo con le frequenze bioattive incluse. In questo modo, non devi ascoltare le frequenze: il tuo campo energetico, corpo e mente le registreranno elettromagneticamente.
- **Esportazione dell'Harmonic Boost:**
 - Gli utenti possono esportare l'Harmonic Boost come file MP3 per uso offline.
 - Su Mac, iPhone, iPad e Android, il file può essere salvato o condiviso direttamente via SMS, AirDrop, WhatsApp, o email.
 - Su Windows, il file deve essere salvato manualmente e poi condiviso.
- **Migliori pratiche:**
 - **Utilizzo giornaliero:** Riproduci l'Harmonic Boost una volta o due al giorno.
 - **Ascolto passivo:** Può essere riprodotto a basso volume in background.
 - **Sessioni concentrate:** Per effetti più profondi, ascolta in un ambiente tranquillo con minime distrazioni.

2. Guida Personale

Che cos'è la Guida Personale?

La Guida Personale è una meditazione guidata che integra frequenze personalizzate con guida vocale. Aiuta gli utenti a concentrarsi sul loro equilibrio energetico e fisiologico attraverso tecniche di visualizzazione strutturate e rilassamento. L'obiettivo di questa guida è integrare una consapevolezza di guarigione concentrata nella tua vita quotidiana.

Come utilizzare la Guida Personale

- **Accesso alla Guida Personale:**
 - Apri l'app BioCoherence.
 - Naviga verso%

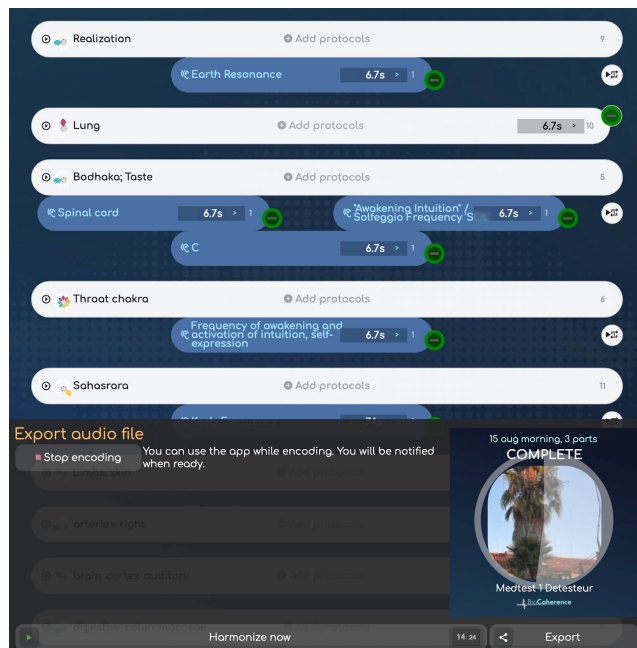
16.5. Potenziamiento Armonico

La funzione Harmonic Boost in BioCoherence è progettata per aumentare l'efficacia delle meditazioni e della armonizzazione basata sulle frequenze integrando frequenze specifiche su misura per le esigenze dell'utente e specifici protocolli. Questa funzione consente agli utenti di stimolare e correggere vari biomarker utilizzando una combinazione di programmi di frequenza preset e individualizzati.

Colori degli Elementi e Le Loro Funzioni

L'interfaccia Harmonic Boost è composta da diversi elementi colorati, ognuno con uno scopo distinto:

- **Elementi Bianchi:** Questi rappresentano armonizzazioni sistemiche, collegate a un biomarker specifico. Sono set di frequenze precalcolate associati a organi specifici, punti di agopuntura, fatiche (e.g., stress geopatico), o altri biomarker. Queste frequenze sono fisse e non cambiano in base ai risultati dell'analisi individuale.
- **Elementi Blu:** Questi rappresentano protocolli correttivi. Sono individualizzati e calcolati localmente sul dispositivo dell'utente. Queste frequenze sono selezionate in base alle esigenze specifiche dell'utente e sono progettate per compensare le disarmonie rilevate nell'analisi.
 - **Elementi Blu Scuro:** Questi sono frequenze bioattive individuali o collezioni di frequenze (spettri di frequenza), che possono essere riprodotte elettricamente o acusticamente.
 - **Elementi Blu Chiaro:** Questi sono battiti binaurali, progettati per far sentire frequenze molto basse acusticamente e allenare il cervello in stati alterati specifici di coscienza. Funzionano riproducendo due frequenze leggermente diverse in ogni ore, creando una frequenza di battito nel cervello che si allinea con l'effetto terapeutico desiderato.



Modalità di Azione e Funzionalità

Frequenze Precalcolate

- tutte le frequenze di armonizzazione dei biomarker (elementi bianchi) sono precalcolate e memorizzate sia localmente che nel cloud. Questo garantisce una riproduzione fluida senza richiedere calcoli in tempo reale, anche su dispositivi di bassa gamma.
- Lo stesso processo di precalcolo verrà applicato agli elementi blu (che sono altamente individualizzati) al momento necessario, direttamente sul dispositivo dell'utente, eliminando interruzioni e migliorando le prestazioni.

Calcolo in Tempo Reale per Protocolli Individualizzati

- Quando un utente aggiunge un protocollo (elementi blu), il sistema calcola le frequenze richieste localmente prima della riproduzione.
- Questo garantisce che le frequenze siano su misura per le esigenze specifiche dell'utente mantenendo al contempo prestazioni ottimali.

Riproduzione Simultanea delle Frequenze

- Il sistema Harmonic Boost riproduce quattro frequenze alla volta.

- Se vengono selezionati solo elementi bianchi, vengono riprodotte quattro frequenze dal set di armonizzazione dei biomarker.
- Se sia gli elementi bianchi che blu vengono selezionati, il sistema bilancia dinamicamente le frequenze di riproduzione tra l'armonizzazione dei biomarker e le frequenze correttive.

Il fatto che le frequenze siano riprodotte insieme permette un'azione mirata dei protocolli, stabilendo un ponte diretto verso il sistema selezionato attraverso l'effetto di risonanza e aggiungendo le frequenze del protocollo per ottenere l'effetto di un laser diretto mirato specificamente sul sistema.

Integrazione dei Battiti Binaurali

- Quando un battito binaurale (elemento blu chiaro) è incluso, viene mescolato con una delle frequenze dei biomarker.
- Ad esempio, se una frequenza di stress geopatico è 100 Hz e un battito binaurale è 8 Hz, il sistema riprodurrà 100 Hz in un'ore e 108 Hz nell'altro, creando un battito di 8 Hz nel cervello.

Durata e Tempistica

- La durata predefinita di ogni ciclo di frequenza è 6.73 secondi, che è un multiplo del tempo di Planck rispetto al rapporto d'oro (ϕ).
- Ogni programma bianco o blu è composto da più cicli, che durano tipicamente tra 10 e 150 secondi (con cicli di reset di 6.73 secondi).
- Gli utenti possono regolare la durata di un programma per renderlo più corto o lungo, a seconda delle loro esigenze.
- Il programma completo può essere esportato come un unico file audio, e i sottogruppi possono essere esportati direttamente per affrontare specificamente energia, corpo, mente, o gli elementi che richiedono maggior attenzione, ad esempio.

Customizzazione ed Esportazione

Inserimento di Protocolli

- Gli utenti possono aggiungere manualmente protocolli per aumentare l'efficacia di una sessione Harmonic Boost.
- Il sistema fornisce protocolli suggeriti basati sul biomarker selezionato, ma gli utenti possono anche cercare protocolli aggiuntivi. Ci sono più di 2000 protocolli inclusi e l'elenco viene regolarmente migliorato con nuovi studi.

Esportazione di File MP3

- Gli utenti possono esportare le sessioni Harmonic Boost come file MP3 per uso offline.
- I file esportati includono metadati come copertine del disco e parole chiave, rendendoli facili da organizzare nelle librerie musicali.

Applicazioni Pratiche

- **Integrazione Guida Personale:** Gli utenti ascolteranno le frequenze Harmonic Boost nelle meditazioni guida personale per una relax più profonda e guarigione.
- **Terapia Mirata:** Selezionando biomarker specifici e protocolli correttivi, gli utenti possono creare sessioni di guarigione personalizzate.
- **Incremento di Energia:** Gli utenti possono creare e salvare set di frequenze per aumentare l'energia per un accesso rapido quando ne hanno bisogno.

La funzione Harmonic Boost in BioCoherence fornisce uno strumento potente per l'armonizzazione basata sulle frequenze. Combinando frequenze di biomarker precalcolate con protocolli correttivi individualizzati, gli utenti possono creare sessioni di guarigione altamente efficaci e personalizzate. La possibilità di esportare e riprodurre queste sessioni offline migliora ulteriormente l'accessibilità e l'usabilità.

Addendum 1.

Domande frequenti

Come ottenere aiuto nell'app

Per chiedere aiuto o inviare un suggerimento da qualsiasi pagina dell'app, basta aprire il menu in alto a destra e fare clic su "Feedback e idee". Puoi fare clic su "annota uno screenshot" per aggiungere uno screenshot della pagina su cui ti trovi attualmente e aggiungere questo screenshot annotato alla tua richiesta. È molto più facile per noi aiutarti in quel caso!

Come possono i membri della mia famiglia o i miei clienti accedere alle meditazioni personalizzate?

Per accedere alle meditazioni personalizzate, devono installare l'app da biocoherence.net/install o dall'App Store o dal Play Store. Puoi invitarli creando un account per loro; per favore inserisci la loro email nell'account in modo che ricevano un invito con l'account corretto. Puoi quindi condividere la loro analisi con loro aggiungendoli come contatto nell'analisi. Quando accedono all'app con l'email che hai specificato nell'account che hai creato, troveranno questa analisi nella home page della loro app, o sotto "Analisi registrate".

Una volta che hanno l'analisi, possono ascoltare la meditazione di bilanciamento attraverso la sezione "Bilanciamento" dell'app BioCoherence, dove l'audio combina guida parlata con frequenze per risultati ottimali.

Programma di Affiliazione di BioCoherence

Benvenuto nel Programma Affiliati di BioCoherence! Siamo entusiasti di averti con noi per condividere i benefici della nostra tecnologia all'avanguardia con il tuo pubblico. Il nostro programma ti consente di guadagnare commissioni mentre aiuti gli altri a scoprire un approccio trasformativo alla salute e al benessere.

Iniziare

1. Accedi al tuo account: Visita <https://biocoherence.net/s0.login>¹.
2. Accedi alla tua pagina affiliata: Naviga a <https://biocoherence.net/n119>². Questo è il tuo hub personale per gli affiliati.

Qui troverai tutti gli strumenti e le informazioni di cui hai bisogno, incluso come:

- Creare e gestire i tuoi codici di invito.
- Monitorare le tue commissioni.
- Crescere la tua rete di affiliati.

Informazioni sul Programma Affiliati

Il nostro programma offre commissioni basate su abbonamento per vendite dirette e una varietà di tipi di acquisto. Puoi anche guadagnare incentivi aggiuntivi quando riferisci nuovi affiliati al programma.

Commissioni di Abbonamento per Vendite Dirette

Quando condividi i tuoi codici di invito, guadagni commissioni sugli abbonamenti e su altri acquisti effettuati dagli utenti che si registrano con il tuo codice. Il programma è progettato per premiare sia te che i tuoi clienti, offrendo vantaggi e incentivi per i nuovi utenti che si uniscono con il tuo codice.

Acquisti Aggiuntivi

Guadagna commissioni su acquisti come rapporti, test e hardware attraverso la piattaforma BioCoherence. Queste ricompense ti consentono di beneficiare di ogni transazione effettuata dai tuoi utenti referenziati.

Nota: Per gli articoli coperti da esclusività territoriale, le commissioni e le fatture dei clienti saranno elaborate attraverso il distributore esclusivo locale. Le tariffe possono variare a seconda delle politiche del distributore. Controlla biocoherence.net/distributors³ per dettagli.

Gestisci i Tuoi Codici di Invito

Dalla tua pagina di gestione affiliati, puoi creare più codici da distribuire attraverso diversi canali come social media, video e blog. Questo ti consente di monitorare le performance di ciascun codice e ottimizzare i tuoi sforzi.

Benvenuto nel Programma Affiliati di BioCoherence! Siamo entusiasti di averti con noi per condividere i benefici della nostra tecnologia all'avanguardia con il tuo pubblico. Il nostro programma ti consente di guadagnare commissioni mentre aiuti gli altri a scoprire un approccio trasformativo alla salute e al benessere.

Iniziare

1. Accedi al tuo account: Visita <https://biocoherence.net/s0.login>⁴.
2. Accedi alla tua pagina affiliata: Naviga su <https://biocoherence.net/n119>⁵. Questo è il tuo hub personale per gli affiliati.

Qui troverai tutti gli strumenti e le informazioni di cui hai bisogno, incluso come:

- Creare e gestire i tuoi codici di invito.
- Monitorare le tue commissioni.
- Crescere la tua rete di affiliati.

¹ <https://biocoherence.net/s0.login>
² <https://biocoherence.net/n119>

Informazioni sul Programma Affiliati

Il nostro programma offre commissioni basate su abbonamenti per vendite dirette e una varietà di tipi di acquisto. Puoi anche guadagnare incentivi aggiuntivi quando riferisci nuovi affiliati al programma.

Commissioni per Abbonamenti su Vendite Dirette

Quando condividi i tuoi codici di invito, guadagni commissioni sugli abbonamenti e su altri acquisti effettuati dagli utenti che si registrano con il tuo codice. Il programma è progettato per premiare sia te che i tuoi clienti, offrendo vantaggi e incentivi per i nuovi utenti che si uniscono con il tuo codice.

Acquisti Aggiuntivi

Guadagna commissioni su acquisti come rapporti, test e hardware attraverso la piattaforma BioCoherence. Queste ricompense ti consentono di beneficiare di ogni transazione effettuata dai tuoi utenti referenziati.

Nota: Per gli articoli coperti da esclusiva territoriale, le commissioni e le fatture dei clienti saranno elaborate attraverso il distributore esclusivo locale. Le tariffe possono variare in base alle politiche del distributore. Controlla biocoherence.net/distributors³ per i dettagli.

Gestisci i Tuoi Codici di Invito

Dalla tua pagina di gestione affiliati, puoi creare più codici da distribuire attraverso diversi canali come i social media, video e blog. Questo ti consente di monitorare le prestazioni di ciascun codice e ottimizzare i tuoi sforzi.

Benvenuto nel programma di affiliazione di BioCoherence! Siamo felici che tu ti unisca a noi per condividere con il tuo pubblico i vantaggi della nostra tecnologia all'avanguardia. Il nostro programma ti consente di percepire commissioni mentre aiuti altre persone a scoprire un approccio trasformativo alla salute e al benessere.

Per iniziare

1. Accedi al tuo account: Visita <https://biocoherence.net/s0.login>⁷.
2. Accedi alla tua pagina affiliato: Naviga verso <https://biocoherence.net/n119>⁸. Questo è il tuo centro affiliato personale.

Qui troverai tutti gli strumenti e tutte le informazioni di cui hai bisogno, in particolare per

- Creare e gestire i tuoi codici di invito.
- Monitorare le tue commissioni.
- Sviluppare la tua rete di affiliati.

Informazioni sul programma di affiliazione

Il nostro programma offre commissioni basate sull'abbonamento per le vendite dirette e una varietà di tipi di acquisto. Puoi anche guadagnare premi aggiuntivi quando raccomandi nuovi affiliati al programma.

Commissioni di abbonamento per le vendite dirette

Quando condividi i tuoi codici di invito, guadagni commissioni sugli abbonamenti e su altri acquisti effettuati dagli utenti che si registrano con il tuo codice. Il programma è progettato per premiare sia i tuoi clienti che te stesso, offrendo vantaggi e incentivi ai nuovi utenti che si registrano con il tuo codice.

Acquisti aggiuntivi

Guadagna commissioni su acquisti come rapporti, test e materiali tramite la piattaforma BioCoherence. Queste ricompense ti consentono di beneficiare di ogni transazione effettuata dagli utenti che hai riferito.

Nota: Per gli articoli coperti da esclusività territoriale, le commissioni e le fatture dei clienti saranno gestite dal distributore esclusivo locale. I tassi possono variare in base alle politiche del distributore. Consulta biocoherence.net/distributori⁹ per ulteriori dettagli.

Iniziare

1. Accedi al tuo account: <https://biocoherence.net/s0.login>¹⁰ visita ¹¹
2. Accedi alla pagina di affiliazione: vai a <https://biocoherence.net/n119>¹². Questo è il tuo hub personale di affiliazione.

Qui puoi trovare tutti gli strumenti e le informazioni necessari, compresi i metodi:

- Genera e gestisci i codici di invito.
- Monitora le commissioni.
- Fai crescere la tua rete di affiliazione.

Introduzione al programma di affiliazione

Il nostro programma offre commissioni basate su abbonamento per vendite dirette e vari tipi di acquisto. Inoltre, puoi ricevere incentivi aggiuntivi se raccomandi nuovi affiliati al programma.

Commissioni per abbonamento sulle vendite dirette

Condividendo il codice di invito, puoi guadagnare commissioni sugli abbonamenti e su altri acquisti degli utenti che registrano il codice. Questo programma è progettato per offrire vantaggi e incentivi ai nuovi utenti che si iscrivono utilizzando il codice, fornendo ricompense sia ai venditori che ai clienti.

Acquisti aggiuntivi

Guadagna commissioni sugli acquisti di rapporti, test, hardware e altro tramite la piattaforma BioCoherence. Con queste ricompense, puoi beneficiare di tutte le transazioni degli utenti che hai raccomandato.

Nota: Per gli articoli soggetti a diritti di esclusiva locale, le commissioni e le fatture ai clienti vengono elaborate tramite il distributore locale esclusivo. Le tariffe possono variare in base alle politiche del distributore. Per maggiori dettagli, visita biocoherence.net/distributors¹³.

Informazioni sul programma partner

Il nostro programma offre commissioni basate su abbonamento per vendite dirette e una varietà di modalità di acquisto. Puoi anche guadagnare incentivi aggiuntivi se recluti nuovi partner per il programma.

Commissioni per abbonamenti su vendite dirette

Quando condividi i tuoi codici di invito, guadagni commissioni per abbonamenti e altri acquisti effettuati da utenti che si registrano con il tuo codice. Il programma è progettato per premiarli sia te che i tuoi clienti, offrendo vantaggi e incentivi per nuovi utenti che si registrano con il tuo codice.

3. <https://biocoherence.net/distributors>

4. <https://biocoherence.net/s0/login>

5. <https://biocoherence.net/n119>

Acquisti aggiuntivi

Guadagna commissioni per acquisti come rapporti, test e hardware tramite la piattaforma BioCoherence. Questi premi ti permettono di beneficiare di ogni transazione effettuata dagli utenti che hai reclutato

Nota: Per articoli che rientrano sotto esclusività territoriale, le commissioni e le fatture dei clienti vengono gestite tramite il rivenditore esclusivo locale. Le tariffe possono variare a seconda delle politiche del rivenditore. Visita biocoherence.net/distributors¹⁴ per ulteriori informazioni

Gestisci i tuoi codici di invito

Nella tua pagina di gestione partner puoi creare più codici da distribuire attraverso diversi canali come social media, video e blog. In questo modo puoi monitorare le prestazioni dei singoli codici e ottimizzare i tuoi sforzi.

Benvenuto nel programma di affiliazione di BioCoherence! Siamo felici che tu ti unisca a noi per condividere i benefici della nostra tecnologia all'avanguardia con il tuo pubblico. Il nostro programma ti consente di guadagnare commissioni mentre aiuti gli altri a scoprire un approccio trasformativo alla salute e al benessere.

Come iniziare

1. Accedi al tuo account: Visita <https://biocoherence.net/s0.Login>¹⁵
2. Accedi alla tua pagina affiliato: Naviga fino a <https://biocoherence.net/n119>¹⁶ Questo è il tuo centro personale per gli affiliati.

Qui troverai tutti gli strumenti e le informazioni di cui hai bisogno, incluso come

- Creare e gestire i tuoi codici di invito.
- Monitorare le tue commissioni.
- Crescere la tua rete di affiliati.

Informazioni sul programma di affiliazione

Il nostro programma offre commissioni basate sull'abbonamento per vendite dirette e una varietà di tipi di acquisto. Puoi anche guadagnare incentivi aggiuntivi quando raccomandi nuovi affiliati al programma

Commissioni per abbonamento per vendite dirette

Quando condividi i tuoi codici di invito, guadagni commissioni sugli abbonamenti e su altri acquisti effettuati dagli utenti che si registrano con il tuo codice. Il programma è progettato per premiare sia te che i tuoi clienti, offrendo vantaggi e incentivi ai nuovi utenti che si registrano con il tuo codice

Acquisti aggiuntivi

Guadagna commissioni su acquisti come report, test e hardware attraverso la piattaforma BioCoherence. Queste ricompense ti consentono di beneficiare di ogni transazione effettuata dai tuoi utenti referiti

Nota: Per gli articoli coperti dall'esclusività territoriale, le commissioni e le fatture dei clienti verranno elaborate tramite il distributore esclusivo locale. Le tariffe possono variare in base alle politiche del distributore. Consulta biocoherence.net/distributors¹⁷ per ulteriori dettagli

Informazioni sul Programma Affiliati

Il nostro programma offre commissioni basate su abbonamenti per vendite dirette e una serie di tipologie di acquisto. Puoi anche guadagnare incentivi extra quando fai riferimento a nuovi affiliati per il programma.

Commissioni per Vendite Dirette su Abbonamenti

Quando condividi i tuoi codici di invito, guadagni commissioni sugli abbonamenti e su altri acquisti effettuati dagli utenti che si registrano con il tuo codice. Il programma è progettato per premiare sia te che i tuoi clienti, offrendo vantaggi e incentivi per i nuovi utenti che si uniscono con il tuo codice.

Acquisti Aggiuntivi

Guadagna commissioni su acquisti come rapporti, test e hardware attraverso la piattaforma BioCoherence. Queste ricompense ti consentono di beneficiare di ogni transazione effettuata dagli utenti che hai referito.

Nota: Per i beni coperti da esclusiva territoriale, le commissioni e le fatture dei clienti saranno elaborate tramite il distributore esclusivo locale. Le tariffe possono variare a seconda delle politiche del distributore. Controlla biocoherence.net/distributors¹⁸ per dettagli.

Informazioni sul Programma Affiliati

Il nostro programma offre commissioni basate su abbonamenti per vendite dirette e una varietà di tipologie di acquisto. Puoi anche guadagnare incentivi aggiuntivi quando presenti nuovi affiliati al programma.

Commissioni di Abbonamento per Vendite Dirette

Quando condividi i tuoi codici di invito, guadagni commissioni su abbonamenti e altri acquisti effettuati da utenti che si registrano con il tuo codice. Il programma è progettato per premiare sia te che i tuoi clienti, offrendo vantaggi e incentivi per i nuovi utenti che si uniscono con il tuo codice.

Acquisti Aggiuntivi

Guadagna commissioni su acquisti come rapporti, test e hardware tramite la piattaforma BioCoherence. Queste ricompense ti permettono di beneficiare di ogni transazione effettuata dagli utenti che hai presentato.

Nota: Per gli articoli coperti da esclusiva territoriale, le commissioni e le fatture dei clienti saranno elaborate tramite il distributore esclusivo locale. Le tariffe possono variare a seconda delle politiche del distributore. Controlla biocoherence.net/distributors¹⁹ per dettagli.

Gestisci i Tuoi Codici di Invito

Dalla tua pagina di gestione degli affiliati, puoi creare diversi codici da distribuire su canali diversi, come social media, video e blog. Questo ti consente di monitorare le prestazioni di ciascun codice e ottimizzare i tuoi sforzi.

6. <https://biocoherence.net/distributors>
 7. <https://biocoherence.net/s0.Login>
 8. <https://biocoherence.net/n119>
 9. <https://biocoherence.net/distributors>
 10. <https://biocoherence.net/s0.Login>
 11. <https://biocoherence.net/s0.Login>
 12. <https://biocoherence.net/n119>
 13. <https://biocoherence.net/distributors>
 14. <https://biocoherence.net/distributors>
 15. <https://biocoherence.net/s0.Login>
 16. <https://biocoherence.net/n119>

Benvenuto nel Programma Affiliati di BioCoherence! Siamo entusiasti di averti con noi per condividere i vantaggi della nostra tecnologia rivoluzionaria con il tuo pubblico. Il nostro programma ti consente di guadagnare commissioni mentre aiuti gli altri a scoprire un approccio trasformativo alla salute e al benessere.

Iniziare è Facile

1. Accedi al tuo account: Visita <https://biocoherence.net/s0.login>²⁰.
2. Accedi alla tua pagina affiliato: Naviga a <https://biocoherence.net/n119>²¹. Questo è il tuo hub personale per gli affiliati.

Qui troverai tutti gli strumenti e le informazioni di cui hai bisogno, incluso come:

- Creare e gestire i tuoi codici di invito.
- Monitorare le tue commissioni.
- Espandere la tua rete di affiliati.

Informazioni sul Programma Affiliati

Il nostro programma offre commissioni basate su abbonamenti per vendite dirette e una serie di diversi tipi di acquisti. Puoi anche guadagnare ulteriori incentivi quando presenti nuovi affiliati al programma.

Commissioni sugli Abbonamenti per Vendite Dirette

Quando condividi i tuoi codici di invito, guadagni commissioni sugli abbonamenti e su altri acquisti effettuati dagli utenti che si registrano con il tuo codice. Il programma è progettato per premiare sia te che i tuoi clienti, offrendo vantaggi e incentivi per i nuovi utenti che si iscrivono con il tuo codice.

Acquisti Aggiuntivi

Guadagna commissioni su acquisti come rapporti, test e hardware tramite la piattaforma BioCoherence. Queste ricompense ti consentono di beneficiare di ogni transazione effettuata dai tuoi utenti referenziati.

Nota: Per i beni coperti da esclusività territoriale, le commissioni e le fatture dei clienti verranno elaborate tramite il distributore esclusivo locale. I prezzi possono variare a seconda delle politiche del distributore. Controlla biocoherence.net/distributors²² per dettagli.

Come iniziare

1. Accedi al tuo account: Visita <https://biocoherence.net/s0.login>²³.
2. Vai alla tua pagina partner: Clicca sul link <https://biocoherence.net/n119>²⁴. Questo è il tuo centro partner personale.

Qui troverai tutti gli strumenti e le informazioni di cui hai bisogno, inclusi come:

- Creare e gestire i tuoi codici di invito.
- Monitorare le tue commissioni.
- Espandere la tua rete di partner.

Informazioni sul programma di partnership

Il nostro programma offre commissioni basate sugli abbonamenti per vendite dirette e vari tipi di acquisti. Puoi anche ricevere ricompense aggiuntive quando raccomandi nuovi partner al programma.

Commissioni per vendite dirette

Quando condividi i tuoi codici di invito, guadagni commissioni per abbonamenti e altri acquisti effettuati dagli utenti che si registrano con il tuo codice. Il programma è progettato per premiare sia te che i tuoi clienti, offrendo vantaggi e ricompense per i nuovi utenti che si uniscono con il tuo codice.

Acquisti aggiuntivi

Guadagna commissioni sugli acquisti, come rapporti, test e attrezzature tramite la piattaforma BioCoherence. Queste ricompense ti permettono di trarre vantaggio da ogni transazione effettuata dai tuoi utenti raccomandati.

Nota: Per i prodotti soggetti a esclusiva territoriale, le commissioni e i conti dei clienti saranno elaborati tramite il distributore esclusivo locale. Le tariffe possono variare a seconda della politica del distributore. Controlla biocoherence.net/distributors²⁵ per i dettagli.

Inizia

1. Accedi al tuo account: Visita <https://biocoherence.net/s0.login>²⁶.
2. Accesso alla tua pagina affiliato: Naviga a <https://biocoherence.net/n119>²⁷. Questo è il tuo hub personale per affiliati.

Qui troverai tutti gli strumenti e le informazioni di cui hai bisogno, incluso come:

- Creare e gestire i tuoi codici di invito.
- Monitorare le tue commissioni.
- Crescere la tua rete di affiliati.

Informazioni sul Programma Affiliato

Il nostro programma offre commissioni basate su abbonamento per vendite dirette e una varietà di tipi di acquisto. Puoi anche guadagnare ulteriori incentivi quando riferisci nuovi affiliati al programma.

Commissioni da Abbonamento per Vendite Dirette

Quando condividi i tuoi codici di invito, guadagni commissioni su abbonamenti e altri acquisti effettuati da utenti che si registrano con il tuo codice. Il programma è progettato per premiare sia te che i tuoi clienti, offrendo vantaggi e incentivi per i nuovi utenti che si uniscono con il tuo codice.

Inizio

1. Accedi al tuo account: visita <https://biocoherence.net/s0.login>²⁸.
2. Accedi alla tua pagina partner: vai a <https://biocoherence.net/n119>²⁹. Questo è il tuo centro partner personale.

Qui troverai tutti gli strumenti e le informazioni di cui hai bisogno, comprese le istruzioni su come:

- Creare e gestire i tuoi codici invito.
- Monitorare le tue commissioni.
- Crescere la tua rete di partner.

Informazioni sul Programma Partner

Il nostro programma offre commissioni basate su abbonamento per vendite dirette e una varietà di tipi di acquisto. Puoi anche guadagnare incentivi aggiuntivi quando riferisci nuovi partner al programma.

17. <https://biocoherence.net/distributors>

18. <https://biocoherence.net/distributors>

19. <https://biocoherence.net/distributors>

Commissioni di abbonamento per vendite dirette

Quando condividi i tuoi codici invito, guadagni commissioni sugli abbonamenti e su altri acquisti effettuati dagli utenti che si registrano utilizzando il tuo codice. Il programma è progettato per premiare sia te che i tuoi clienti, offrendo vantaggi e incentivi ai nuovi utenti che si uniscono utilizzando il tuo codice.

Operazioni aggiuntive

Guadagna commissioni su acquisti come report, test e dispositivi attraverso la piattaforma BioCoherence. Questi premi ti permettono di beneficiare di ogni transazione effettuata dai tuoi utenti referenziati.

Nota: Per gli articoli coperti da privacy regionale, le commissioni e le fatture dei clienti saranno gestite dal distributore esclusivo locale. I prezzi possono variare in base alle politiche del distributore. Controlla biocoherence.net/distributors³⁰ per i dettagli.

Gestione dei tuoi codici di invito

Dalla tua pagina di gestione dei partner, puoi creare più codici da distribuire attraverso diversi canali come i social media, i video e i blog. Questo ti consente di monitorare le prestazioni di ogni codice e migliorare i tuoi sforzi.

Benvenuto nel programma di affiliazione di BioCoherence! Siamo molto felici che tu possa unirti a noi e condividere i benefici della nostra tecnologia all'avanguardia con il tuo pubblico. Il nostro programma ti consente di guadagnare commissioni mentre aiuti gli altri a scoprire metodi trasformativi per la salute e il benessere.

Iniziare

1. Accedi al tuo account: visita <https://biocoherence.net/s0.login>³¹.
2. Visita la tua pagina affiliata: naviga su <https://biocoherence.net/n119>³². Questo è il tuo centro affiliato personale.

Qui troverai tutti gli strumenti e le informazioni necessarie, inclusi come:

- Creare e gestire i tuoi codici di invito.
- Monitorare le tue commissioni.
- Sviluppare la tua rete di affiliazione.

Informazioni sul programma di affiliazione

Il nostro programma offre commissioni basate su abbonamento, valide per vendite dirette e diversi tipi di acquisto. Quando consigli nuovi membri affiliati per unirsi al programma, puoi anche ricevere ricompense aggiuntive.

Commissioni di abbonamento per vendite dirette

Quando condividi il tuo codice di invito, guadagni commissioni sugli abbonamenti e altri acquisti effettuati dagli utenti che si registrano utilizzando il tuo codice. Questo programma è progettato per premiare te e i tuoi clienti, offrendo vantaggi e ricompense agli nuovi utenti che si uniscono utilizzando il tuo codice.

Acquisti aggiuntivi

Attraverso la piattaforma BioCoherence, puoi guadagnare commissioni su acquisti come report, test e hardware. Queste ricompense ti consentono di trarre profitto da ogni transazione degli utenti che raccomandi.

Nota: Per i prodotti in esclusiva regionale, le commissioni e le fatture dei clienti saranno gestite tramite il distributore locale in esclusiva. Le tariffe possono variare a seconda della politica del distributore. Si prega di controllare biocoherence.net/distributors³³ per ulteriori dettagli.

Gestisci il tuo codice di invito

Nella tua pagina di gestione affiliati, puoi creare più codici da distribuire attraverso diversi canali come social media, video e blog. Questo ti consente di monitorare le prestazioni di ciascun codice e ottimizzare i tuoi sforzi.

Benvenuto nel Programma Affiliazione di BioCoherence! Siamo entusiasti che tu ti unisca a noi per condividere i benefici della nostra tecnologia avanzata con il tuo pubblico. Il nostro programma ti consente di guadagnare commissioni mentre aiuti gli altri a scoprire un approccio trasformativo alla salute e al benessere.

Iniziamo

1. Accedi al tuo account: Visita <https://biocoherence.net/s0.login>³⁴.
2. Accedi alla tua pagina affiliata: Naviga a <https://biocoherence.net/n119>³⁵. Questa è la tua hub personale per gli affiliati.

Qui troverai tutti gli strumenti e le informazioni di cui hai bisogno, inclusi come:

- Creare e gestire i tuoi codici di invito.
- Monitorare le tue commissioni.
- Far crescere la tua rete di affiliazione.

Informazioni sul Programma Affiliazione

Il nostro programma offre commissioni basate sugli abbonamenti per vendite dirette e diversi tipi di acquisto. Puoi anche guadagnare incentivi extra quando riferisci nuovi affiliati al programma.

Commissioni per Vendite Dirette da Abbonamento

Quando condividi i tuoi codici di invito, guadagni commissioni sugli abbonamenti e su altri acquisti effettuati da utenti che si registrano con il tuo codice. Il programma è progettato per premiare sia te che i tuoi clienti, con vantaggi e incentivi per i nuovi utenti che si registrano con il tuo codice.

Acquisti Aggiuntivi

Guadagna commissioni su acquisti come rapporti, test e hardware tramite la piattaforma BioCoherence. Questi premi ti consentono di beneficiare di ogni transazione effettuata dai tuoi utenti referenti.

Nota: Per articoli che rientrano sotto esclusività territoriale, le commissioni e le fatture dei clienti vengono elaborate tramite il distributore esclusivo locale. Le tariffe possono variare a seconda delle politiche del distributore. Controlla biocoherence.net/distributors³⁶ per dettagli.

20. <https://biocoherence.net/s0.login>

21. <https://biocoherence.net/n119>

22. <https://biocoherence.net/distributors>

23. <https://biocoherence.net/s0.login>

24. <https://biocoherence.net/n119>

25. <https://biocoherence.net/distributors>

26. <https://biocoherence.net/s0.login>

27. <https://biocoherence.net/n119>

28. <https://biocoherence.net/s0.login>

29. <https://biocoherence.net/n119>

30. <https://biocoherence.net/distributors>

31. <https://biocoherence.net/s0.login>

Gestisci i Tuoi Codici di Invito

Dalla tua pagina di gestione affiliati puoi creare più codici da distribuire su diversi canali come social media, video e blog. Questo ti consente di monitorare le prestazioni di ogni codice e ottimizzare i tuoi sforzi.

BioCoherence è il tuo programma di affiliazione! Siamo felici di assisterti!

Installazione dell'app e primo avvio

- Su Windows, Mac o Linux: Scarica il file di installazione su biocoherence.net/install²⁷
- Su iPad, iPhone o Android: Segui le istruzioni su biocoherence.net/install²⁸; l'installazione dovrebbe essere a un solo clic dall'App Store.

Dopo l'installazione

Una volta completata l'installazione, potrebbero esserci ancora problemi.

1. Non riesci a trovare l'app? Si chiama "BioCoherence"; Su Mac, si trova in "Applicazioni". Su Windows e Linux, nel menu di avvio. Su iPad, iPhone e Android, è aggiunta alla tua Home Screen, e puoi trovarla anche con una ricerca.
2. L'app non si avvia? O il tuo computer o tablet sono troppo lenti, o ci sono incompatibilità.
3. Non puoi accedere? Se hai un account, clicca su "password dimenticata" nella schermata di accesso. Riceverai un link per reimpostare la tua password. Se non ce l'hai, puoi crearne uno all'interno dell'app.

BioCoherence può utilizzare i protocolli di frequenza di Spooky?

Sì, BioCoherence ha integrato molti dei protocolli di frequenza provenienti da varie fonti, comprese le tabelle basate su Rife utilizzate da Spooky e altri dispositivi. In futuro, BioCoherence mira a consentire ai dispositivi Spooky di fungere da emettitori, rendendo possibile esportare l'audio da BioCoherence e alimentarlo direttamente in Spooky. Abbiamo in programma di essere aperti a quanti più dispositivi possibile e di interfacciarci direttamente con essi quando sono disponibili. In ogni caso, l'esportazione audio dei programmi di frequenza consente alle frequenze di essere riprodotte su una vasta gamma di dispositivi.

Può forse "sostituire" una tecnologia che potrei attualmente utilizzare?

BioCoherence potrebbe potenzialmente sostituire o completare altri strumenti di biofeedback e analisi della salute a seconda delle tue esigenze specifiche. Potrebbe sostituire la maggior parte dei dispositivi, specialmente quelli basati su generatori di numeri casuali, ma potrebbe non sostituire completamente i dispositivi che hanno modalità d'azione provate diverse.

Come posso ottenere informazioni sui temi centrali di un cliente quando i risultati variano tra le scansioni?

Per ottenere informazioni sui temi centrali di un cliente, confrontare più scansioni può essere utile. Cerca schemi coerenti o problemi ricorrenti nelle scansioni per identificare temi centrali. Mederic ha menzionato che è importante cercare tendenze nelle scansioni per avere una comprensione più completa dei problemi centrali del cliente.

I risultati saranno generalmente molto coerenti tra le scansioni, con variazioni nei collegamenti e nell'energia relativa o nell'agitazione dei sistemi. Queste variazioni sono salutari e indicano un progresso.

Puoi effettivamente confrontare diverse scansioni affiancate nell'applicazione per vedere come si evolvono specifici biomarcatori, ad esempio prima e dopo l'applicazione di una terapia specifica.

Come possono i miei clienti accedere ai loro rapporti al di fuori dello studio del professionista? Come possono rivedere i loro rapporti e accedere alle meditazioni?

I clienti possono accedere ai loro rapporti e meditazioni tramite l'app. Ecco come i professionisti possono abilitare l'accesso ai clienti:

- Aggiungi il cliente come nuovo contatto nell'app:
 - Clicca sulle due frecce accanto alla tua foto profilo per accedere a "Contatti."
 - Crea un nuovo contatto, assicurandoti di includere l'indirizzo email del cliente.
- Esegui una scansione sotto il profilo del cliente.
- Condividi il rapporto:
 - Apri il rapporto completato e seleziona l'opzione "Condividi con...".
 - Invia un'email di invito al cliente, includendo un link per scaricare l'app insieme ai dettagli di accesso.

Una volta che il cliente accede, può rivedere il proprio rapporto e accedere alle meditazioni direttamente nell'app. Può anche eseguire test remoti per te (test locali per loro, con un Sensore) e riceverai i risultati nel tuo software.

Come possono i membri della mia famiglia o i miei clienti utilizzare le frequenze personalizzate generate per loro?

Per condividere le frequenze personalizzate con i membri della tua famiglia o i clienti, segui questi passaggi:

- Quando visualizzi il loro rapporto sulle frequenze nell'app BioCoherence, esporta il file audio della sessione di frequenza.
- Puoi quindi condividere il file audio con loro tramite messaggi, email o altri metodi di comunicazione.

Puoi anche invitare i tuoi clienti o membri della famiglia a installare l'app e condividere l'analisi con loro. Per questo, puoi creare un account cliente con la loro email.

In che modo BioCoherence è unico?

BioCoherence combina algoritmi matematici avanzati con la tecnologia ECG per fornire approfondimenti dettagliati sulla salute. Si distingue offrendo un'analisi multi-livello dei segnali elettrici del corpo e include un approccio energia/corpo/mente, molteplici visualizzazioni grafiche e collegamenti tra biomarker. Include anche meditazioni e frequenze adattate al biofeedback.

Come aggiornare l'app

Usa sempre l'ultima versione aggiornata, poiché il tuo problema potrebbe già essere stato risolto - o la tua idea, già implementata!

A seconda della piattaforma che stai utilizzando, l'aggiornamento viene eseguito in modo diverso:

Versione Beta

- Se stai utilizzando la versione Beta con TestFlight: dovresti ricevere una notifica con ogni aggiornamento. Avvia TestFlight e fai clic su "Aggiorna".
- Se hai installato la versione beta per Mac, Windows o Linux al di fuori di TestFlight: vai su biocoherence.net/beta³⁹, scarica l'installer per l'ultima versione e esegui l'installer. Tutti i tuoi dati saranno preservati.

Versione Pubblica

- Se hai installato la versione pubblica per Mac, Windows o Linux al di fuori di TestFlight: vai su biocoherence.net/install⁴⁰, scarica l'installer dell'ultima versione e esegui l'installer. Tutti i tuoi dati saranno preservati.
- Se stai utilizzando la versione pubblica dall'App Store o dal Play Store: apri l'App Store o il Play Store e aggiorna l'app dalla sua pagina.

32. <https://biocoherence.net/n119>

33. <https://biocoherence.net/distributors>

34. https://biocoherence.net/sb_login

35. <https://biocoherence.net/n119>

36. <https://biocoherence.net/distributors>

37. <https://biocoherence.net/install>

38. <https://biocoherence.net/install>

39. <https://biocoherence.net/beta>

Risoluzione dei problemi di connessione Bluetooth con BioCoherence

Se stai riscontrando problemi con la connessione Bluetooth in BioCoherence, segui questi passaggi di risoluzione dei problemi per garantire un'impostazione fluida:

Linee Guida Generali

- **Avvia Prima il Processo:**
 - Inizia lanciando una registrazione o un test nell'app BioCoherence. Molti problemi di connessione derivano dal tentativo di collegare il sensore troppo presto.
 - L'app è progettata per gestire automaticamente il processo di connessione una volta che avvii una registrazione o un test.
- **Evitare le Impostazioni di Sistema:**
 - Non tentare di connettere il sensore Bluetooth tramite le impostazioni di sistema del tuo dispositivo. Lascia che sia l'app a gestire questo processo per evitare interruzioni.
- **Assicurati che il Bluetooth sia Attivo:**
 - Windows: Attiva il Bluetooth tramite il pannello Impostazioni o la scorciatoia Bluetooth nella barra delle applicazioni in basso a destra.
 - Mac: Abilita il Bluetooth dalla barra dei menu in alto a destra. Assicurati che le autorizzazioni Bluetooth siano concesse a BioCoherence nelle Impostazioni di Sistema.
 - iOS/Android: Attiva il Bluetooth dal menu delle impostazioni del dispositivo, di solito situato vicino alle opzioni Wi-Fi.
- **Inumidire i Pollici:**
 - **Importante:** Assicurati che i tuoi pollici siano adeguatamente inumiditi con acqua o gel conduttivo. Questo migliora la connessione e garantisce letture accurate del sensore.

Risoluzione dei problemi passo dopo passo

1. **Attiva il Bluetooth:**
 - Se sei bloccato in questo passaggio, verifica che:
 - Il tuo dispositivo ha un chip Bluetooth attivo.
 - Il Bluetooth è attivato e funzionante.
2. **Accendi il Sensore:**
 - Il sensore si accende automaticamente quando viene rimosso dalla sua base. Posiziona i tuoi pollici inumiditi sul sensore. Di solito si connette entro 1-2 secondi. Se non si connette:
 - Fai clic su *Rilancia Bluetooth* nell'app.
 - Rimuovi i tuoi pollici e prova a riposizionarli sul sensore.
3. **Stato di Connessione:**
 - L'app fornisce indicazioni passo dopo passo sul pannello Bluetooth:
 - **Attiva Bluetooth:** Assicurati che il Bluetooth sia attivato.
 - **Accendi il Sensore:** L'app è pronta per la connessione del sensore.
 - **Sensore Connesso:** Il sensore è collegato con successo e pronto.
 - **Dati Preliminari Scambiati:** L'app ha ricevuto dati iniziali, come lo stato della batteria e il numero di serie.
 - **Dati Attivi:** I dati ECG sono in fase di ricezione e la registrazione o il test inizia.
4. **Gestisci Connessioni a Più Dispositivi:**
 - Se il sensore è stato precedentemente accoppiato con più dispositivi, disattiva il Bluetooth sui dispositivi non utilizzati per prevenire interferenze.

Note Aggiuntive

- **Autorizzazione al Primo Accesso:**
 - Quando avvii l'app per la prima volta, concedi i permessi Bluetooth quando richiesto. Se per errore neghi questi permessi:
 - Modificali nelle preferenze di sistema.
 - In alternativa, disinstalla e reinstalla l'app per ripristinare i permessi.
- **Disconnessione del Sensore:**
 - Se il sensore si disconnette durante l'uso, verifica:
 - Il livello della batteria.
 - Che i pollici siano correttamente posizionati sul sensore.

Seguendo questi passaggi e assicurandoti che i tuoi pollici siano adeguatamente umidi, puoi risolvere la maggior parte dei problemi di connettività Bluetooth e godere di un'esperienza fluida con BioCoherence. Se i problemi persistono, considera di contattare il supporto per ulteriore assistenza.

Quali sono i prezzi di BioCoherence?

BioCoherence offre un massimo di flessibilità nei prezzi. Puoi iniziare gratuitamente e poi scegliere il piano che meglio si adatta a te. Tutti i nostri piani sono spiegati in dettaglio su biocoherence.net/price⁴¹

Piano gratuito

Il piano gratuito ti consente di effettuare registrazioni illimitate e connetterti con un professionista, e ricevere una meditazione personalizzata. Per la scansione, puoi aprire alcune pagine di informazioni generali ma la maggior parte delle pagine sono sfocate; puoi acquistare un rapporto per sbloccarlo. Puoi effettuare registrazioni con un Apple Watch o con il nostro Sensore. Puoi anche accedere al catalogo dei test e scegliere di pagare per qualsiasi test tu voglia.

Per utilizzare il piano gratuito, devi solo [installare l'app](#)⁴² e creare un account gratuito.

Se desideri andare oltre, ecco i nostri piani a pagamento:

Piani a pagamento, per uso personale

Si prega di controllare i prezzi sul nostro sito web. I prezzi sono mensili (senza impegno) fino a una licenza a vita completa, tutti gli aggiornamenti inclusi per sempre. Abbiamo anche piani annuali con sconti.

- **Me Play** consente riproduzioni illimitate di frequenze e meditazioni.
- **Me Essential** consente scansioni illimitate e bilanciamenti (meditazioni e frequenze) per un massimo di 2 account, e ti dà accesso a schermi essenziali del rapporto e test gratuiti. Puoi acquistare rapporti completi e test a pagamento a tuo piacimento.
- **Me Custom** consente 3 schermi sempre sbloccati a tua scelta.
- **Me Plus** ti offre schermi di scansione completi illimitati per un massimo di 6 persone, risorse e priorità modificabili, e bilanciamento personalizzato.

Piani a pagamento per uso professionale

- **Pro Essential** consente scansioni illimitate (localmente o a distanza) e bilanciamenti per un numero illimitato di clienti, e ti dà accesso a schermi essenziali del rapporto e creazione di test base. Puoi acquistare rapporti completi e test a pagamento a tuo piacimento.
- **Pro Custom** consente 3 schermi sempre sbloccati a tua scelta.
- **Pro Plus** ti offre scansioni complete illimitate (localmente o a distanza), e tutti gli schermi per un numero illimitato di clienti, risorse e priorità modificabili, bilanciamento personalizzato, e creazione di test completi, inclusa la monetizzazione.
- **Med** si concentra esclusivamente sui biomarcatori validati medicalmente in un ECG.

Per ulteriori dettagli sui piani, vai su biocoherence.net/price⁴³

Cosa fa meglio BioCoherence?

Il software BioCoherence si distingue per fornire un'analisi completa dell'attività elettrica e magnetica del corpo, offrendo intuizioni su vari biomarcatori e sullo stato di salute generale. Sottolineando risorse, priorità e collegamenti tra gli organi, presenta dati complessi provenienti da vari campi in modo semplice e grafico per l'uso quotidiano da parte dei terapeuti. Fa esclusivo uso di operazioni matematiche avanzate per analisi multi-livello, estraendo dati significativi direttamente dal sensore elettrico del corpo (elettrocardiogramma). Basandosi su queste risorse e priorità identificate, può quindi proporre meditazioni guidate personalizzate e protocolli di riequilibrio.

Cosa NON è progettato per fare BioCoherence?

BioCoherence non è destinato a diagnosticare condizioni mediche specifiche o a sostituire il parere medico tradizionale. Sebbene alcuni biomarcatori provengano da ricerche mediche accademiche ufficiali, il suo scopo principale è fornire strumenti per una rapida comprensione e identificazione delle cause profonde. Supporta l'auto-

40. <https://biocoherence.net/install>
41. <https://biocoherence.net/price>

aiuto per gli utenti domestici e li collega a terapisti avanzati quando necessario.

Qual è il modo migliore per garantire che il processo di scansione sia completo, considerando che l'analisi dovrebbe richiedere almeno 130 secondi?

L'analisi deve effettivamente durare almeno circa 130 secondi per risultati accurati (ha bisogno di almeno 128 battiti cardiaci validi). Ci sono barre di progresso in fondo alla scansione che mostrano la durata necessaria per ciascun tipo di analisi. Si prega di assicurarsi che la scansione venga eseguita per l'intera durata, anche se sembra completa quando le barre sono riempite di verde. Garantire il completamento dell'intera durata della scansione è fondamentale per l'accuratezza dei risultati.

Qualità hanno i file generati?

L'attenzione è rivolta allo sviluppo di una generazione di suono di alta qualità all'interno dell'app, incluso un sintetizzatore e sequencer in tempo reale full-featured. Questi strumenti sono già disponibili nell'app per rumori, frequenze e meditazioni guidate registrate. I parametri generati sono in continua evoluzione. La musica supporta la sintonizzazione per meditazioni e sessioni di gruppo simultanee.

Quali risultati sono stati misurati o riportati?

Mentre è ancora in beta, BioCoherence ha ricevuto feedback molto positivi dai test iniziali che ne convalidano l'efficacia. Stiamo raccogliendo feedback diversi per convalidare ulteriormente e ampliare il suo utilizzo. Le testimonianze dei clienti e studi di caso specifici saranno disponibili man mano che vengono raccolti ulteriori dati.

BioCoherence include un modo per raccogliere dati anonimi (con consenso) per convalidare scientificamente tutti i biomarcatori e i modi di bilanciamento. Questi dati serviranno come base per pubblicare articoli scientifici con accesso ai dati grezzi e anonimi su richiesta di istituzioni rispettabili.

Un uso di base potrebbe essere la registrazione delle informazioni di salute del paziente e la generazione di report semplici. Un uso avanzato potrebbe includere l'analisi dei dati clinici complessi e la creazione di modelli predittivi per migliorare le decisioni terapeutiche.

Utilizzo di base: Me Play (scansione automatica o test, e meditazioni automatiche migliorate con biofeedback personalizzato). Utilizzo avanzato: Pro (40 pagine grafiche, collegamenti, risorse e identificazione e modifica delle priorità, e la directory Pro per connessioni utente-terapeuta). Le funzionalità future includeranno anche scansioni comparative e meditazioni simultanee per più utenti.

Perché il mio sensore continua a lampeggiare di blu o verde dopo aver completato la scansione?

Devi riporre il sensore nella custodia del sensore, il che lo spegnerà automaticamente. Abbiamo progettato il sensore per essere molto semplice da usare, quindi non devi nemmeno preoccuparti di accenderlo e spegnerlo—lo fa automaticamente. Potresti notare che continua a lampeggiare di verde o blu per un paio di secondi, o forse fino a 1 minuto dopo aver completato la scansione, ma poi si spegnerà e attenderà l'inizio della prossima scansione.

Perché il Bluetooth a volte non riesce a connettersi durante una scansione?

Se stai riscontrando problemi con la connettività Bluetooth durante una scansione, potrebbe essere perché lo scanner BioCoherence è stato accoppiato con più dispositivi. Quando ciò accade, lo scanner potrebbe tentare di connettersi a un dispositivo che non è attualmente in uso. Per risolvere questo problema, assicurati che il Bluetooth sia completamente disattivato su qualsiasi altro dispositivo che è stato precedentemente connesso allo scanner BioCoherence. Facendo così, lo scanner si collegherà senza problemi al dispositivo corretto, consentendo alla tua scansione di procedere senza interruzioni. Per evitare problemi, è molto importante avviare prima il processo di connessione bluetooth nell'app avviando una nuova registrazione o un test, e POI prendere il sensore. Mettendo i pollici sul sensore, si attiverà e si conatterà automaticamente all'app che è già in modalità di ricerca a questo punto.

Quale tipo di account posso utilizzare per rilevare i parassiti?

Questa funzionalità è riservata solo agli utenti professionali. Le informazioni devono essere interpretate da un professionista e miriamo a garantire che vengano utilizzate in modo accurato e responsabile. Rimane entro i limiti di una valutazione energetica e non di un'osservazione diretta della presenza di un parassita.

Addendum 2.

Elenco degli studi correlati

Puoi accedere a tutti i collegamenti su biocoherence.net/studieslist

Agopuntura, meridiani

H. M. Langevin and J. A. Yandow, *Anat. Rec. (New Anat.)* 269, 257 (2002). [DOI¹](#), [Crossref²](#)

Banes AJ, Tsuzaki M, Yamamoto J, et al. 1995. Mechanoreception at the cellular level: The detection, interpretation and diversity of responses to mechanical signals. *Biochem Cell Biol* 73:349–365. [Crossref³](#) [PubMed⁴](#) [Web of Science⁵](#)

Bonassar LJ, Stinn JL, Paguio CG, et al. 1996. Activation and inhibition of endogenous matrix metalloproteinases in articular cartilage: Effects on composition and biophysical properties. *Arch Biochem Biophys* 333: 359–367. [Crossref⁶](#) [PubMed⁷](#) [Web of Science⁸](#)

Murugan NJ, Cariba S, Abeygunawardena S, Rouleau N, Payne SL. Biophysical control of plasticity and patterning in regeneration and cancer. *Cell Mol Life Sci.* 2023 Dec 15;81(1):9. doi: 10.1007/s00018-023-05054-6. PMID: 38099951; PMCID: PMC10724343. [DOI⁹](#)

Brand RA. 1997. What do tissues and cells know of mechanics? *Ann Med* 29: 267–269. [Crossref¹⁰](#) [PubMed¹¹](#) [Web of Science¹²](#)

Bossy J. 1984. Morphological data concerning the acupuncture points and channel network. *Acupunct Electrother Res* 9: 79–106. [PubMed¹³](#) [Web of Science¹⁴](#)

Cheng X. 1987. Chinese acupuncture and moxibustion. Beijing: Foreign Language Press.

Chicurel ME, Chen CS, Ingber DE. 1998. Cellular control lies in the balance of forces. *Curr Opin Cell Biol* 10: 232–239. [Crossref¹⁵](#) [PubMed¹⁶](#) [Web of Science¹⁷](#)

Chiquet M. 1999. Regulation of extracellular matrix gene expression by mechanical stress. *Matrix Biol* 18: 417–426. [PubMed¹⁸](#) [Web of Science¹⁹](#)

Ciczek LSW, Szopinski J, Skrzypulec V. 1985. Investigations of morphological structures of acupuncture points and meridians. *J Trad Chin Med* 5: 289–292.

Comunetti A, Laage S, Schiessl N, Kistler A. 1995. Characterization of human skin conductance at acupuncture points. *Experientia* 51: 328–331. [Crossref²⁰](#) [PubMed²¹](#) [Web of Science²²](#)

Dung HC. 1984. Anatomical features contributing to the formation of acupuncture points. *Am J Acupunct* 12: 139–143. [Web of Science²³](#)

1. <https://doi.org/10.1002/ar.10185>
2. https://aip.scitation.org/servet/linkout?suffix=c26/c26_1&dbid=16&doi=10.1063/1.4991499&key=10.1002/ar.10185
3. <https://onlinelibrary.wiley.com/servet/linkout?suffix=null&dbid=16&doi=10.1002/ar.10185&key=10.1139/o93-043>
4. <https://onlinelibrary.wiley.com/servet/linkout?suffix=null&dbid=8&doi=10.1002/ar.10185&key=8703408>
5. <https://onlinelibrary.wiley.com/servet/linkout?suffix=null&dbid=128&doi=10.1002/ar.10185&key=A1995T760300006>
6. <https://onlinelibrary.wiley.com/servet/linkout?suffix=null&dbid=16&doi=10.1002/ar.10185&key=10.1006/abbi.1996.0402>
7. <https://onlinelibrary.wiley.com/servet/linkout?suffix=null&dbid=8&doi=10.1002/ar.10185&key=8809074>
8. <https://onlinelibrary.wiley.com/servet/linkout?suffix=null&dbid=128&doi=10.1002/ar.10185&key=A1996VJ77600006>
9. <https://doi.org/10.1007/90018-023-05054-6>
10. <https://onlinelibrary.wiley.com/servet/linkout?suffix=null&dbid=16&doi=10.1002/ar.10185&key=10.3109/07853899708999346>
11. <https://onlinelibrary.wiley.com/servet/linkout?suffix=null&dbid=8&doi=10.1002/ar.10185&key=9375981>
12. <https://onlinelibrary.wiley.com/servet/linkout?suffix=null&dbid=128&doi=10.1002/ar.10185&key=A1997XZ10400003>
13. <https://onlinelibrary.wiley.com/servet/linkout?suffix=null&dbid=8&doi=10.1002/ar.10185&key=6148847>
14. <https://onlinelibrary.wiley.com/servet/linkout?suffix=null&dbid=128&doi=10.1002/ar.10185&key=A1984TF83000001>
15. [https://onlinelibrary.wiley.com/servet/linkout?suffix=null&dbid=16&doi=10.1002/ar.10185&key=10.1016/S0955-0674\(98\)80145-2](https://onlinelibrary.wiley.com/servet/linkout?suffix=null&dbid=16&doi=10.1002/ar.10185&key=10.1016/S0955-0674(98)80145-2)
16. <https://onlinelibrary.wiley.com/servet/linkout?suffix=null&dbid=8&doi=10.1002/ar.10185&key=9561847>
17. <https://onlinelibrary.wiley.com/servet/linkout?suffix=null&dbid=128&doi=10.1002/ar.10185&key=000073043200010>
18. <https://onlinelibrary.wiley.com/servet/linkout?suffix=null&dbid=8&doi=10.1002/ar.10185&key=10601729>
19. <https://onlinelibrary.wiley.com/servet/linkout?suffix=null&dbid=128&doi=10.1002/ar.10185&key=000084085600001>
20. <https://onlinelibrary.wiley.com/servet/linkout?suffix=null&dbid=16&doi=10.1002/ar.10185&key=10.1007/BF01928885>
21. <https://onlinelibrary.wiley.com/servet/linkout?suffix=null&dbid=8&doi=10.1002/ar.10185&key=7729497>
22. <https://onlinelibrary.wiley.com/servet/linkout?suffix=null&dbid=128&doi=10.1002/ar.10185&key=A1995QU26800004>

Giancotti FG, Ruoslahti E. 1999. Integrin signaling. *Science* 285: 1028–1032. [Crossref²⁴](#) [PubMed²⁵](#) [Web of Science²⁶](#)

Gunn CC, Ditchburn FG, King MH, Renwick GJ. 1976. Acupuncture loci: A proposal for their classification according to their relationship to known neural structures. *Am J Chin Med* 4: 183–195. [Crossref²⁷](#) [PubMed²⁸](#)

Ho MW, Knight DP. 1998. The acupuncture system and the liquid crystalline collagen fibers of the connective tissues. *Am J Chin Med* 26: 251–263. [Crossref²⁹](#) [PubMed³⁰](#) [Web of Science³¹](#)

Huan ZY, Rose K. 2001. A brief history of Qi. Brookline, MA: Paradigm Publications.

Kaptschuk TJ. 2000. The web that has no weaver. Understanding Chinese medicine. Chicago: Contemporary Publishing Group, Inc.

Lai WM, Mow VC, Sun DD, Atesian GA. 2000. On the electric potentials inside a charged soft hydrated biological tissue: Streaming potential versus diffusion potential. *J Biomech Eng* 122: 336–346. [Crossref³²](#) [PubMed³³](#) [Web of Science³⁴](#)

Langevin HM, Churchill DL, Cipolla MJ. 2001a. Mechanical signaling through connective tissue: A mechanism for the therapeutic effect of acupuncture. *FASEB J* 15: 2275–2282. [Wiley Online Library³⁵](#) [PubMed³⁶](#) [Web of Science³⁷](#)

Langevin HM, Churchill DL, Fox JR, Badger GJ, Garra BS, Krag MH. 2001b. Biomechanical response to acupuncture needling in humans. *J Appl Physiol* 91: 2471–2478. [Crossref³⁸](#) [PubMed³⁹](#) [Web of Science⁴⁰](#)

Langevin HM, Churchill DL, Wu J, Badger GJ, Yandow JA, Fox JR, Krag MH. 2002. Evidence of connective tissue involvement in acupuncture. *FASEB J* 16: 872–874. [Wiley Online Library⁴¹](#) [PubMed⁴²](#) [Web of Science⁴³](#)

Liu KY, Varela M, Oswald R. 1975. The correspondence between some motor points and acupuncture loci. *Am J Chin Med* 3: 347–358. [Crossref⁴⁴](#) [PubMed⁴⁵](#)

Matsumoto K, Birch S. 1988. Hara diagnosis: Reflections of the sea. Brookline: Paradigm Publications.

McCarroll GD, Rowley BA. 1979. An investigation of the existence of electrically located acupuncture points. *IEEE Trans Biomed Eng* 26: 177–182. [Crossref⁴⁶](#) [PubMed⁴⁷](#) [Web of Science⁴⁸](#)

23. <https://onlinelibrary.wiley.com/servet/linkout?suffix=null&dbid=128&doi=10.1002/ar.10185&key=A1984SS05900005>
24. <https://onlinelibrary.wiley.com/servet/linkout?suffix=null&dbid=16&doi=10.1002/ar.10185&key=10.1126/science.285.5430.1028>
25. <https://onlinelibrary.wiley.com/servet/linkout?suffix=null&dbid=8&doi=10.1002/ar.10185&key=10446041>
26. <https://onlinelibrary.wiley.com/servet/linkout?suffix=null&dbid=128&doi=10.1002/ar.10185&key=000082033100034>
27. <https://onlinelibrary.wiley.com/servet/linkout?suffix=null&dbid=16&doi=10.1002/ar.10185&key=10.1142/S0192415X76000238>
28. <https://onlinelibrary.wiley.com/servet/linkout?suffix=null&dbid=8&doi=10.1002/ar.10185&key=937240>
29. <https://onlinelibrary.wiley.com/servet/linkout?suffix=null&dbid=16&doi=10.1002/ar.10185&key=10.1142/S0192415X98000294>
30. <https://onlinelibrary.wiley.com/servet/linkout?suffix=null&dbid=8&doi=10.1002/ar.10185&key=9862013>
31. <https://onlinelibrary.wiley.com/servet/linkout?suffix=null&dbid=128&doi=10.1002/ar.10185&key=000077302300001>
32. <https://onlinelibrary.wiley.com/servet/linkout?suffix=null&dbid=16&doi=10.1002/ar.10185&key=10.1115/1.1286316>
33. <https://onlinelibrary.wiley.com/servet/linkout?suffix=null&dbid=8&doi=10.1002/ar.10185&key=11036556>
34. <https://onlinelibrary.wiley.com/servet/linkout?suffix=null&dbid=128&doi=10.1002/ar.10185&key=00016711100006>
35. <https://onlinelibrary.wiley.com/doi/10.1096/fj.01-0015hyp>
36. <https://onlinelibrary.wiley.com/servet/linkout?suffix=null&dbid=8&doi=10.1002/ar.10185&key=11641255>
37. <https://onlinelibrary.wiley.com/servet/linkout?suffix=null&dbid=128&doi=10.1002/ar.10185&key=000171920400040>
38. <https://onlinelibrary.wiley.com/servet/linkout?suffix=null&dbid=16&doi=10.1002/ar.10185&key=10.1152/jappl.2001.91.6.2471>
39. <https://onlinelibrary.wiley.com/servet/linkout?suffix=null&dbid=8&doi=10.1002/ar.10185&key=11717207>
40. <https://onlinelibrary.wiley.com/servet/linkout?suffix=null&dbid=128&doi=10.1002/ar.10185&key=000172484200008>
41. <https://onlinelibrary.wiley.com/doi/10.1096/fj.01-0925fje>
42. <https://onlinelibrary.wiley.com/servet/linkout?suffix=null&dbid=8&doi=10.1002/ar.10185&key=11967233>
43. <https://onlinelibrary.wiley.com/servet/linkout?suffix=null&dbid=128&doi=10.1002/ar.10185&key=000175425900017>
44. <https://onlinelibrary.wiley.com/servet/linkout?suffix=null&dbid=16&doi=10.1002/ar.10185&key=10.1142/S0192415X75000426>
45. <https://onlinelibrary.wiley.com/servet/linkout?suffix=null&dbid=8&doi=10.1002/ar.10185&key=1202933>
46. <https://onlinelibrary.wiley.com/servet/linkout?suffix=null&dbid=16&doi=10.1002/ar.10185&key=10.1109/>

- of Science⁴⁸
- Noordegraaf A, Silage D. 1973. Electroacupuncture. *IEEE Trans Biomed Eng* 20: 364–366. [Crossref⁴⁹](#) [PubMed⁵⁰](#) [Web of Science⁵¹](#)
- NIH Consensus Statement. 1997. Acupuncture. Bethesda, MD: NIH. 15: 1–34.
- O'Connor J, Bensky D. 1981. Acupuncture, a comprehensive text (Shanghai College of Traditional Medicine) Seattle: Eastland Press.
- Oschman JL. 1993. A biophysical basis for acupuncture. Proceedings of the First Symposium of the Committee for Acupuncture Research.
- Pomeranz B. 2001. Acupuncture analgesia—basic research. In: G Stux, R Hammerschlag, editors. *Clinical acupuncture—scientific basis*. Berlin: Springer-Verlag.
- Rabichong P, Niboyet JEH, Terral C, Senelar R, Casez R. 1975. Bases experimentales de l'analgésie acupunctureale. *Nouv Presse Med* 4: 2021–2026. [PubMed⁵²](#) [Web of Science⁵³](#)
- Reishmanis M, Marino AA, Becker RO. 1975. Electrical correlates of acupuncture points. *IEEE Trans Biomed Eng* 22: 533–535. [Crossref⁵⁴](#) [PubMed⁵⁵](#) [Web of Science⁵⁶](#)
- Senelar R. 1979. Les caractéristiques morphologiques des points chinois. In: JEH Niboyet, editor. *Nouveau traité d'acupuncture*. Paris: Maisonneuve.
- Shanghai Medical University, Human Anatomy Department. 1973. A relationship between points of meridians and peripheral nerves: Acupuncture anaesthetic theory study. Shanghai: People's Republic Publishing House.
- Swartz MA, Tschumperlin DJ, Kamm RD, Drazen JM. 2001. Mechanical stress is communicated between different cell types to elicit matrix remodeling. *Proc Natl Acad Sci USA* 98: 6180–6185. [Crossref⁵⁷](#) [PubMed⁵⁸](#) [Web of Science⁵⁹](#)
- Ulett GA, Han S, Han JS. 1998. Electroacupuncture: mechanisms and clinical applications. *Biol Psych* 44: 129–138. [PubMed⁶⁰](#) [Web of Science⁶¹](#)
- Veith I. 1949. The yellow emperor's classic of internal medicine. Berkeley: University of California Press.
- Yang J. 1601. The golden needle and other odes of traditional acupuncture, 1601. Translated by R Bertschinger. Edinburgh: Churchill Livingstone.
- Quyen Manh Nguyen, Tuan Hoang Nguyen, Lam Van Tran, Tin Thanh Dang, Anh Dinh. Device to Detect Acupuncture Points in the Feet Soles for Massage Treatment. 8th International Conference on the Development of Biomedical Engineering in Vietnam, 10.1007/978-3-030-75506-5_1, (3-13), (2022). [Crossref⁶²](#)
- Yung-Sheng Yen, Han-Yi Cheng, Hung-Ta Lin, Evaluation of Stress on Acupuncture with Nano-Etched and Diamond-Like Carbon (DLC) Coating Surface Modifications, *Journal of Biomaterials and Tissue Engineering*, 10.1166/jbt.2022.2928, 12, 3, (489-493), (2022). [Crossref⁶³](#)
- Gregory P. Casey, Anatomical characterization of acupoint large intestine 4, *The Anatomical Record*, 10.1002/ar.24681, 305, 1, (144-155), (2021). [Wiley Online Library⁶⁴](#)
- Ajit B. Pai, Lori V. Shuart, David F. Drake, Integrative Medicine in Rehabilitation, *Braddom's Physical Medicine and Rehabilitation*, 10.1016/B978-0-323-62539-5.00018-7, (364-373.e3), (2021). [Crossref⁶⁵](#)
- Tongju Li, Bruce Qing Tang, Wei-Bo Zhang, Minyi Zhao, Qingchuan Hu, Andrew Ahn, In Vivo Visualization of the Pericardium Meridian with Fluorescent Dyes, Evidence-Based Complementary and Alternative Medicine, 10.1155/2021/5581227, 2021, (1-10), (2021). [Crossref⁶⁶](#)
- Chao Sun, Changchun Ji, Ying Li, Jiujie Kuang, Jiangtao Wu, A comparison study of photothermal effect between moxibustion therapy and laser irradiation on biological tissue, *International Journal of Thermal Sciences*, 10.1016/j.ijthermalsci.2021.106924, 164, (106924), (2021). [Crossref⁶⁷](#)
- Nikolay Dimitrov, Nikola Tomov, Dimitrinka Atanasova, Stiliyan Hliev, Tatyana Tomova, Dimitar Sivrev, Zoya Goranova, Visible Meridian Phenomena after TBME.1979.326392
47. <https://onlinelibrary.wiley.com/serve/linkout?suffix=null&dbid=8&doi=10.1002/ar.10185&key=521032>
48. <https://onlinelibrary.wiley.com/serve/linkout?suffix=null&dbid=128&doi=10.1002/ar.10185&key=A1979GN78800013>
49. <https://onlinelibrary.wiley.com/serve/linkout?suffix=null&dbid=16&doi=10.1002/ar.10185&key=10.1109/TBME.1973.324289>
50. <https://onlinelibrary.wiley.com/serve/linkout?suffix=null&dbid=8&doi=10.1002/ar.10185&key=4727423>
51. <https://onlinelibrary.wiley.com/serve/linkout?suffix=null&dbid=128&doi=10.1002/ar.10185&key=A1973Q497200007>
52. <https://onlinelibrary.wiley.com/serve/linkout?suffix=null&dbid=8&doi=10.1002/ar.10185&key=1178444>
53. <https://onlinelibrary.wiley.com/serve/linkout?suffix=null&dbid=128&doi=10.1002/ar.10185&key=A1975AP43900003>
54. <https://onlinelibrary.wiley.com/serve/linkout?suffix=null&dbid=16&doi=10.1002/ar.10185&key=10.1109/TBME.1975.324477>
55. <https://onlinelibrary.wiley.com/serve/linkout?suffix=null&dbid=8&doi=10.1002/ar.10185&key=1184029>
56. <https://onlinelibrary.wiley.com/serve/linkout?suffix=null&dbid=128&doi=10.1002/ar.10185&key=A1975402000013>
57. <https://onlinelibrary.wiley.com/serve/linkout?suffix=null&dbid=16&doi=10.1002/ar.10185&key=10.1073/pnas.111133298>
58. <https://onlinelibrary.wiley.com/serve/linkout?suffix=null&dbid=8&doi=10.1002/ar.10185&key=11353845>
59. <https://onlinelibrary.wiley.com/serve/linkout?suffix=null&dbid=128&doi=10.1002/ar.10185&key=000168883700045>
60. <https://onlinelibrary.wiley.com/serve/linkout?suffix=null&dbid=8&doi=10.1002/ar.10185&key=9646895>
61. <https://onlinelibrary.wiley.com/serve/linkout?suffix=null&dbid=128&doi=10.1002/ar.10185&key=000074292400008>
62. https://doi.org/10.1007/978-3-030-75506-5_1
63. <https://doi.org/10.1166/jbt.2022.2928>
64. <https://onlinelibrary.wiley.com/doi/10.1002/ar.24681>
65. <https://doi.org/10.1016/B978-0-323-62539-5.00018-7>
66. <https://doi.org/10.1155/2021/5581227>
67. <https://doi.org/10.1016/j.ijthermalsci.2021.106924>
- Acupuncture: A Series of Case Reports, *Journal of Acupuncture and Meridian Studies*, 10.51507/j.jams.2021.14.2.50, 14, 2, (50-57), (2021). [Crossref⁶⁸](#)
- Nasim Bahadorani, Jerry W. Lee, Leslie R. Martin, Implications of Tamarkoz on stress, emotion, spirituality and heart rate, *Scientific Reports*, 10.1038/s41598-021-93470-8, 11, 1, (2021). [Crossref⁶⁹](#)
- Maojun Li, Huawen Peng, Binxiu Wei, Qiuxia Deng, Fen Qian, Xin Liu, Jian Wang, Xiaodong Zhu, Effect of acupuncture anesthesia based on nanomaterial sensor on cognitive function after one-lung ventilation thoracotomy, *Materials Express*, 10.1166/mex.2021.2027, 11, 7, (1051-1056), (2021). [Crossref⁷⁰](#)
- Jaliya Kumaratilake, Teghan Lucas, Maciej Henneberg, Possible relationship of upper limb arteries, median and brachial to the twelfth meridian of the human upper limb, *Journal of Anatomy*, 10.1111/joa.13401, 238, 6, (1492-1493), (2021). [Wiley Online Library⁷¹](#)
- Yong Ming Li, Three hand yin meridians in ancient Chinese medicine were established initially based on arterial structures, *Journal of Anatomy*, 10.1111/joa.13400, 238, 6, (1494-1496), (2021). [Wiley Online Library⁷²](#)
- Yi Zhang, Interpretation of acupoint location in traditional Chinese medicine teaching: Implications for acupuncture in research and clinical practice, *The Anatomical Record*, 10.1002/ar.24618, 304, 11, (2372-2380), (2021). [Wiley Online Library⁷³](#)
- Sanghun Lee, Prospects for the Development of Acupuncture Treatment Led by the Use of Ultrasound Imaging Devices, *Journal of Korean Medical Society of Soft Tissue*, 10.54461/JKMST.2021.5.1.8, 5, 1, (8-11), (2021). [Crossref⁷⁴](#)
- Xiao Ye, Yu-lan Ren, Yun-hui Chen, Ji Chen, Xiao-jiao Tang, Zong-ming Zhang, A “4D” systemic view on meridian essence: Substantial, functional, chronological and cultural attributes, *Journal of Integrative Medicine*, 10.1016/j.joim.2021.11.006, (2021). [Crossref⁷⁵](#)
- Berna Dincer, Demet İnangil, Gökhan İnangil, Nefise Bahçecik, Elif Yıldırım Ayaz, Ali Arslanoğlu, Meraç Vural Keskinler, Ayşe Kabuk, Gamze Özkan, The effect of acupuncture on sleep quality of older people: A systematic review and meta-analysis of randomized controlled trials, *EXPLORE*, 10.1016/j.explore.2021.11.010, (2021). [Crossref⁷⁶](#)
- Marianna de Melo Salemi, Vanessa Maria da Silva Alves Gomes, Laylla Marjorye Rebouças Bezerra, Thania Maion de Souza Melo, Geisa Guimarães de Alencar, Iracema Hermes Pires de Melo Montenegro, Alessandra Paula de Melo Calado, Eduardo José Nepomuceno Montenegro, Gisela Rocha de Siqueira, Effect of Dry Cupping Therapy on Pain and Functional Disability in Persistent Non-Specific Low Back Pain: A Randomized Controlled Clinical Trial, *Journal of Acupuncture and Meridian Studies*, 10.51507/j.jams.2021.14.6.219, 14, 6, (219-230), (2021). [Crossref⁷⁷](#)
- Luís Carlos Matos, Jorge Pereira Machado, Fernando Jorge Monteiro, Henry Johannes Greten, Understanding Traditional Chinese Medicine Therapeutics: An Overview of the Basics and Clinical Applications, *Healthcare*, 10.3390/healthcare9030257, 9, 3, (257), (2021). [Crossref⁷⁸](#)
- Jingwen Cui, Wanrong Song, Yipeng Jin, Huihao Xu, Kai Fan, Degui Lin, Zhihui Hao, Jiahao Lin, Research Progress on the Mechanism of the Acupuncture Regulating Neuro-Endocrine-Immune Network System, *Veterinary Sciences*, 10.3390/vetsci8080149, 8, 8, (149), (2021). [Crossref⁷⁹](#)
- Íñigo Ongay de Felipe, The Universality of Science and Traditional Chinese Medicine, *Science & Education*, 10.1007/s11191-021-00249-4, (2021). [Crossref⁸⁰](#)
- Ningcen Li, Yi Guo, Yinan Gong, Yue Zhang, Wen Fan, Kaifang Yao, Zhihan Chen, Baomin Dou, Xiaowei Lin, Bo Chen, Zelin Chen, Zhifang Xu, Zhongxi Lyu, The Anti-Inflammatory Actions and Mechanisms of Acupuncture from Acupoint to Target Organs via Neuro-Immune Regulation, *Journal of Inflammation Research*, 10.2147/JIR.S341581, Volume 14, (7191-7224), (2021). [Crossref⁸¹](#)
- 戴云冯, Bridging Medicine East and West—Pursuit on the Relation between Biomedical Consequence of Stimulating the Acupoints of the Lung Meridian and Somatosensory Reflexes, Aiming to Treat Chronic Obstruction Pulmonary Diseases, *Traditional Chinese Medicine*, 10.12677/TCM.2020.92022, 09, 02, (145-176), (2020). [Crossref⁸²](#)
- Manon te Dorsthorst, Michael van Balken, John Heesakkers, Tibial nerve stimulation in the treatment of overactive bladder syndrome, *Current Opinion in Urology*, 10.1097/MOU.0000000000000781, 30, 4, (513-518), (2020). [Crossref⁸³](#)
- Peter I-Kung Wu, Lucy Chen, Integrative Medicine, *Spine Pain Care*, 10.1007/978-3-030-27447-4, (473-489), (2020). [Crossref⁸⁴](#)
- I. Giralt Sampedro, G. Carvajal, A. Garcia-Janeras, A. Fabà, M.B. Nishishinya Aquino, A severe case of Ramsay Hunt Syndrome treated with acupuncture and related techniques, *Complementary Therapies in Clinical Practice*, 10.1016/j.ctcp.2020.101119, (101119), (2020). [Crossref⁸⁵](#)
68. <https://doi.org/10.51507/j.jams.2021.14.2.50>
69. <https://doi.org/10.1038/s41598-021-93470-8>
70. <https://doi.org/10.1166/mex.2021.2027>
71. <https://onlinelibrary.wiley.com/doi/10.1111/joa.13401>
72. <https://onlinelibrary.wiley.com/doi/10.1111/joa.13400>
73. <https://onlinelibrary.wiley.com/doi/10.1002/ar.24618>
74. <https://doi.org/10.54461/JKMST.2021.5.1.8>
75. <https://doi.org/10.1016/j.joim.2021.11.006>
76. <https://doi.org/10.1016/j.explore.2021.11.010>
77. <https://doi.org/10.51507/j.jams.2021.14.6.219>
78. <https://doi.org/10.3390/healthcare9030257>
79. <https://doi.org/10.3390/vetsci8080149>
80. <https://doi.org/10.1007/s11191-021-00249-4>
81. <https://doi.org/10.2147/JIR.S341581>
82. <https://doi.org/10.12677/TCM.2020.92022>
83. <https://doi.org/10.1097/MOU.0000000000000781>
84. <https://doi.org/10.1007/978-3-030-27447-4>

- Eric Leskowitz, A Cartography of Energy Medicine: From Subtle Anatomy to Energy Physiology, *EXPLORE*, 10.1016/j.explore.2020.09.008, (2020). [Crossref⁶⁵](#)
- Hantong Hu, Yongliang Jiang, Xiaoyu Li, Jiali Lou, Yajun Zhang, Xiaofen He, Junfan Fang, Yuanyuan Wu, Xiaomei Shao, Jianqiao Fang, The microcirculatory characteristics of the heart and lung meridians, *Medicine*, 10.1097/MD.000000000019594, 99, 14, (e19594), (2020). [Crossref⁶⁷](#)
- Sheikh Faruque Elahee Bangladesh, Hui-juan Mao, Ling Zhao, Xue-yong Shen, Meridian system and mechanism of acupuncture action: A scientific evaluation 经络系统与针刺效应机制的科学评价, *World Journal of Acupuncture - Moxibustion*, 10.1016/j.wjam.2020.05.003, (2020). [Crossref⁶⁸](#)
- Mário Gonçalves, Luís Carlos Matos, Leonel Duarte, Jorge Machado, Henry Johannes Greten, Giovanna Franconi, PROBLEMS OF SCIENTIFIC METHODOLOGY RELATED TO PLACEBO CONTROL IN QIGONG STUDIES: A SYSTEMATIC REVIEW, *Journal of Bodywork and Movement Therapies*, 10.1016/j.jbmt.2020.06.035, (2020). [Crossref⁶⁹](#)
- Hans-Udo Richarz, Uwe Schütz, Werner Klingler, Das fasziale Bindegewebe – ein Medium für die Akupunktur? The fascial connective tissue—a medium for acupuncture?, *Deutsche Zeitschrift für Akupunktur*, 10.1007/s4212-019-00228-5, (2020). [Crossref⁷⁰](#)
- Shi Yonghong, Wu Ruizhi, Zhang Yue, Bai Xuebing, Imran Tarique, Liang Chunhua, Yang Ping, Chen Qiusheng, Telocytes in Different Organs of Vertebrates: Potential Essence Cells of the Meridian in Chinese Traditional Medicine, *Microscopy and Microanalysis*, 10.1017/S1431927620001518, (1-14), (2020). [Crossref⁷¹](#)
- Jinglan Mu, Andrea D Furlan, Wai Yee Lam, Marcos Y Hsu, Zhipeng Ning, Lixing Lao, Acupuncture for chronic nonspecific low back pain, *Cochrane Database of Systematic Reviews*, 10.1002/14651858.CD013814, (2020). [Crossref⁷²](#)
- Kimia Grace Ganjaei, Jeremiah W. Ray, Brandee Waite, Kevin J. Burnham, The Fascial System in Musculoskeletal Function and Myofascial Pain, *Current Physical Medicine and Rehabilitation Reports*, 10.1007/s40141-020-00302-3, (2020). [Crossref⁷³](#)
- Christina L Ross, Energy Medicine: Current Status and Future Perspectives, *Global Advances in Health and Medicine*, 10.1177/2164956119831221, 8, (216495611983122), (2019). [Crossref⁷⁴](#)
- Phil Trabulsky, COMPLEMENTARY AND ALTERNATIVE MEDICINE, *Cancer*, 10.1002/9781119645214, (499-530), (2019). [Wiley Online Library⁷⁵](#)
- Younbyoung Chae, Yeonhee Ryu, Won-Mo Jung, An Analysis of Indications of Meridians in DongUiBoGam Using Data Mining, *Korean Journal of Acupuncture*, 10.14406/acu.2019.034, 36, 4, (292-299), (2019). [Crossref⁷⁶](#)
- Wei-bo ZHANG, Xiao-jing SONG, Ze WANG, Guang-jun WANG, Shu-yong JIA, Yuying TIAN, Hong-yan LI, Longitudinal Directional Movement of Alcian Blue in Gephyrocharax Melanocheir Fish: Revealing Interstitial Flow and Related Structure ☆ 阿尔新蓝在黑裙鱼中的纵向定向运动:组织液流动与相关结构的揭示, *World Journal of Acupuncture - Moxibustion*, 10.1016/j.wjam.2019.05.008, (2019). [Crossref⁷⁷](#)
- Nicholas Alexander Wise, Action at a distance: laser acupuncture and the brain, *Photobiomodulation in the Brain*, 10.1016/B978-0-12-815305-5.00036-1, (489-501), (2019). [Crossref⁷⁸](#)
- Liangjun Xia, Qingyu Meng, Jin Xi, Qin Han, Jie Cheng, Jie Shen, Youbing Xia, Liyun Shi, The synergistic effect of electroacupuncture and bone mesenchymal stem cell transplantation on repairing thin endometrial injury in rats, *Stem Cell Research & Therapy*, 10.1186/s13287-019-1326-6, 10, 1, (2019). [Crossref⁷⁹](#)
- Dha-Hyun Choi, Younbyoung Chae, Minimisation of variations in locating an acupuncture point using a laser-device, *Integrative Medicine Research*, 10.1016/j.imr.2019.11.005, (2019). [Crossref⁸⁰](#)
- Doohan Oh, Jong-hyun Kim, Youn-Sub Kim, Song-Yi Kim, Analysis of Tonification and Sedation Methods in the 『Yeongschimgyeong』, *Korean Journal of Acupuncture*, 10.14406/acu.2019.021, 36, 3, (171-180), (2019). [Crossref⁸¹](#)
- Aleksandar Zivaljevic, Bin Shi, Elisa M S. Tam, Vahideh Toossi, Treatment of visceral pain associated with irritable bowel syndrome using acupuncture: Mechanism of action, *World Journal of Traditional Chinese Medicine*, 10.4103/wjtc.wjtc_m24_19, 5, 4, (181), (2019). [Crossref⁸²](#)
- Suchan Chang, O. Sang Kwon, Se Kyun Bang, Do-Hee Kim, Min Won Baek, Yeonhee Ryu, Jong Han Bae, Yu Fan, Soo Min Lee, Hyung Kyu Kim, Bong Hyo Lee, Chae Ha Yang, Hee Young Kim, Peripheral Sensory Nerve Tissue but Not Connective Tissue Is Involved in the Action of Acupuncture, *Frontiers in Neuroscience*, 10.3389/fnins.2019.00110, 13, (2019). [Crossref⁸³](#)
85. <https://doi.org/10.1016/j.ctcp.2020.101119>
86. <https://doi.org/10.1016/j.explore.2020.09.008>
87. <https://doi.org/10.1097/MD.000000000019594>
88. <https://doi.org/10.1016/j.wjam.2020.05.003>
89. <https://doi.org/10.1016/j.jbmt.2020.06.035>
90. <https://doi.org/10.1007/s4212-019-00228-5>
91. <https://doi.org/10.1017/S1431927620001518>
92. <https://doi.org/10.1002/14651858.CD013814>
93. <https://doi.org/10.1007/s40141-020-00302-3>
94. <https://doi.org/10.1177/2164956119831221>
95. <https://onlinelibrary.wiley.com/doi/10.1002/9781119645214>
96. <https://doi.org/10.14406/acu.2019.034>
97. <https://doi.org/10.1016/j.wjam.2019.05.008>
98. <https://doi.org/10.1016/B978-0-12-815305-5.00036-1>
99. <https://doi.org/10.1186/s13287-019-1326-6>
100. <https://doi.org/10.1016/j.imr.2019.11.005>
101. <https://doi.org/10.14406/acu.2019.021>
102. https://doi.org/10.4103/wjtc.wjtc_m24_19
- Junaid Wazir, Rahat Ullah, Shihong Li, Md Amir Hossain, Maladho Tanta Diallo, Farhan Ullah Khan, Awais Ullah Ihsan, Xiaohui Zhou, Efficacy of acupuncture in the treatment of chronic prostatitis-chronic pelvic pain syndrome: a review of the literature, *International Urology and Nephrology*, 10.1007/s11255-019-02267-2, (2019). [Crossref⁸⁴](#)
- Noa Schwartz, Madhavi Latha S. Chalasani, Thomas M. Li, Zhonghui Feng, William D. Shipman, Theresa T. Lu, Lymphatic Function in Autoimmune Diseases, *Frontiers in Immunology*, 10.3389/fimmu.2019.00519, 10, (2019). [Crossref⁸⁵](#)
- Sarah Ely, Panos Barlas, Transcutaneous electrical acupoint stimulation for people with chronic musculoskeletal pain: an exploratory review, *Physical Therapy Reviews*, 10.1080/10833196.2019.1648728, (1-12), (2019). [Crossref⁸⁶](#)
- Koh-Woon Kim, Sanhwa Hong, Hong Soo Kim, Taehun Kim, Jaeha Ahn, Hyun-Seo Song, Yu-Kang Kim, Ju-Young Oh, Tae-Yeon Hwang, Hyangsook Lee, Su-II In, Hi-Joon Park, Physiological impact of nanoporous acupuncture needles: Laser Doppler perfusion imaging in healthy volunteers, *PLOS ONE*, 10.1371/journal.pone.0226304, 14, 12, (e0226304), (2019). [Crossref⁸⁷](#)
- Chang-zhen Gong, Wei Liu, Convergence of Medicines: West Meets East in Newly-Discovered Organs and Functions, *Chinese Journal of Integrative Medicine*, 10.1007/s11655-018-2570-9, 25, 5, (323-326), (2018). [Crossref⁸⁸](#)
- Jeanne Adiwinata Pawitan, Various stem cells in acupuncture meridians and points and their putative roles, *Journal of Traditional and Complementary Medicine*, 10.1016/j.jtcm.2017.08.004, (2018). [Crossref⁸⁹](#)
- Chungda Lee, How can mindfulness-led breathing of qigong/Tai Chi work on qi and the meridian network?, *Advances in Integrative Medicine*, 10.1016/j.aimed.2018.07.002, 5, 3, (122-127), (2018). [Crossref⁹⁰](#)
- Patrick Roynard, Lauren Frank, Huiheng Xie, Margaret Fowler, Acupuncture for Small Animal Neurologic Disorders, *Veterinary Clinics of North America: Small Animal Practice*, 10.1016/j.cvsm.2017.08.003, 48, 1, (201-219), (2018). [Crossref⁹¹](#)
- Meng Huang, Xuezhi Wang, Beibei Xing, Hongwei Yang, Zheyang Sa, Di Zhang, Wei Yao, Na Yin, Ying Xia, Guanghong Ding, Critical roles of TRPV2 channels, histamine H1 and adenosine A1 receptors in the initiation of acupoint signals for acupuncture analgesia, *Scientific Reports*, 10.1038/s41598-018-24654-y, 8, 1, (2018). [Crossref⁹²](#)
- Ruining Liang, Peishuang Li, Xuemei Peng, Ling Xu, Pei Fan, Jiahua Peng, Xu Zhou, Chunlin Xiao, Miao Jiang, Efficacy of acupuncture on pelvic pain in patients with endometriosis: study protocol for a randomized, single-blind, multi-center, placebo-controlled trial, *Trials*, 10.1186/s13063-018-2684-6, 19, 1, (2018). [Crossref⁹³](#)
- Wei-bo Zhang, De-xian Jia, Hong-yan Li, Yu-long Wei, Huang Yan, Peng-na Zhao, Feifei Gu, Guang-jun Wang, Yan-ping Wang, Understanding Qi Running in the Meridians as Interstitial Fluid Flowing via Interstitial Space of Low Hydraulic Resistance, *Chinese Journal of Integrative Medicine*, 10.1007/s11655-017-2791-3, 24, 4, (304-307), (2018). [Crossref⁹⁴](#)
- Conner E. Liddle, Richard E. Harris, Cellular Reorganization Plays a Vital Role in Acupuncture Analgesia, *Medical Acupuncture*, 10.1089/acu.2017.1258, 30, 1, (15-20), (2018). [Crossref⁹⁵](#)
- 戴云 冯, Relationship among the Meridians, Sineq Channels and Integrative Five Fluid Circulation System, *Traditional Chinese Medicine*, 10.12677/TCM.2018.71013, 07, 01, (74-92), (2018). [Crossref⁹⁶](#)
- David Feinstein, Energy Psychology: Efficacy, Speed, Mechanisms, *EXPLORE*, 10.1016/j.explore.2018.11.003, (2018). [Crossref⁹⁷](#)
- Hiroie MOTOYAMA, Hirohisa ISOGAI, Yoshito MUKAINO, Relaxing Effect Achieved by Acupuncture Stimulation in Different Postures for University Students Living a Sedentary Lifestyle, *Sedentary Lifestyle を送る大学生を対象とした異なる姿勢への鍼刺激によるリラクゼーション効果*, *Kampo Medicine*, 10.3937/kampomed.69.225, 69, 3, (225-238), (2018). [Crossref⁹⁸](#)
- Alexander Waits, You-Ren Tang, Hao-Min Cheng, Chen-Jei Tai, Li-Yin Chien, Acupressure effect on sleep quality: A systematic review and meta-analysis, *Sleep Medicine Reviews*, 10.1016/j.smrv.2016.12.004, 37, (24-34), (2018). [Crossref⁹⁹](#)
- Chenglin Liu, Qinghua Liu, Dongming Zhang, Wei Liu, Xiaohui Yan, Xinyi Zhang, Hiroyuki Oyanagi, Zhiyun Pan, Fengehun Hu, Shiqiang Wei, Insight into the biological effects of acupuncture points by X-ray absorption fine structure, *Analytical and Bioanalytical Chemistry*, 10.1007/s00216-018-1146-z, 410, 20, (4959-4965), (2018). [Crossref¹⁰⁰](#)
- Eric Leskowitz, How Tapping into “Energy” Can Trigger a Paradigm Shift in Biomedicine, *The Journal of Alternative and Complementary Medicine*, 10.1089/acm.2018.0073, 24, 6, (525-527), (2018). [Crossref¹⁰¹](#)
103. <https://doi.org/10.3389/fnins.2019.00110>
104. <https://doi.org/10.1007/s11255-019-02267-2>
105. <https://doi.org/10.3389/fimmu.2019.00519>
106. <https://doi.org/10.1080/10833196.2019.1648728>
107. <https://doi.org/10.1371/journal.pone.0226304>
108. <https://doi.org/10.1007/s11655-018-2570-9>
109. <https://doi.org/10.1016/j.jtcm.2017.08.004>
110. <https://doi.org/10.1016/j.aimed.2018.07.002>
111. <https://doi.org/10.1016/j.cvsm.2017.08.003>
112. <https://doi.org/10.1038/s41598-018-24654-y>
113. <https://doi.org/10.1186/s13063-018-2684-6>
114. <https://doi.org/10.1007/s11655-017-2791-3>
115. <https://doi.org/10.1089/acu.2017.1258>
116. <https://doi.org/10.12677/TCM.2018.71013>
117. <https://doi.org/10.1016/j.explore.2018.11.003>
118. <https://doi.org/10.3937/kampomed.69.225>
119. <https://doi.org/10.1016/j.smrv.2016.12.004>
120. <https://doi.org/10.1007/s00216-018-1146-z>

Johannes Fleckenstein, Robert Schleip, Cornelia Sachs, Mark Driscoll, Susan Shoekett, Thomas Findley, Werner Klingler, Faszienforschung: Quo vadis? Fascia research: Quo vadis?, *Deutsche Zeitschrift für Akupunktur*, 10.1007/s42212-018-0037-8, 61, 2, (69-74), (2018). [Crossref¹²²](#)

FA Phan, A Srilestari, H Mihardja, MBH Marbun, Effects of acupuncture on uremic pruritus in patients undergoing hemodialysis, *Journal of Physics: Conference Series*, 10.1088/1742-6596/1073/6/062049, 1073, (062049), (2018). [Crossref¹²³](#)

Kwang-Sup Soh, Sistema circulatorio de Bonghan como una extensión de los meridianos de acupuntura, *Revista Internacional de Acupuntura*, 10.1016/j.acu.2018.02.001, 12, 1, (15-28), (2018). [Crossref¹²⁴](#)

Helene M. Langevin, Peter M. Wayne, What Is the Point? The Problem with Acupuncture Research That No One Wants to Talk About, *The Journal of Alternative and Complementary Medicine*, 10.1089/acm.2017.0366, 24, 3, (200-207), (2018). [Crossref¹²⁵](#)

Chun-Yi Lin, Tze-Taur Wei, Chen-Chen Wang, Wan-Chen Chen, Yu-Min Wang, Song-Yen Tsai, Acute Physiological and Psychological Effects of Qigong Exercise in Older Practitioners, *Evidence-Based Complementary and Alternative Medicine*, 10.1155/2018/4960978, 2018, (1-10), (2018). [Crossref¹²⁶](#)

Kanae Umemoto, Toshiyuki Saito, Munezaki Naito, Shogo Hayashi, Tomiko Yakura, Hanno Steinke, Takashi Nakano, Anatomical Relationship between B123 and the Posterior Ramus of the L2 Spinal Nerve, *Acupuncture in Medicine*, 10.1136/acupmed-2015-010847, 34, 2, (95-100), (2018). [Crossref¹²⁷](#)

Krista Lynne Paulson, Barbara L. Shay, Sympathetic Nervous System Responses to Acupuncture and Non-Penetrating Sham Acupuncture in Experimental Forearm Pain: A Single-Blind Randomised Descriptive Study, *Acupuncture in Medicine*, 10.1136/acupmed-2012-010223, 31, 2, (178-184), (2018). [Crossref¹²⁸](#)

Marc Amand, Florence Nguyen-Huu, Costantino Balestra, Acupuncture Effect on Thermal Tolerance and Electrical Pain Threshold: A Randomised Controlled Trial, *Acupuncture in Medicine*, 10.1136/aim.2010.002485, 29, 1, (47-50), (2018). [Crossref¹²⁹](#)

Michele Alem, Maria Saletto Costa Gurgel, Acupuncture in the Rehabilitation of Women after Breast Cancer Surgery – a Case Series, *Acupuncture in Medicine*, 10.1136/aim.26.2.86, 26, 2, (86-93), (2018). [Crossref¹³⁰](#)

Avijgan Majid, Rouh/Qi before and after production; basic concept of life, *International Journal of Complementary & Alternative Medicine*, 10.15406/ijcam.2018.11.00363, 11, 2, (2018). [Crossref¹³¹](#)

Tiaw-Kee Lim, Yan Ma, Frederic Berger, Gerhard Litscher, Acupuncture and Neural Mechanism in the Management of Low Back Pain—An Update, *Medicines*, 10.3390/medicines5030063, 5, 3, (63), (2018). [Crossref¹³²](#)

Anna Esparham, Anne Herbert, Emily Pierzchalski, Catherine Tran, Jennifer Dilts, Madeline Boorigie, Tammie Wingert, Mark Connelly, Jennifer Bickel, Pediatric Headache Clinic Model: Implementation of Integrative Therapies in Practice, *Children*, 10.3390/children5060074, 5, 6, (74), (2018). [Crossref¹³³](#)

Elizabeth R. Magden, Chapter 13 Positive Reinforcement Training and Health Care, *Handbook of Primate Behavioral Management*, 10.1201/9781315120652, (201-216), (2017). [Crossref¹³⁴](#)

Faria Sanjana, Hans Chaudhry, Thomas Findley, Effect of MELT method on thoracolumbar connective tissue: The full study, *Journal of Bodywork and Movement Therapies*, 10.1016/j.jbmt.2016.05.010, 21, 1, (179-185), (2017). [Crossref¹³⁵](#)

Peter T. Dorsher, Neuroembryology of the Acupuncture Principal Meridians: Part 1. The Extremities, *Medical Acupuncture*, 10.1089/acu.2016.1210, 29, 1, (10-19), (2017). [Crossref¹³⁶](#)

Jordi Gascon-Garcia, Caridad Bagur-Calafat, Montserrat Girabent-Farrés, Ramon Balius, Validation of the range of dry needling with the fascial winding technique in the carpal tunnel using ultrasound, *Journal of Bodywork and Movement Therapies*, 10.1016/j.jbmt.2017.10.013, (2017). [Crossref¹³⁷](#)

Ana Paula A. Ferreira, Luciana C. Póvoa, José F.C. Zanier, Arthur S. Ferreira, Locating the Seventh Cervical Spinous Process: Accuracy of the Thorax-Rib Static Method and the Effects of Clinical Data on Its Performance, *Journal of Manipulative and Physiological Therapeutics*, 10.1016/j.jmpt.2016.10.011, 40, 2, (98-105), (2017). [Crossref¹³⁸](#)

Arya Nielsen, Acupuncture for the Prevention of Tension-Type Headache (2016), *EXPLORE: The Journal of Science and Healing*, 10.1016/j.explore.2017.03.007, 13, 3, (228-231), (2017). [Crossref¹³⁹](#)

Fan Wang, Guang-wei Cui, Le Kuai, Jian-min Xu, Ting-ting Zhang, Huai-jin Cheng, Hong-sheng Dong, Gui-rong Dong, Role of Acupoint Area Collagen Fibers in Anti-Inflammation of Acupuncture Lifting and Thrusting Manipulation, *Evidence-Based Complementary and Alternative Medicine*, 10.1155/2017/2813437, 2017, (1-8), (2017). [Crossref¹⁴⁰](#)

Wei-Chia Chen, Hsiang-Ying Chen, Yu-Sheng Chen, Yong Tian, Lin I, Self-excited multi-scale skin vibrations probed by optical tracking micro-motions of tracers on arms, *Journal of Applied Physics*, 10.1063/1.4991499, 122, 2, (024701), (2017). [Crossref¹⁴¹](#)

Fletcher Kovich, A Curious Oversight in Acupuncture Research, *Journal of Acupuncture and Meridian Studies*, 10.1016/j.jams.2017.10.004, 10, 6, (411-415), (2017). [Crossref¹⁴²](#)

David F. Drake, Anne M. Hudak, William Robbins, Integrative Medicine in Traumatic Brain Injury, *Physical Medicine and Rehabilitation Clinics of North America*, 10.1016/j.pmr.2016.12.011, 28, 2, (363-378), (2017). [Crossref¹⁴³](#)

Helene M. Langevin, Rosa N. Schnyer, Reconnecting the Body in Eastern and Western Medicine, *The Journal of Alternative and Complementary Medicine*, 10.1089/acm.2017.0028, 23, 4, (238-241), (2017). [Crossref¹⁴⁴](#)

Salvador Quiroz-González, Sergio Torres-Castillo, Rosa Estela López-Gómez, Ismael Jiménez Estrada, Acupuncture Points and Their Relationship with Multireceptive Fields of Neurons, *Journal of Acupuncture and Meridian Studies*, 10.1016/j.jams.2017.01.006, 10, 2, (81-89), (2017). [Crossref¹⁴⁵](#)

Sharon Jyoon Jung, Haim Song, Yu Yeon Kim, Jungdae Kim, Sunghul Kim, Yoon-Kyu Song, Kwang-Sup Soh, Distribution of Mast Cells and Locations, Depths, and Sizes of the Putative Acupoints CV 8 and KI 16, *Evidence-Based Complementary and Alternative Medicine*, 10.1155/2017/2953278, 2017, (1-10), (2017). [Crossref¹⁴⁶](#)

Benjamin CW. Chant, Jeanne Madison, Paul Coop, Gudrun Dieberg, Contact Tools in Japanese Acupuncture: An Ethnography of Acupuncture Practitioners in Japan, *Journal of Acupuncture and Meridian Studies*, 10.1016/j.jams.2017.08.006, 10, 5, (331-339), (2017). [Crossref¹⁴⁷](#)

Hugh MacPherson, Andrew Vickers, Martin Bland, David Torgerson, Mark Corbett, Eldon Spackman, Pedro Saramago, Beth Woods, Helen Weatherly, Mark Sculpher, Andrea Manca, Stewart Richmond, Ann Hopton, Janet Eldred, Ian Watt, Acupuncture for chronic pain and depression in primary care: a programme of research, *Programme Grants for Applied Research*, 10.3310/pgfar05030, 5, 3, (1-316), (2017). [Crossref¹⁴⁸](#)

Benjamin Kligler, Arya Nielsen, Corinne Kohrher, Tracy Schmid, Eve Waltermaurer, Elidania Perez, Woodson Merrell, Acupuncture Therapy in a Group Setting for Chronic Pain, *Pain Medicine*, 10.1093/pm/pnx134, (2017). [Crossref¹⁴⁹](#)

Alexander Macdonald, Acupuncture Main Channels or Meridians: Visible Surfaces, *International Journal of Complementary & Alternative Medicine*, 10.15406/ijcam.2017.07.00233, 7, 4, (2017). [Crossref¹⁵⁰](#)

Roshanak Ghods, Nasrin Sayfour, Mohammad Hossein Ayati, Anatomical Features of the Interscapular Area Where Wet Cupping Therapy Is Done and Its Possible Relation to Acupuncture Meridians, *Journal of Acupuncture and Meridian Studies*, 10.1016/j.jams.2016.06.004, 9, 6, (290-296), (2016). [Crossref¹⁵¹](#)

Laura Quiles, Electra Peluffo, Meridianos tendinomusculares (Jing Jin) y tejido fascial, comparativa anatómica y funcional, *Revista Internacional de Acupuntura*, 10.1016/j.acu.2016.01.002, 10, 1, (20-24), (2016). [Crossref¹⁵²](#)

Tian Tian, Yanhong Sun, Huang Wu, Jian Pei, Jing Zhang, Yi Zhang, Lu Wang, Bin Li, Lihua Wang, Jiye Shi, Jun Hu, Chunhai Fan, Acupuncture promotes mTOR-independent autophagic clearance of aggregation-prone proteins in mouse brain, *Scientific Reports*, 10.1038/srep19714, 6, 1, (2016). [Crossref¹⁵³](#)

Eric Leskowitz, Integrative Medicine for PTSD and TBI: Two Innovative Approaches, *Medical Acupuncture*, 10.1089/acu.2016.1168, 28, 4, (181-183), (2016). [Crossref¹⁵⁴](#)

Sarah le Jeune, Kimberly Henneman, Kevin May, Acupuncture and Equine Rehabilitation, *Veterinary Clinics of North America: Equine Practice*, 10.1016/j.cveq.2015.12.004, 32, 1, (73-85), (2016). [Crossref¹⁵⁵](#)

Charlotte H. Y. Lau, Xinyin Wu, Vincent C. H. Chung, Xin Liu, Edwin P. Hui, Holger Charmer, Romy Lauche, Samuel Y. S. Wong, Alexander Y. L. Lau, Regina W. S. Sit, Eric T. C. Ziea, Bacon F. L. Ng, Justin C. Y. Wu, Acupuncture and Related Therapies for Symptom Management in Palliative Cancer Care, *Medicine*, 10.1097/MD.0000000000002901, 95, 9, (e2901), (2016). [Crossref¹⁵⁶](#)

Li Chen, Hai-Xiang Sun, You-Bing Xia, Liu-Cai Sui, Ji Zhou, Xuan Huang, Jing-Wei Zhou, Yi-Dan Shao, Tao Shen, Qin Sun, Yuan-Jiao Liang, Bing Yao, Electroacupuncture decreases the progression of ovarian hyperstimulation syndrome in a rat model, *Reproductive BioMedicine Online*, 10.1016/j.rbmo.2016.02.006, 32, 5, (538-544), (2016). [Crossref¹⁵⁷](#)

121. <https://doi.org/10.1089/acm.2018.0073>
 122. <https://doi.org/10.1007/s42212-018-0037-8>
 123. <https://doi.org/10.1088/1742-6596/1073/6/062049>
 124. <https://doi.org/10.1016/j.acu.2018.02.001>
 125. <https://doi.org/10.1089/acm.2017.0366>
 126. <https://doi.org/10.1155/2018/4960978>
 127. <https://doi.org/10.1136/acupmed-2015-010847>
 128. <https://doi.org/10.1136/acupmed-2012-010223>
 129. <https://doi.org/10.1136/aim.2010.002485>
 130. <https://doi.org/10.1136/aim.26.2.86>
 131. <https://doi.org/10.15406/ijcam.2018.11.00363>
 132. <https://doi.org/10.3390/medicines5030063>
 133. <https://doi.org/10.3390/children5060074>
 134. <https://doi.org/10.1201/9781315120652>
 135. <https://doi.org/10.1016/j.jbmt.2016.05.010>
 136. <https://doi.org/10.1089/acu.2016.1210>
 137. <https://doi.org/10.1016/j.jbmt.2017.10.013>
 138. <https://doi.org/10.1016/j.jmpt.2016.10.011>
 139. <https://doi.org/10.1016/j.explore.2017.03.007>

140. <https://doi.org/10.1155/2017/2813437>
 141. <https://doi.org/10.1063/1.4991499>
 142. <https://doi.org/10.1016/j.jams.2017.10.004>
 143. <https://doi.org/10.1016/j.pmr.2016.12.011>
 144. <https://doi.org/10.1089/acm.2017.0028>
 145. <https://doi.org/10.1016/j.jams.2017.01.006>
 146. <https://doi.org/10.1155/2017/2953278>
 147. <https://doi.org/10.1016/j.jams.2017.08.006>
 148. <https://doi.org/10.3310/pgfar05030>
 149. <https://doi.org/10.1093/pm/pnx134>
 150. <https://doi.org/10.15406/ijcam.2017.07.00233>
 151. <https://doi.org/10.1016/j.jams.2016.06.004>
 152. <https://doi.org/10.1016/j.acu.2016.01.002>
 153. <https://doi.org/10.1038/srep19714>
 154. <https://doi.org/10.1089/acu.2016.1168>
 155. <https://doi.org/10.1016/j.cveq.2015.12.004>
 156. <https://doi.org/10.1097/MD.0000000000002901>
 157. <https://doi.org/10.1016/j.rbmo.2016.02.006>

- Suzanne B. Hanser, Suzanne B. Hanser, Holistic Healing, Integrative Health through Music Therapy, 10.1057/978-1-137-38477-5, (35-54), (2016). [Crossref¹⁵⁸](#)
- Laurent Misery, Acupuncture, Pruritus, 10.1007/978-3-319-33142-3, (437-441), (2016). [Crossref¹⁵⁹](#)
- Jing-Ke Guo, Ming-Ming Xu, Mei-Feng Zheng, Shu-Tao Liu, Jian-Wu Zhou, Li-Jing Ke, Tian-Bao Chen, Ping-Fan Rao, Topical Application of TAT-Superoxide Dismutase in Acupoints LI 20 on Allergic Rhinitis, Evidence-Based Complementary and Alternative Medicine, 10.1155/2016/3830273, 2016, (1-9), (2016). [Crossref¹⁶⁰](#)
- James L. Oschman, Acupuncture, Acupressure, Shiatsu, and Related Therapies, Energy Medicine, 10.1016/B978-0-443-06729-7.00014-4, (221-239), (2016). [Crossref¹⁶¹](#)
- Motti Ratmansky, Adi Levy, Aviv Messinger, Alla Birg, Lilach Front, Iuly Treger, The Effects of Acupuncture on Cerebral Blood Flow in Post-Stroke Patients: A Randomized Controlled Trial, The Journal of Alternative and Complementary Medicine, 10.1089/acm.2015.0066, 22, 1, (33-37), (2016). [Crossref¹⁶²](#)
- Marzio Vanzini, Michele Gallamini, Amblyopia: Can Laser Acupuncture be an Option?, Journal of Acupuncture and Meridian Studies, 10.1016/j.jams.2016.01.017, 9, 5, (267-274), (2016). [Crossref¹⁶³](#)
- Bo M. Rowan†, J. Bryan Dixon, Complementary Medicine Practices for Muscular Injuries of the Posterior Leg, Muscular Injuries in the Posterior Leg, 10.1007/978-1-4899-7651-2, (153-168), (2016). [Crossref¹⁶⁴](#)
- HyunSuk Jang, Joohwan Yoon, HyunJi Gil, Sharon Jiyeon Jung, Min-Suk Kim, Jin-Kyu Lee, Young-Jae Kim, Kwang-Sup Soh, Observation of a Flowing Duct in the Abdominal Wall by Using Nanoparticles, PLOS ONE, 10.1371/journal.pone.0150423, 11, 3, (e0150423), (2016). [Crossref¹⁶⁵](#)
- Richard Cha, Detecting Intrinsic Movements through Needle Tips Pinned at Zusanli ST-36 Point - a New Method for Characterizing Structures for Acupuncture Treatments, International Journal of Complementary & Alternative Medicine, 10.15406/ijcam.2016.03.00100, 3, 6, (2016). [Crossref¹⁶⁶](#)
- Raphael J. Hochstrasser, P. Christian Endler, Sabine D. Klein, Perception of Therapeutic Qi, a Nonmechanical, Nonpsychological Factor in Acupuncture That Originates from the Therapist, Journal of Acupuncture and Meridian Studies, 10.1016/j.jams.2014.11.009, 8, 4, (203-208), (2015). [Crossref¹⁶⁷](#)
- Carla Stecco, Warren Hammer, Andry Vleeming, Raffaele De Caro, Fasciae of the Upper Limb, Functional Atlas of the Human Fascial System, 10.1016/B978-0-7020-4430-4.00007-5, (217-287), (2015). [Crossref¹⁶⁸](#)
- Shu-Ming Wang, Acupuncture as a Treatment for Substance Abuse in Pediatric Patients, Substance Abuse, 10.1007/978-1-4939-1951-2, (349-357), (2015). [Crossref¹⁶⁹](#)
- Mei-Ling Wu, Dong-Sheng Xu, Wan-Zhu Bai, Jing-Jing Cui, Hong-Ming Shu, Wei He, Xiao-Yu Wang, Hong Shi, Yang-Shuai Su, Ling Hu, Bing Zhu, Xiang-Hong Jing, Local cutaneous nerve terminal and mast cell responses to manual acupuncture in acupoint LI4 area of the rats, Journal of Chemical Neuroanatomy, 10.1016/j.jchemneu.2015.06.002, 68, (14-21), (2015). [Crossref¹⁷⁰](#)
- Mark J. McDonald, Will the Primo Vascular System Finally Solve the Mystery of Acupuncture?, Medical Acupuncture, 10.1089/acu.2014.1075, 27, 1, (33-37), (2015). [Crossref¹⁷¹](#)
- Wei-Bo Zhang, Guang-Jun Wang, Kjell Fuxe, Classic and Modern Meridian Studies: A Review of Low Hydraulic Resistance Channels along Meridians and Their Relevance for Therapeutic Effects in Traditional Chinese Medicine, Evidence-Based Complementary and Alternative Medicine, 10.1155/2015/410979, 2015, (1-14), (2015). [Crossref¹⁷²](#)
- Xiaqiu Wu, Jin Peng, Guoqin Li, Wei Zhang, Guangxia Liu, Baoyan Liu, Efficacy evaluation of summer acupuncture application treatment on asthma patients: a two-year follow-up clinical study, Journal of Traditional Chinese Medicine, 10.1016/S0254-6272(15)30004-2, 35, 1, (21-27), (2015). [Crossref¹⁷³](#)
- Won-Mo Jung, Taehyung Lee, In-Seon Lee, Sanghyun Kim, Hyunhui Jang, Song-Yi Kim, Hi-Joon Park, Younbyoung Chae, Spatial Patterns of the Indications of Acupoints Using Data Mining in Classic Medical Text: A Possible Visualization of the Meridian System, Evidence-Based Complementary and Alternative Medicine, 10.1155/2015/457071, 2015, (1-7), (2015). [Crossref¹⁷⁴](#)
- Kwang-Sup Soh, Hypothesis on the Treatment of Gliomas with Acupuncture at the Primo Node Corresponding to Zusanli (ST 36), Medical Acupuncture, 10.1089/acu.2014.1089, 27, 3, (144-150), (2015). [Crossref¹⁷⁵](#)
- Marco Gemma, Elisa Nicelli, Luigi Gioia, Elena Moizo, Luigi Beretta, Maria Rosa Calvi, Acupuncture accelerates recovery after general anesthesia: a prospective randomized controlled trial, Journal of Integrative Medicine, 10.1016/S2095-4964(15)60159-5, 13, 276. [https://doi.org/10.1016/S2095-4964\(15\)60159-5](https://doi.org/10.1016/S2095-4964(15)60159-5)
158. <https://doi.org/10.1057/978-1-137-38477-5>
159. <https://doi.org/10.1007/978-3-319-33142-3>
160. <https://doi.org/10.1155/2016/3830273>
161. <https://doi.org/10.1016/B978-0-443-06729-7.00014-4>
162. <https://doi.org/10.1089/acu.2015.0066>
163. <https://doi.org/10.1016/j.jams.2016.01.017>
164. <https://doi.org/10.1007/978-1-4899-7651-2>
165. <https://doi.org/10.1371/journal.pone.0150423>
166. <https://doi.org/10.15406/ijcam.2016.03.00100>
167. <https://doi.org/10.1016/j.jams.2014.11.009>
168. <https://doi.org/10.1016/B978-0-7020-4430-4.00007-5>
169. <https://doi.org/10.1007/978-1-4939-1951-2>
170. <https://doi.org/10.1016/j.jchemneu.2015.06.002>
171. <https://doi.org/10.1089/acu.2014.1075>
172. <https://doi.org/10.1155/2015/410979>
173. [https://doi.org/10.1016/S0254-6272\(15\)30004-2](https://doi.org/10.1016/S0254-6272(15)30004-2)
174. <https://doi.org/10.1155/2015/457071>
175. <https://doi.org/10.1089/acu.2014.1089>
- (99-104), (2015). [Crossref¹⁷⁶](#)
- Michele Gallamini, Giovanni D'Angelo, Gabriele Belloni, Biolite: A Patented Ultra-Low-Level Laser-Therapy Device for Treating Musculoskeletal Pain and Associated Impairments, Journal of Acupuncture and Meridian Studies, 10.1016/j.jams.2015.02.001, 8, 4, (167-174), (2015). [Crossref¹⁷⁷](#)
- Poney Chiang, What is the Point of Acupuncture?, Medical Acupuncture, 10.1089/acu.2015.1093, 27, 2, (67-80), (2015). [Crossref¹⁷⁸](#)
- Richard F. Hobbs, Acupuncture—Biophysics or Metaphysics?, Medical Acupuncture, 10.1089/acu.2015.1097, 27, 2, (62-66), (2015). [Crossref¹⁷⁹](#)
- Ali Khorsand, Jiang Zhu, Hamidreza Bahrani-Taghanaki, Sara Baghani, Liangxiao Ma, Shima Rezaei, Investigation of the electrical impedance of acupuncture points and non-acupuncture points before and after acupuncture, using a four-electrode device, Acupuncture in Medicine, 10.1136/acupmed-2014-010697, 33, 3, (230-236), (2015). [Crossref¹⁸⁰](#)
- Fang Li, Tian He, Qian Xu, Li - Ting Lin, Hui Li, Yan Liu, Guang - Xia Shi, Cun - Zhi Liu, What is the Acupoint? A preliminary review of Acupoints, Pain Medicine, 10.1111/pme.12761, 16, 10, (1905-1915), (2015). [Wiley Online Library¹⁸¹](#)
- Song-Yi Kim, Sang-Woo Kim, Hi-Joon Park, Different Responses to Acupuncture in Electroencephalogram according to Stress Level: A Randomized, Placebo-Controlled, Cross-Over Trial, Korean Journal of Acupuncture, 10.14406/acu.2014.022, 31, 3, (136-145), (2014). [Crossref¹⁸²](#)
- Heming Zhu, Acupoints Initiate the Healing Process, Medical Acupuncture, 10.1089/acu.2014.1057, 26, 5, (264-270), (2014). [Crossref¹⁸³](#)
- G. Ding, Z. Wu, D. Zhang, Z. Sa, K. Cheng, Biophysical Bases of Acupuncture, Comprehensive Biomedical Physics, 10.1016/B978-0-444-53632-7.01018-2, (299-316), (2014). [Crossref¹⁸⁴](#)
- Yuan-yuan Lin, Yin-ping Wang, Hao-yang Lu, Xiu-cai Guo, Xia Liu, Chuan-bin Wu, Yue-hong Xu, Plasma pharmacokinetics and lung distribution of tetrahydropalmatine after topical application of cold asthma recipe extract: Feishu (BL 13) versus Non-Feishu acupoint, Journal of Ethnopharmacology, 10.1016/j.jep.2014.03.009, 153, 2, (454-460), (2014). [Crossref¹⁸⁵](#)
- Yiu Ming Wong, Electrical Property of Acupoints, The Journal of Alternative and Complementary Medicine, 10.1089/acm.2013.0169, 20, 2, (145-146), (2014). [Crossref¹⁸⁶](#)
- Nadia Elisabeth Haddad, Oxana Palesh, Acupuncture in the Treatment of Cancer-Related Psychological Symptoms, Integrative Cancer Therapies, 10.1177/1534735413520181, 13, 5, (371-385), (2014). [Crossref¹⁸⁷](#)
- Soo-Byeong Kim, Kyung-Yul Chung, Mi-Seon Jeon, Tae-Min Shin, Yong-Heum Lee, Body Composition Factor Comparisons of the Intracellular Fluid (ICW), Extracellular Fluid (ECW) and Cell Membrane at Acupuncture Points and Non-Acupuncture Points by Inducing Multiple Ionic Changes, Korean Journal of Acupuncture, 10.14406/acu.2014.005, 31, 2, (66-78), (2014). [Crossref¹⁸⁸](#)
- Martha Liliana Beltrán Molano, Laura Bibiana Pinilla Bonilla, Eduardo Humberto Beltrán Dussan, Carlos Alberto Vásquez Londoño, Anatomic-Functional Correlation between Head Zones and Acupuncture Channels and Points: A Comparative Analysis from the Perspective of Neural Therapy, Evidence-Based Complementary and Alternative Medicine, 10.1155/2014/836392, 2014, (1-12), (2014). [Crossref¹⁸⁹](#)
- Evan H. Kwong, Thomas W. Findley, Fascia—Current knowledge and future directions in physiology: Narrative review, Journal of Rehabilitation Research and Development, 10.1682/JRRD.2013.10.0220, 51, 6, (875-884), (2014). [Crossref¹⁹⁰](#)
- Kwokming James Cheng, Neurobiological Mechanisms of Acupuncture for Some Common Illnesses: A Clinician's Perspective, Journal of Acupuncture and Meridian Studies, 10.1016/j.jams.2013.07.008, 7, 3, (105-114), (2014). [Crossref¹⁹¹](#)
- Jing-Wen Yang, Qian-Qian Li, Fang Li, Qing-Nan Fu, Xiang-Hong Zeng, Cun-Zhi Liu, The Holistic Effects of Acupuncture Treatment, Evidence-Based Complementary and Alternative Medicine, 10.1155/2014/739708, 2014, (1-10), (2014). [Crossref¹⁹²](#)
- Shu-Yih Wu, Wei-Hsin Chen, Ching-Liang Hsieh, Yi-Wen Lin, Abundant expression and functional participation of TRPV1 at Zusanli acupoint (ST36) in mice: mechanosensitive TRPV1 as an “acupuncture-responder channel”, BMC Complementary and Alternative Medicine, 10.1186/1472-6882-14-96, 14, 1, (2014). [Crossref¹⁹³](#)
- Morry Silberstein, Is acupuncture “stimulation” a misnomer? A case for using the term “blockade”, BMC Complementary and Alternative Medicine, 10.1186/1472-6882-13-68, 13, 1, (2013). [Crossref¹⁹⁴](#)
176. [https://doi.org/10.1016/S2095-4964\(15\)60159-5](https://doi.org/10.1016/S2095-4964(15)60159-5)
177. <https://doi.org/10.1016/j.jams.2015.02.001>
178. <https://doi.org/10.1089/acu.2015.1093>
179. <https://doi.org/10.1089/acu.2015.1097>
180. <https://doi.org/10.1136/acupmed-2014-010697>
181. <https://online.library.wiley.com/doi/10.1111/pme.12761>
182. <https://doi.org/10.14406/acu.2014.022>
183. <https://doi.org/10.1089/acu.2014.1057>
184. <https://doi.org/10.1016/B978-0-444-53632-7.01018-2>
185. <https://doi.org/10.1016/j.jep.2014.03.009>
186. <https://doi.org/10.1089/acm.2013.0169>
187. <https://doi.org/10.1177/1534735413520181>
188. <https://doi.org/10.14406/acu.2014.005>
189. <https://doi.org/10.1155/2014/836392>
190. <https://doi.org/10.1682/JRRD.2013.10.0220>
191. <https://doi.org/10.1016/j.jams.2013.07.008>
192. <https://doi.org/10.1155/2014/739708>
193. <https://doi.org/10.1186/1472-6882-14-96>
194. <https://doi.org/10.1186/1472-6882-13-68>

In-Seon Lee, Soon-Ho Lee, Song-Yi Kim, Hyejung Lee, Hi-Joon Park, Younbyoung Chae, Visualization of the Meridian System Based on Biomedical Information about Acupuncture Treatment, Evidence-Based Complementary and Alternative Medicine, 10.1155/2013/872142, 2013, (1-5), (2013). [Crossref¹⁹⁵](#)

Helene M. Langevin, Part 1, Trigger Point Dry Needling, 10.1016/B978-0-7020-4601-8.10008-8, (29-33), (2013). [Crossref¹⁹⁶](#)

Byung-Cheon Lee, Walter J. Akers, Xianghong Jing, M. Isabel Miguel Perez, Yeonhee Ryu, Primo Vascular System: Past, Present, and Future, Evidence-Based Complementary and Alternative Medicine, 10.1155/2013/240168, 2013, (1-2), (2013). [Crossref¹⁹⁷](#)

Andrew Bannan, Acupuncture in physiotherapy, Tidy's Physiotherapy, 10.1016/B978-0-7020-4344-4.00018-3, (403-415), (2013). [Crossref¹⁹⁸](#)

Im Quah-Smith, Caroline Smith, John D. Crawford, Janice Russell, Laser acupuncture for depression: A randomised double blind controlled trial using low intensity laser intervention, Journal of Affective Disorders, 10.1016/j.jad.2012.11.058, 148, 2-3, (179-187), (2013). [Crossref¹⁹⁹](#)

C. Will Chen, Chen-Jei Tai, Cheuk-Sing Choy, Chau-Yun Hsu, Shoen-Loong Lin, Wing P. Chan, Han-Sun Chiang, Chang-An Chen, Ting-Kai Leung, Wave-Induced Flow in Meridians Demonstrated Using Photoluminescent Bioceramic Material on Acupuncture Points, Evidence-Based Complementary and Alternative Medicine, 10.1155/2013/739293, 2013, (1-11), (2013). [Crossref²⁰⁰](#)

Raphael J. Hochstrasser, P. Christian Endler, Sabine D. Klein, Introduction of two novel devices for investigating the influence of non-mechanical components such as therapeutic qi in acupuncture, Journal of Integrative Medicine, 10.3736/jintegrmed2013030, 11, 3, (168-174), (2013). [Crossref²⁰¹](#)

W. Evan Rivers, Felise Zollman, Reliability of Surface Acupuncture Point Location, Medical Acupuncture, 10.1089/acu.2012.0929, 25, 2, (134-140), (2013). [Crossref²⁰²](#)

Stefano Marcelli, Gross Anatomy and Acupuncture: A Comparative Approach to Reappraise the Meridian System, Medical Acupuncture, 10.1089/acu.2012.0875, 25, 1, (5-22), (2013). [Crossref²⁰³](#)

Jaung-Geng Lin, Pei-Chi Chou, Heng-Yi Chu, An Exploration of the Needling Depth in Acupuncture: The Safe Needling Depth and the Needling Depth of Clinical Efficacy, Evidence-Based Complementary and Alternative Medicine, 10.1155/2013/740508, 2013, (1-21), (2013). [Crossref²⁰⁴](#)

DARCY A. UMPHRED, CAROL M. DAVIS, MARY LOU GALANTINO, Complementary and alternative therapies: beyond traditional approaches to intervention in neurological diseases and movement disorders, Neurological Rehabilitation, 10.1016/B978-0-323-07586-2.00048-0, (1173-1214), (2013). [Crossref²⁰⁵](#)

Alessandra de Almeida Fagundes, Mariana César Ribeiro Reis, Maira Salles, Maria Graças Bastos Licurci, Immediate Effects of Acupuncture for Managing Myofascial Trigger-Point Pain: A Pilot Study, Medical Acupuncture, 10.1089/acu.2012.0902, 25, 1, (55-60), (2013). [Crossref²⁰⁶](#)

Yi Zhuang, Jing-jing Xing, Juan Li, Bai-Yun Zeng, Fan-rong Liang, History of Acupuncture Research, Neurobiology of Acupuncture, 10.1016/B978-0-12-411545-3.00001-8, (1-23), (2013). [Crossref²⁰⁷](#)

Arya Nielsen, Ted J. Kaptchuk, Sha syndrome and Gua sha, cao gio, coining, scraping, Gua Sha, 10.1016/B978-0-7020-3108-3.00005-4, (39-44), (2013). [Crossref²⁰⁸](#)

Arya Nielsen, Ted J. Kaptchuk, Physiology of Gua sha, Gua Sha, 10.1016/B978-0-7020-3108-3.00003-0, (21-30), (2013). [Crossref²⁰⁹](#)

Shirley P.C. Ngai, Alice Y.M. Jones, Changes in Skin Impedance and Heart Rate Variability with Application of Acu-TENS to BL 13 (Feishu), The Journal of Alternative and Complementary Medicine, 10.1089/acm.2012.0097, 19, 6, (558-563), (2013). [Crossref²¹⁰](#)

Isabelle Nègre, Méthodes non médicamenteuses : compréhension actuelle des mécanismes d'action, Douleurs : Evaluation - Diagnostic - Traitement, 10.1016/j.douleur.2013.01.007, 14, 3, (111-118), (2013). [Crossref²¹¹](#)

Guanghong Ding, Di Zhang, Meng Huang, Lina Wang, Wei Yao, Function of Collagen and Mast Cells in Acupuncture Points, Current Research in Acupuncture, 10.1007/978-1-4614-3357-6, (53-87), (2013). [Crossref²¹²](#)

Sung - Ho Lee, Geon - Ho Jahng, Il - Hwan Choe, Chi - Bong Choi, Dae - Hyun Kim, Hwi - Yool Kim, Neural Pathway Interference by Retained Acupuncture: A Functional MRI Study of a Dog Model of Parkinson's Disease, CNS Neuroscience & Therapeutics, 10.1111/cns.12108, 19, 8, (585-595), (2013). [Wiley Online Library²¹³](#)

Hee Young Kim, Sung Tae Koo, Jae Hyo Kim, Kyungh An, Kyungsoon Chung, Jin Mo Chung, Electroacupuncture analgesia in rat ankle sprain pain model: neural mechanisms, Neurological Research, 10.1179/016164109X12537002793689, 32, sup1, (10-17), (2013). [Crossref²¹⁴](#)

ChangShik Yin, ByungKwan Seo, Hi-Joon Park, Miran Cho, WooSang Jung, Ryowon Choue, ChangHwan Kim, Hun-Kuk Park, Hyejung Lee, HyeonGyun Koh, Acupuncture, a promising adjunctive therapy for essential hypertension: a double-blind, randomized, controlled trial, Neurological Research, 10.1179/016164107X172220, 29, sup1, (98-103), (2013). [Crossref²¹⁵](#)

Gary Deng, Barrie Cassileth, Complementary or alternative medicine in cancer care—myths and realities, Nature Reviews Clinical Oncology, 10.1038/nrclinonc.2013.125, 10, 11, (656-664), (2013). [Crossref²¹⁶](#)

James L Oschman, Fascia as a body-wide communication system, Fascia: The Tensional Network of the Human Body, 10.1016/B978-0-7020-3425-1.00049-0, (103-110), (2012). [Crossref²¹⁷](#)

David Feinstein, Acupoint Stimulation in Treating Psychological Disorders: Evidence of Efficacy, Review of General Psychology, 10.1037/a0028602, 16, 4, (364-380), (2012). [Crossref²¹⁸](#)

Jun J. Mao, Malini M. Khanna, Integrating Acupuncture with Western Medicine in Cancer Treatment, Acupuncture and Moxibustion as an Evidence-based Therapy for Cancer, 10.1007/978-94-007-4833-0_14, (313-328), (2012). [Crossref²¹⁹](#)

Alex Benham, Mark I. Johnson, Characterization of Painful and Non-painful Acupuncture Needle Sensations During Bidirectional Rotation of a Single Needle Inserted 15–25 mm at Large Intestine 10, Medical Acupuncture, 10.1089/acu.2011.0861, 24, 3, (172-180), (2012). [Crossref²²⁰](#)

Li-Ling Lin, Ya-Hui Wang, Chi-Yu Lai, Chan-Lao Chau, Guan-Chin Su, Chun-Yi Yang, Shu-Ying Lou, Su-Kai Chen, Kuan-Hao Hsu, Yen-Ling Lai, Wei-Ming Wu, Jian-Long Huang, Chih-Hsin Liao, Hsueh-Fen Juan, Systems Biology of Meridians, Acupoints, and Chinese Herbs in Disease, Evidence-Based Complementary and Alternative Medicine, 10.1155/2012/372670, 2012, (1-13), (2012). [Crossref²²¹](#)

Arya Nielsen, Gua sha, Fascia: The Tensional Network of the Human Body, 10.1016/B978-0-7020-3425-1.00009-X, (359-365), (2012). [Crossref²²²](#)

Hugh MacPherson, Richard Hammerschlag, Acupuncture and the Emerging Evidence Base: Contrived Controversy and Rational Debate, Journal of Acupuncture and Meridian Studies, 10.1016/j.jams.2012.05.001, 5, 4, (141-147), (2012). [Crossref²²³](#)

Yejin Ha, Misun Kim, Jiseon Nah, Minah Suh, Youngmi Lee, Measurements of Location-Dependent Nitric Oxide Levels on Skin Surface in relation to Acupuncture Point, Evidence-Based Complementary and Alternative Medicine, 10.1155/2012/781460, 2012, (1-7), (2012). [Crossref²²⁴](#)

Elisabeth Hsu, "Feeling lighter": Why the patient's treatment evaluation matters to the health scientist, Integrative Medicine Research, 10.1016/j.imr.2012.10.003, 1, 1, (5-12), (2012). [Crossref²²⁵](#)

Petra I. Bäuml, Michael Simang, Sybille Kramer, Dominik Irnich, Acupuncture Point Localization Varies Among Acupuncturists, Forschende Komplementärmedizin / Research in Complementary Medicine, 10.1159/000335825, 19, 1, (31-37), (2012). [Crossref²²⁶](#)

Belinda Anderson, Arya Nielsen, Diane McKee, Anne Jeffres, Ben Kligler, Acupuncture and Heart Rate Variability: A Systems Level Approach to Understanding Mechanism, EXPLORE: The Journal of Science and Healing, 10.1016/j.explore.2011.12.002, 8, 2, (99-106), (2012). [Crossref²²⁷](#)

Xiaoyu Wang, Hong Shi, Hongyan Shang, Yangshuai Su, Juanjuan Xin, Wei He, Xianghong Jing, Bing Zhu, Are Primo Vessels (PVs) on the Surface of Gastrointestine Involved in Regulation of Gastric Motility Induced by Stimulating Acupoints ST36 or CV12?, Evidence-Based Complementary and Alternative Medicine, 10.1155/2012/787683, 2012, (1-8), (2012). [Crossref²²⁸](#)

Dominik Irnich, Johannes Fleckenstein, Acupuncture as a fascia-oriented therapy, Fascia: The Tensional Network of the Human Body, 10.1016/B978-0-7020-3425-1.00010-6, (349-357), (2012). [Crossref²²⁹](#)

Byung-Cheon Lee, Zhendong Su, Baekkyoung Sung, Ki Woo Kim, Jin-Myung Cha, Jin-Kyu Lee, Byung-Joon Chang, Kwang-Sup Soh, Network of the Primo Vascular System in the Rat Hypodermis, The Primo Vascular System, 10.1007/978-1-4614-0601-3, (139-146), (2012). [Crossref²³⁰](#)

Kyoung-Hee Bae, Zhendong Su, Kwang-Sup Soh, Hee Min Kwon, Histological Comparison of Primo Nodes in Abdominal Membrane and Lymph Nodes of Rat, The Primo Vascular System, 10.1007/978-1-4614-0601-3, (127-131), (2012). [Crossref²³¹](#)

195. <https://doi.org/10.1155/2013/872142>
 196. <https://doi.org/10.1016/B978-0-7020-4601-8.10008-8>
 197. <https://doi.org/10.1155/2013/240168>
 198. <https://doi.org/10.1016/B978-0-7020-4344-4.00018-3>
 199. <https://doi.org/10.1016/j.jad.2012.11.058>
 200. <https://doi.org/10.1155/2013/739293>
 201. <https://doi.org/10.3736/jintegrmed2013030>
 202. <https://doi.org/10.1089/acu.2012.0929>
 203. <https://doi.org/10.1089/acu.2012.0875>
 204. <https://doi.org/10.1155/2013/740508>
 205. <https://doi.org/10.1016/B978-0-323-07586-2.00048-0>
 206. <https://doi.org/10.1089/acu.2012.0902>
 207. <https://doi.org/10.1016/B978-0-12-411545-3.00001-8>
 208. <https://doi.org/10.1016/B978-0-7020-3108-3.00005-4>
 209. <https://doi.org/10.1016/B978-0-7020-3108-3.00003-0>
 210. <https://doi.org/10.1089/acm.2012.0097>
 211. <https://doi.org/10.1016/j.douleur.2013.01.007>
 212. <https://doi.org/10.1007/978-1-4614-3357-6>
 213. <https://onlinelibrary.wiley.com/doi/10.1111/cns.12108>

214. <https://doi.org/10.1179/016164109X12537002793689>
 215. <https://doi.org/10.1179/016164107X172220>
 216. <https://doi.org/10.1038/nrclinonc.2013.125>
 217. <https://doi.org/10.1016/B978-0-7020-3425-1.00049-0>
 218. <https://doi.org/10.1037/a0028602>
 219. https://doi.org/10.1007/978-94-007-4833-0_14
 220. <https://doi.org/10.1089/acu.2011.0861>
 221. <https://doi.org/10.1155/2012/372670>
 222. <https://doi.org/10.1016/B978-0-7020-3425-1.00009-X>
 223. <https://doi.org/10.1016/j.jams.2012.05.001>
 224. <https://doi.org/10.1155/2012/781460>
 225. <https://doi.org/10.1016/j.imr.2012.10.003>
 226. <https://doi.org/10.1159/000335825>
 227. <https://doi.org/10.1016/j.explore.2011.12.002>
 228. <https://doi.org/10.1155/2012/787683>
 229. <https://doi.org/10.1016/B978-0-7020-3425-1.00010-6>
 230. <https://doi.org/10.1007/978-1-4614-0601-3>
 231. <https://doi.org/10.1007/978-1-4614-0601-3>

- Yu Bai, Lin Yuan, Yong Huang, Chun-lei Wang, Jun Wang, Jin-peng Wu, Jing-xing Dai, Dong-fei Li, Chun Yang, Mei-chun Yu, Hui-ying Yang, Hui Tao, Ou Sha, David Tai Wai Yew, From the Anatomical Discovery of Meridians and Collaterals to Fasciology Theory, The Primo Vascular System, 10.1007/978-1-4614-0601-3, (305-318), (2012). [Crossref²³²](#)
- Wei Yao, Yabei Li, Guanghong Ding, Interstitial Fluid Flow: The Mechanical Environment of Cells and Foundation of Meridians, Evidence-Based Complementary and Alternative Medicine, 10.1155/2012/853516, 2012, (1-9), (2012). [Crossref²³³](#)
- Jungdae Kim, Dae-In Kang, Kwang-Sup Soh, Sungchul Kim, Analysis on Postmortem Tissues at Acupuncture Points in the Image Datasets of Visible Human Project, The Journal of Alternative and Complementary Medicine, 10.1089/acm.2010.0850, 18, 2, (120-129), (2012). [Crossref²³⁴](#)
- Marcelo L Silva, Josie RT Silva, William A Prado, The antinociceptive effect of electroacupuncture at different depths of acupoints and under the needling surface, Chinese Medicine, 10.1186/1749-8546-7-3, 7, 1, (2012). [Crossref²³⁵](#)
- Hong-Qin Yang, Shu-Sen Xie, Song-Hao Liu, Hui Li, Zhou-Yi Guo, Differences in Optical Transport Properties between Human Meridian and Non-meridian, The American Journal of Chinese Medicine, 10.1142/S0192415X07005235, 35, 05, (743-752), (2012). [Crossref²³⁶](#)
- Kaung-Ti Yung, A Birdcage Model for the Chinese Meridian System Part VI: Meridians as the Primary Regulatory System, The American Journal of Chinese Medicine, 10.1142/S0192415X05003302, 33, 05, (759-766), (2012). [Crossref²³⁷](#)
- Letter to the Editor, The American Journal of Chinese Medicine, 10.1142/S0192415X05003119, 33, 03, (513-515), (2012). [Crossref²³⁸](#)
- A. Paraskeva, A. Melemini, G. Petropoulos, I. Sifakia, A. Fassoulaki, Needling of the Extra 1 Point Decreases BIS Values and Preoperative Anxiety, The American Journal of Chinese Medicine, 10.1142/S0192415X04002363, 32, 05, (789-794), (2012). [Crossref²³⁹](#)
- Francisco Abad-Alegria, Carlos Pomarón, About the Neurobiological Foundations of the De-Qi — Stimulus-Response Relation, The American Journal of Chinese Medicine, 10.1142/S0192415X04002375, 32, 05, (807-814), (2012). [Crossref²⁴⁰](#)
- Jesse Li-Ling, Human Phenome Based on Traditional Chinese Medicine — A Solution to Congenital Syndromology, The American Journal of Chinese Medicine, 10.1142/S0192415X03001594, 31, 06, (991-1000), (2012). [Crossref²⁴¹](#)
- Lisa S. Lancaster, Robert M. Bowker, Acupuncture Points of the Horse's Distal Thoracic Limb: A Neuroanatomic Approach to the Transposition of Traditional Points, Animals, 10.3390/ani2030455, 2, 4, (455-471), (2012). [Crossref²⁴²](#)
- Houju Fu, Yuanqiao He, Ying Gao, Yicun Man, Wukun Liu, Hua Hao, Acupuncture on the Endometrial Morphology, the Serum Estradiol and Progesterone Levels, and the Expression of Endometrial Leukaemia-inhibitor Factor and Osteopontin in Rats, Evidence-Based Complementary and Alternative Medicine, 10.1155/2011/606514, 2011, (1-9), (2011). [Crossref²⁴³](#)
- Steven Finando, Donna Finando, Fascia and the mechanism of acupuncture, Journal of Bodywork and Movement Therapies, 10.1016/j.jbmt.2010.03.001, 15, 2, (168-176), (2011). [Crossref²⁴⁴](#)
- Hyung-Joo Moon, Yong-Keun Lee, The Relationship Between Dental Occlusion/Temporomandibular Joint Status and General Body Health: Part 2. Fascial Connection of TMJ with Other Parts of the Body, The Journal of Alternative and Complementary Medicine, 10.1089/acm.2010.0740, 17, 12, (1119-1124), (2011). [Crossref²⁴⁵](#)
- Yu Bai, Jun Wang, Jin-peng Wu, Jing-xing Dai, Ou Sha, David Tai Wai Yew, Lin Yuan, Qiu-ni Liang, Review of Evidence Suggesting That the Fascia Network Could Be the Anatomical Basis for Acupoints and Meridians in the Human Body, Evidence-Based Complementary and Alternative Medicine, 10.1155/2011/260510, 2011, (1-6), (2011). [Crossref²⁴⁶](#)
- James L. Oschman, Foreword and Special Contribution: The Living Matrix, Energy Medicine East and West, 10.1016/B978-0-7020-3571-5.00032-9, (x-xix), (2011). [Crossref²⁴⁷](#)
- Therapie myofaszialer Schmerzsyndrome, Myofasziale Schmerzen und Triggerpunkte, 10.1016/B978-3-437-23095-0.10004-5, (51-91), (2011). [Crossref²⁴⁸](#)
- Xiangeng Zhang, Hui Zhang, Xiaoli Liang, Qin Liu, Miqu Wang, Gynecology and Gynecological Nursing Theories and Practices in Traditional Chinese Medicine: Review on the Ancient Literatures, Chinese Medicine, 10.4236/cm.2011.23014, 02, 03, (77-83), (2011). [Crossref²⁴⁹](#)
- Pei-Chi Chou, Heng-Yi Chu, Jaung-Geng Lin, Safe Needling Depth of Acupuncture Points, The Journal of Alternative and Complementary Medicine, 10.1089/acm.2010.0192, <https://doi.org/10.1007/978-1-4614-0601-3>
232. <https://doi.org/10.1155/2012/853516>
233. <https://doi.org/10.1089/acm.2010.0850>
234. <https://doi.org/10.1186/1749-8546-7-3>
235. <https://doi.org/10.1142/S0192415X07005235>
236. <https://doi.org/10.1142/S0192415X05003302>
237. <https://doi.org/10.1142/S0192415X05003119>
238. <https://doi.org/10.1142/S0192415X04002363>
239. <https://doi.org/10.1142/S0192415X04002375>
240. <https://doi.org/10.1142/S0192415X03001594>
241. <https://doi.org/10.3390/ani2030455>
242. <https://doi.org/10.1155/2011/606514>
243. <https://doi.org/10.1016/j.jbmt.2010.03.001>
244. <https://doi.org/10.1089/acm.2010.0740>
245. <https://doi.org/10.1155/2011/260510>
246. <https://doi.org/10.1016/B978-0-7020-3571-5.00032-9>
247. <https://doi.org/10.1016/B978-3-437-23095-0.10004-5>
248. <https://doi.org/10.4236/cm.2011.23014>
- acm.2010.0192, 17, 3, (199-206), (2011). [Crossref²⁵⁰](#)
- References and further reading, Energy Medicine East and West, 10.1016/B978-0-7020-3571-5.00037-8, (339-382), (2011). [Crossref²⁵¹](#)
- Dongming Zhang, Xiaohui Yan, Xinyi Zhang, Chenglin Liu, Ruishan Dang, Tiqiao Xiao, Peiping Zhu, Synchrotron radiation phase-contrast X-ray CT imaging of acupuncture points, Analytical and Bioanalytical Chemistry, 10.1007/s00216-011-4913-7, 401, 3, (803-808), (2011). [Crossref²⁵²](#)
- Stéphane J - P. Egot - Lemaire, Marvin C. Ziskin, Dielectric properties of human skin at an acupuncture point in the 50–75 GHz frequency range: A pilot study, Bioelectromagnetics, 10.1002/bem.20650, 32, 5, (360-366), (2011). [Wiley Online Library²⁵³](#)
- Chi Eung Danforn Lim, Felix Wu Shun Wong, Warren Smith, Factors influencing the bio-impedance data in tissue segments along the three arm meridians: a pilot study, TANG [HUMANITAS MEDICINE], 10.5667/tang.2011.0004, 1, 1, (7.1-7.9), (2011). [Crossref²⁵⁴](#)
- Luigi Baratto, Laura Calzà, Roberto Capra, Michele Gallamini, Luciana Giardino, Alessandro Giuliani, Luca Lorenzini, Silvano Traverso, Ultra-low-level laser therapy, Lasers in Medical Science, 10.1007/s10103-010-0837-2, 26, 1, (103-112), (2010). [Crossref²⁵⁵](#)
- Yavuz Beyazit, Murat Kekilli, Fatma Beyazit, Sticking the pieces together: A unifying hypothesis for the acupuncture meridian pathways and extracellular signalling, Medical Hypotheses, 10.1016/j.mehy.2010.01.022, 74, 6, (1088), (2010). [Crossref²⁵⁶](#)
- Hugh Gemmill, Peter Miller, Relative effectiveness and adverse effects of cervical manipulation, mobilisation and the activator instrument in patients with sub-acute non-specific neck pain: results from a stopped randomised trial, Chiropractic & Osteopathy, 10.1186/1746-1340-18-20, 18, 1, (2010). [Crossref²⁵⁷](#)
- Peter T. Dorsher, Clinical Equivalence of Laser Needle to Metal Acupuncture Needle in Treating Musculoskeletal Pain: A Pilot Study, Medical Acupuncture, 10.1089/acu.2009.0724, 22, 1, 1, (11-17), (2010). [Crossref²⁵⁸](#)
- Marco Antonio Helio da Silva, A Neurosegmental Perspective of the Classical Back Shu Points, Medical Acupuncture, 10.1089/acu.2010.0762, 22, 4, (257-264), (2010). [Crossref²⁵⁹](#)
- Laurent Misery, Laurence Potin-Richard, Itch and Acupuncture, Pruritus, 10.1007/978-1-84882-322-8, (335-338), (2010). [Crossref²⁶⁰](#)
- Guang Ying Huang, Cui Hong Zheng, Yun Xia Wu, Wei Wang, Involvement of connexin 43 in the acupuncture effect of improving rat blastocyst implantation, Fertility and Sterility, 10.1016/j.fertnstert.2009.09.036, 93, 5, (1715-1717), (2010). [Crossref²⁶¹](#)
- Felix Wu Shun Wong, Chi Eung Danforn Lim, Warren Smith, A New Bioimpedance Research Device (BIRD) for Measuring the Electrical Impedance of Acupuncture Meridians, The Journal of Alternative and Complementary Medicine, 10.1089/acm.2009.0218, 16, 3, (257-264), (2010). [Crossref²⁶²](#)
- Jennifer A. M. Stone, Peter A. S. Johnstone, Mechanisms of Action for Acupuncture in the Oncology Setting, Current Treatment Options in Oncology, 10.1007/s11864-010-0128-y, 11, 3-4, (118-127), (2010). [Crossref²⁶³](#)
- Yu Bai, Lin Yuan, Kwang-Sup Soh, Byung-Cheon Lee, Yong Huang, Chun-lei Wang, Jun Wang, Jin-peng Wu, Jing-xing Dai, Janos Palhalmi, Ou Sha, David Tai Wai Yew, Possible Applications for Fascial Anatomy and Fasciology in Traditional Chinese Medicine, Journal of Acupuncture and Meridian Studies, 10.1016/S2005-2901(10)60023-4, 3, 2, (125-132), (2010). [Crossref²⁶⁴](#)
- Peter T. Dorsher, The Languages of Healing: Linked by a Common Thread, The Journal of Alternative and Complementary Medicine, 10.1089/acm.2009.0527, 16, 8, (907-913), (2010). [Crossref²⁶⁵](#)
- Fei Zhou, Dengkai Huang YingXia, Neuroanatomic Basis of Acupuncture Points, Acupuncture Therapy for Neurological Diseases, 10.1007/978-3-642-10857-0, (32-80), (2010). [Crossref²⁶⁶](#)
- Roeland van Wijk, Jan van der Greef, Eduard van Wijk, Human Ultraweak Photon Emission and the Yin Yang Concept of Chinese Medicine, Journal of Acupuncture and Meridian Studies, 10.1016/S2005-2901(10)60041-6, 3, 4, (221-231), (2010). [Crossref²⁶⁷](#)
- Pierre Boutouyrie, Robert Corvisier, Kim-Tham Ong, Claire Vulser, Catherine Lassalle, Michel Azizi, Brigitte Laloux, Stéphane Laurent, Acute and chronic effects of acupuncture on radial artery: A randomized double blind study in migraine, Artery Research, 10.1016/j.artres.2009.12.003, 4, 1, (7-14), (2010). [Crossref²⁶⁸](#)
- Jun J. Mao, Rahul Kapur, Acupuncture in Primary Care, Primary Care: Clinics in 250. <https://doi.org/10.1089/acm.2010.0192>
251. <https://doi.org/10.1016/B978-0-7020-3571-5.00037-8>
252. <https://doi.org/10.1007/s00216-011-4913-7>
253. <https://onlinelibrary.wiley.com/doi/10.1002/bem.20650>
254. <https://doi.org/10.5667/tang.2011.0004>
255. <https://doi.org/10.1007/s10103-010-0837-2>
256. <https://doi.org/10.1016/j.mehy.2010.01.022>
257. <https://doi.org/10.1186/1746-1340-18-20>
258. <https://doi.org/10.1089/acu.2009.0724>
259. <https://doi.org/10.1089/acm.2010.0762>
260. <https://doi.org/10.1007/978-1-84882-322-8>
261. <https://doi.org/10.1016/j.fertnstert.2009.09.036>
262. <https://doi.org/10.1089/acm.2009.0218>
263. <https://doi.org/10.1007/s11864-010-0128-y>
264. [https://doi.org/10.1016/S2005-2901\(10\)60023-4](https://doi.org/10.1016/S2005-2901(10)60023-4)
265. <https://doi.org/10.1089/acm.2009.0527>
266. <https://doi.org/10.1007/978-3-642-10857-0>
267. [https://doi.org/10.1016/S2005-2901\(10\)60041-6](https://doi.org/10.1016/S2005-2901(10)60041-6)
268. <https://doi.org/10.1016/j.artres.2009.12.003>

- Office Practice, 10.1016/j.pop.2009.09.010, 37, 1, (105-117), (2010). [Crossref²⁶⁹](#)
- Andrew C. Ahn, Min Park, Jessica R. Shaw, Claire A. McManus, Ted J. Kaptchuk, Helene M. Langevin, Electrical Impedance of Acupuncture Meridians: The Relevance of Subcutaneous Collagenous Bands, *PLoS ONE*, 10.1371/journal.pone.0011907, 5, 7, (e11907), (2010). [Crossref²⁷⁰](#)
- Kang Cheng, Chang Hua Zou, Information Models of Acupuncture Analgesia and Meridian Channels, *Information*, 10.3390/info1020153, 1, 2, (153-168), (2010). [Crossref²⁷¹](#)
- Peter T. Dorsher, Myofascial Meridians as Anatomical Evidence of Acupuncture Channels, *Medical Acupuncture*, 10.1089/acu.2009.0631, 21, 2, (91-97), (2009). [Crossref²⁷²](#)
- Kwang-Sup Soh, Bonghan Circulatory System as an Extension of Acupuncture Meridians, *Journal of Acupuncture and Meridian Studies*, 10.1016/S2005-2901(09)60041-8, 2, 2, (93-106), (2009). [Crossref²⁷³](#)
- Peter T. Dorsher, Myofascial Referred-Pain Data Provide Physiologic Evidence of Acupuncture Meridians, *The Journal of Pain*, 10.1016/j.jpain.2008.12.010, 10, 7, (723-731), (2009). [Crossref²⁷⁴](#)
- Charles Shang, Prospective Tests on Biological Models of Acupuncture, Evidence-Based Complementary and Alternative Medicine, 10.1093/ecam/nem122, 6, 1, (31-39), (2009). [Crossref²⁷⁵](#)
- Antonio Stecco, Veronica Macchi, Carla Stecco, Andrea Porzionato, Julie Ann Day, Vincent Delmas, Raffaele De Caro, Anatomical study of myofascial continuity in the anterior region of the upper limb, *Journal of Bodywork and Movement Therapies*, 10.1016/j.jbmt.2007.04.009, 13, 1, (53-62), (2009). [Crossref²⁷⁶](#)
- Sang-Hyun Park, Jungdae Kim, Tae-Hoi Koo, Magneto-Acupuncture Stimuli Effects on Ultraweak Photon Emission from Hands of Healthy Persons, *Journal of Acupuncture and Meridian Studies*, 10.1016/S2005-2901(09)60014-5, 2, 1, (40-48), (2009). [Crossref²⁷⁷](#)
- James L. Oschman, Charge transfer in the living matrix, *Journal of Bodywork and Movement Therapies*, 10.1016/j.jbmt.2008.06.005, 13, 3, (215-228), (2009). [Crossref²⁷⁸](#)
- Hsiao-Neng Chen, Jaung-Geng Lin, Li-Chih Ying, Chen-Chai Huang, Chuan-Hsiung Lin, The Therapeutic Depth of Abdominal Acupuncture Points Approaches the Safe Depth in Overweight and in Older Children, *The Journal of Alternative and Complementary Medicine*, 10.1089/acm.2008.0582, 15, 9, (1033-1037), (2009). [Crossref²⁷⁹](#)
- Sallie Stoltz Denner, The Science of Energy Therapies and Contemplative Practice, *Holistic Nursing Practice*, 10.1097/HNP.0b013e3181bf3784, 23, 6, (315-334), (2009). [Crossref²⁸⁰](#)
- N. Ospina-Díaz, Introducción a la acupuntura. Fundamentos e interés para el médico de Atención Primaria, *SEMERGEN - Medicina de Familia*, 10.1016/S1138-3593(09)72675-9, 35, 8, (380-384), (2009). [Crossref²⁸¹](#)
- Suzanne McDonough, Jongbae Park, Jing Yuan, Purepong Nithima, Daniel P. Kerr, *Letters, Spine*, 10.1097/BRS.0b013e31819d071c, 34, 7, (753), (2009). [Crossref²⁸²](#)
- Charles Shang, Has Basic Acupuncture Research Met the Gold Standard of Science?, *Medical Acupuncture*, 10.1089/acu.2009.715, 21, 3, (191-200), (2009). [Crossref²⁸³](#)
- Xiaohui Yan, Xinyi Zhang, Chenglin Liu, Ruishan Dang, Yuying Huang, Wei He, Guanghong Ding, Do acupuncture points exist?, *Physics in Medicine and Biology*, 10.1088/0031-9155/54/9/N01, 54, 9, (N143-N150), (2009). [Crossref²⁸⁴](#)
- Xiaojia Yu, Guanghong Ding, Hong Huang, Jun Lin, Wei Yao, Rui Zhan, Role of Collagen Fibers in Acupuncture Analgesia Therapy on Rats, *Connective Tissue Research*, 10.1080/03008200802471856, 50, 2, (110-120), (2009). [Crossref²⁸⁵](#)
- James J. Mao, Deborah W. Bruner, Carrie Stricker, John T. Farrar, Sharon X. Xie, Marjorie A. Bowman, Donna Pucci Xiaoyan Han, Angela DeMichele, Feasibility Trial of Electroacupuncture for Aromatase Inhibitor-Related Arthralgia in Breast Cancer Survivors, *Integrative Cancer Therapies*, 10.1177/1534735409332903, 8, 2, (123-129), (2009). [Crossref²⁸⁶](#)
- HongQin Yang, ShuSen Xie, Hui Li, YuHua Wang, On optics of human meridians, *Science in China Series G: Physics, Mechanics and Astronomy*, 10.1007/s11433-009-0080-7, 52, 4, (502-507), (2009). [Crossref²⁸⁷](#)
- Dietrich H.W. Groenemeyer, Lei Zhang, Sven Schirp, Jürgen Baier, Localization of Acupuncture Points BL25 and BL26 Using Computed Tomography, *The Journal of Alternative and Complementary Medicine*, 10.1089/acm.2007.7118-O, 15, 12, (1285-1291), (2009). [Crossref²⁸⁸](#)
269. <https://doi.org/10.1016/j.pop.2009.09.010>
270. <https://doi.org/10.1371/journal.pone.0011907>
271. <https://doi.org/10.3390/info1020153>
272. <https://doi.org/10.1089/acu.2009.0631>
273. [https://doi.org/10.1016/S2005-2901\(09\)60041-8](https://doi.org/10.1016/S2005-2901(09)60041-8)
274. <https://doi.org/10.1016/j.jpain.2008.12.010>
275. <https://doi.org/10.1093/ecam/nem122>
276. <https://doi.org/10.1016/j.jbmt.2007.04.009>
277. [https://doi.org/10.1016/S2005-2901\(09\)60014-5](https://doi.org/10.1016/S2005-2901(09)60014-5)
278. <https://doi.org/10.1016/j.jbmt.2008.06.005>
279. <https://doi.org/10.1089/acm.2008.0582>
280. <https://doi.org/10.1097/HNP.0b013e3181bf3784>
281. [https://doi.org/10.1016/S1138-3593\(09\)72675-9](https://doi.org/10.1016/S1138-3593(09)72675-9)
282. <https://doi.org/10.1097/BRS.0b013e31819d071c>
283. <https://doi.org/10.1089/acm.2009.715>
284. <https://doi.org/10.1088/0031-9155/54/9/N01>
285. <https://doi.org/10.1080/03008200802471856>
286. <https://doi.org/10.1177/1534735409332903>
287. <https://doi.org/10.1007/s11433-009-0080-7>
288. <https://doi.org/10.1089/acm.2007.7118-O>
- Mike Benjamin, The fascia of the limbs and back – a review, *Journal of Anatomy*, 10.1111/j.1469-7580.2008.01011.x, 214, 1, (1-18), (2008). [Wiley Online Library²⁸⁹](#)
- Jesse Li-Ling, Yiyang Wu, Congenital Syndromes Involving the Lungs: Pathogenetic Models Based on Chinese Medicine Theories, *The Journal of Alternative and Complementary Medicine*, 10.1089/acm.2008.0115, 14, 8, (1017-1025), (2008). [Crossref²⁹⁰](#)
- Byung-Cheon Lee, Tae-Jeong Nam, Hyeon-Min Johng, Eun-Sung Park, Ku-Youn Baik, Baek-Kyong Sung, Kyung-Soon Soh, Yeo-Sung Yoon, Kwang-Sup Soh, Argyrophilic Fibers of Intravascular Threadlike Structures in Rat, *Journal of Korean Institute of Herbal Acupuncture*, 10.3831/KPI.2008.11.3.005, 11, 3, (5-16), (2008). [Crossref²⁹¹](#)
- Di Zhang, Guanghong Ding, Xueyong Shen, Wei Yao, Zhiying Zhang, Yuqing Zhang, Jun Lin, Quanbao Gu, Role of Mast Cells in Acupuncture Effect: A Pilot Study, *EXPLORE*, 10.1016/j.explore.2008.02.002, 4, 3, (170-177), (2008). [Crossref²⁹²](#)
- Stephen M. Sagar, Acupuncture as an Evidence-Based Option for Symptom Control in Cancer Patients, *Current Treatment Options in Oncology*, 10.1007/s11864-008-0063-3, 9, 2-3, (117-126), (2008). [Crossref²⁹³](#)
- M. Miguel-Pérez, J.C. Ortiz-Sagrístá, A. Pérez-Bellmunt, R. Ramos-Izquierdo, A. García-Fernández, Descripción anatómica de puntos de acupuntura en la extremidad inferior, *Revista Internacional de Acupuntura*, 10.1016/S1887-8369(08)70031-0, 2, 2, (126-131), (2008). [Crossref²⁹⁴](#)
- Marcus Bäcker, Paul Grossman, Jens Schneider, Andreas Michalsen, Nicola Knoblauch, Linda Tan, Corinna Niggemeyer, Klaus Linde, Dieter Melchart, Gustav J. Dobos, Acupuncture in Migraine, *The Clinical Journal of Pain*, 10.1097/AJP.0b013e318159f95e, 24, 2, (106-115), (2008). [Crossref²⁹⁵](#)
- Peter T. Dorsher, Optimal Localization of Acupuncture Points: Implications for Acupuncture Practice, Education, and Research, *Medical Acupuncture*, 10.1089/acu.2008.0621, 20, 3, (147-150), (2008). [Crossref²⁹⁶](#)
- Byung-Cheon Lee, Vyacheslav Ogay, Ki Woo Kim, Yuwon Lee, Jin-Kyu Lee, Kwang-Sup Soh, Acupuncture Muscle Channel in the Subcutaneous Layer of Rat Skin, *Journal of Acupuncture and Meridian Studies*, 10.1016/S2005-2901(09)60002-9, 1, 1, (13-19), (2008). [Crossref²⁹⁷](#)
- Agatha P. Colbert, Jinkook Yun, Adrian Larsen, Tracy Edinger, William L. Gregory, Tran Thong, Skin Impedance Measurements for Acupuncture Research: Development of a Continuous Recording System, Evidence-Based Complementary and Alternative Medicine, 10.1093/ecam/nem060, 5, 4, (443-450), (2008). [Crossref²⁹⁸](#)
- Hugh MacPherson, Richard Nahin, Charlotte Paterson, Claire M. Cassidy, George T. Lewith, Richard Hammerschlag, Developments in Acupuncture Research: Big-Picture Perspectives from the Leading Edge, *The Journal of Alternative and Complementary Medicine*, 10.1089/acm.2008.SAR-5, 14, 7, (883-887), (2008). [Crossref²⁹⁹](#)
- Vyacheslav Ogay, Min Su Kim, Hyo Jun Seok, Cheon Joo Choi, Kwang-Sup Soh, Catecholamine-storing Cells at Acupuncture Points of Rabbits, *Journal of Acupuncture and Meridian Studies*, 10.1016/S2005-2901(09)60027-3, 1, 2, (83-90), (2008). [Crossref³⁰⁰](#)
- J. Giebel, Mecanotransducción y transducción de señales a través del tejido conjuntivo, *Revista Internacional de Acupuntura*, 10.1016/S1887-8369(08)70003-6, 2, 1, (9-14), (2008). [Crossref³⁰¹](#)
- Sheng-Hsiung Hsiao, Li-Jen Tsai, A Neurovascular Transmission Model for Acupuncture-induced Nitric Oxide, *Journal of Acupuncture and Meridian Studies*, 10.1016/S2005-2901(09)60006-6, 1, 1, (42-50), (2008). [Crossref³⁰²](#)
- Vitaly Napadow, Andrew Ahn, John Longhurst, Lixing Lao, Elisabeth Stener-Victorin, Richard Harris, Helene M. Langevin, The Status and Future of Acupuncture Mechanism Research, *The Journal of Alternative and Complementary Medicine*, 10.1089/acm.2008.SAR-3, 14, 7, (861-869), (2008). [Crossref³⁰³](#)
- Hong-Yi Li, Jie-Fu Yang, Min Chen, Liang Xu, Wen-Chao Wang, Fang Wang, Jia-Bin Tong, Chuan-Yu Wang, Visualized Regional Hypodermic Migration Channels of Interstitial Fluid in Human Beings: Are These Ancient Meridians?, *The Journal of Alternative and Complementary Medicine*, 10.1089/acm.2007.0606, 14, 6, (621-628), (2008). [Crossref³⁰⁴](#)
- Rosa N. Schnyer, Stephen Birch, Hugh MacPherson, Acupuncture practice as the foundation for clinical evaluation, *Acupuncture Research*, 10.1016/B978-044310029-1.50013-9, (153-179), (2008). [Crossref³⁰⁵](#)
- Richard Hammerschlag, Hélène M. Langevin, Lixing Lao, George Lewith, Physiological dynamics of acupuncture: correlations and mechanisms, *Acupuncture Research*, 10.1016/B978-044310029-1.50014-0, (181-197), (2008). [Crossref³⁰⁶](#)
- Paul Orrock, Eric Blake, Leon Chaitow, Roger Newman Turner, *Naturopathic Physical* 289. <https://onlinelibrary.wiley.com/doi/10.1111/j.1469-7580.2008.01011.x>
290. <https://doi.org/10.1089/acm.2008.0115>
291. <https://doi.org/10.3831/KPI.2008.11.3.005>
292. <https://doi.org/10.1016/j.explore.2008.02.002>
293. <https://doi.org/10.1007/s11864-008-0063-3>
294. [https://doi.org/10.1016/S1887-8369\(08\)70031-0](https://doi.org/10.1016/S1887-8369(08)70031-0)
295. <https://doi.org/10.1097/AJP.0b013e318159f95e>
296. <https://doi.org/10.1089/acu.2008.0621>
297. [https://doi.org/10.1016/S2005-2901\(09\)60002-9](https://doi.org/10.1016/S2005-2901(09)60002-9)
298. <https://doi.org/10.1093/ecam/nem060>
299. <https://doi.org/10.1089/acm.2008.SAR-5>
300. [https://doi.org/10.1016/S2005-2901\(09\)60027-3](https://doi.org/10.1016/S2005-2901(09)60027-3)
301. [https://doi.org/10.1016/S1887-8369\(08\)70003-6](https://doi.org/10.1016/S1887-8369(08)70003-6)
302. [https://doi.org/10.1016/S2005-2901\(09\)60006-6](https://doi.org/10.1016/S2005-2901(09)60006-6)
303. <https://doi.org/10.1089/acm.2008.SAR-3>
304. <https://doi.org/10.1089/acm.2007.0606>
305. <https://doi.org/10.1016/B978-044310029-1.50013-9>
306. <https://doi.org/10.1016/B978-044310029-1.50014-0>

- Medicine, Naturopathic Physical Medicine, 10.1016/B978-044310390-2.50009-2, (75-100), (2008). [Crossref³⁰⁷](#)
- Andrew C. Ahn, Agatha P. Colbert, Belinda J. Anderson, Orjan G. Martinsen, Richard Hammerschlag, Steve Cina, Peter M. Wayne, Helene M. Langevin, Electrical properties of acupuncture points and meridians: A systematic review, *Bioelectromagnetics*, 10.1002/bem.20403, 29, 4, (245-256), (2008). [Wiley Online Library³⁰⁸](#)
- Margaret Julias, Lowell T Edgar, Helen M Buettner, David I Shreiber, An in vitro assay of collagen fiber alignment by acupuncture needle rotation, *BioMedical Engineering OnLine*, 10.1186/1475-925X-7-19, 7, 1, (2008). [Crossref³⁰⁹](#)
- Kell N. Julliard, Claudia Citkovitz, Douglas McDaniel, Towards a Model for Planning Clinical Research in Oriental Medicine, *EXPLORE*, 10.1016/j.explore.2006.12.002, 3, 2, (118-128), (2007). [Crossref³¹⁰](#)
- Arya Nielsen, Nicola T.M. Knoblauch, Gustav J. Dobos, Andreas Michalsen, Ted J. Kaptechuk, The Effect of Gua Sha Treatment on the Microcirculation of Surface Tissue: A Pilot Study in Healthy Subjects, *EXPLORE*, 10.1016/j.explore.2007.06.001, 3, 5, (456-466), (2007). [Crossref³¹¹](#)
- Roy Moncayo, Ansgar Rudisch, Markus Diemling, Christian Kremser, In-vivo visualisation of the anatomical structures related to the acupuncture points Dai mai and Shen mai by MRI: A single-case pilot study, *BMC Medical Imaging*, 10.1186/1471-2342-7-4, 7, 1, (2007). [Crossref³¹²](#)
- J. Giebel, Mechanotransduktion und Signaltransduktion über das Bindegewebe – Mechanismen zur Erklärung des therapeutischen Effekts der Akupunktur?, *Deutsche Zeitschrift für Akupunktur*, 10.1078/0415-6412-00281, 50, 3, (6-10), (2007). [Crossref³¹³](#)
- Roy Moncayo, Ansgar Rudisch, Christian Kremser, Helga Moncayo, 3D-MRI rendering of the anatomical structures related to acupuncture points of the Dai mai, Yin qiao mai and Yang qiao mai meridians within the context of the WOMED concept of lateral tension: implications for musculoskeletal disease, *BMC Musculoskeletal Disorders*, 10.1186/1471-2474-8-33, 8, 1, (2007). [Crossref³¹⁴](#)
- Helene M. Langevin, Nicole A. Bouffard, David L. Churchill, Gary J. Badger, Connective Tissue Fibroblast Response to Acupuncture: Dose-Dependent Effect of Bidirectional Needle Rotation, *The Journal of Alternative and Complementary Medicine*, 10.1089/acm.2007.6351, 13, 3, (355-360), (2007). [Crossref³¹⁵](#)
- Yong-Hui Han, Joon-Mo Yang, Min-Su Kim, Kwang-Sup Soh, Detection of the acupuncture points in Skin by differential path-length spectroscopy, *World Congress on Medical Physics and Biomedical Engineering 2006*, 10.1007/978-3-540-36841-0, (3572-3575), (2007). [Crossref³¹⁶](#)
- Min-Su Kim, Vyacheslav Ogay, Yong-Hui Han, Hak-Soo Shin, Byung-Cheon Lee, Kwang-Sup Soh, Alcian Blue Staining Technique for Tracing the Governing Vessel (GV) Meridian in Rat, *World Congress on Medical Physics and Biomedical Engineering 2006*, 10.1007/978-3-540-36841-0, (3576-3579), (2007). [Crossref³¹⁷](#)
- Miguel-Pérez Maribel, Ortiz-Sagrístá Joan Carles, Pérez-Bellmunt Albert, Buxeda Mónica, Cuni Laura, García-Fernández Alicia, Descripción anatómica de puntos de acupuntura en la extremidad superior, *Revista Internacional de Acupuntura*, 10.1016/S1887-8369(07)70217-X, 1, 2, (53-57), (2007). [Crossref³¹⁸](#)
- Yury P. Limansky, Serge A. Gulyar, Ivan Z. Samosyuk, Scientific basis of acupuncture, *Kontakt*, 10.32725/kont.2007.060, 9, 2, (391-402), (2007). [Crossref³¹⁹](#)
- Leon Chaitow, Fascia 2007 Congress, *Journal of Bodywork and Movement Therapies*, 10.1016/j.jbmt.2006.07.004, 10, 4, (249-250), (2006). [Crossref³²⁰](#)
- Helene M. Langevin, Connective tissue: A body-wide signaling network?, *Medical Hypotheses*, 10.1016/j.mehy.2005.12.032, 66, 6, (1074-1077), (2006). [Crossref³²¹](#)
- Albert Y. Leung, Jun Park, Gery Schulteis, Jeng-Ren Duann, Tony Yaksh, The Electrophysiology of De Qi Sensations, *The Journal of Alternative and Complementary Medicine*, 10.1089/acm.2006.12.743, 12, 8, (743-750), (2006). [Crossref³²²](#)
- Acupuncture, Obstetrics & Gynecology, 10.1097/01.AOG.0000239498.38595.41, 108, 4, (1024-1026), (2006). [Crossref³²³](#)
- Jeanne L. Shea, Applying Evidence-Based Medicine to Traditional Chinese Medicine: Debate and Strategy, *The Journal of Alternative and Complementary Medicine*, 10.1089/acm.2006.12.255, 12, 3, (255-263), (2006). [Crossref³²⁴](#)
- Grigory V. Chernyak, Daniel I. Sessler, Perioperative Acupuncture and Related Techniques, *Anesthesiology*, 10.1097/0000542-200505000-00024, 102, 5, (1031-1049), (2005). [Crossref³²⁵](#)
- Grigory Chernyak, Papiya Sengupta, Rainer Lenhardt, Edwin Liem, Anthony G. Doufas, Daniel I. Sessler, Ozan Ak?za, The Timing of Acupuncture Stimulation Does Not Influence Anesthetic Requirement, *Anesthesia & Analgesia*, 10.1213/01.ANE.0000142114.72117.E0, 100, 2, (387-392), (2005). [Crossref³²⁶](#)
- Gabriela E. Garcia, Sheng-Xing Ma, Lili Feng, Acupuncture and Kidney Disease, *Advances in Chronic Kidney Disease*, 10.1016/j.ackd.2005.04.002, 12, 3, (282-291), (2005). [Crossref³²⁷](#)
- Andrew C Ahn, Junru Wu, Gary J Badger, Richard Hammerschlag, Helene M Langevin, Electrical impedance along connective tissue planes associated with acupuncture meridians, *BMC Complementary and Alternative Medicine*, 10.1186/1472-6882-5-10, 5, 1, (2005). [Crossref³²⁸](#)
- E.E. Konofagou, H.M. Langevin, Using ultrasound to understand acupuncture, *IEEE Engineering in Medicine and Biology Magazine*, 10.1109/MEMB.2005.1411347, 24, 2, (41-46), (2005). [Crossref³²⁹](#)
- R. Schleip, W. Klingler, F. Lehmann-Horn, Active fascial contractility: Fascia may be able to contract in a smooth muscle-like manner and thereby influence musculoskeletal dynamics, *Medical Hypotheses*, 10.1016/j.mehy.2005.03.005, 65, 2, (273-277), (2005). [Crossref³³⁰](#)
- Paulo H. Hashimoto, The perineurial vessel: A possible candidate for the structural basis of the meridian (Jing - Luo) in Chinese medicine*, *Anatomical Science International*, 10.1111/j.1447-073X.2005.00118.x, 80, 4, (177-180), (2005). [Wiley Online Library³³¹](#)
- Dina Ralt, Intercellular communication, NO and the biology of Chinese medicine, *Cell Communication and Signaling*, 10.1186/1478-811X-3-8, 3, 1, (2005). [Crossref³³²](#)
- Ai-Hui Li, Jun-Ming Zhang, Yi-Kuan Xie, Human acupuncture points mapped in rats are associated with excitable muscle/skin-nerve complexes with enriched nerve endings, *Brain Research*, 10.1016/j.brainres.2004.04.009, 1012, 1-2, (154-159), (2004). [Crossref³³³](#)
- Kaung-Ti Yung, A Birdcage Model for the Chinese Meridian System Part II: The Meridian System as a Birdcage Resonator, *The American Journal of Chinese Medicine*, 10.1142/S0192415X04002582, 32, 06, (985-997), (2004). [Crossref³³⁴](#)
- J. P. Jones, Y. K. Bae, L. Wilson, C. S. So, D. D. Kidney, Ultrasonic Imaging and Characterization of Acupuncture Points in Classical Oriental Medicine, *Acoustical Imaging*, 10.1007/978-1-4020-2402-3_66, (527-533), (2004). [Crossref³³⁵](#)
- Helene M. Langevin, Elisa E. Konofagou, Gary J. Badger, David L. Churchill, James R. Fox, Jonathan Ophir, Brian S. Garra, Tissue displacements during acupuncture using ultrasound elastography techniques, *Ultrasound in Medicine & Biology*, 10.1016/j.ultrasmedbio.2004.07.010, 30, 9, (1173-1183), (2004). [Crossref³³⁶](#)
- M. Bäcker, I.K. Gareus, N.T.M. Knoblauch, A. Michalsen, G.J. Dobos, Akupunktur in der Schmerztherapie – Hypothese zu adaptiven Prozessen, *Complementary Medicine Research*, 10.1159/000082815, 11, 6, (335-345), (2004). [Crossref³³⁷](#)
- Opher Caspi, Cari Stellhorn, Melinda Connor, Sham in CAM, Evidence-Based Integrative Medicine, 10.2165/01197065-200401040-00002, 1, 4, (233-240), (2004). [Crossref³³⁸](#)
- Bruce D. Curtis, J.J. Hurtak, Consciousness and Quantum Information Processing: Uncovering the Foundation for a Medicine of Light, *The Journal of Alternative and Complementary Medicine*, 10.1089/107555304322848931, 10, 1, (27-39), (2004). [Crossref³³⁹](#)
- E.E. Konofagou, G.J. Badger, B.S. Garra, H.M. Langevin, IEEE Symposium on Ultrasonics, 2003, 10.1109/ULTSYM.2003.1293138, (1288-1291), (2003). [Crossref³⁴⁰](#)
- Leon Chaitow, Judith DeLany, Neuromuscular Techniques in Orthopedics, *Techniques in Orthopaedics*, 10.1097/00013611-200303000-00013, 18, 1, (74-86), (2003). [Crossref³⁴¹](#)
- LiteratureWatch, Alternative and Complementary Therapies, 10.1089/10762800360520811, 9, 1, (49-50), (2003). [Crossref³⁴²](#)
- Michael McCarthy, Palpatory literacy, Chinese therapeutic bodywork (Tui Na) and the remediation of head, neck and shoulder pain, *Journal of Bodywork and Movement Therapies*, 10.1016/S1360-8592(03)00044-5, 7, 4, (262-277), (2003). [Crossref³⁴³](#)
- Leon Chaitow, What binds us together ?, *Journal of Bodywork and Movement Therapies*, 10.1016/S1360-8592(03)00020-2, 7, 2, (69-70), (2003). [Crossref³⁴⁴](#)
- Joshi, Narahari & Mbbs, Msc & Pa'ez, Ximena & Araque, MBBS. (2012). Electroacupuncture Effects on the Disintegration of Beta Amyloid Sheets: Its Application to Alzheimer's Disease. *Medical Acupuncture*. 24. 145. 10.1089/acu.2012.0873. [ResearchGate³⁴⁵](#)
226. <https://doi.org/10.1213/01.ANE.0000142114.72117.E0>
227. <https://doi.org/10.1016/j.ackd.2005.04.002>
328. <https://doi.org/10.1186/1472-6882-5-10>
329. <https://doi.org/10.1109/MEMB.2005.1411347>
330. <https://doi.org/10.1016/j.mehy.2005.03.005>
331. <https://onlinelibrary.wiley.com/doi/10.1111/j.1447-073X.2005.00118.x>
332. <https://doi.org/10.1186/1478-811X-3-8>
333. <https://doi.org/10.1016/j.brainres.2004.04.009>
334. <https://doi.org/10.1142/S0192415X04002582>
335. https://doi.org/10.1007/978-1-4020-2402-3_66
336. <https://doi.org/10.1016/j.ultrasmedbio.2004.07.010>
337. <https://doi.org/10.1159/000082815>
338. <https://doi.org/10.2165/01197065-200401040-00002>
339. <https://doi.org/10.1089/107555304322848931>
340. <https://doi.org/10.1109/ULTSYM.2003.1293138>
341. <https://doi.org/10.1097/00013611-200303000-00013>
342. <https://doi.org/10.1089/10762800360520811>
343. [https://doi.org/10.1016/S1360-8592\(03\)00044-5](https://doi.org/10.1016/S1360-8592(03)00044-5)
344. [https://doi.org/10.1016/S1360-8592\(03\)00020-2](https://doi.org/10.1016/S1360-8592(03)00020-2)
345. https://www.researchgate.net/publication/236897521_Electroacupuncture_Effects_on_the_Disintegration_of_Beta_Amyloid_Sheets_Its_Application_to_Alzheimer's_Disease

HRV, Ayurveda

- Ram Manohar, P., Sorokin, O., Chacko, J., & Nampoothiri, V. (2018). An exploratory clinical study to determine the utility of heart rate variability analysis in the assessment of dosha imbalance. *Journal of Ayurveda and integrative medicine*, 9(2), 126–130. [Crossref](#)³⁴⁶
- Travis F.T., Wallace R.K. Doša brain-types: a neural model of individual differences. *J Ayurveda Integr Med.* 2015;6(4):280–285. [PMC](#)³⁴⁷ - [PubMed](#)³⁴⁸
- Tyagi A., Cohen M. Yoga and heart rate variability: a comprehensive review of the literature. *Int J Yoga.* 2016;9(2):97–113. [PMC](#)³⁴⁹ - [PubMed](#)³⁵⁰
- Masel E., Huber P., Engler T., Herbert Watzke H.H. Heart rate variability during treatment of breakthrough pain in patients with advanced cancer: a pilot study. *J Pain Res.* 2016 Dec;9:1215–1220. [PMC](#)³⁵¹ - [PubMed](#)³⁵²
- Kim E.-H., Park J.-H., Lee S.M., Gwak M.-S., Kim G.-S., Kim M.-H. Preoperative depressed mood and perioperative heart rate variability in patients with hepatic cancer. *J Clin Anesth.* 2016 Dec;35:332–338. [PubMed](#)³⁵³
- Koziewicz M., Michalak S., Bilinska M., Budrewicz S., Zaborowski M., Slotwinski K. Profile of autonomic dysfunctions in patients with primary brain tumor and possible autoimmunity. *Clin Neurol Neurosurg.* 2016 Dec;151:51–54. [PubMed](#)³⁵⁴
- Rastogi, S., & Singh, R. H. (2021). Principle of Hot (Ushna) and Cold (Sheeta) and Its Clinical Application in Ayurvedic Medicine. *Advances in experimental medicine and biology*, 1343, 39–55. [Crossref](#)³⁵⁵
- Mills, P. J., Peterson, C. T., Wilson, K. L., Pung, M. A., Patel, S., Weiss, L., Kshirsagar, S. G., Tanzi, R. E., & Chopra, D. (2019). Relationships among classifications of ayurvedic medicine diagnostics for imbalances and western measures of psychological states: An exploratory study. *Journal of Ayurveda and integrative medicine*, 10 (3), 198–202. [Crossref](#)³⁵⁶
- Pandey M.M., Rastogi S., Rawat A.K. Indian traditional ayurvedic system of medicine and nutritional supplementation. *Evid Based Complement Alternat Med.* 2013;2013:376327. - [PMC](#)³⁵⁷ - [PubMed](#)³⁵⁸
- Chopra A., Doiphode V.V. Ayurvedic medicine. Core concept, therapeutic principles, and current relevance. *Med Clin North Am.* 2002;86(1):75–89. vii. - [PubMed](#)³⁵⁹
- Zhou X., Ma Z., Zhang L., Zhou S., Wang J., Wang B. Heart rate variability in the prediction of survival in patients with cancer: a systematic review and meta-analysis. *J Psychosom Res.* 2016 Oct;89:20–25. - [PubMed](#)³⁶⁰
- Taffe L., Stancil K., Bond V., Pemminati S., Gorantla V.R., Kador K. Differentiation of overweight from normal weight young adults by postprandial heart rate variability and systolic blood pressure. *J Clin Diagnostic Res.* 2016 Aug;10(8):CC01–CC06. - [PMC](#)³⁶¹ - [PubMed](#)³⁶²
- Gupta J., Dube A., Singh V., Gupta R.C. Spectral analysis of heart rate variability in bronchial asthma patients. *Indian J Physiol Pharmacol.* 2012;56(4):330–336. - [PubMed](#)³⁶³
- Sorokin O.V., Subotalov M.A. Material of the all-Russian scientific and practical conference with international presence, October 26–27, 2011 Kemerovo, Russia. 2011. Comparative medical research of VedaPulse hardware and software kit // Health maintaining activities in educational system: theory and practice; pp. 225–230.
- Kelkar P., Karamchandani S., Jinda S. Proceedings of conference on advance applications in physiological variability, BARC. 2010. Identifying tridosha for disease characterisation in morphology of an IPG pulse waveform.
- Singh Harupjit. Thapar University; Patiala: 2016. Relationship between three ayurvedic doshas and heart rate variability frequency bands: a pilot study.
- Deshpande H., Shivakumar, Kavita M.B., Tripathy T.B., Chaturvedi A. Healthcare and disease management in Ayurveda. *Altern Ther Health Med.* 2001;7(2):44–50. - [PubMed](#)³⁶⁴
- Anthony J.V., Joanne M.G. Understanding interobserver agreement: the kappa statistic. *Fam Med.* 2005 May;37(5):360–363. - [PubMed](#)³⁶⁵
- Telles S., Pathak S., Kumar A., Mishra P., Balkrishna A. Ayurvedic doshas as predictors of sleep quality. *Med Sci Monit.* 2015;21:1421–1427. - [PMC](#)³⁶⁶ - [PubMed](#)³⁶⁷
- Bell C., Heidel R.E., Sunega J., Drisko J. Ancient wisdom. Can ayurvedic prakriti provide invaluable insights into integrative medicine? *Ayurveda J Health.* 2017;27:27–34.
- Cohen S., Kamarck T., Mermelstein R. A global measure of perceived stress. *J Health Soc Behav.* 1983;24(4):385–396. - [PubMed](#)³⁶⁸
- Travis F.T., Wallace R.K. Doša brain-types: a neural model of individual differences. *J Ayurveda Integr Med.* 2015;6(4):280–285. - [PMC](#)³⁶⁹ - [PubMed](#)³⁷⁰
- Dey S., Pahwa P. Prakriti and its associations with metabolism, chronic diseases, and genotypes: possibilities of new born screening and a lifetime of personalized prevention. *J Ayurveda Integr Med.* 2014;5(1):15–24. - [PMC](#)³⁷¹ - [PubMed](#)³⁷²
- Puruya M.C., Meena M.S. A review on role of prakriti in aging. *Ayu.* 2011;32(1):20–24. - [PMC](#)³⁷³ - [PubMed](#)³⁷⁴
- Pham, T., Lau, Z. J., Chen, S. H. A., & Makowski, D. (2021). Heart Rate Variability in Psychology: A Review of HRV Indices and an Analysis Tutorial. *Sensors (Basel, Switzerland)*, 21 (12), 3998. [Crossref](#)³⁷⁵
- Lombardi F., Malliani A., Pagani M., Cerutti S. Heart Rate Variability and Its Sympatho-Vagal Modulation. *Cardiovasc. Res.* 1996;32:208–216. doi: 10.1016/0008-6363(96)00116-2. - [DOI](#)³⁷⁶ - [PubMed](#)³⁷⁷
- Mccrarty R., Shaffer F. Heart Rate Variability: New Perspectives on Physiological Mechanisms, Assessment of Self-regulatory Capacity, and Health Risk. *Glob. Adv. Heal. Med.* 2015;4:46–61. doi: 10.7453/gahmj.2014.073. - [DOI](#)³⁷⁸ - [PMC](#)³⁷⁹ - [PubMed](#)³⁸⁰
- Thayer J.F., Yamamoto S.S., Brosschot J.F. The relationship of autonomic imbalance, heart rate variability and cardiovascular disease risk factors. *Int. J. Cardiol.* 2010;141:122–131. doi: 10.1016/j.ijcard.2009.09.543. - [DOI](#)³⁸¹ - [PubMed](#)³⁸²
- Tiwari, R., Kumar, R., Malik, S., Raj, T., & Kumar, P. (2021). Analysis of Heart Rate Variability and Implication of Different Factors on Heart Rate Variability. *Current cardiology reviews*, 17 (5), e160721189770. [Crossref](#)³⁸³
- Roy, S., Goswami, D. P., & Sengupta, A. (2020). Geometry of the Poincaré plot can segregate the two arms of autonomic nervous system - A hypothesis. *Medical hypotheses*, 138, 109574. [Crossref](#)³⁸⁴
- Gullett, N., Zajkowska, Z., Walsh, A., Harper, R., & Mondelli, V. (2023). Heart rate variability (HRV) as a way to understand associations between the autonomic nervous system (ANS) and affective states: A critical review of the literature. *International journal of psychophysiology : official journal of the International Organization of Psychophysiology*, 192, 35–42. [Crossref](#)³⁸⁵
- Zou L., Sasaki J.E., Wei G.X., Huang T., Yeung A.S., Neto O.B., Chen K.W., Hui S.S. Effects of Mind-Body Exercises (Tai Chi/Yoga) on Heart Rate Variability Parameters and Perceived Stress: A Systematic Review with Meta-Analysis of Randomized Controlled Trials. *J. Clin. Med.* 2018;7:404. doi: 10.3390/jcm7110404. - [DOI](#)³⁸⁶ - [PMC](#)³⁸⁷ - [PubMed](#)³⁸⁸
- Danylova T.V., Shmarhun V.M., Vertel A.V., Matyushko B.K., Bondarenko A.F., Kyckhyruk T., Petersen J. Effects of the eastern mind-body practices on mental health during the COVID-19 pandemic: When east meets west. *Wiad. Lek.* 2021;74:2850–2855. doi: 10.36740/WLek202111130. - [DOI](#)³⁸⁹ - [PubMed](#)³⁹⁰
- Feneberg A.C., Nater U.M. An Ecological Momentary Music Intervention for the Reduction of Acute Stress in Daily Life: A Mixed Methods Feasibility Study. *Front. Psychol.* 2022;13:927705. doi: 10.3389/fpsyg.2022.927705. - [DOI](#)³⁹¹ - [PMC](#)³⁹² - [PubMed](#)³⁹³
- Breit S., Kupferberg A., Rogler G., Hasler G. Vagus Nerve as Modulator of the Brain-Gut Axis in Psychiatric and Inflammatory Disorders. *Front. Psychiatry.* 2018;9:44. doi: 10.3389/fpsyg.2018.00044. - [DOI](#)³⁹⁴ - [PMC](#)³⁹⁵ - [PubMed](#)³⁹⁶
- Laborde S., Mosley E., Thayer J.F. Heart rate variability and cardiac vagal tone in psychophysiological research—recommendations for experiment planning, data analysis, and data reporting. *Front. Psychol.* 2017;8:213. doi: 10.3389/fpsyg.2017.00213. - [DOI](#)³⁹⁷ - [PMC](#)³⁹⁸ - [PubMed](#)³⁹⁹
368. <https://pubmed.ncbi.nlm.nih.gov/6668417/>
369. <http://www.ncbi.nlm.nih.gov/pmc/articles/pmc4719489/>
370. <https://pubmed.ncbi.nlm.nih.gov/26834428/>
371. <http://www.ncbi.nlm.nih.gov/pmc/articles/pmc4012357/>
372. <https://pubmed.ncbi.nlm.nih.gov/24812471/>
373. <http://www.ncbi.nlm.nih.gov/pmc/articles/pmc3215411/>
374. <https://pubmed.ncbi.nlm.nih.gov/22131753/>
375. <https://doi.org/10.3390/s21123998>
376. [https://doi.org/10.1016/0008-6363\(96\)00116-2](https://doi.org/10.1016/0008-6363(96)00116-2)
377. <https://pubmed.ncbi.nlm.nih.gov/8796106/>
378. <https://doi.org/10.7453/gahmj.2014.073>
379. <http://www.ncbi.nlm.nih.gov/pmc/articles/pmc4311559/>
380. <https://pubmed.ncbi.nlm.nih.gov/25694852/>
381. <https://doi.org/10.1016/j.ijcard.2009.09.543>
382. <https://pubmed.ncbi.nlm.nih.gov/19910061/>
383. <https://doi.org/10.2174/1573403X16099201231203854>
384. <https://doi.org/10.1016/j.mech.2020.109574>
385. <https://doi.org/10.1016/j.jpsycho.2023.08.001>
386. <https://doi.org/10.3390/jcm7110404>
387. <http://www.ncbi.nlm.nih.gov/pmc/articles/pmc6262541/>
388. <https://pubmed.ncbi.nlm.nih.gov/30384420/>
389. <https://doi.org/10.36740/wlek202111130>
390. <https://pubmed.ncbi.nlm.nih.gov/35023505/>
391. <https://doi.org/10.3389/fpsyg.2022.927705>
392. <http://www.ncbi.nlm.nih.gov/pmc/articles/pmc9558284/>
393. <https://pubmed.ncbi.nlm.nih.gov/36248548/>
394. <https://doi.org/10.3389/fpsyg.2018.00044>
395. <http://www.ncbi.nlm.nih.gov/pmc/articles/pmc5859128/>
396. <https://pubmed.ncbi.nlm.nih.gov/29593576/>
397. <https://doi.org/10.3389/fpsyg.2017.00213>
398. <http://www.ncbi.nlm.nih.gov/pmc/articles/pmc5316555/>
399. <https://pubmed.ncbi.nlm.nih.gov/28265249/>

- Chesky K.S., Michel D.E. The Music Vibration Table (MVT): Developing a Technology and Conceptual Model for Pain Relief. *Music Ther. Perspect.* 1991;9:32–38. doi: 10.1093/mtp/9.1.32. - DOI⁴⁰⁰
- Campbell E., Burger B., Ala-Ruona E. A Single-Case, Mixed Methods Study Exploring the Role of Music Listening in Vibroacoustic Treatment. *Voices World Forum Music Ther.* 2019;19:27. doi: 10.15845/voices.v19i2.2556. - DOI⁴⁰¹
- Braun Janzen T., Al Shirawi M.I., Rotzinger S., Kennedy S.H., Bartel L. A Pilot Study Investigating the Effect of Music-Based Intervention on Depression and Anhedonia. *Front. Psychol.* 2019;10:1038. doi: 10.3389/fpsyg.2019.01038. - DOI⁴⁰² - PMC⁴⁰³ - PubMed⁴⁰⁴
- Karkkainen M., Mitsui J. The Effects of Sound Based Vibration Treatment on the Human Mind and Body the Physioacoustic Method. *J. Int. Soc. Life Inf. Sci.* 2006;24:155–164. doi: 10.18936/isis.24.1_155. - DOI⁴⁰⁵
- Jirakitayakorn N., Wongsawat Y. Brain Responses to 40-Hz Binaural Beat and Effects on Emotion and Memory. *Int. J. Psychophysiol.* 2017;120:96–107. doi: 10.1016/j.ijpsycho.2017.07.010. - DOI⁴⁰⁶ - PubMed⁴⁰⁷
- Fooks C., Niebuhr O. Assessing Vibroacoustic Sound Massage Through The Biosignal of Human Speech: Evidence of Improved Wellbeing; Proceedings of the IEEE International Conference on Acoustics, Speech and Signal Processing (ICASSP); Seoul, Republic of Korea. 14–19 April 2024; pp. 11401–11405.
- Gitler, A., Vanacker, L., De Couck, M., De Leeuw, I., & Gidron, Y. (2022). Neuromodulation Applied to Diseases: The Case of HRV Biofeedback. *Journal of clinical medicine*, 11 (19), 5927. [Crossref⁴⁰⁸](#)
- Zhu, J., Ji, L., & Liu, C. (2019). Heart rate variability monitoring for emotion and disorders of emotion. *Physiological measurement*, 40 (6), 064004. [Crossref⁴⁰⁹](#)
- Nunan, D., Sandercock, G. R., & Brodie, D. A. (2010). A quantitative systematic review of normal values for short-term heart rate variability in healthy adults. *Pacing and clinical electrophysiology : PACE*, 33 (11), 1407–1417. [Crossref⁴¹⁰](#)
- Qu, X., Wu, Y., Liu, J., & Cui, L. (2020). HRV-Spark: Computing Heart Rate Variability Measures Using Apache Spark. *Proceedings. IEEE International Conference on Bioinformatics and Biomedicine*, 2020, 10.1109/bibm49941.2020.9313361. [Crossref⁴¹¹](#)
- Rahul, L. R., Sarkar, R., Sengupta, A., Chandra, B. S., & Jana, S. (2023). Novel AI-based HRV analysis (NAIHA) in healthcare automation and related applications. *Journal of electrocardiology*, 79, 112–121. [Crossref⁴¹²](#)
- Taoum, A., Bisiaux, A., Tilquin, F., Le Guillou, Y., & Carrault, G. (2022). Validity of Ultra-Short-Term HRV Analysis Using PPG-A Preliminary Study. *Sensors (Basel, Switzerland)*, 22 (20), 7995. [Crossref⁴¹³](#)
- Ortega, E., Bryan, C. Y. X., & Christine, N. S. C. (2024). The Pulse of Singapore: Short-Term HRV Norms. *Applied psychophysiology and biofeedback*, 49 (1), 55–61. [Crossref⁴¹⁴](#)
- Vondrasek, J. D., Riemann, B. L., Grosicki, G. J., & Flatt, A. A. (2023). Validity and Efficacy of the Elite HRV Smartphone Application during Slow-Paced Breathing. *Sensors (Basel, Switzerland)*, 23 (23), 9496. [Crossref⁴¹⁵](#)
- Malik M., Bigger J.T., Camm A.J., Kleiger R.E., Malliani A., Moss A.J., Schwartz P.J. Heart rate variability: Standards of measurement, physiological interpretation, and clinical use. *Eur. Heart J.* 1996;17:354–381. doi: 10.1093/oxfordjournals.eurheartj.a014868. - DOI⁴¹⁶ - PubMed⁴¹⁷
- Shaffer F., McCraty R., Zerr C.L. A healthy heart is not a metronome: An integrative review of the heart's anatomy and heart rate variability. *Front. Psychol.* 2014;5:1040. doi: 10.3389/fpsyg.2014.01040. - DOI⁴¹⁸ - PMC⁴¹⁹ - PubMed⁴²⁰
- Grosicki G.J., Culver M.N., McMillan N.K., Cross B.L., Montoye A.H.K., Riemann B.L., Flatt A.A. Self-recorded heart rate variability profiles are associated with health and lifestyle markers in young adults. *Clin. Auton. Res.* 2022;32:507–518. doi: 10.1007/s10286-022-00884-z. - DOI⁴²¹ - PubMed⁴²²
- Natarajan A., Pantelopoulou A., Emir-Farinas H., Natarajan P. Heart rate variability with photoplethysmography in 8 million individuals: A cross-sectional study. *Lancet Digit. Health.* 2020;2:e650–e657. doi: 10.1016/S2589-7500(20)30246-6. - DOI⁴²³ - PubMed⁴²⁴
- Talbert, L. D., Kaelberer, Z., Gleave, E., Driggs, A., Driggs, A. S., Steffen, P. R. <https://doi.org/10.1093/mtp/9.1.32>
- <https://doi.org/10.15845/voices.v19i2.2556>
- <https://doi.org/10.3389/fpsyg.2019.01038>
- <http://www.ncbi.nlm.nih.gov/pmc/articles/pmc6517496/>
- <https://pubmed.ncbi.nlm.nih.gov/31133945/>
- https://doi.org/10.18936/isis.24.1_155
- <https://doi.org/10.1016/j.ijpsycho.2017.07.010>
- <https://pubmed.ncbi.nlm.nih.gov/28739482/>
- <https://doi.org/10.3390/jcm11195927>
- <https://doi.org/10.1088/1361-6579/ab1887>
- <https://doi.org/10.1111/j.1540-8159.2010.02841.x>
- <https://doi.org/10.1109/bibm49941.2020.9313361>
- <https://doi.org/10.1016/j.jelectrocard.2023.03.013>
- <https://doi.org/10.3390/s22207995>
- <https://doi.org/10.1007/s10484-023-09603-4>
- <https://doi.org/10.3390/s23239496>
- <https://doi.org/10.1093/oxfordjournals.eurheartj.a014868>
- <https://pubmed.ncbi.nlm.nih.gov/8737210/>
- <https://doi.org/10.3389/fpsyg.2014.01040>
- <http://www.ncbi.nlm.nih.gov/pmc/articles/pmc4179478/>
- <https://pubmed.ncbi.nlm.nih.gov/25324790/>
- <https://doi.org/10.1007/s10286-022-00884-z>
- <https://pubmed.ncbi.nlm.nih.gov/35999422/>
- [https://doi.org/10.1016/s2589-7500\(20\)30246-6](https://doi.org/10.1016/s2589-7500(20)30246-6)
- <https://pubmed.ncbi.nlm.nih.gov/33328029/>
- Baldwin, S. A., & Larson, M. J. (2023). A systematic review of heart rate variability (HRV) biofeedback treatment following traumatic brain injury (TBI). *Brain injury*, 37 (7), 635–642. [Crossref⁴²⁵](#)
- Jeyhani, V., Mahdiani, S., Peltokangas, M., & Vehkaoja, A. (2015). Comparison of HRV parameters derived from photoplethysmography and electrocardiography signals. *Annual International Conference of the IEEE Engineering in Medicine and Biology Society. IEEE Engineering in Medicine and Biology Society. Annual International Conference*, 2015, 5952–5955. [Crossref⁴²⁶](#)
- Brennan, M., Palaniswami, M., & Kamen, P. (2002). Poincaré plot interpretation using a physiological model of HRV based on a network of oscillators. *American journal of physiology. Heart and circulatory physiology*, 283 (5), H1873–H1886. [Crossref⁴²⁷](#)
- Ken Umetani MD A B C, Donald H Singer MD, FACC A B, Rollin McCraty MS C, Mike Atkinson C, Twenty-Four Hour Time Domain Heart Rate Variability and Heart Rate: Relations to Age and Gender Over Nine Decades. [DOI⁴²⁸](#), [ScienceDirect⁴²⁹](#)
- ## Mente/corpo
- Borghesi, F., Cremascoli, R., Chirico, A., Bianchi, L., Di Moia, A., Priano, L., Piedimonte, A., Mauro, A., & Cipresso, P. (2024). Mind and body connection in expert meditators: a computational study based on central and peripheral nervous system. *BMC complementary medicine and therapies*, 24 (1), 117. [Crossref⁴³⁰](#)
- Brandmeyer T, Delorme A, Wahbeh H. The neuroscience of meditation: classification, phenomenology, correlates, and mechanisms. *Prog Brain Res.* 2019;1(244):1–29. - PubMed⁴³¹
- Travis F, Shear J. Focused attention, open monitoring and automatic self-transcending: categories to organize meditations from Vedic, Buddhist Chinese Traditions. *Conscious Cogn.* 2010;19(4):1110–1118. doi: 10.1016/j.concog.2010.01.007. - DOI⁴³² - PubMed⁴³³
- Liberman N, Trope Y. The psychology of transcending the here and now. *Science.* 2008;322(5905):1201–5. doi: 10.1126/science.1161958. - DOI⁴³⁴ - PMC⁴³⁵ - PubMed⁴³⁶
- Ahani A, Wahbeh H, Nezamfar H, Miller M, Erdogmus D, Oken B. Quantitative change of EEG and respiration signals during mindfulness meditation. *J Neuroeng Rehabil.* 2014;11(1):1. doi: 10.1186/1743-0003-11-87. - DOI⁴³⁷ - PMC⁴³⁸ - PubMed⁴³⁹
- Ahani A, Wahbeh H, Miller M, Nezamfar H, Erdogmus D, Oken B. Change in physiological signals during mindfulness meditation. *Int IEEE EMBS Conf Neural Eng.* 2012;1378–81. - PMC⁴⁴⁰ - PubMed⁴⁴¹
- Stapleton P, Dispenza J, McGill S, Sabot D, Peach M, Raynor D. Large effects of brief meditation intervention on EEG spectra in meditation novices. *IBRO Rep.* 2020;1(9):290–301. doi: 10.1016/j.ibror.2020.10.006. - DOI⁴⁴² - PMC⁴⁴³ - PubMed⁴⁴⁴
- Travis F, Haaga DAF, Hagelin J, Tanner M, Nidich S, Gaylord-King C, et al. Effects of Transcendental Meditation practice on brain functioning and stress reactivity in college students. *Int J Psychophysiol.* 2009;71(2):170–176. doi: 10.1016/j.ijpsycho.2008.09.007. - DOI⁴⁴⁵ - PubMed⁴⁴⁶
- Phongsuphap S, Pongsupap Y, Chandanamatta P, Lursinsap C. Changes in heart rate variability during concentration meditation. *Int J Cardiol.* 2008;130(3):481–484. doi: 10.1016/j.ijcard.2007.06.103. - DOI⁴⁴⁷ - PubMed⁴⁴⁸
- Nesvold A, Fagerland MW, Davanger S, Ellingsen Ø, Solberg EE, Hølen A, et al. Increased heart rate variability during nondirective meditation. *Eur J Prev Cardiol.* 2012;19(4):773–80. doi: 10.1177/1741826711414625. - DOI⁴⁴⁹ - PubMed⁴⁵⁰
- Léonard A, Clément S, Kuo CD, Manto M. Changes in heart rate variability during heartfulness meditation: a power spectral analysis including the residual spectrum. *Front Cardiovasc Med.* 2019;14(6):62. doi: 10.3389/fcvm.2019.00062. - DOI⁴⁵¹ - PMC⁴⁵² - PubMed⁴⁵³
- Pasquini HA, Tanaka GK, Basile LFH, Velasques B, Lozano MD, Ribeiro P. Electrophysiological correlates of long-term Soto Zen meditation. *Biomed Res Int.* 2015;2015:598496. doi: 10.1155/2015/598496. - DOI⁴⁵⁴ - PMC⁴⁵⁵ - PubMed⁴⁵⁶
- Cipresso P, Serino S, Borghesi F, Tartarisco G, Riva G, Pioggia G, et al. Continuous <https://doi.org/10.1080/02699052.2023.2208880>
- <https://doi.org/10.1109/EMBC.2015.7319747>
- <https://doi.org/10.1152/ajpheart.00405.2000>
- [https://doi.org/10.1016/S0735-1097\(97\)00554-8](https://doi.org/10.1016/S0735-1097(97)00554-8)
- <https://www.sciencedirect.com/science/article/pii/S0735109797005548>
- <https://doi.org/10.1186/s12906-024-0413-5>
- <https://pubmed.ncbi.nlm.nih.gov/30732832/>
- <https://doi.org/10.1016/j.concog.2010.01.007>
- <https://pubmed.ncbi.nlm.nih.gov/20167507/>
- <https://doi.org/10.1126/science.1161958>
- <http://www.ncbi.nlm.nih.gov/pmc/articles/pmc2643344/>
- <https://pubmed.ncbi.nlm.nih.gov/19023074/>
- <https://doi.org/10.1186/1743-0003-11-87>
- <http://www.ncbi.nlm.nih.gov/pmc/articles/pmc4060143/>
- <https://pubmed.ncbi.nlm.nih.gov/24939519/>
- <http://www.ncbi.nlm.nih.gov/pmc/articles/pmc3988787/>
- <https://pubmed.ncbi.nlm.nih.gov/24748422/>
- <https://doi.org/10.1016/j.ibror.2020.10.006>
- <http://www.ncbi.nlm.nih.gov/pmc/articles/pmc7649620/>
- <https://pubmed.ncbi.nlm.nih.gov/53204893/>
- <https://doi.org/10.1016/j.ijpsycho.2008.09.007>
- <https://pubmed.ncbi.nlm.nih.gov/18854202/>
- <https://doi.org/10.1016/j.jcard.2007.06.103>
- <https://pubmed.ncbi.nlm.nih.gov/1764770/>
- <https://doi.org/10.1177/1741826711414625>
- <https://pubmed.ncbi.nlm.nih.gov/21693507/>
- <https://doi.org/10.3389/fcvm.2019.00062>
- <https://doi.org/10.1155/2015/598496>
- <https://pubmed.ncbi.nlm.nih.gov/3119634/>
- <https://doi.org/10.1155/2015/598496>
- <http://www.ncbi.nlm.nih.gov/pmc/articles/pmc4302970/>
- <https://pubmed.ncbi.nlm.nih.gov/25632397/>

- measurement of stress levels in naturalistic settings using heart rate variability: an experience-sampling study driving a machine learning approach. *Acta IMEKO*. 2021;10(4):239. doi: 10.21014/acta_imeko.v10i4.1183. - DOI⁴⁵⁷
- Berntson GG, Thomas Bigger J, Eckberg DL, Grossman P, Kaufmann PG, Malik M, et al. Heart rate variability: origins, methods, and interpretive caveats. *Psychophysiology*. 1997;34(6):623–648. doi: 10.1111/j.1469-8986.1997.tb02140.x. - DOI⁴⁵⁸ - PubMed⁴⁵⁹
- Acharya UR, Joseph KP, Kannathal N, Lim CM, Suri JS. Heart rate variability: a review. *Med Biol Eng Comput*. 2006;44(12):1031–1051. doi: 10.1007/s11517-006-0119-0. - DOI⁴⁶⁰ - PubMed⁴⁶¹
- Fell J, Axmacher N, Haupt S. From alpha to gamma: Electrophysiological correlates of meditation-related states of consciousness. *Med Hypotheses*. 2010;75(2):218–224. doi: 10.1016/j.mehy.2010.02.025. - DOI⁴⁶² - PubMed⁴⁶³
- Rodriguez-Larios J, Faber P, Achermann P, Tei S, Alaerts K. From thoughtless awareness to effortful cognition: alpha - theta cross-frequency dynamics in experienced meditators during meditation, rest and arithmetic. *Sci Rep*. 2020;10(1):1–11. doi: 10.1038/s41598-020-62392-2. - DOI⁴⁶⁴ - PMC⁴⁶⁵ - PubMed⁴⁶⁶
- Cahn BR, Delorme A, Polich J. Occipital gamma activation during Vipassana meditation. *Cogn Process*. 2010;11(1):39–56. doi: 10.1007/s10339-009-0352-1. - DOI⁴⁶⁷ - PMC⁴⁶⁸ - PubMed⁴⁶⁹
- Borghesi F, Chirico A, Pedroli E, Cipriani GE, Canessa N, Amanzio M, et al. Exploring Biomarkers of mental flexibility in healthy aging: a computational psychometric study. *Sensors (Basel)* 2023;23(15):6983. doi: 10.3390/s23156983. - DOI⁴⁷⁰ - PMC⁴⁷¹ - PubMed⁴⁷²
- Fang, S., & Zhang, W. (2024). Heart-Brain Axis: A Narrative Review of the Interaction between Depression and Arrhythmia. *Biomedicines*, 12 (8), 1719. [Crossref⁴⁷³](#)
- Gullett N., Zajkowska Z., Walsh A., Harper R., Mondelli V. Heart rate variability (HRV) as a way to understand associations between the autonomic nervous system (ANS) and affective states: A critical review of the literature. *Int. J. Psychophysiol*. 2023;192:35–42. doi: 10.1016/j.ijpsycho.2023.08.001. - DOI⁴⁷⁴ - PubMed⁴⁷⁵
- Bassett D. A literature review of heart rate variability in depressive and bipolar disorders. *Aust. New Zealand J. Psychiatry*. 2015;50:511–519. doi: 10.1177/0004867415622689. - DOI⁴⁷⁶ - PubMed⁴⁷⁷
- Zhu J., Ji L., Liu C. Heart rate variability monitoring for emotion and disorders of emotion. *Physiol. Meas.* 2019;40:064004. doi: 10.1088/1361-6579/ab1887. - DOI⁴⁷⁸ - PubMed⁴⁷⁹
- Chalmers J.A., Quintana D.S., Abbott M.J., Kemp A.H. Anxiety Disorders are Associated with Reduced Heart Rate Variability: A Meta-Analysis. *Front. Psychiatry*. 2014;5:80. doi: 10.3389/fpsy.2014.00080. - DOI⁴⁸⁰ - PMC⁴⁸¹ - PubMed⁴⁸²
- Chang H.A., Chang C.C., Chen C.L., Kuo T.B., Lu R.B., Huang S.Y. Major depression is associated with cardiac autonomic dysregulation. *Acta Neuropsychiatr*. 2012;24:318–327. doi: 10.1111/j.1601-5215.2011.00647.x. - DOI⁴⁸³ - PubMed⁴⁸⁴
- Burke J.H., Goldberger J.J., Ehler F.A., Kruse J.T., Parker M.A., Kadish A.H. Gender differences in heart rate before and after autonomic blockade: Evidence against an intrinsic gender effect. *Am. J. Med.* 1996;100:537–543. doi: 10.1016/S0002-9343(96)00018-6. - DOI⁴⁸⁵ - PubMed⁴⁸⁶
- Kittnar O. Sex Related Differences in Electrocardiography. *Physiol. Res*. 2023;72:S127–S135. doi: 10.33549/physiores.934952. - DOI⁴⁸⁷ - PMC⁴⁸⁸ - PubMed⁴⁸⁹
- Kotov R., Gamez W., Schmidt F., Watson D. Linking “big” personality traits to anxiety, depressive, and substance use disorders: A meta-analysis. *Psychol. Bull*. 2010;136:768–821. doi: 10.1037/a0020327. - DOI⁴⁹⁰ - PubMed⁴⁹¹
- Godin P.J., Buchman T.G. Uncoupling of biological oscillators: A complementary hypothesis concerning the pathogenesis of multiple organ dysfunction syndrome. *Crit. Care Med*. 1996;24:1107–1116. doi: 10.1097/00003246-199607000-00008. - DOI⁴⁹² - PubMed⁴⁹³
457. https://doi.org/10.21014/acta_imeko.v10i4.1183
458. <https://doi.org/10.1111/j.1469-8986.1997.tb02140.x>
459. <https://pubmed.ncbi.nlm.nih.gov/9401419/>
460. <https://doi.org/10.1007/s11517-006-0119-0>
461. <https://pubmed.ncbi.nlm.nih.gov/17111118/>
462. <https://doi.org/10.1016/j.mehy.2010.02.025>
463. <https://pubmed.ncbi.nlm.nih.gov/20227193/>
464. <https://doi.org/10.1038/s41598-020-62392-2>
465. <http://www.ncbi.nlm.nih.gov/pmc/articles/pmc7096392/>
466. <https://pubmed.ncbi.nlm.nih.gov/52214173/>
467. <https://doi.org/10.1007/s10339-009-0352-1>
468. <http://www.ncbi.nlm.nih.gov/pmc/articles/pmc2812711/>
469. <https://pubmed.ncbi.nlm.nih.gov/20013298/>
470. <https://doi.org/10.3390/s23156983>
471. <http://www.ncbi.nlm.nih.gov/pmc/articles/pmc10422551/>
472. <https://pubmed.ncbi.nlm.nih.gov/37571766/>
473. <https://doi.org/10.3390/biomedicines12081719>
474. <https://doi.org/10.1016/j.ijpsycho.2023.08.001>
475. <https://pubmed.ncbi.nlm.nih.gov/37543289/>
476. <https://doi.org/10.1177/0004867415622689>
477. <https://pubmed.ncbi.nlm.nih.gov/26698824/>
478. <https://doi.org/10.1088/1361-6579/ab1887>
479. <https://pubmed.ncbi.nlm.nih.gov/30974428/>
480. <https://doi.org/10.3389/fpsy.2014.00080>
481. <http://www.ncbi.nlm.nih.gov/pmc/articles/pmc4092363/>
482. <https://pubmed.ncbi.nlm.nih.gov/25071612/>
483. <https://doi.org/10.1111/j.1601-5215.2011.00647.x>
484. <https://pubmed.ncbi.nlm.nih.gov/25287173/>
485. [https://doi.org/10.1016/s0002-9343\(96\)00018-6](https://doi.org/10.1016/s0002-9343(96)00018-6)
486. <https://pubmed.ncbi.nlm.nih.gov/8644766/>
487. <https://doi.org/10.33549/physiores.934952>
488. <http://www.ncbi.nlm.nih.gov/pmc/articles/pmc10660582/>
489. <https://pubmed.ncbi.nlm.nih.gov/37565417/>
490. <https://doi.org/10.1037/a0020327>
491. <https://pubmed.ncbi.nlm.nih.gov/20804236/>
492. <https://doi.org/10.1097/00003246-199607000-00008>
493. <https://pubmed.ncbi.nlm.nih.gov/8674321/>
494. <https://doi.org/10.3390/s23208636>
495. <https://doi.org/10.3390/s23052455>
496. <http://www.ncbi.nlm.nih.gov/pmc/articles/pmc10007272/>
497. <https://pubmed.ncbi.nlm.nih.gov/36904659/>
498. <https://doi.org/10.1038/s41598-019-42826-2>
499. <https://doi.org/10.1007/s13369-022-07585-9>
500. <https://doi.org/10.3390/s2115015>
501. <https://doi.org/10.1109/JBHI.2024.3403188>
502. <https://pubmed.ncbi.nlm.nih.gov/32119483/>
503. <https://pubmed.ncbi.nlm.nih.gov/10474985/>
504. <https://doi.org/10.2466/pr0.103.2.588-590>
505. <https://pubmed.ncbi.nlm.nih.gov/8458560/>
506. <https://pubmed.ncbi.nlm.nih.gov/14998709/>
507. <https://doi.org/10.3109/09553002.2011.538130>
508. <https://doi.org/10.1038/s41598-018-30453-2>
509. <https://doi.org/10.1038/s41598-023-36801-1>
510. <https://www.researchgate.net/publication/326972894>
511. <https://www.researchgate.net/publication/330217977>
512. <https://www.researchgate.net/publication/228926241>
513. <https://www.molbiolcell.org/doi/full/10.1091/mbc.E23-08-0312>
514. <https://doi.org/10.1103/PhysRevLett.122.084501>
- Wang, L., Hao, J., & Zhou, T. H. (2023). ECG Multi-Emotion Recognition Based on Heart Rate Variability Signal Features Mining. *Sensors (Basel, Switzerland)*, 23 (20), 8636. [Crossref⁴⁹⁴](#)
- Cai Y., Li X., Li J. Emotion Recognition Using Different Sensors, Emotion Models, Methods and Datasets: A Comprehensive Review. *Sensors*. 2023;23:2455. doi: 10.3390/s23052455. - DOI⁴⁹⁵ - PMC⁴⁹⁶ - PubMed⁴⁹⁷
- Xiefeng, C., Wang, Y., Dai, S., Zhao, P., & Liu, Q. (2019). Heart sound signals can be used for emotion recognition. *Scientific reports*, 9 (1), 6486. [Crossref⁴⁹⁸](#)
- Hasnul, M. A., Ab Aziz, N. A., & Abd Aziz, A. (2023). Augmenting ECG Data with Multiple Filters for a Better Emotion Recognition System. *Arabian journal for science and engineering*, 1–22. Advance online publication. [Crossref⁴⁹⁹](#)
- Hasnul, M. A., Aziz, N. A. A., Alelyani, S., Mohana, M., & Aziz, A. A. (2021). Electrocardiogram-Based Emotion Recognition Systems and Their Applications in Healthcare-A Review. *Sensors (Basel, Switzerland)*, 21 (15), 5015. [Crossref⁵⁰⁰](#)
- Li, Y., Tan, R., Lin, T., Liu, Q., Wang, C. D., & Chen, M. (2024). ER-GET: Emotion Recognition Based on Global ECG Trajectory. *IEEE journal of biomedical and health informatics*, 28 (9), 5201–5213. [Crossref⁵⁰¹](#)
- Woods, R. A., & Hill, P. B. (2022). Myers Brigg. In *StatPearls*. StatPearls Publishing. [PubMed⁵⁰²](#)
- Wallick, M. M., & Cambre, K. M. (1999). Personality types in academic medicine. *The Journal of the Louisiana State Medical Society : official organ of the Louisiana State Medical Society*, 151 (7), 378–383. [PubMed⁵⁰³](#)
- Tobacyk, J. J., Livingston, M. M., & Robbins, J. E. (2008). Relationships between Myers-Briggs type indicator measure of psychological type and neo measure of big five personality factors in Polish University students: a preliminary cross-cultural comparison. *Psychological reports*, 103 (2), 588–590. [Crossref⁵⁰⁴](#)
- Eicke, F. J., Blake, G., & Replogle, W. (1993). A comparative view of the Myers-Briggs type indicator. *Family medicine*, 25 (3), 186–190. [PubMed⁵⁰⁵](#)
- Ranganathan VK, Siemionov V, Liu JZ, Sahgal V, Yue GH. From mental power to muscle power—gaining strength by using the mind. *Neuropsychologia*. 2004;42(7):944–56. doi: 10.1016/j.neuropsychologia.2003.11.018. PMID: 14998709. [PubMed⁵⁰⁶](#)

Electromagnetism

Blank, Martin; Goodman, Reba . (2011). DNA is a fractal antenna in electromagnetic fields. *International Journal of Radiation Biology*, 87(4), 409–415. [Crossref⁵⁰⁷](#)

Cantero, M.d.R., Villa Eteghoyen, C., Perez, P.L. et al. Bundles of Brain Microtubules Generate Electrical Oscillations. *Sci Rep* 8, 11899 (2018). [Crossref⁵⁰⁸](#)

Gutierrez, B.C., Cantiello, H.F. & Cantero, M. The electrical properties of isolated microtubules. *Sci Rep* 13, 10165 (2023). [Crossref⁵⁰⁹](#)

Meijer, Dirk. (2018). Processes of Science and Art Modeled as a Holoflux of Information Using Toroidal Geometry. *Open Journal of Philosophy*. 8. 365-400. [10.4236/ojpp.2018.84026⁵¹⁰](#)

Kuman, Maria. (2018). Our Weak Nonlinear Electromagnetic Field (Nemf) that Rules Everything in the Body is Emotionally Sensitive. *Journal of Complementary Medicine & Alternative Healthcare*. 8. [10.19080/JCMAH.2018.08.555731⁵¹¹](#).

Leonova-Gariaeva, & Gariaev, Peter & Friedman, Mark & Leonova-Gariaeva, Ekaterina. (2011). Principles of Linguistic-Wave Genetics. *DNA Decipher Journal*. 1. [ResearchGate⁵¹²](#)

GuangJun Zhang and Michael Levin (2025) Bioelectricity is a universal multifaced signaling cue in living organisms. [10.1091/mbc.E23-08-0312⁵¹³](#)

Angelo Esposito, Rafael Krichevsky, and Alberto Nicolis (2019) Gravitational Mass Carried by Sound Waves [Crossref⁵¹⁴](#)

Addendum 3.

Bibliografia

1. "Prology: realizza il tuo progetto di vita - Libro 1: malattia, guarigione, trasmutazione: il cammino delle risorse" di Christine Degoy
Una guida innovativa che riesamina la salute e il benessere attraverso un approccio sistemico, permettendoti di ridefinire la tua esistenza e accedere a una comprensione più profonda del tuo progetto di vita. Questo libro ti fornisce gli strumenti necessari per coltivare la comunicazione interiore, trasformare la tua percezione della realtà e incarnare pienamente la tua *raison d'être*.
 2. "Prology: riscopri il significato della vita - Libro 2: Il progetto di vita nel corpo: comprendere, sbloccare, trasmutare" di Christine Degoy
Immergiti nella decodifica organica prologica per scoprire come ogni parte del tuo corpo rifletta dimensioni più profonde della tua esistenza. Questo libro esplora i legami tra le tue esperienze di vita e la tua salute fisica, offrendo chiavi per comprendere, sbloccare e trasmutare blocchi energetici. Concentrandosi sulle risorse interiori e sui potenziali nascosti, questo libro ti invita ad abbracciare il tuo progetto di vita attraverso una visione olistica, permettendoti di armonizzare il tuo corpo e la tua mente per una vita pienamente realizzata.
- ### Energia e medicina elettrica
3. "Il Corpo Elettrico: Elettromagnetismo e la Fondazione della Vita" di Robert Becker e Gary Selden
Questo libro innovativo esplora il campo elettromagnetico del corpo umano e le sue profonde implicazioni per la guarigione, il flusso energetico e la salute. La ricerca di Becker sulla bioelettricità fornisce intuizioni essenziali per comprendere la scienza dietro i sistemi energetici del corpo.
 4. "La Scintilla nella Macchina: Come la Scienza dell'Agopuntura Spiega i Misteri della Medicina Occidentale" di Dr. Daniel Keown
Il lavoro del Dr. Keown colma il divario tra la scienza medica occidentale e l'antica pratica dell'agopuntura, offrendo una spiegazione completa di come l'energia fluisce attraverso il corpo e come può essere sfruttata per la guarigione.
 5. "Medicina Energetica: La Base Scientifica" di James L. Oschman
Questo libro offre un'esplorazione approfondita della scienza dietro la medicina energetica, presentando prove di come i campi elettromagnetici, i meridiani e altri sistemi energetici influenzino la salute. Oschman attinge dalla fisica e dalla biologia per spiegare i sistemi energetici del corpo in un modo che completa sia le pratiche di guarigione convenzionali che quelle alternative.
 6. "Medicina Vibrazionale: Il Manuale #1 delle Terapie di Energia Sottile" di Richard Gerber
Il testo classico di Gerber è una risorsa essenziale per comprendere il campo della medicina energetica sottile. Fornisce una panoramica dettagliata dei campi energetici, dei chakra e di come le terapie vibrazionali funzionano per guarire il corpo e la mente.
 7. "Correnti Incrociate: I Pericoli dell'Elettropolluzione, la Promessa dell'Elettromedicina" di Robert O. Becker
Il seguito di Becker a *Il Corpo Elettrico*, questo libro indaga le implicazioni per la salute della tecnologia elettrica moderna, esplorando anche come la terapia elettromagnetica possa aiutare nella guarigione.
 8. "Biologia della Fede: Liberare il Potere della Coscienza, della Materia e dei Miracoli" di Bruce H. Lipton
Questo libro esplora l'intersezione tra biologia e fede, mostrando come la mente influenzi il corpo a livello cellulare. Lipton spiega come i campi energetici e la coscienza impattino i processi biologici.
 9. "Il Campo: La Ricerca della Forza Segreta dell'Universo" di Lynne McTaggart
McTaggart esplora la scienza all'avanguardia riguardo al campo di punto zero, un campo energetico universale che connette tutta la materia. Questo libro offre intuizioni sulla natura energetica della vita e su come possiamo sfruttare questa energia per la guarigione.
 10. "La Guarigione È Voltaggio: Il Manuale" di Jerry Tennant
Il Dr. Tennant spiega come il voltaggio nel corpo, particolarmente a livello cellulare, sia cruciale per la salute. Fornisce una visione completa di come mantenere un potenziale elettrico adeguato sia fondamentale per la guarigione e il benessere.
- ### Spiritualità Moderna
11. "La Mia Grande TOE (Teoria di Tutto)" di Thomas Campbell
Una trilogia completa che esplora la natura della realtà, della coscienza e la connessione tra il fisico e il metafisico. Campbell, un fisico e ricercatore della coscienza, mescola scienza e spiritualità per presentare un modello di esistenza che supporta la meditazione, stati alterati di coscienza e la comprensione dell'energia nell'universo.
 12. "La Mente Illuminata: Una Guida Completa alla Meditazione che Integra la Saggezza Buddhista e la Scienza del Cervello per Maggiore Consapevolezza" di John Yates (Culadasa)
La guida di Culadasa è una spiegazione approfondita e passo dopo passo della pratica della meditazione radicata sia negli antichi insegnamenti buddisti che nella neuroscienza contemporanea. Colma il divario tra le tecniche tradizionali di meditazione e le comprensioni scientifiche moderne del cervello.
 13. "Tratti Alterati: La Scienza Rivela Come la Meditazione Cambia la Tua Mente, Cervello e Corpo" di Daniel Goleman e Richard J. Davidson
Questo libro approfondisce la ricerca scientifica sulla meditazione, esplorando i suoi profondi effetti sul cervello e sul corpo. Goleman e Davidson attingono a decenni di ricerca per spiegare come la meditazione porti a cambiamenti psicologici e fisiologici duraturi.
 14. "Risvegliarsi: Una Guida alla Spiritualità Senza Religione" di Sam Harris
Sam Harris, neuroscienziato e filosofo, presenta un approccio razionale alla spiritualità e alla meditazione, fondato sia sulla scienza che sull'esperienza personale. Il suo libro è particolarmente focalizzato su come la meditazione possa portare a cambiamenti profondi nella percezione e nella comprensione della coscienza, senza la necessità di quadri religiosi.
 15. "Il Potere di Adesso: Una Guida all'Illuminazione Spirituale" di Eckhart Tolle
Il libro ampiamente letto di Tolle enfatizza l'importanza della consapevolezza e del restare presenti nel momento. I suoi insegnamenti offrono intuizioni pratiche su come vivere in modo più pieno e consapevole, in linea con gli aspetti energetici e mentali del benessere discussi in *Canta il Corpo Elettrico*.
 16. "Magia Reale: Saggezza Antica, Scienza Moderna e una Guida al Potere Segreto dell'Universo" di Dean Radin
Radin, un ricercatore di punta nel campo della parapsicologia, esplora le evidenze scientifiche per fenomeni come la telepatia, la precognizione e la psichica, tracciando connessioni tra coscienza, energia e la struttura più ampia della realtà. Questo libro fornisce una base per comprendere altre realtà oltre il fisico.
 17. "La Fisica della Coscienza: La Mente Quantistica e il Significato della Vita" di Evan Harris Walker
Questo libro approfondisce la fisica quantistica e la sua relazione con la coscienza. Walker esplora il ruolo dell'osservatore nella meccanica quantistica e presenta una teoria secondo cui la coscienza è fondamentale per l'universo, contribuendo a una comprensione più ampia dell'energia e dell'esistenza.
 18. "La Dottrina Segreta" di H.P. Blavatsky
Questo testo fondamentale della Teosofia esplora la natura dell'universo, della coscienza e dell'evoluzione spirituale.
 19. "La Filosofia Perpetua" di Aldous Huxley
Huxley esamina i fili comuni della spiritualità attraverso varie religioni, enfatizzando verità universali.

20. "Il Destino Umano" di Pierre Lecomte du Noüy
Questo libro esplora l'intersezione tra scienza, filosofia e religione, sostenendo l'idea che l'evoluzione umana sia guidata da uno scopo divino. Discute il potenziale spirituale dell'umanità e le responsabilità morali che derivano dalla coscienza umana.
21. "La Strada della Ragione" di Pierre Lecomte du Noüy
In quest'opera filosofica, Lecomte du Noüy discute l'importanza della ragione e del pensiero scientifico nella comprensione dell'universo. Si immerge anche in come il progresso scientifico debba essere integrato con lo sviluppo morale e spirituale.

Elaborazione del segnale digitale

22. "Comprendere l'Elaborazione del Segnale Digitale" di Richard G. Lyons
Questo libro fornisce un'introduzione chiara e accessibile all'elaborazione del segnale digitale (DSP), rendendo comprensibili concetti complessi anche per i principianti. Copre argomenti come filtraggio, analisi di Fourier e teoria del campionamento in modo pratico e facile da seguire, ideale per coloro che sono interessati ai fondamenti dell'elaborazione del segnale per l'analisi audio.
23. "Guida per Scienziati e Ingegneri all'Elaborazione del Segnale Digitale" di Steven W. Smith
Un libro popolare e facile da leggere che introduce i concetti di DSP con esempi e applicazioni pratiche. È una risorsa online gratuita che spiega come funziona l'elaborazione del segnale con guide passo-passo ed esempi del mondo reale, rendendolo altamente accessibile per i principianti, specialmente per coloro interessati all'analisi del segnale audio e musicale.
24. "Elaborazione del Segnale Audio Digitale" di Udo Zölzer
Questo libro introduce i principi e le applicazioni dell'elaborazione del segnale audio digitale, concentrandosi su aree come filtri digitali, effetti audio e analisi tempo-frequenza. Sebbene tecnico, il materiale è presentato in un modo che è accessibile ai lettori con conoscenze di base di DSP.
25. "Introduzione all'Analisi del Contenuto Audio: Applicazioni nell'Elaborazione del Segnale e Informatica Musicale" di Alexander Lerch
Questo testo è particolarmente utile per coloro che sono interessati all'elaborazione del segnale audio e musicale. Introduce tecniche per analizzare il contenuto audio come struttura musicale, ritmo e armonia utilizzando algoritmi di elaborazione del segnale. Il libro è pratico e accessibile per studenti e professionisti.
26. "Progettazione di Plug-In per Effetti Audio in C: Con Teoria dell'Elaborazione del Segnale Audio Digitale" di Will Pirkle
Per coloro che vogliono approfondire il lato applicativo dell'elaborazione del segnale audio, questo libro è un'introduzione user-friendly alla codifica e alla progettazione di effetti audio utilizzando la programmazione in C. È ideale per i principianti che cercano di capire come il DSP può essere applicato per creare effetti audio in tempo reale.
27. "Memorie, sogni, riflessioni" di Carl G. Jung
Un'opera semi-autobiografica, questo libro copre la vita di Jung e le sue idee chiave, inclusi i suoi sviluppi di concetti come l'inconscio collettivo, gli archetipi e l'ombra. Fornisce intuizioni personali sulle sue teorie psicologiche.
28. "Gli archetipi e l'inconscio collettivo" di Carl G. Jung
Questo libro è un testo centrale nella psicologia junghiana, in cui egli delinea le sue teorie sulla mente inconscia, in particolare l'inconscio collettivo e le sue immagini archetipiche. È una lettura fondamentale per comprendere le idee di Jung sulla personalità e sulla psiche.
29. "Tipi psicologici" di Carl G. Jung
In quest'opera, Jung introduce la sua teoria dei tipi psicologici, che in seguito ha influenzato lo sviluppo del Myers-Briggs Type Indicator (MBTI). Discute la dicotomia di introversione ed estroversione, così come altre funzioni psicologiche che plasmano la personalità.
30. "L'uomo e i suoi simboli" di Carl G. Jung
Scritto come un'introduzione accessibile al pensiero junghiano, questo libro approfondisce l'uso dei simboli nei sogni e nell'arte come rappresentazioni di processi inconsci. È progettato per un pubblico più ampio e offre intuizioni sulla psiche umana.
31. "Il sé sconosciuto" di Carl G. Jung
Jung esplora il conflitto tra il bisogno dell'individuo di sviluppo personale e le pressioni della società moderna. Sottolinea l'importanza della consapevolezza di sé nel navigare tra gli aspetti inconsci e ombrosi della personalità.
32. "Possedere la propria ombra: Comprendere il lato oscuro della psiche" di Robert A. Johnson
Una guida pratica per comprendere il concetto di ombra di Jung, questo libro spiega come riconoscere e integrare il sé ombra per un equilibrio psicologico e una crescita personale.
33. "La mappa dell'anima di Jung: Un'introduzione" di Murray Stein
Questo libro offre un'introduzione alle teorie di Jung sulla personalità, inclusi i suoi concetti sull'ombra, l'inconscio e l'individuazione. È una buona risorsa per coloro che sono nuovi alla psicologia junghiana.

34. "Regali differenti: Comprendere il tipo di personalità" di Isabel Briggs Myers con Peter B. Myers
Questo libro spiega il sistema MBTI dei tipi di personalità, che si basa sui tipi psicologici di Jung. Fornisce intuizioni su come diversi tipi di personalità interagiscono e come influenzano la vita personale e professionale.

Guarigione con i suoni

35. "Il Potere Guaritore del Suono: Recupero da Malattie Potenzialmente Letali Utilizzando Suono, Voce e Musica" di Mitchell L. Gaynor
Questo libro esplora l'uso della terapia sonora per la guarigione, concentrandosi su come le vibrazioni e le frequenze possano essere utilizzate per supportare il recupero dalla malattia. Gaynor, un oncologo, combina intuizioni mediche con pratiche di guarigione sonora.
36. "Sintonizzare il Biofield Umano: Guarigione con Terapia Sonora Vibratoria" di Eileen Day McKusick
McKusick esplora l'anatomia del biofield, discutendo di come suono, frequenza e vibrazione influenzano il campo energetico umano. Il libro include informazioni su come i diapason e altri strumenti sonori possano promuovere la guarigione.
37. "Suoni Guaritori: Il Potere degli Armonici" di Jonathan Goldman
Questo libro spiega il concetto di usare suono e armonici per guarire il corpo e la mente. Include tecniche pratiche per la guarigione sonora, come il toning vocale e il lavoro con gli armonici superiori.
38. "Medicina Sonora: Come Usare l'Antica Scienza del Suono per Guarire il Corpo e la Mente" di Kulreet Chaudhary
Questo libro combina l'antica medicina ayurvedica con le moderne pratiche di terapia sonora. Chaudhary spiega come le frequenze e le vibrazioni sonore possano essere utilizzate per la guarigione e il benessere, dai mantra alle tecnologie sonore moderne.

Consapevolezza, Energia e Realtà

39. "La Quarta Fase dell'Acqua: Oltre Solido, Liquido e Vapore" di Gerald Pollack
Pollack presenta ricerche innovative sulle proprietà dell'acqua e le sue implicazioni per la biologia e la medicina energetica.
40. "LSD e la Mente dell'Universo" di Christopher Bache
Bache esplora l'intersezione tra psichedelici, consapevolezza e natura della realtà attraverso esperienze personali e intuizioni scientifiche.
41. "Consapevolezza Oltre la Vita: La Scienza dell'Esperienza di Pre-Morte" di Pim van Lommel
Van Lommel fornisce un'analisi completa delle esperienze di pre-morte, le loro implicazioni per la consapevolezza e la continuità del sé oltre l'esistenza fisica.
42. "L'Uomo che Non Credeva nei Miracoli" di Didier Van Cauwelaert
Questo romanzo intreccia temi di consapevolezza e fisica quantistica, esplorando la natura della realtà e della fede attraverso una narrazione coinvolgente.
43. "Sani di Proposito: Impulsi per l'Auto-Cura" di Folker Meissner
Meissner indaga i principi scientifici alla base della medicina energetica, offrendo intuizioni sul suo potenziale terapeutico e sui meccanismi.
44. "Connessi: L'Emergere della Consapevolezza Globale" di Roger Nelson
Nelson esamina l'interconnessione della consapevolezza umana e le implicazioni per comprendere esperienze collettive e consapevolezza globale.
45. "Acqua Morfogenica - Salute - Informazione e Campi di Consapevolezza" di Marc Henry
Henry discute l'importanza dell'acqua nei sistemi biologici e il suo ruolo come mezzo per il trasferimento di energia e consapevolezza.
46. "Vita Dopo la Vita" di Raymond Moody
Il lavoro innovativo di Moody introduce il concetto di esperienze di pre-morte e presenta numerosi casi studio che evidenziano elementi comuni riportati da coloro che hanno vissuto tali esperienze.
47. "Abbracciati dalla Luce" di Betty J. Eadie
Questa memoir racconta l'esperienza di pre-morte di Eadie, condividendo le sue intuizioni e le profonde rivelazioni spirituali che ha incontrato durante il suo viaggio.
48. "Prova del Paradiso: Il Viaggio di un Neurochirurgo nell'Aldilà" di Eben Alexander
Alexander, un neurochirurgo, condivide la propria esperienza di pre-morte e offre un resoconto coinvolgente che sfida le convenzionali visioni scientifiche sulla consapevolezza e l'aldilà.
49. "Morire per Essere Me Stessa: Il Mio Viaggio dal Cancro, alla Pre-Morte, alla Vera Guarigione" di Anita Moorjani
Moorjani condivide la sua trasformativa esperienza di pre-morte durante la sua battaglia con il cancro e le potenti lezioni sull'auto-accettazione e la guarigione che ha appreso.

50. "Viaggi Fuori dal Corpo" di Robert A. Monroe
Questo libro classico documenta le esperienze personali di Monroe con viaggi fuori dal corpo ed esplora le possibilità della consapevolezza umana oltre il corpo fisico. È ampiamente considerato uno dei testi fondamentali negli studi sulla consapevolezza.
51. "Viaggi Lontani" di Robert A. Monroe
Questo seguito di "Viaggi Fuori dal Corpo" approfondisce i viaggi di Monroe oltre il piano fisico, dove esplora diverse dimensioni dell'esistenza e amplia la sua comprensione della consapevolezza.
52. "Viaggio Ultimo" di Robert A. Monroe
In questo libro finale della trilogia, Monroe condivide intuizioni dalle sue esperienze in stati alterati di consapevolezza, concentrandosi su temi come l'aldilà, la natura dell'esistenza e lo scopo umano.
53. "Consapevolezza Cosmica" di Richard M. Bucke
Bucke descrive la sua esperienza di consapevolezza cosmica ed esplora le sue implicazioni per l'evoluzione spirituale.
54. "Una Via Yaqui della Conoscenza" di Carlos Castaneda
Questo libro esplora le pratiche sciamaniche e la natura della realtà attraverso l'apprendistato di Castaneda con uno sciamano Yaqui.
63. "Core Energetics" di John C. Pierrakos
Questo libro delinea l'approccio di Pierrakos alla Core Energetics, una modalità terapeutica centrata sul corpo. Esamina come sbloccare l'energia nel corpo possa portare a una guarigione emotiva e psicologica, integrando spiritualità e psicoterapia.
64. "Il Pathwork della Trasformazione del Sé" di Eva Pierrakos
Scritto dalla moglie di John Pierrakos, Eva Pierrakos, questo libro è essenziale per comprendere le fondamenta spirituali ed energetiche della Core Energetics. Presenta una raccolta di insegnamenti della Guida del Pathwork, che ha influenzato fortemente il lavoro terapeutico di Pierrakos.
65. "La Mia Voce Andrà con Te: Le Storie di Insegnamento di Milton H. Erickson" di Milton H. Erickson, edito da Sidney Rosen
Questo libro è una raccolta delle storie terapeutiche e dei racconti di insegnamento di Erickson. Sottolinea le sue tecniche indirette e l'uso della metafora per facilitare un profondo cambiamento psicologico, offrendo intuizioni su come Erickson guidasse sottilmente i suoi pazienti verso la guarigione.
66. "Terapia Non Comune: Le Tecniche Psichiatriche di Milton H. Erickson, M.D." di Jay Haley
Haley offre uno sguardo dettagliato sulle tecniche innovative di Erickson nella terapia breve. Questo libro evidenzia i metodi non tradizionali e spesso sorprendenti di Erickson, inclusa la sua capacità di guidare i pazienti verso rapidi progressi terapeutici in sole poche sedute.

Bioetica e Medicina

55. "Bioetica: Principi, Questioni e Casi" di Lewis Vaughn
Vaughn presenta i principali principi etici e questioni nella pratica medica, fornendo casi di studio per applicazioni nel mondo reale.

Studi sulla Coscienza

56. "Coscienza e l'Universo: Fisica Quantistica, Evoluzione, Cervello e Mente" di Sir Roger Penrose e Stuart Hameroff
Questa raccolta di saggi esplora le origini quantistiche della coscienza, combinando intuizioni dalla fisica, neuroscienza e filosofia per indagare come i processi quantistici nel cervello possano spiegare l'esperienza cosciente.
57. "Coscienza Spiegata" di Daniel Dennett
Dennett presenta una teoria completa della coscienza, argomentando contro le visioni tradizionali e offrendo intuizioni sul funzionamento della mente.
58. "Svegliarsi: Una Guida alla Spiritualità Senza Religione" di Sam Harris
Harris discute la coscienza, la meditazione e la natura della spiritualità, sostenendo un approccio laico per comprendere la mente.

Fisica Quantistica e Metafisica

59. "Il Quantum e il Lotus: Un Viaggio alle Frontiere Dove Scienza e Buddismo Si Incontrano" di Matthieu Ricard e Trinh Xuan Thuan
Questo libro esplora i parallelismi tra la fisica quantistica e la filosofia buddista, discutendo le intuizioni di entrambi i campi.
60. "L'Universo Olografico" di Michael Talbot
Talbot presenta l'idea che l'universo opera come un ologramma, fondendo intuizioni dalla fisica quantistica con implicazioni metafisiche.

Psicologia e Psicoterapia

61. "La Ricerca di Significato dell'Uomo" di Viktor E. Frankl
Frankl esplora il viaggio psicologico per trovare uno scopo anche nelle circostanze più difficili, integrando la filosofia esistenziale e la psicologia.
62. "Il Corpo Tiene il Conto: Cervello, Mente e Corpo nella Guarigione del Trauma" di Bessel van der Kolk
Questo libro discute l'impatto del trauma sul corpo e sulla mente, evidenziando approcci innovativi alla guarigione.

Teoria dei Sistemi e Pensiero Sistemico

67. "Teoria Generale dei Sistemi: Fondamenti, Sviluppo, Applicazioni" di Ludwig von Bertalanffy
Un classico nel pensiero sistemico, il lavoro di Bertalanffy introduce i fondamenti della Teoria Generale dei Sistemi, che è diventata un pilastro fondamentale per lo studio interdisciplinare nelle scienze. Le sue idee hanno avuto un'influenza in tutto, dalla biologia alle scienze sociali.
68. "Passi verso un'Ecologia della Mente" di Gregory Bateson
Una figura chiave nel Gruppo di Palo Alto, la raccolta di saggi di Bateson copre argomenti come comunicazione, psicologia ed ecologia. Il suo lavoro ha posto le basi per il pensiero sistemico nella comunicazione e nelle interazioni umane.
69. "Mente e Natura: Un'Unità Necessaria" di Gregory Bateson
Un altro testo essenziale di Bateson, che esplora come la mente e l'ambiente siano interconnessi. Le sue idee sono fondamentali per comprendere la teoria dei sistemi in termini di interazione umana, apprendimento ed ecologia.
70. "La Costruzione Sociale della Realtà: Un Trattato nella Sociologia della Conoscenza" di Peter L. Berger e Thomas Luckmann
Questo libro si collega al pensiero sistemico attraverso la sua esplorazione di come i sistemi sociali e le realtà siano costruiti e mantenuti.
71. "La Visione Sistemica della Vita: Una Visione Unificante" di Fritjof Capra e Pier Luigi Luisi
Capra, una figura chiave nel pensiero sistemico, presenta una comprensione contemporanea e integrata dei sistemi viventi. Questo libro collega la teoria dei sistemi alla biologia, all'ecologia e alla coscienza.
72. "Cambiamento: Principi di Formazione e Risoluzione dei Problemi" di Paul Watzlawick, John Weakland e Richard Fisch
Un altro lavoro essenziale del Gruppo di Palo Alto, esplora come il cambiamento avvenga nei sistemi umani, in particolare nelle famiglie e nelle organizzazioni, attraverso una lente sistemica.
73. "L'Albero della Conoscenza: Le Radici Biologiche della Comprensione Umana" di Humberto R. Maturana e Francisco J. Varela
Questo libro unisce biologia, cognizione e pensiero sistemico, concentrandosi sull'autopoiesi (sistemi auto-creanti), un concetto centrale nella comprensione dei sistemi viventi.
74. "Cibernetica, o Controllo e Comunicazione nell'Animale e nella Macchina" di Norbert Wiener
Questo testo fondamentale della cibernetica esplora come i processi di comunicazione e controllo operino sia nelle macchine che negli esseri viventi.
75. "La Quinta Disciplina: L'Arte e la Pratica dell'Organizzazione che Impara" di Peter M. Senge
Il lavoro di Senge applica il pensiero sistemico allo sviluppo organizzativo. È ampiamente considerato un testo chiave sia nel business che nell'istruzione, concentrandosi su come le organizzazioni complesse possano essere strutturate per l'apprendimento e l'adattamento.